

รหัสโครงการ SUT7-712-54-12-07



รายงานการวิจัย

การศึกษาเปรียบเทียบการใช้ปอซโซซานธารมชาติ ในงานจีโอโพลิเมอร์มอร์ตาร์

(A Comparative Study of Natural Pozzolans in Geopolymer Mortar)

ได้รับทุนอุดหนุนการวิจัยจาก
มหาวิทยาลัยเทคโนโลยีสุรนารี

ผลงานวิจัยเป็นความรับผิดชอบของหัวหน้าโครงการวิจัยแต่เพียงผู้เดียว

รหัสโครงการ SUT7-712-54-12-07



รายงานการวิจัย

การศึกษาเปรียบเทียบการใช้ปอซโซลันธรรมชาติ ในงานจิโอโพลิเมอร์มอร์ตาร์

(A Comparative Study of Natural Pozzolans in Geopolymer Mortar)

คณะผู้วิจัย

หัวหน้าโครงการ

ผศ.ดร. ชีรัณน์ สินศิริ

สาขาวิชาวิศวกรรมโยธา

สำนักวิชาวิศวกรรมศาสตร์

มหาวิทยาลัยเทคโนโลยีสุรนารี

ได้รับทุนอุดหนุนการวิจัยจากมหาวิทยาลัยเทคโนโลยีสุรนารี ปีงบประมาณ พ.ศ. 2554

ผลงานวิจัยเป็นความรับผิดชอบของหัวหน้าโครงการวิจัยแต่เพียงผู้เดียว

มิถุนายน 2556

กิตติกรรมประกาศ

โครงการวิจัย เรื่อง การศึกษาเปรียบเทียบการใช้ปอชโซล่าห์รรมชาติในงานจีโอโพลิเมอร์ มอร์ต้าร์ สามารถดำเนินการได้สำเร็จลุล่วงตามวัตถุประสงค์ที่ตั้งไว้ เนื่องจากได้รับความ อนุเคราะห์และการสนับสนุนจากหน่วยงานหรือบุคคล ซึ่งผู้วิจัยขออนุญาตเอียนามดังต่อไปนี้

การดำเนินการวิจัยครั้งนี้ได้รับการสนับสนุนงบประมาณ โดยทุนอุดหนุนการวิจัยจาก มหาวิทยาลัยเทคโนโลยีสุรนารี ปีงบประมาณ พ.ศ. 2552-2553 ซึ่งได้รับการจัดสรรมาจากการ งบประมาณแผ่นดิน โดยผ่านการประเมินข้อเสนอโครงการจากสำนักงานคณะกรรมการวิจัย แห่งชาติ

ขอขอบคุณ สาขาวิชาศึกษา สำนักวิชาศึกษาศาสตร์ มหาวิทยาลัยเทคโนโลยี สุรนารี ซึ่งผู้วิจัยทำงานอยู่ ที่สนับสนุนการดำเนินงานตลอดจนสนับสนุนเครื่องมือและอุปกรณ์ที่ ใช้ในงานวิจัยตั้งแต่ต้นจนเสร็จลื้นโครงการ

ขอขอบคุณ ศ.ดร.ปริญญา จินดาประเสริฐ และ ศ.ดร.ชัย ชาตรพิทักษ์กุล ที่กรุณาให้ ความเห็นและคำแนะนำที่ดีและเป็นประโยชน์ต่อโครงการหลักครั้ง ทั้งเรื่องการตีพิมพ์และความ ร่วมมือในการทำวิจัยร่วมกัน

นอกจากนั้นแล้ว ผู้วิจัยขอขอบคุณ นายธนกร ภูเงิน ที่ได้ช่วยเหลือในการจัดทำตัวอย่าง ทดสอบและทดสอบอย่างขั้นเบื้องและอดทน ซึ่งทำให้งานวิจัยครั้งนี้สำเร็จลุล่วงไปด้วยดี

ท้ายสุดนี้ขอขอบพระคุณบิดา márda และสามาชิกในครอบครัว ที่ให้การอุปการะ เลี้ยงดูอบรม ส่งเสริมการศึกษา และเป็นกำลังใจที่ดีมาโดยตลอด ประโยชน์อันได้อันเนื่องมาจาก งานวิจัยเล่นนี้ ขอขอบคุณเด่นบิดา márda และคณาจารย์ทุกท่านที่ได้เมตตาอบรมสั่งสอน

ผศ.ดร.ธีรวัฒน์ สินธิ
หัวหน้าโครงการวิจัย

บทคัดย่อ

ปัจจุบันในงานก่อสร้างอาคารทั่ว ๆ ไป นิยมเลือกใช้ปูนซีเมนต์เป็นวัสดุเชื่อมประสานแต่เนื่องจากในกระบวนการผลิตนั้นได้ก่อให้เกิดมลภาวะต่อสิ่งแวดล้อมจากการปล่อยก๊าซที่มีผลต่อการเกิดภาวะเรือนกระจกถึงปีละ 13,500 ล้านตัน อีกทั้งวัสดุที่ใช้ในการผลิตปูนซีเมนต์มีข้อจำกัดทางด้านวัตถุคุณภาพ ดังนั้นจึงมีความพยายามในการลดการใช้ปูนซีเมนต์ปอร์ตแลนด์ลง โดยการใช้วัสดุที่เหลือใช้หรือวัสดุตามธรรมชาตินามาใช้ทดแทนปูนซีเมนต์ปอร์ตแลนด์บางส่วน ซึ่งในปัจจุบันได้มีการพัฒนาสารซีเมนต์ชนิดใหม่ที่ไม่ใช้ปูนซีเมนต์เป็นตัวประสาน เรียกว่า จีโอโพลิเมอร์ (Geopolymer)

สารจีโอโพลิเมอร์เป็นวัสดุเชื่อมประสานที่สังเคราะห์ได้จากซิลิกาและอุฐมีนา กระตุ้นด้วยสารละลายที่มีความเป็นด่างสูงให้เป็นโนเมกุลลูโคไซด์ในลักษณะของโพลิเมอร์ และเร่งปฏิกิริยาด้วยความร้อน จะได้สารซีเมนต์ที่สามารถรับกำลังได้เช่นเดียวกับซีเมนต์ วัสดุตั้งต้นที่นิยมใช้เป็นวัสดุเชื่อมประสานอย่างแพร่หลาย ได้แก่ เถ้าโลย แต่ยังมีวัสดุปอร์ตแลนด์อีกหลายชนิดที่มีคุณสมบัติเป็นวัสดุเชื่อมประสานได้ เช่น ไครอตอม ไนต์ เพอร์ไอล์ และซีโอไอล์ต์ธรรมชาติ ซึ่งมีองค์ประกอบของซิลิกาและอุฐมีนาเป็นหลัก เช่นเดียวกัน ดังนั้นงานวิจัยนี้จึงมีจุดประสงค์เพื่อศึกษาถึงผลกระทบของการแทนที่ไครอตอม ไนต์ เพอร์ไอล์ และซีโอไอล์ต์ธรรมชาติในถ้าโลยที่มีผลต่อความสามารถทำงานได้และกำลังอัดของจีโอโพลิเมอร์ร่วมกับตัวร์

จากการศึกษาพบว่าที่อัตราส่วนโซเดียมซิลิกเกตต่อโซเดียมไฮดรอกไซด์เท่ากับ 1.5-2.5 ความเข้มข้นสารละลายโซเดียมไฮดรอกไซด์เท่ากับ 15 มอลาร์ อุณหภูมิการเร่งปฏิกิริยาของตัวอย่าง 75°C เป็นเวลา 24 ชั่วโมง ให้ค่ากำลังอัดที่สูง มีค่าระหว่าง 234-939 ksc และค่ากำลังอัดมีแนวโน้มที่พัฒนาเร็วในช่วงแรกของอายุการบ่ม แต่ช่วงปลายจะไม่มีการเปลี่ยนแปลงมากนักหรือไม่มีเลย อีกทั้งผลกระทบศึกษาบ่งบอกว่าการแทนที่ไครอตอม ไนต์ เพอร์ไอล์ และซีโอไอล์ต์ธรรมชาติ ในถ้าโลยร้อยละ 60 มีความหมายสมทั้งการให้ค่าการไอล์ฟ ระยะเวลา ก่อตัวและกำลังอัด หมายแก่การนำไปใช้งาน

Abstract

Currently, Portland cement is the one generally used for construction and building. However, the process of producing Portland cement has also resulted in environmental problems and the release of a large amount of green house gases to the order of approximately 13,500 million tons annually. Moreover, the raw materials to produce it are also limited. Therefore, the effort now focuses on how to replace constituent parts of Portland cement with by-products or natural materials. Recently, a new cementitious material called geopolymers has been developed which may do away with the use of Portland cement as binder.

This geopolymers was synthesized from silicon and aluminum activated with a high alkaline solution and developed using heat. It has a similar strength to cement. One of the most widely used cementitious materials is fly ash. However, Instead of fly ash, other materials such as diatomite, perlite, and natural zeolite can also be used as source materials for geopolymers because they are similarly rich in silicon and aluminum. Thus, the objective of this research was to study the effect of diatomite, perlite, and natural zeolite on the workability and compressive strength of geopolymers mortar if when used to replace fly ash.

The results revealed that the mixture having $\text{Na}_2\text{SiO}_3/\text{NaOH}$ of 1.5-2.5, 15M of NaOH concentration, and 75°C of curing temperature, showed a high compressive strength which ranged between 234-939 ksc. Additionally, the compressive strength of geopolymers mortar obviously increased at the early age. However, at the later age, it slightly increased or did not increase at all for some mixtures. Furthermore, the replacement of diatomite, perlite, and natural zeolite at the rate of 60% by weight of binder was well-suited for both compressive strength and workability.

สารบัญ

หน้า

กิตติกรรมประกาศ.....	ก
บทคัดย่อ (ภาษาไทย).....	ข
บทคัดย่อ (ภาษาอังกฤษ).....	ค
สารบัญ.....	ง
สารบัญตาราง.....	ฉ
สารบัญรูป.....	ฉ
คำอธิบายสัญลักษณ์และคำย่อ.....	ฉ
บทที่	
1 บทนำ.....	1
1.1 ความสำคัญของปัจจุบัน.....	1
1.2 วัตถุประสงค์ของการศึกษา.....	2
1.3 ขอบเขตของการวิจัย.....	2
1.4 ขั้นตอนการดำเนินงานวิจัย.....	3
1.5 ประโยชน์ที่คาดว่าจะได้รับ.....	3
2 ปริทัศน์วรรณกรรมและงานวิจัยที่เกี่ยวข้อง.....	5
2.1 จีโอโพลิเมอร์.....	5
2.2 ปอร์ตแลนด์ซีเมนต์กับจีโอโพลิเมอร์.....	6
2.3 ปอชโซลาน.....	8
2.4 ปอชโซลานธรรมชาติ.....	16
2.5 ไคอะตอนไมม์.....	17
2.6 เพอร์ไอล์.....	21
2.7 ซีโอไอล์.....	29
2.8 เถ้าดอย.....	34
2.9 สรุปปริทัศน์วรรณกรรมและงานวิจัยที่เกี่ยวข้อง.....	36
2.10 สรุปแนวคิดที่ได้จากปริทัศน์วรรณกรรมและงานวิจัยที่เกี่ยวข้อง.....	42

สารบัญ (ต่อ)

หน้า

2.11	กรอบแนวคิดที่ได้จากการวิจัยที่เกี่ยวข้อง.....	44
3	วิธีดำเนินงานวิจัย.....	45
3.1	วัสดุที่ใช้ในงานวิจัย.....	46
3.2	ข้อกำหนดของงานวิจัย.....	47
3.3	การทดสอบคุณสมบัติพื้นฐานของวัสดุที่ใช้ในงานวิจัย.....	48
3.3.1	การทดสอบคุณสมบัติของทรัพย์.....	48
3.3.2	การทดสอบคุณสมบัติของวัสดุประสาน.....	50
3.4	การทดสอบคุณสมบัติของจีโอโพลิเมอร์ตัวร์.....	51
3.4.1	การทดสอบหาค่าหน่วยน้ำหนัก.....	51
3.4.2	การทดสอบหาค่าการไหลแผ่.....	52
3.4.3	การทดสอบหาค่าระยะเวลาการก่อตัว.....	52
3.4.4	การทดสอบกำลังอัดของจีโอโพลิเมอร์ตัวร์.....	53
3.5	สัญลักษณ์ส่วนผสมของจีโอโพลิเมอร์ตัวร์.....	54
3.6	วิธีดำเนินการทดสอบในห้องปฏิบัติการ.....	54
3.7	อัตราส่วนผสมของจีโอโพลิเมอร์ตัวร์.....	55
4	ผลการศึกษาและวิจารณ์ผล.....	59
4.1	ลักษณะทางกายภาพวัสดุที่ใช้ในงานวิจัย.....	59
4.2	องค์ประกอบทางเคมีของไโคอะตอนไมต์ เพอร์ไอล์ต ชีโอไอล์ตชาร์มชาติ และถ้าโดย.....	60
4.3	ลักษณะโครงสร้างระดับจุลภาคของไโคอะตอนไมต์ เพอร์ไอล์ต ชีโอไอล์ตชาร์มชาติ และถ้าโดย.....	62
4.4	ความเป็นผลึกของไโคอะตอนไมต์ เพอร์ไอล์ต ชีโอไอล์ตชาร์มชาติ และถ้าโดย.....	63
4.5	คุณสมบัติด้านการไหลแผ่ของจีโอโพลิเมอร์ตัวร์.....	65
4.5.1	ผลกระทบของอัตราส่วนโซเดียมซิลิกเกตต่อโซเดียมไฮดรอกไซด์.....	65
4.5.2	ผลกระทบของอัตราส่วนของเหลวต่อวัสดุประสาน.....	69

สารบัญ (ต่อ)

หน้า

4.5.3	ผลกระทบของความเข้มข้นโซเดียมไฮดรอกไซด์.....	71
4.5.4	ผลกระทบของอัตราส่วนการเพิ่มปริมาณน้ำต่อวัสดุประสาน.....	74
4.6	คุณสมบัติค้านระบบการก่อตัวของจีโอโพลิเมอร์ตัวร์.....	77
4.7	คุณสมบัติค้านกำลังอัดของจีโอโพลิเมอร์ตัวร์.....	80
4.7.1	ผลกระทบของอัตราส่วนโซเดียมซิลิกेटต่อโซเดียมไฮดรอกไซด์.....	80
4.7.2	ผลกระทบของอัตราส่วนของเหลวต่อวัสดุประสาน.....	84
4.7.3	ผลกระทบของความเข้มข้นโซเดียมไฮดรอกไซด์.....	87
4.7.4	ผลกระทบของอุณหภูมิการเร่งปฏิกิริยา.....	90
4.7.5	ผลกระทบของอัตราส่วนการเพิ่มปริมาณน้ำต่อวัสดุประสาน.....	94
4.7.6	ผลกระทบของระยะเวลาการบ่ม.....	97
4.7.7	ผลกระทบของอัตราส่วนซิลิกาต่ออัลูมินา.....	99
4.8	หน่วยน้ำหนักของจีโอโพลิเมอร์ตัวร์.....	102
4.8.1	หน่วยน้ำหนักของจีโอโพลิเมอร์ตัวร์จากถ้วย ผสมไโคะตอนไม้ต์.....	102
4.8.2	หน่วยน้ำหนักของจีโอโพลิเมอร์ตัวร์จากถ้วย ผสมเพอร์ไอลต์.....	104
4.8.3	หน่วยน้ำหนักของจีโอโพลิเมอร์ตัวร์จากถ้วย ผสมซีโอไอลต์ธรรมชาติ.....	107
4.9	โมดูลสีดหยุ่นของจีโอโพลิเมอร์ตัวร์.....	110
4.10	วิเคราะห์ราคาของวัสดุที่ใช้ในงานวิจัย.....	117
5	บทสรุป.....	120
5.1	สรุปผลงานวิจัย.....	120
5.1.1	จีโอโพลิเมอร์ตัวร์จากถ้วยผสมไโคะตอนไม้ต์.....	120
5.1.2	จีโอโพลิเมอร์ตัวร์จากถ้วยผสมเพอร์ไอลต์.....	121
5.1.3	จีโอโพลิเมอร์ตัวร์จากถ้วยผสมซีโอไอลต์ธรรมชาติ.....	122
5.2	ข้อเสนอแนะ.....	123

สารบัญ (ต่อ)

หน้า

รายการอ้างอิง.....	124
ภาคผนวก	
ภาคผนวก ก. ผลการทดสอบคุณสมบัติพื้นฐานของวัสดุที่ใช้ในงานวิจัย.....	129
ภาคผนวก ข. ผลการทดสอบคุณสมบัติของจีโอโพรพิเมอร์มอร์ตาร์.....	136
ภาคผนวก ค. ผลงานที่ได้รับการตีพิมพ์.....	154
ประวัติผู้วิจัย.....	179



สารบัญตาราง

ตารางที่	หน้า
2.1 ข้อกำหนดทางเคมีของปอชโซล่า ตามมาตรฐาน ASTM C 618 (2008).....	10
2.2 ข้อกำหนดทางกายภาพ ตามมาตรฐาน ASTM C 618 (2008).....	11
2.3 ข้อกำหนดทางกายภาพเพิ่มเติม ตามมาตรฐาน ASTM C 618 (2008).....	13
2.4 คุณสมบัติของถ้วยดอยและปอชโซล่าธรรมชาติ (ASTM C 618, 2008).....	16
2.5 แสดงคุณสมบัติทางเคมีของไกอะตะมไม้คำป่าง (Pimraksa, K., 2008).....	20
2.6 องค์ประกอบเคมีของหินเพอร์ไอล์ต (สำนักเหมืองแร่และสัมปทาน, ออนไลน์, 2546).....	24
2.7 แสดงการเปรียบเทียบองค์ประกอบทางเคมีของปูนซีเมนต์กับเพอร์ไอล์ต (จิตรกร ตั้งอนุสรณ์สุข และคณะ, 2548).....	25
2.8 การเปรียบเทียบคุณสมบัติของคอนกรีตที่ผสมด้วยเพอร์ไอล์ตกับ ปูนซีเมนต์ผสมแบบธรรมชาติ (สำนักเหมืองแร่และสัมปทาน, ออนไลน์, 2546).....	26
2.9 คุณสมบัติของซีโอไอล์ตชนิดต่าง ๆ (วัฒนชัย อัญญานวงศ์, 2546).....	32
2.10 แสดงการเปรียบเทียบสารประกอบของซีโอไอล์ต (ไกรภพ อินทร์แสง, 2550).....	32
3.1 อัตราส่วนผสมของซีโอโพลิเมอร์มอร์ตาร์.....	56
3.2 ผลกระทบการเปลี่ยนแปลงอุณหภูมิการเร่งปฏิกิริยาของตัวอย่าง.....	56
3.3 ผลกระทบการเปลี่ยนแปลงอัตราส่วนของโซเดียมชิลิกเกตต่อโซเดียมไฮดรอกไซด์.....	57
3.4 ผลกระทบการเปลี่ยนแปลงอัตราส่วนของเหลวต่อวัสดุประสาน.....	57
3.5 ผลกระทบการเปลี่ยนแปลงความเข้มข้นของโซเดียมไฮดรอกไซด์.....	57
3.6 ผลกระทบการเพิ่มปริมาณน้ำในอัตราส่วนต่าง ๆ ในส่วนผสม.....	58
3.7 ผลกระทบที่ตัวอย่างมีอายุการบ่มเพิ่มขึ้น.....	58
4.1 ผลการวิเคราะห์ลักษณะทางกายภาพของวัสดุที่ใช้ในงานวิจัย.....	59
4.2 แสดงผลการวิเคราะห์องค์ประกอบทางเคมีของไกอะตะมไม้ต์ เพอร์ไอล์ต ซีโอไอล์ตธรรมชาติ และถ้วยดอย ด้วยเครื่อง X-Ray Fluorescence Analysis (XRF).....	61
4.3 ตารางเปรียบเทียบราคาของวัสดุที่ใช้ในงานวิจัย.....	118
4.4 การเปรียบเทียบราคาต้นทุนของซีโอโพลิเมอร์มอร์ตาร์กับซีเมนต์มอร์ตาร์.....	118

สารบัญตาราง (ต่อ)

ตารางที่	หน้า
ก.1 ผลการทดสอบค่าความถ่วงจำเพาะของไ/do๙๘ตومไนต์.....	130
ก.2 ผลการทดสอบค่าความถ่วงจำเพาะของเพอร์ไอลต์.....	130
ก.3 ผลการทดสอบค่าความถ่วงจำเพาะของซีไอโอไอล์ชรร์มชาติ.....	131
ก.4 ผลการทดสอบค่าความถ่วงจำเพาะของถ้าโลย.....	131
ก.5 ผลการทดสอบค่าความถ่วงจำเพาะและการดูดซึมของทราร.....	132
ก.6 ผลการทดสอบค่าหน่วยน้ำหนักของไ/do๙๘ตومไนต์.....	133
ก.7 ผลการทดสอบค่าหน่วยน้ำหนักของเพอร์ไอลต์.....	133
ก.8 ผลการทดสอบค่าหน่วยน้ำหนักของซีไอโอไอล์ชรร์มชาติ.....	134
ก.9 ผลการทดสอบค่าหน่วยน้ำหนักของถ้าโลย.....	134
ก.10 ผลการทดสอบค่าหน่วยน้ำหนักของทราร.....	135
ข.1 ผลการทดสอบระบบการก่อตัวของจีไอ โพลิเมอร์ต้าร์.....	137
ข.2 ผลการทดสอบค่าการไหลแผ่ของจีไอ โพลิเมอร์ต้าร์ จากการแปรผันตามอัตราส่วนโซเดียมซิลิกเกตต่อโซเดียมไฮดรอกไซด์.....	137
ข.3 ผลการทดสอบค่าการไหลแผ่ของจีไอ โพลิเมอร์ต้าร์ จากการแปรผันตามอัตราส่วนอัตราส่วนของเหลวต่อวัสดุประสาน.....	138
ข.4 ผลการทดสอบค่าการไหลแผ่ของจีไอ โพลิเมอร์ต้าร์ จากการแปรผันตามอัตราส่วนอัตราส่วนความเข้มข้นของโซเดียมไฮดรอกไซด์.....	139
ข.5 ผลการทดสอบค่าการไหลแผ่ของจีไอ โพลิเมอร์ต้าร์ จากการแปรผันตามอัตราส่วนอัตราส่วนการเพิ่มปริมาณน้ำต่อวัสดุประสาน.....	140
ข.6 ผลการทดสอบค่าหน่วยน้ำหนักของจีไอ โพลิเมอร์ต้าร์ จากการแปรผันตามอัตราส่วนโซเดียมซิลิกเกตต่อโซเดียมไฮดรอกไซด์.....	141
ข.7 ผลการทดสอบค่าหน่วยน้ำหนักของจีไอ โพลิเมอร์ต้าร์ จากการแปรผันตามอัตราส่วนของเหลวต่อวัสดุประสาน.....	142
ข.8 ผลการทดสอบค่าหน่วยน้ำหนักของจีไอ โพลิเมอร์ต้าร์ จากการแปรผันตามอุณหภูมิการเร่งปฏิกริยา.....	143
ข.9 ผลการทดสอบค่าหน่วยน้ำหนักของจีไอ โพลิเมอร์ต้าร์ จากการแปรผันตามความเข้มข้นของโซเดียมไฮดรอกไซด์.....	144

สารบัญตาราง (ต่อ)

ตารางที่	หน้า
ข.10 ผลการทดสอบค่าหน่วงน้ำหนักของจีโอโพลิเมอร์ร์ต้าร์ จากการแปรผันตามอัตราส่วนอัตราส่วนการเพิ่มปริมาณน้ำต่อวัสดุประสาน.....	145
ข.11 ผลการทดสอบค่าหน่วงน้ำหนักของจีโอโพลิเมอร์ร์ต้าร์ จากการแปรผันตามระยะเวลาการบ่ม.....	146
ข.12 ผลการทดสอบค่ากำลังอัดของจีโอโพลิเมอร์ร์ต้าร์ จากการแปรผันตามอัตราส่วน โซเดียมซิลิกเกตต่อโซเดียมไฮดรอกไซด์.....	147
ข.13 ผลการทดสอบค่ากำลังอัดของจีโอโพลิเมอร์ร์ต้าร์ จากการแปรผันตามอัตราส่วนอัตราส่วนของเหลวต่อวัสดุประสาน.....	148
ข.14 ผลการทดสอบค่ากำลังอัดของจีโอโพลิเมอร์ร์ต้าร์ จากการแปรผันตามอุณหภูมิการเร่งปฏิกิริยา.....	149
ข.15 ผลการทดสอบค่ากำลังอัดของจีโอโพลิเมอร์ร์ต้าร์ จากการแปรผันตามความเข้มข้นของโซเดียมไฮดรอกไซด์.....	150
ข.16 ผลการทดสอบค่ากำลังอัดของจีโอโพลิเมอร์ร์ต้าร์ จากการแปรผันตามอัตราส่วนอัตราส่วนการเพิ่มปริมาณน้ำต่อวัสดุประสาน.....	151
ข.17 ผลการทดสอบค่ากำลังอัดของจีโอโพลิเมอร์ร์ต้าร์ จากการแปรผันตามระยะเวลาการบ่ม.....	152
ข.18 ค่าโมดูลัสยึดหยุ่นของจีโอโพลิเมอร์ร์ต้าร์ จากการแปรผันตาม ระยะเวลาการบ่ม ที่อัตราส่วน โซเดียมซิลิกเกตต่อโซเดียมไฮดรอกไซด์ เท่ากับ 1.5 ความเข้มข้นโซเดียมไฮดรอกไซด์เท่ากับ 15 มิลลาร์ และอุณหภูมิการเร่งปฏิกิริยา เท่ากับ 75°C.....	153

สารบัญรูป

รูปที่

หน้า

2.1 ลักษณะโครงสร้างของจีโอโพลิเมอร์ (www.cordi.geopolymere.com).....	5
2.2 โครงสร้างแบบสามเหลี่ยมของจีโอโพลิเมอร์ (www.cordi.geopolymere.com).....	6
2.3 Poly (Sialate-siloxo) ซิลิกาต่ออัลูมินา 2:1 (www.cordi.geopolymere.com).....	6
2.4 ขั้นตอนการเกิดวัสดุจีโอโพลิเมอร์ (www.journal.thaitca.or.th).....	7
2.5 แสดงภาพขยายขนาดไม่โครงของลักษณะโครงสร้างของปอร์ตแลนด์มอร์ต้าร์ เบรเยนเทียบกับจีโอโพลิเมอร์มอร์ต้าร์ (www.jurnal.thaitca.or.th).....	8
2.6 ภาพถ่าย SEM ของถ่านหินจากโรงไฟฟ้าอ่อกแ跟我แม่เมาะ จังหวัดลำปาง (เชิงวัฒน์ สินศิริ, 2548).....	12
2.7 ภาพถ่าย SEM ของถ่านหินที่มีลักษณะแบบ Plerospheres (เชิงวัฒน์ สินศิริ, 2548).....	15
2.8 ลักษณะของไคลอตوم ไมต์ (มหาวิทยาลัยเทคโนโลยีราชมงคล, อุบลฯ, 2543).....	18
2.9 แสดงชั้นของไคลอตوم ไมต์ (สถาบันฯ, อุบลฯ, 2550).....	19
2.10 ภาพถ่าย SEM ของไคลอตوم ไมต์ (สถาบันฯ, อุบลฯ, 2550).....	19
2.11 ภาพถ่าย SEM ของไคลอตوم ไมต์จากแหล่งลำปาง (Pimraksa, K., 2008).....	20
2.12 แสดงลักษณะของหินเพอร์ไkl็ต (ผ่องท์หักดี้ นันทกานิรา และคณะ, อุบลฯ, 2547).....	21
2.13 แสดงลักษณะของหินเพอร์ไkl็ตสีเขียวแกบแดง.....	22
2.14 แสดงลักษณะของหินเพอร์ไkl็ตสีเขียว.....	22
2.15 แสดงลักษณะของหินเพอร์ไkl็ตสีขาว.....	23
2.16 แสดงโครงสร้างของซีโอไkl็ต (อุษา อุนทอง และคณะ, 2549).....	30
2.17 ลักษณะของซีโอไkl็ต (ไกรกพ อินทร์แสง คณะฯ, 2550).....	33
2.18 ภาพถ่าย Scanning Electron Microscopy (SEM) ของถ่านหิน (www.environnet.in.th).....	34
3.1 แผนผังแสดงการดำเนินงานวิจัย.....	45
3.2 วัสดุป้องโชลนที่ใช้ในงานวิจัย.....	46
3.3 สารละลายชนิดค่างที่ใช้ในงานวิจัย.....	47

สารบัญรูป (ต่อ)

รูปที่	หน้า
3.4 แบบหล่ออะคริลิก ขนาด 50x50x50 mm.....	48
3.5 การทดสอบหาค่าความถ่วงจำเพาะและค่าการดูดซึมน้ำของทราย.....	49
3.6 การทดสอบหาขนาดคละและโมดูลส์ความละเอียดของทราย.....	49
3.7 การทดสอบหาค่าความถ่วงจำเพาะและหน่วยน้ำหนักของวัสดุประสาน.....	50
3.8 ชุดทดสอบหาความละเอียดของวัสดุประสาน ด้วยวิธีของเบลน (Blaine fineness).....	51
3.9 เครื่องซับสำหรับหาหน่วยน้ำหนัก ซึ่งได้ละเอียด 0.01 กรัม.....	51
3.10 ชุดทดสอบการไฟล์.....	52
3.11 ชุดทดสอบแบบไવแอกต (Vicat apparatus).....	53
3.12 เครื่องทดสอบกำลังอัด (Compressive machine 500 Tons).....	53
4.1 การกระจายอนุภาคของวัสดุ.....	60
4.2 ภาพถ่ายขยายของไฮโลต์.....	62
4.3 ภาพถ่ายขยายของเพอร์ไอล์ต.....	62
4.4 ภาพถ่ายขยายของซีไอไฮโลต์ธรรมชาติ.....	63
4.5 ภาพถ่ายขยายของถ้าโลย.....	63
4.6 รูปแบบการเลือบแบบรังสีเอ็กซ์ของไฮโลต์.....	64
4.7 รูปแบบการเลือบแบบรังสีเอ็กซ์ของเพอร์ไอล์ต.....	64
4.8 รูปแบบการเลือบแบบรังสีเอ็กซ์ของซีไอไฮโลต์ธรรมชาติ.....	65
4.9 รูปแบบการเลือบแบบรังสีเอ็กซ์ของถ้าโลย.....	65
4.10 ค่าการไฟล์ของจีไอโพลิเมอร์มอร์ตาร์จากถ้าโลยผสมไฮโลต์ที่แบร์พันตามผลกระทนของอัตราส่วนโซเดียมซิลิกเกตต่อโซเดียมไฮดรอกไซด์.....	66
4.11 ค่าการไฟล์ของจีไอโพลิเมอร์มอร์ตาร์จากถ้าโลยผสมเพอร์ไอล์ตที่แบร์พันตามผลกระทนของอัตราส่วนโซเดียมซิลิกเกตต่อโซเดียมไฮดรอกไซด์.....	67
4.12 ค่าการไฟล์ของจีไอโพลิเมอร์มอร์ตาร์ที่ได้จากการถ้าโลยผสมซีไอไฮโลต์ธรรมชาติที่แบร์พันตามผลกระทนของอัตราส่วนโซเดียมซิลิกเกตต่อโซเดียมไฮดรอกไซด์.....	67

สารบัญรูป (ต่อ)

รูปที่

หน้า

4.13 เปรียบเทียบค่าการ ไฟลแฟ่ของจีโอ โพลิเมอร์มอร์ต้าร์ ที่ prepันตามผลกระทบ ของอัตราส่วนโซเดียมซิลิกาต่อโซเดียมไฮดรอกไซด์ ของการแทนที่ ไดอะตومไม้ต์ เพอร์ไอลต์ และซีโอ ไอลต์ธรรมชาติในถ้วยร้อยละ 60.....	68
4.14 ค่าการ ไฟลแฟ่ของจีโอ โพลิเมอร์มอร์ต้าร์จากถ้วยผสม ไดอะตومไม้ต์ ที่ prepันตามผลกระทบของอัตราส่วนของเหลวต่อวัสดุประสาน.....	69
4.15 ค่าการ ไฟลแฟ่ของจีโอ โพลิเมอร์มอร์ต้าร์จากถ้วยผสมเพอร์ไอลต์ ที่ prepันตามผลกระทบของอัตราส่วนของเหลวต่อวัสดุประสาน.....	70
4.16 ค่าการ ไฟลแฟ่ของจีโอ โพลิเมอร์มอร์ต้าร์จากถ้วยผสมซีโอ ไอลต์ธรรมชาติ ที่ prepันตามผลกระทบของอัตราส่วนของเหลวต่อวัสดุประสาน.....	70
4.17 เปรียบเทียบค่าการ ไฟลแฟ่ของจีโอ โพลิเมอร์มอร์ต้าร์ ที่ prepันตาม ผลกระทบของอัตราส่วนของเหลวต่อวัสดุประสาน ของการแทนที่ ไดอะตومไม้ต์ เพอร์ไอลต์และซีโอ ไอลต์ธรรมชาติในถ้วยร้อยละ 60.....	71
4.18 ค่าการ ไฟลแฟ่ของจีโอ โพลิเมอร์มอร์ต้าร์จากถ้วยผสม ไดอะตومไม้ต์ ที่ prepันตามผลกระทบของความเข้มข้นของโซเดียมไฮดรอกไซด์.....	72
4.19 ค่าการ ไฟลแฟ่ของจีโอ โพลิเมอร์มอร์ต้าร์จากถ้วยผสมเพอร์ไอลต์ ที่ prepันตามผลกระทบของความเข้มข้นของโซเดียมไฮดรอกไซด์.....	73
4.20 ค่าการ ไฟลแฟ่ของจีโอ โพลิเมอร์มอร์ต้าร์จากถ้วยผสมซีโอ ไอลต์ธรรมชาติ ที่ prepันตามผลกระทบของความเข้มข้นของโซเดียมไฮดรอกไซด์.....	73
4.21 เปรียบเทียบค่าการ ไฟลแฟ่ของจีโอ โพลิเมอร์มอร์ต้าร์ ที่ prepันตาม ผลกระทบของความเข้มข้นของโซเดียมไฮดรอกไซด์ ของการแทนที่ ไดอะตومไม้ต์ เพอร์ไอลต์และซีโอ ไอลต์ธรรมชาติในถ้วยร้อยละ 60.....	74
4.22 ค่าการ ไฟลแฟ่ของจีโอ โพลิเมอร์มอร์ต้าร์จากถ้วยผสม ไดอะตومไม้ต์ ที่ prepันตามผลกระทบของอัตราส่วนการเพิ่มปริมาณน้ำต่อวัสดุประสาน.....	75
4.23 ค่าการ ไฟลแฟ่ของจีโอ โพลิเมอร์มอร์ต้าร์จากถ้วยผสมเพอร์ไอลต์ ที่ prepันตามผลกระทบของอัตราส่วนการเพิ่มปริมาณน้ำต่อวัสดุประสาน.....	75
4.24 ค่าการ ไฟลแฟ่ของจีโอ โพลิเมอร์มอร์ต้าร์จากถ้วยผสมซีโอ ไอลต์ธรรมชาติ ที่ prepันตามผลกระทบของอัตราส่วนการเพิ่มปริมาณน้ำต่อวัสดุประสาน.....	76

สารบัญรูป (ต่อ)

รูปที่

หน้า

4.25 เปรียบเทียบค่าการไฟลแผ่นของจีโอโพลิเมอร์มอร์ต้าร์ ที่แบร์พันตามผลกราฟของอัตราส่วนการเพิ่มปริมาณน้ำต่อวัสดุประสาน ของการแทนที่ไดอะตอนไม้ต์ เพอร์ไอลต์ และซีโอไอลต์ธรรมชาติในถ้วยอย่างละ 60.....	76
4.26 ระยะเวลา ก่อตัวเริ่มต้นและระยะเวลา ก่อตัวสุดท้ายของจีโอโพลิเมอร์มอร์ต้าร์ จากถ้วยอย่างสม่ำเสมอ ไดอะตอนไม้ต์.....	77
4.27 ระยะเวลา ก่อตัวเริ่มต้นและระยะเวลา ก่อตัวสุดท้ายของจีโอโพลิเมอร์มอร์ต้าร์ จากถ้วยอย่างสม่ำเสมอ ซีโอไอลต์.....	78
4.28 ระยะเวลา ก่อตัวเริ่มต้นและระยะเวลา ก่อตัวสุดท้ายของจีโอโพลิเมอร์มอร์ต้าร์ จากถ้วยอย่างสม่ำเสมอ ซีโอไอลต์ธรรมชาติ.....	78
4.29 เปรียบเทียบระยะเวลา ก่อตัวเริ่มต้นและระยะเวลา ก่อตัวสุดท้าย ของจีโอโพลิเมอร์มอร์ต้าร์ ของการแทนที่ไดอะตอนไม้ต์ เพอร์ไอลต์ และซีโอไอลต์ธรรมชาติในถ้วยอย่างละ 60.....	79
4.30 ค่ากำลังอัดของจีโอโพลิเมอร์มอร์ต้าร์ จากถ้วยอย่างสม่ำเสมอ ไดอะตอนไม้ต์ ที่แบร์พันตามผลกราฟของอัตราส่วนโซเดียมซิลิกเกตต่อโซเดียมไฮดรอกไซด์.....	80
4.31 ค่ากำลังอัดของจีโอโพลิเมอร์มอร์ต้าร์ จากถ้วยอย่างสม่ำเสมอ พร์ไอลต์ ที่แบร์พันตามผลกราฟของอัตราส่วนโซเดียมซิลิกเกตต่อโซเดียมไฮดรอกไซด์.....	81
4.32 ค่ากำลังอัดของจีโอโพลิเมอร์มอร์ต้าร์ จากถ้วยอย่างสม่ำเสมอ ซีโอไอลต์ธรรมชาติ ที่แบร์พันตามผลกราฟของอัตราส่วนโซเดียมซิลิกเกตต่อโซเดียมไฮดรอกไซด์.....	81
4.33 เปรียบเทียบค่ากำลังอัดของจีโอโพลิเมอร์มอร์ต้าร์ ที่แบร์พันตามผลกราฟของอัตราส่วนโซเดียมซิลิกเกตต่อโซเดียมไฮดรอกไซด์ ของการแทนที่ไดอะตอนไม้ต์ เพอร์ไอลต์ และซีโอไอลต์ธรรมชาติในถ้วยอย่างละ 60.....	83
4.34 ค่ากำลังอัดของจีโอโพลิเมอร์มอร์ต้าร์ จากถ้วยอย่างสม่ำเสมอ ไดอะตอนไม้ต์ ที่แบร์พันตามผลกราฟของอัตราส่วนของเหลวต่อวัสดุประสาน.....	84
4.35 ค่ากำลังอัดของจีโอโพลิเมอร์มอร์ต้าร์ จากถ้วยอย่างสม่ำเสมอ พร์ไอลต์ ที่แบร์พันตามผลกราฟของอัตราส่วนของเหลวต่อวัสดุประสาน.....	85
4.36 ค่ากำลังอัดของจีโอโพลิเมอร์มอร์ต้าร์ จากถ้วยอย่างสม่ำเสมอ ซีโอไอลต์ธรรมชาติ ที่แบร์พันตามผลกราฟของอัตราส่วนของเหลวต่อวัสดุประสาน.....	85

สารบัญรูป (ต่อ)

รูปที่

หน้า

4.37 เปรียบเทียบค่ากำลังอัดของจีโอโพลิเมอร์มอร์ต้าร์ ที่แปรผันตาม ผลกระทบของอัตราส่วนของเหลวต่อวัสดุประสาน ของการแทนที่ โดยต่ำสุด ไม่ต่ำกว่า 40% และซีโอไอล์ต์ชาร์มชาติในถ้วยอย่างละ 60.....	86
4.38 ค่ากำลังอัดของจีโอโพลิเมอร์มอร์ต้าร์จากถ้วยอย่างสมดุลโดยต่ำสุด ไม่ต่ำ ที่แปรผันตามผลกระทบของความเข้มข้นของโซเดียมไฮดรอกไซด์.....	87
4.39 ค่ากำลังอัดของจีโอโพลิเมอร์มอร์ต้าร์จากถ้วยอย่างสมดุลเพอร์ไอล์ต์ ที่แปรผันตามผลกระทบของความเข้มข้นของโซเดียมไฮดรอกไซด์.....	88
4.40 ค่ากำลังอัดของจีโอโพลิเมอร์มอร์ต้าร์จากถ้วยอย่างสมดุลซีโอไอล์ต์ชาร์มชาติ ที่แปรผันตามผลกระทบของความเข้มข้นของโซเดียมไฮดรอกไซด์.....	88
4.41 เปรียบเทียบค่ากำลังอัดของจีโอโพลิเมอร์มอร์ต้าร์ ที่แปรผันตาม ผลกระทบของความเข้มข้นของโซเดียมไฮดรอกไซด์ ของการแทนที่ โดยต่ำสุด ไม่ต่ำกว่า 40% และซีโอไอล์ต์ชาร์มชาติในถ้วยอย่างละ 60.....	89
4.42 ค่ากำลังอัดของจีโอโพลิเมอร์มอร์ต้าร์จากถ้วยอย่างสมดุลโดยต่ำสุด ไม่ต่ำ ที่แปรผันตามผลกระทบของอุณหภูมิการเร่งปฏิกิริยา.....	91
4.43 ค่ากำลังอัดของจีโอโพลิเมอร์มอร์ต้าร์จากถ้วยอย่างสมดุลเพอร์ไอล์ต์ ที่แปรผันตามผลกระทบของอุณหภูมิการเร่งปฏิกิริยา.....	91
4.44 ค่ากำลังอัดของจีโอโพลิเมอร์มอร์ต้าร์จากถ้วยอย่างสมดุลซีโอไอล์ต์ชาร์มชาติ ที่แปรผันตามผลกระทบของอุณหภูมิการเร่งปฏิกิริยา.....	92
4.45 ผลกระทบของอุณหภูมิการเร่งปฏิกิริยาต่อจีโอโพลิเมอร์มอร์ต้าร์ จากถ้วยอย่างสมดุลโดยต่ำสุด ไม่ต่ำสุด ไม่ต่ำกว่า 40%.....	92
4.46 เปรียบเทียบค่ากำลังอัดของจีโอโพลิเมอร์มอร์ต้าร์ ที่แปรผันตาม ผลกระทบของอุณหภูมิการเร่งปฏิกิริยา ของการแทนที่โดยต่ำสุด ไม่ต่ำ กว่า 40% และซีโอไอล์ต์ชาร์มชาติในถ้วยอย่างละ 60.....	93
4.47 ค่ากำลังอัดของจีโอโพลิเมอร์มอร์ต้าร์จากถ้วยอย่างสมดุลโดยต่ำสุด ไม่ต่ำ ที่แปรผันตามผลกระทบของอัตราส่วนการเพิ่มปริมาณน้ำต่อวัสดุประสาน.....	94

สารบัญรูป (ต่อ)

รูปที่

หน้า

4.48	ค่ากำลังอัดของจีโอโพลิเมอร์มอร์ต้าร์จากถ้วยอยพสมเพอร์ไอล์ต์ ที่แบร์เพนดัมผลกระบวนการอัตราส่วนการเพิ่มปริมาณน้ำต่อวัสดุประสาน.....	95
4.49	ค่ากำลังอัดของจีโอโพลิเมอร์มอร์ต้าร์จากถ้วยอยพสมซีโอไอล์ตชรร์มชาติ ที่แบร์เพนดัมผลกระบวนการอัตราส่วนการเพิ่มปริมาณน้ำต่อวัสดุประสาน.....	95
4.50	เปรียบเทียบค่ากำลังอัดของจีโอโพลิเมอร์มอร์ต้าร์ ที่แบร์เพนดัม ผลกระบวนการอัตราส่วนการเพิ่มปริมาณน้ำต่อวัสดุประสาน ของการแทนที่ ไคลอตอมไม่ม์ เพอร์ไอล์ต และซีโอไอล์ตชรร์มชาติในถ้วยข้อyle 60.....	96
4.51	ค่ากำลังอัดของจีโอโพลิเมอร์มอร์ต้าร์จากถ้วยอยพสมไคลอตอมไม่ม์ ที่แบร์เพนดัมผลกระบวนการระยะเวลาการบ่ม.....	97
4.52	ค่ากำลังอัดของจีโอโพลิเมอร์มอร์ต้าร์จากถ้วยอยพสมเพอร์ไอล์ต์ ที่แบร์เพนดัมผลกระบวนการระยะเวลาการบ่ม.....	98
4.53	ค่ากำลังอัดของจีโอโพลิเมอร์มอร์ต้าร์จากถ้วยอยพสมซีโอไอล์ตชรร์มชาติ ที่แบร์เพนดัมผลกระบวนการระยะเวลาการบ่ม.....	98
4.54	เปรียบเทียบค่ากำลังอัดของจีโอโพลิเมอร์มอร์ต้าร์ ที่แบร์เพนดัม ผลกระบวนการระยะเวลาการบ่ม ของการแทนที่ไคลอตอมไม่ม์ เพอร์ไอล์ต และซีโอไอล์ตชรร์มชาติในถ้วยข้อyle 60.....	99
4.55	ผลกระบวนการอัตราส่วนซิลิกาต่อออกูมินา ($\text{SiO}_2/\text{Al}_2\text{O}_3$) ต่อกำลังอัด ของจีโอโพลิเมอร์มอร์ต้าร์จากถ้วยอยพสมไคลอตอมไม่ม์.....	100
4.56	ผลกระบวนการอัตราส่วนซิลิกาต่อออกูมินา ($\text{SiO}_2/\text{Al}_2\text{O}_3$) ต่อกำลังอัด ของจีโอโพลิเมอร์มอร์ต้าร์จากถ้วยอยพสมเพอร์ไอล์ต.....	100
4.57	ผลกระบวนการอัตราส่วนซิลิกาต่อออกูมินา ($\text{SiO}_2/\text{Al}_2\text{O}_3$) ต่อกำลังอัด ของจีโอโพลิเมอร์มอร์ต้าร์จากถ้วยอยพสมซีโอไอล์ตชรร์มชาติ.....	101
4.58	โครงสร้างการเชื่อมพันธะของโพลิไซอะเลต (Davidovits, J., 1999).....	101
4.59	หน่วยน้ำหนักของจีโอโพลิเมอร์มอร์ต้าร์จากถ้วยอยพสมไคลอตอมไม่ม์ ที่แบร์เพนดัมผลกระบวนการอัตราส่วนโซเดียมซิลิกเกตต่อโซเดียมไฮดรอกไซด์.....	102
4.60	หน่วยน้ำหนักของจีโอโพลิเมอร์มอร์ต้าร์จากถ้วยอยพสมไคลอตอมไม่ม์ ที่แบร์เพนดัมผลกระบวนการอัตราส่วนอัตราส่วนของเหลวต่อวัสดุประสาน.....	103

สารบัญรูป (ต่อ)

รูปที่

หน้า

4.61	หน่วยน้ำหนักของจีโอโพลิเมอร์มอร์ต้าร์จากถ้วยพลาสติกอะตอมไม่มีต์ที่แบ่งผ่านตามผลกระทบของความเข้มข้นโซเดียมไฮดรอกไซด์.....	103
4.62	หน่วยน้ำหนักของจีโอโพลิเมอร์มอร์ต้าร์จากถ้วยพลาสติกอะตอมไม่มีต์ที่แบ่งผ่านตามผลกระทบของอุณหภูมิการเร่งปฏิกิริยา.....	104
4.63	หน่วยน้ำหนักของจีโอโพลิเมอร์มอร์ต้าร์จากถ้วยพลาสติกอะตอมไม่มีต์ที่แบ่งผ่านตามผลกระทบของอัตราส่วนโซเดียมซิลิกเกตต่อโซเดียมไฮดรอกไซด์.....	105
4.64	หน่วยน้ำหนักของจีโอโพลิเมอร์มอร์ต้าร์จากถ้วยพลาสติกอะตอมไม่มีต์ที่แบ่งผ่านตามผลกระทบของอัตราส่วนอัตราส่วนของเหลวต่อวัสดุประสาน.....	105
4.65	หน่วยน้ำหนักของจีโอโพลิเมอร์มอร์ต้าร์จากถ้วยพลาสติกอะตอมไม่มีต์ที่แบ่งผ่านตามผลกระทบของความเข้มข้นโซเดียมไฮดรอกไซด์.....	106
4.66	หน่วยน้ำหนักของจีโอโพลิเมอร์มอร์ต้าร์จากถ้วยพลาสติกอะตอมไม่มีต์ที่แบ่งผ่านตามผลกระทบของอุณหภูมิการเร่งปฏิกิริยา.....	106
4.67	หน่วยน้ำหนักของจีโอโพลิเมอร์มอร์ต้าร์จากถ้วยพลาสติกอะตอมชีโอไลต์ธรรมชาติที่แบ่งผ่านตามผลกระทบของอัตราส่วนโซเดียมซิลิกเกตต่อโซเดียมไฮดรอกไซด์.....	107
4.68	หน่วยน้ำหนักของจีโอโพลิเมอร์มอร์ต้าร์จากถ้วยพลาสติกอะตอมชีโอไลต์ธรรมชาติที่แบ่งผ่านตามผลกระทบของอัตราส่วนอัตราส่วนของเหลวต่อวัสดุประสาน.....	108
4.69	หน่วยน้ำหนักของจีโอโพลิเมอร์มอร์ต้าร์จากถ้วยพลาสติกอะตอมชีโอไลต์ธรรมชาติที่แบ่งผ่านตามผลกระทบของความเข้มข้นโซเดียมไฮดรอกไซด์.....	108
4.70	หน่วยน้ำหนักของจีโอโพลิเมอร์มอร์ต้าร์จากถ้วยพลาสติกอะตอมชีโอไลต์ธรรมชาติที่แบ่งผ่านตามผลกระทบของอุณหภูมิการเร่งปฏิกิริยา.....	109
4.71	เบรย์บเทียนค่าหน่วยน้ำหนักของจีโอโพลิเมอร์มอร์ต้าร์ ของการแทนที่ไดอะตومไม่มีต์ เพอร์ไอลต์ และชีโอไลต์ธรรมชาติในถ้วยร้อนละ 60.....	109
4.72	เบรย์บเทียนบาร์มูลัสบีดหยุ่นของจีโอโพลิเมอร์มอร์ต้าร์จากถ้วยพลาสติกอะตอมไม่มีต์ เพอร์ไอลต์ และชีโอไลต์ธรรมชาติ ที่ความเข้มข้นโซเดียมไฮดรอกไซด์ 15 มิลลิ อัตราส่วนโซเดียมซิลิกเกตต่อโซเดียมไฮดรอกไซด์ เท่ากับ 1.5 และอุณหภูมิการเร่งปฏิกิริยาเท่ากับ 75°C.....	110

สารบัญรูป (ต่อ)

รูปที่	หน้า
4.73 เปรียบเทียบโนดูลัสยีดหยุ่นของจีโอ โพลิเมอร์มอร์ต้าร์จากถ่านอย ผสมไโคอะตอนไม้ต์ เพอร์ไอลต์ และซีโอไอลต์ธรรมชาติ ที่ความเข้มข้น ^{ใช้เดิม ไอครอกไซด์ 15 ไมลาร์ อัตราส่วนใช้เดิมซิลิกเกตต่อ^{ใช้เดิม ไอครอกไซด์ เท่ากับ 1.5 และอุณหภูมิการเร่งปฏิกิริยาเท่ากับ 75°C ที่ระยะเวลาการบ่ม 7, 14 และ 28 วัน.....}}	111
4.74 ความสัมพันธ์ระหว่างความเค็นและความเครียดของจีโอ โพลิเมอร์มอร์ต้าร์ จากถ่านอยผสมไโคอะตอนไม้ต์.....	112
4.75 ความสัมพันธ์ระหว่างความเค็นและความเครียดของจีโอ โพลิเมอร์มอร์ต้าร์ จากถ่านอยผสมเพอร์ไอลต์.....	112
4.76 ความสัมพันธ์ระหว่างความเค็นและความเครียดของจีโอ โพลิเมอร์มอร์ต้าร์ จากถ่านอยผสมซีโอไอลต์ธรรมชาติ.....	113
4.77 เปรียบเทียบความสัมพันธ์ระหว่างความเค็นและความเครียด ของจีโอ โพลิเมอร์มอร์ต้าร์จากถ่านอยผสมไโคอะตอนไม้ต์ เพอร์ไอลต์ และซีโอไอลต์ธรรมชาติ.....	113
4.78 ลักษณะการวิบติของจีโอ โพลิเมอร์มอร์ต้าร์จากถ่านอยผสมไโคอะตอนไม้ต์.....	115
4.79 ลักษณะการวิบติของจีโอ โพลิเมอร์มอร์ต้าร์จากถ่านอยผสมเพอร์ไอลต์.....	115
4.80 ลักษณะการวิบติของจีโอ โพลิเมอร์มอร์ต้าร์จากถ่านอย ผสมซีโอไอลต์ธรรมชาติ.....	116
4.81 ลักษณะการวิบติของจีโอ โพลิเมอร์มอร์ต้าร์จากถ่านอย.....	116

คำอธิบายสัญลักษณ์และคำย่อ

ASTM	American Society for Testing Material
CAH	Calcium Aluminate Hydrate
CSH	Calcium Silicate Hydrate
Ca(OH)_2	Calcium hydroxide
cm^2/g	ตารางเซนติเมตรต่อกรัม
DE	ไดอะตอนม์ไมต์
DTA	Differential Thermal Analysis
EPA	Expanded Perlite Aggregate
FA	ถ้าลอย
FA100	ส่วนผสมควบคุมโดยการใช้ถ้าลอยทั้งหมดในส่วนผสม
FADE60	ส่วนผสมโดยการแทนที่ไดอะตอนม์ไมต์ในถ้าลอยร้อยละ 60
FADE80	ส่วนผสมโดยการแทนที่ไดอะตอนม์ไมต์ในถ้าลอยร้อยละ 80
FADE100	ส่วนผสมโดยการแทนที่ไดอะตอนม์ไมต์ในถ้าลอยร้อยละ 100
FAPL60	ส่วนผสมโดยการแทนที่เพอร์ไอลิต์ในถ้าลอยร้อยละ 60
FAPL80	ส่วนผสมโดยการแทนที่เพอร์ไอลิต์ในถ้าลอยร้อยละ 80
FAPL100	ส่วนผสมโดยการแทนที่เพอร์ไอลิต์ในถ้าลอยร้อยละ 100
FANZ60	ส่วนผสมโดยการแทนที่ซีไอไอลิต์ธรรมชาติในถ้าลอยร้อยละ 60
FANZ80	ส่วนผสมโดยการแทนที่ซีไอไอลิต์ธรรมชาติในถ้าลอยร้อยละ 80
FANZ100	ส่วนผสมโดยการแทนที่ซีไอไอลิต์ธรรมชาติในถ้าลอยร้อยละ 100
ksc	กิโลกรัมต่ำตารางเมตร
kg/m^3	กิโลกรัมต่อลูกบาศก์เมตร
LOI	Loss On Ignition
L/B	อัตราส่วนของเหลวต่อวัสดุประสาน โคลนน้ำหนัก
M	ความเข้มข้นของโซเดียมไฮดรอกไซด์
MPa	เมกะปascal
NaOH	โซเดียมไฮดรอกไซด์

คำอธิบายสัญลักษณ์และคำย่อ (ต่อ)

Na_2SiO_3	โซเดียมซิลิกेट
NP	วัสดุปอชโซลานธรรมชาติ
NZ	ซีไอไลต์ธรรมชาติ
PL	เพอร์ไอล์
SEM	Scanning Electron Microscope
SZ	ซีไอไลต์สังเคราะห์
S/B	อัตราส่วนทรายต่อวัสดุประสาน โดยน้ำหนัก
TGA	Thermal Gravity Analysis
XRD	X-Ray Diffraction Analysis
XRF	X-Ray Fluorescence

บทที่ 1

บทนำ

1.1 ความเป็นมาและความสำคัญของปูนหา

ปัจจุบันในงานก่อสร้างอาคารทั่ว ๆ ไป ส่วนใหญ่ที่เราพบเห็นมักนิยมก่อสร้างจากการใช้คอนกรีตเสริมเหล็กโดยเฉพาะส่วนที่เป็นโครงสร้างหลักขององค์อาคารนั้น ๆ เช่น ฐานราก คาน เสา และพื้น เป็นต้น แสดงให้เห็นว่าความนิยมในการเลือกใช้วัสดุคอนกรีต (ปูนซีเมนต์-ปอร์ตแคลนด์ หิน ทราย น้ำ และสารผสมเพิ่ม) และเหล็ก (เหล็กเส้นกลม เหล็กเส้นข้ออ้อย และเหล็กรูปพรรณ) เป็นวัสดุที่มีความนิยมมากที่สุด ดังนั้นปูนซีเมนต์ปอร์ตแคลนด์ซึ่งเป็นวัตถุดิบที่เป็นส่วนผสมสำคัญของคอนกรีตซึ่งแน่นอนว่าต้องมีความต้องการเพิ่มมากขึ้น โดยอัตราไม่มีเพื่อที่นำมาผลิตคอนกรีตเพื่อใช้ในงานโครงสร้างอาคาร แต่เนื่องจากในระหว่างขั้นตอนการผลิตปูนซีเมนต์นั้นได้ก่อให้เกิดมลภาวะต่อสิ่งแวดล้อมจากการปล่อยก๊าซที่มีผลต่อการทำให้เกิดภาวะเรือนกระจก ถึงปีละ 13,500 ล้านตัน หรือประมาณร้อยละ 7 ของก๊าซที่ปล่อยออกมายังหมู่ (McCaffrey, R., 2002) อีกทั้งวัสดุที่ใช้ในการผลิตปูนซีเมนต์มีข้อจำกัดทางด้านวัตถุดิบ ดังนั้นจึงมีความพยายามในการลดการใช้ปูนซีเมนต์ปอร์ตแคลนด์ลง เช่นการพัฒนาคอนกรีตที่ใช้สารปอชโซลัน (Pozzolan) ปริมาณสูงและการพัฒนาสารซีเมนต์ที่ไม่ใช้ปูนซีเมนต์ปอร์ตแคลนด์เลย โดยการใช้วัสดุที่เหลือใช้หรือวัสดุตามธรรมชาติ เป็นการช่วยลดมลภาวะจากการทิ้งากเหลือใช้ ซึ่งสารซีเมนต์ดังกล่าวได้แก่ จีโอโพลิเมอร์ (Geopolymer)

จีโอโพลิเมอร์ (Geopolymer) เป็นการพัฒนาสารซีเมนต์ชนิดใหม่ที่ไม่ใช้ปูนซีเมนต์เป็นตัวประสาน ซึ่งสามารถสังเคราะห์ได้จากวัตถุดิบที่มีล่วงประกอบซิลิกา (Silica, SiO_2) และอัลูมินา (Alumina, Al_2O_3) เป็นองค์ประกอบ จีโอโพลิเมอร์ใช้หลักการของการทำปฏิกิริยาของซิลิกาและอัลูมินาให้เป็นโมเลกุลลูกโซ่ในลักษณะของโพลิเมอร์ โดยการกระตุ้นด้วยสารละลายที่มีความเป็นด่างสูง แล้วใช้ความร้อนเป็นตัวเร่งปฏิกิริยา จะได้สารซีเมนต์ที่มีคุณสมบัติในการรับแรงได้ดังนั้น จีโอโพลิเมอร์จึงสามารถใช้เป็นวัสดุเชื่อมประสานเช่นเดียวกับซีเมนต์เพสต์ ผลที่ได้ก็จะเป็นการพัฒนาด้านวิศวกรรมแล้วขึ้น ได้ผลตอบแทนในการได้ช่วยลดมลภาวะให้กับสิ่งแวดล้อมเพื่อลดปูนหาโลกร้อน (Global warming) ซึ่งเป็นปัญหาใหญ่มากในขณะนี้ ดังนั้นจึงเลือกใช้วิธีการพัฒนาจีโอโพลิเมอร์โดยการศึกษาがらอัคซึ่งเป็นคุณสมบัติอันสำคัญเป็นสิ่งที่ควรพัฒนาอย่างต่อเนื่องเพื่อการนำมาใช้แทนปูนซีเมนต์ปอร์ตแคลนด์ได้อย่างเหมาะสมและเกิดความเชื่อมั่นในวงการอุตสาหกรรมก่อสร้างต่อไป

ในงานวิจัยครั้งนี้ได้เลือก แร่ซีโอไฮต์ แร่เพอร์ไอลิต์ และแร่ไ/doxite ไม่มีซึ่งขัดอยู่ในกลุ่มสารประกอบแร่ธาตุผสมเพิ่ม ประเกทปอชโซลานธรรมชาติ (Natural pozzolan) โดยจัดเป็นสารประกอบอัลูมิโนซิลิเกต (Alumino silicate) หรือสารอัลูมิโนฟอสเฟต (Alumino phosphate) จึงน่าจะเกิดปฏิกิริยาปอชโซลานได้ดี งานวิจัยในประเทศจีนได้มีการนำปอชโซลานจากธรรมชาติมาประยุกต์ใช้กับงานคอนกรีตมากมาย เช่น นำมาใช้ในงานคอนกรีตมวลเบา ทำเป็นสารผสมเพิ่มเพื่อลดการเกิดปฏิกิริยาอัลคลาไฮต์ในคอนกรีต ลดปัญหาการเกิดการเยื้ม ลดการแยกตัว ลดการซึมผ่าน เพิ่มความทนทาน และเพิ่มกำลัง เป็นต้น แต่การนำสารปอชโซลานธรรมชาติมาเป็นวัสดุในการทำจีโอโพลิเมอร์ยังมีน้อยอยู่ ซึ่งจากการวิจัยที่ผ่านมาพบว่าการใช้ถ้าโดยเป็นวัสดุตั้งต้นในงานจีโอโพลิเมอร์นั้นมีระยะเวลา ก่อตัวที่รวดเร็ว ส่งผลให้ความสามารถทำงานได้น้อย ดังนั้นงานวิจัยนี้ จึงมุ่งประเด็นศึกษาถึงคุณสมบัติการรับกำลังอัดและความสามารถทำงานได้ของจีโอโพลิเมอร์ ให้เหมาะสมแก่การนำไปใช้งานได้ นอกจากนี้สมบัติที่คือมีน้ำหนักเบา ความหนาแน่นต่ำ มีความพรุนสูง มีความแข็งแรง จึงน่าจะมีศักยภาพในการนำไปใช้เป็นส่วนประกอบในงานจีโอโพลิเมอร์ และทำให้ได้จีโอโพลิเมอร์ที่มีหน่วยน้ำหนักที่เบาลง นอกจากนี้ข้อมูลงานวิจัยทางด้านจีโอโพลิเมอร์ยังมีแนวโน้มที่ดีและเป็นที่ต้องการอีกมาก

1.2 วัตถุประสงค์ของงานวิจัย

1.2.1 เพื่อหารู้วัสดุใหม่ที่มีคุณสมบัติในการรับกำลังอัด และความสามารถการทำงานได้ของจีโอโพลิเมอร์ตัวร์

1.2.2 เพื่อศึกษาเปรียบเทียบคุณสมบัติการรับกำลังอัดของจีโอโพลิเมอร์ตัวร์จากถ้าโดยผสมไ/doxite ไม่มีซีโอไฮต์ เพอร์ไอลิต์ และซีโอไฮต์ธรรมชาติ พร้อมหาอัตราส่วนที่เหมาะสม เหมาะสมแก่การนำไปใช้งาน

1.3 ขอบเขตของการวิจัย

การศึกษาโครงการงานวิจัยนี้ได้กำหนดขอบเขตของงานวิจัย ประกอบด้วยดังนี้

1.3.1 ใช้ไ/doxite ไม่มีซีโอไฮต์แทนที่ในถ้าโดยร้อยละ 0 60 80 และ 100 โดยน้ำหนัก

1.3.2 ใช้เพอร์ไอลิต์แทนที่ในถ้าโดยร้อยละ 0 60 80 และ 100 โดยน้ำหนัก

1.3.3 ใช้ซีโอไฮต์ธรรมชาติแทนที่ในถ้าโดยร้อยละ 0 60 80 และ 100 โดยน้ำหนัก

1.3.4 ใช้อัตราส่วนของโซเดียมซิลิเกต (Na_2SO_3) ต่อโซเดียมไฮดรอกไซด์ (NaOH) เท่ากับ 0.5 1.0 1.5 2.0 และ 2.5

1.3.5 ใช้ความเข้มข้นของโซเดียมไฮดรอกไซด์ (NaOH) เท่ากับ 5 10 15 และ 20 มิลลิ-

1.3.6 ใช้ทรายแม่น้ำจากจังหวัดนราธิวาส คัดขนาดตามมาตรฐาน ASTM C 33 (2008)

1.3.7 ขนาดของก้อนตัวอย่างมาตรฐานทรงลูกบาศก์ขนาด 50x50x50 mm และใช้อัตราส่วนผสมดังแสดงในตารางที่ 3.2 ถึง 3.7

1.3.8 อุณหภูมิการเร่งปฏิกิริยาเท่ากับ 60 75 และ 90°C

1.3.9 ทดสอบคุณสมบัติด้านการไหลแผ่ของจีโอโพลิเมอร์ตัวร์ ตามมาตรฐาน ASTM C 1437 (2007)

1.3.10 ทดสอบคุณสมบัติด้านระยะเวลาการก่อตัวของจีโอโพลิเมอร์ตัวร์ ตามมาตรฐาน ASTM C 191 (2008)

1.3.11 ทดสอบคุณสมบัติทางด้านกำลังอัดของจีโอโพลิเมอร์ตัวร์ ที่ระยะเวลาการบ่ม 7 14 และ 28 วัน ตามมาตรฐาน ASTM C 109 (2002)

1.4 ขั้นตอนการดำเนินงานวิจัย

1.4.1 รวมรวมทฤษฎีและงานวิจัยที่เกี่ยวข้อง รวมถึงวิธีการในการทดสอบ

1.4.2 สรุปขอบเขตงานวิจัย

1.4.3 คำนวณปริมาณวัสดุที่ต้องการใช้ให้เพียงพอสำหรับการทำวิจัย

1.4.4 จัดหาวัสดุ อุปกรณ์ และวางแผนดำเนินการทดสอบ

1.4.5 ทำการทดลองสัดส่วนผสม และดำเนินการทดสอบหาคุณสมบัติพื้นฐานของวัสดุที่ใช้ในงานวิจัย

1.4.6 วิเคราะห์ผล และสรุปผลการทดสอบ

1.4.7 สรุปผลการวิจัยและจัดทำรูปเล่มวิทยานิพนธ์

1.5 ประโยชน์ที่คาดว่าจะได้รับ

1.5.1 เป็นแนวทางในการพัฒนาวัสดุก่อสร้างชนิดใหม่ที่มาจากจีโอโพลิเมอร์จากถ้าลองผสมโดยตัวตัวอื่นไม่ได้ แต่สามารถใช้เป็นตัวตัวเดียวได้

1.5.2 สามารถนำวัสดุจากธรรมชาติมาใช้ให้เกิดประโยชน์ได้มากที่สุด

1.5.3 สามารถปรับปรุงคุณสมบัติของจีโอโพลิเมอร์จากถ้าลองผสมโดยตัวตัวเดียวไม่ได้ แต่สามารถใช้เป็นตัวตัวเดียวได้ ให้สามารถรับกำลังอัดได้สูงที่สุดและความสามารถทำงานได้เหมาะสมแก่การนำไปใช้งาน

1.5.4 ทราบถึงผลกระทบของตัวแปรต่าง ๆ และใช้เป็นข้อมูลเบื้องต้นในการพัฒนาการผลิตจีโอโพลิเมอร์จากถ่านอยผอม ไโคอะตوم ไมม์ เพอร์ไอลต์ และซีโอไอลต์ธรรมชาติ

1.5.5 เป็นแนวทางในการศึกษาจีโอโพลิเมอร์มวลเบาในอนาคต



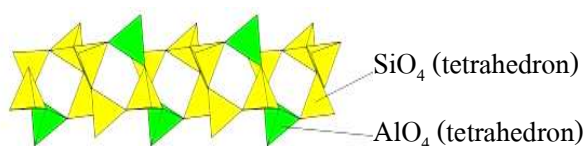
บทที่ 2

ปริทัศน์วรรณกรรมและงานวิจัยที่เกี่ยวข้อง

2.1 จีโอโพลิเมอร์ (Geopolymer)

จีโอโพลิเมอร์เป็นวัสดุผสมอلوมิโนซิลิกาเกตที่มีโครงสร้าง 3 มิติแบบอสัมธาน (Amorphous) หรือเรียกอีกอย่างว่าสารประกอบจีโอโพลิเมอริกอนินทรีย์ ซึ่งถูกค้นพบครั้งแรกในปี ค.ศ. 1950 โดย Dr. Glukhovsky ชาวสหภาพโซเวียต หลังจากนั้นต่อมาไม่นาน ในปี ค.ศ. 1970 นิยามของจีโอโพลิเมอร์ถูกกำหนดขึ้นเป็นครั้งแรกโดย Prof. Joseph Davidovits นักวิทยาศาสตร์เคมีชาวฝรั่งเศส ได้ให้นิยามของจีโอโพลิเมอร์ดังนี้

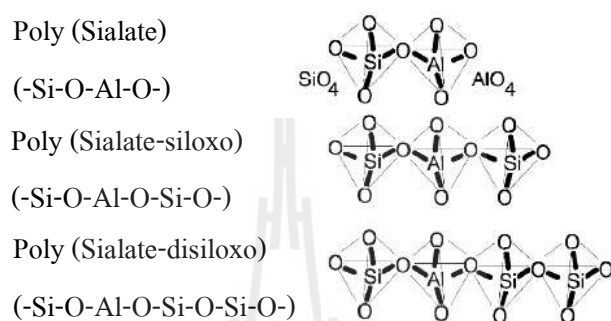
จีโอโพลิเมอร์เป็นวัสดุเชื่อมประสานชนิดหนึ่งที่มีส่วนผสมของแร่ชาตุเป็นองค์ประกอบการเกิดปฏิกิริยาเคมีขึ้น โดยส่วนประกอบทางเคมีของแร่ชาตุนั้นจะอยู่ในรูปอสัมธาน (Amorphous) ซึ่งมีองค์ประกอบของซิลิกาออกไซด์ (SiO_2) และอلوминิอาออกไซด์ (Al_2O_3) เป็นหลัก โดยจะถูกทำให้แตกตัวด้วยอัลคาไลหรือสารละลายที่เป็นด่างสูง ซึ่งได้แก่ สารละลายโซเดียมไฮดรอกไซด์ (NaOH) หรือโพแทสเซียมไฮดรอกไซด์ (KOH) และใช้ความร้อนเป็นตัวเร่งปฏิกิริยา ทำให้สามารถเกิดการก่อตัวแข็งตัวและให้กำลังอัดได้ โดยโครงสร้างของจีโอโพลิเมอร์นี้จะแตกต่างจากโครงสร้างของการเกิดปฏิกิริยาไฮเดรชันของปูนซีเมนต์อย่างลึกซึ้ง เมื่อนำมาประยุกต์ใช้กับวัสดุก่อสร้างต่าง ๆ จะทำให้เราได้วัสดุประสานที่สามารถทดแทนปูนซีเมนต์ปอร์ตแลนด์ได้ทั้งหมดเลยที่เดียว และในอนาคตข้างหน้าคาดการณ์ว่าวัสดุจีโอโพลิเมอร์จะมาแทนที่ปูนซีเมนต์ปอร์ตแลนด์ในการผลิตคอนกรีตและวัสดุก่อสร้างต่าง ๆ



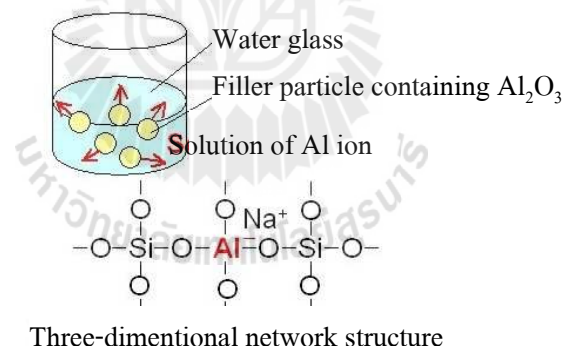
รูปที่ 2.1 ลักษณะโครงสร้างของจีโอโพลิเมอร์ (www.cordi.geopolymere.com)

กลไกการเกิดจีโอโพลิเมอร์ดังที่ได้กล่าวข้างต้นแล้วว่าวัสดุจีโอโพลิเมอร์ต้องมีซิลิกาและอلوминิเนี่ยนองค์ประกอบ โดยวัสดุถูกกระตุ้นด้วยสารละลายที่มีความเป็นด่างสูง เพื่อที่ไปกระตุ้น

ซิลิกาและอลูมินาจากวัสดุเหล่านี้ หลังจากนั้นใช้โซเดียมซิลิกเกตเข้าไปเพื่อให้เกิดการรวมตัวกันในลักษณะของโครงสร้างแบบสามเหลี่ยม ดังแสดงในรูปที่ 2.2 โดยซิลิกาต่ออลูมินาเท่ากับ 1:1 เรียกโครงสร้างเป็น Poly (Sialate) และซิลิกาต่ออลูมินาเท่ากับ 2:1 เรียกโครงสร้างเป็น Poly (Sialate-siloxo) ซึ่งการที่ได้จิโอโพลิเมอร์ที่มีกำลังอัดที่ดีต้องให้อยู่ในอัตราส่วนซิลิกาต่ออลูมินาเท่ากับ 2:1 ดังแสดงในรูปที่ 2.3 (อนุชาติ ลือนันต์ศักดิ์ศรี, 2549)



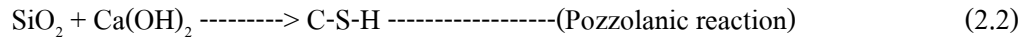
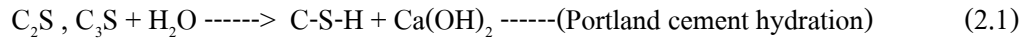
รูปที่ 2.2 โครงสร้างแบบสามเหลี่ยมของจิโอโพลิเมอร์ (www.cordi.geopolymere.com)



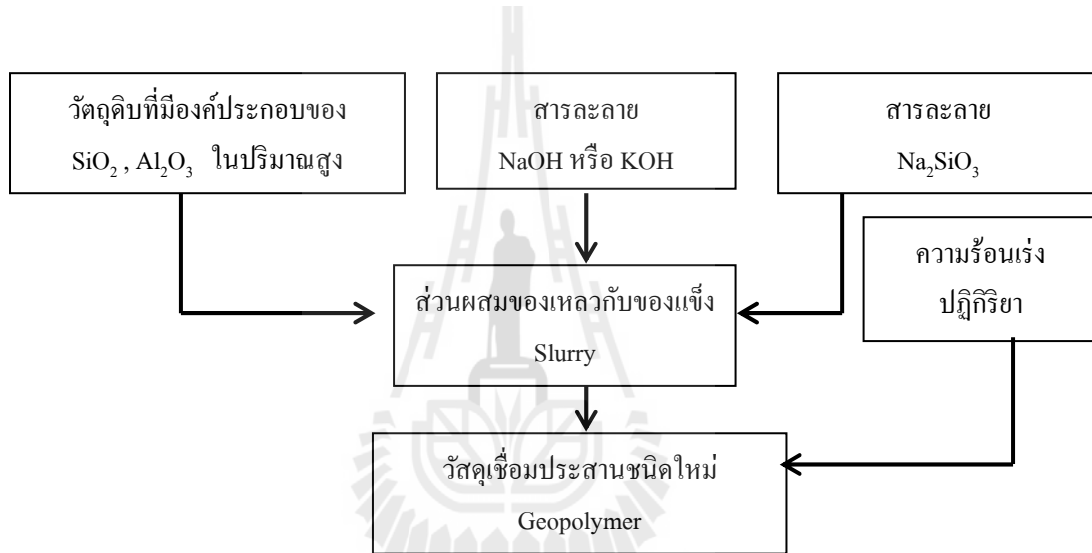
รูปที่ 2.3 Poly (Sialate-siloxo) ซิลิกาต่ออลูมินา 2:1 (www.cordi.geopolymere.com)

2.2 ปอร์ตแลนด์ซีเมนต์กับจิโอโพลิเมอร์

ลักษณะ โครงสร้างของการเกิดปฏิกิริยา ไฮเดรชันของปูนซีเมนต์และจิโอโพลิเมอร์นั้นแตกต่างกันอย่างสิ้นเชิง กล่าวคือ โครงสร้าง ไฮเดรชันของปูนซีเมนต์ปอร์ตแลนด์ประกอบด้วยสารเชื่อมประสานหลักที่เรียกว่า แคลเซียมซิลิกเกต ไฮเดรต (C-S-H) ซึ่งเป็นผลผลิตหลักจากการเกิดปฏิกิริยา ไฮเดรชัน ทำหน้าที่เป็นตัวเชื่อมประสานและให้กำลังอัดแก่คอนกรีต ซีเมนต์เพสต์ หรือมอร์ตาร์ที่แข็งตัวแล้ว ดังแสดงในสมการที่ 2.1



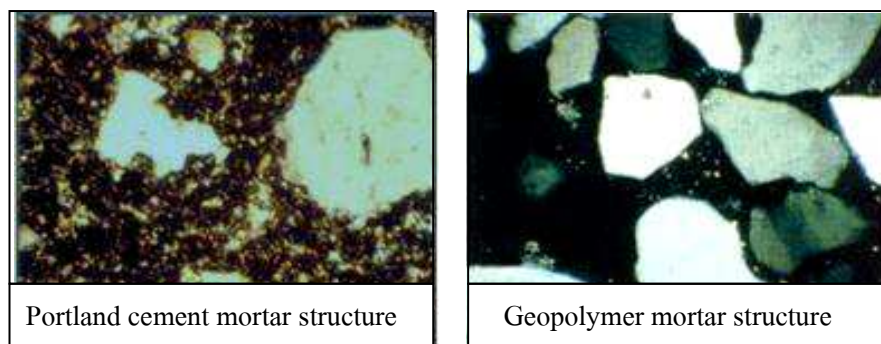
เมื่อนำวัสดุปอชโซลานใช้ร่วมกับปูนซีเมนต์ปอร์ตแลนด์จะเกิดปฏิกิริยาขึ้นที่สองขึ้น เรียกว่าปฏิกิริยาปอชโซลาน (Pozzolanic reaction) ซึ่งจากปฏิกิริยานี้เองส่งผลให้มีผลผลิตที่เป็นตัวเชื่อมประสานเกิดมากขึ้น ได้แก่ แคลเซียมซิลิเกตไอกเรต (C-S-H) ส่งผลให้คอนกรีตหรือซีเมนต์เพสต์มีโครงสร้างที่หนาแน่นและความทนทานมากขึ้น ดังแสดงในสมการที่ 2.2



รูปที่ 2.4 ขั้นตอนการเกิดวัสดุจีโอโพลิเมอร์ (www.journal.thaitca.or.th)

จีโอโพลิเมอร์มีองค์ประกอบทางโครงสร้างแตกต่างจากปฏิกิริยาไอกเรตขั้นของปูนซีเมนต์ปอร์ตแลนด์ เนื่องจากองค์ประกอบหลักของวัสดุและการเกิดปฏิกิริยาที่ไม่เหมือนกัน การเกิดปฏิกิริยาไม่โครงสร้างหลักที่เกิดจากองค์ประกอบของซิลิเกต (Si) อะลูมิเนต (Al) และออกซิเจน (O) โดยใช้สารละลายน้ำที่มีความเป็นค่าสูงในการทำให้สารเหล่านี้แตกตัวออกมารูปปฏิกิริยาเคมีเกิดเป็น Polymer Chain ซึ่งโดยปกติแล้วจะใช้ความร้อนในการเร่งปฏิกิริยาควบคู่กันไปด้วย

เห็นได้ว่าการเกิดปฏิกิริยา Geopolymerization จะมีวัสดุที่มีองค์ประกอบหลักเป็นซิลิกา (SiO₂) และอัลูมินา (Al₂O₃) ซึ่งพบได้มากในวัสดุปอชโซลานที่ใช้กันอยู่ในปัจจุบัน อาทิ เช่น เถ้าถ่านหิน (Fly ash) เล้าแกลง (Rice husk ash, RHA) หรือดินขาวเผา (Metakaolin) ดังนั้นวัสดุเหล่านี้สามารถนำมาประยุกต์ใช้กับจีโอโพลิเมอร์ได้



รูปที่ 2.5 แสดงภาพขยายขนาดไมโครของลักษณะโครงสร้างของปอร์ตแลนด์เมอร์ต้าร์เปรียบเทียบกับจีโอโพลิเมอร์เมอร์ต้าร์ (www.journal.thaitca.or.th)

จากลักษณะโครงสร้างของ Portland cement mortar เปรียบเทียบกับ Geopolymer mortar พบว่าลักษณะโครงสร้างทางกายภาพของ Geopolymer mortar มีลักษณะโครงสร้างที่มีความเป็นเนื้อเดียวกัน (Homogenous) ทำให้มีความแข็งแรงมากกว่า Portland cement mortar ซึ่งมีลักษณะโครงสร้างที่ค่อนข้างร่วน (Granular) และไม่มีความแน่นในการอัดตัวกัน

อย่างไรก็ตามในอุตสาหกรรมจีโอโพลิเมอร์คอนกรีตและมอร์ต้าร์ในประเทศไทยนั้นยังไม่นิยมแพร่หลาย เนื่องจากเทคโนโลยีนี้ยังถือว่าเป็นเทคโนโลยีที่ยังใหม่อยู่สำหรับคนไทยและยังอยู่ในช่วงพัฒนาเพื่อนำมาใช้งาน ซึ่งปัจจุบันนักวิทยาศาสตร์และนักวิจัยเริ่มให้ความสำคัญกับเทคโนโลยีนี้มากขึ้น โดยคาดกันว่าจีโอโพลิเมอร์จะเข้ามานแทนที่วัสดุก่อสร้างอย่างซีเมนต์และคอนกรีตในอนาคต

2.3 ปอชโซลัน (Pozzolan)

อนันท์ ป้อมประสิทธิ (2545) ได้มีการบันทึกไว้ว่า ปอชโซลันเป็นวัสดุที่ถูกนำมาใช้ในการก่อสร้างตั้งแต่สมัยโบราณกว่า 2,000 ปี และในปัจจุบันก็ยังเป็นที่นิยมใช้กันอยู่ ในสมัยโบราณได้นำเอาวัสดุพากปอชโซลันมาใช้ เช่น นำเศษจากภูเขาไฟมาผสมกับปูนขาวเพื่อผลิตเป็นปูนซีเมนต์ไฮดรอลิก (Hydraulic cement) โดยใช้ปอชโซลันต่อปูนขาวเท่ากัน 2:1 มาใช้ในการก่อสร้าง โดยมีไขมัน นม และเลือดจากสัตว์เป็นวัสดุผสมเพิ่ม เพื่อปรับปรุงประสิทธิภาพในการใช้งาน และถึงก่อสร้างที่ทำจากปอชโซลันนั้นก็ยังมีความคงทนมากจนถึงทุกวันนี้

ปริญญา จินดาประเสริฐ และชัย ชาตรพิทักษ์กุล (2547) ให้คำจำกัดความไว้ว่า วัสดุปอชโซลันเป็นวัสดุที่มีซิลิกาและอลูมินาเป็นองค์ประกอบหลัก โดยทั่วไปแล้ววัสดุปอชโซลันไม่มีคุณสมบัติในการขัดประสาร แต่ถ้าวัสดุปอชโซลันมีความละเอียดมากและมีน้ำหนักความชื้น

ที่เพียงพอจะสามารถทำปฏิกริยากับแคลเซียมไอกрокอไชด์ที่อุณหภูมิปกติ ทำให้ได้สารประกอบที่มีคุณสมบัติในการยึดประสาน

วัสดุปู拙โฉลามเป็นวัสดุที่นิยมใช้เป็นส่วนผสมในปูนซีเมนต์หรือคอนกรีต โดยมีวัตถุประสงค์ในการลดต้นทุนของคอนกรีต หรือเพื่อปรับปรุงคุณสมบัติบางประการของคอนกรีตให้ดีขึ้น เช่น เพิ่มความทนทานของคอนกรีตต่อสภาพการกัดกร่อน ช่วยปรับปรุงคุณสมบัติของคอนกรีตสดเพื่อให้ทำงานได้ดีขึ้น เป็นต้น วัสดุปู拙โฉลามที่ใช้ในงานคอนกรีตมีอยู่หลายชนิด เช่น เล้าถ่านหิน ซิลิกาฟูน เถ้าแกลบ นอกจากนี้ยังมีวัสดุปู拙โฉลามที่สามารถทำปฏิกริยาคล้ายกับปูนซีเมนต์ได้ คือ ตะกรันเตาถลุงเหล็ก ซึ่งเป็นวัสดุประเภทกึ่งปู拙โฉลามและกึ่งซีเมนต์

ในการปรับปรุงคุณสมบัติบางอย่างของคอนกรีตสามารถใช้วัสดุบางชนิดผสมเพิ่มเติมในปูนซีเมนต์หรือคอนกรีต ซึ่งสามารถแบ่งได้เป็น 3 ชนิด คือ วัสดุเนื้อย (Inert materials) วัสดุซีเมนต์ (Cementing materials) และวัสดุปู拙โฉลาม (Pozzolanic materials) การปรับปรุงคุณสมบัติของคอนกรีตที่ขาดมาตรฐานที่ค่อนข้างละเอียด เกิดปัญหาการแยกตัว และไม่เหมาะสมในการลำเลียง โดยการสูบส่งหรือการเทโดยใช้ท่อ หรือต้องการเพิ่มการเกาะตัวของคอนกรีตสามารถทำได้โดยการใช้วัสดุเหลือյจำพวกหินปูนบดละเอียด ทรายละเอียด และหินฝุ่น เป็นต้น การใช้วัสดุเหลือยละเอียดผสมเพิ่มในคอนกรีตยังช่วยลดการเย็นน้ำและการตกแต่งพิวของคอนกรีตทำได้ดีขึ้น ปูนซีเมนต์ที่นิยมใช้ในการก่ออิฐและปูน ได้มาจากกระบวนการบดปูนเม็ดกับวัสดุเนื้อย การใช้วัสดุเนื้อยละเอียดแทนที่ปูนซีเมนต์ทำให้กำลังของคอนกรีตลดลง เพราะปริมาณปูนซีเมนต์ลดลง ดังนั้น จึงไม่ควรใช้ในงานโครงสร้างของอาคารซึ่งต้องการคุณสมบัติในการรับกำลังสูง

ปริญญา จินดาประเสริฐ และชัย ชาตรพิทักษ์กุล (2547) ยังกล่าวไว้อีกว่าวัสดุซีเมนต์และวัสดุปู拙โฉลาม นอกจากใช้ปรับปรุงคุณสมบัติของคอนกรีต เช่นเดียวกับการใช้วัสดุเนื้อยแล้วยังทำให้คอนกรีตมีกำลังและความทนทานดีขึ้นด้วย วัสดุซีเมนต์ได้แก่ ปูนซีเมนต์ธรรมชาติ ตะกรันเตาและถลุงเหล็ก เป็นต้น เนื่องจากวัสดุเหล่านี้มีคุณสมบัติเป็นปูนซีเมนต์ในตัวเองแล้วยังสามารถใช้ทดแทนการใช้ปูนซีเมนต์ปอร์ตแลนด์ (Portland cement) ได้ ดังนั้นมีการทำปฏิกริยาเคมีทำให้เกิดสารประกอบของ C-S-H และ C-A-H เมื่อนกับปฏิกริยาของไตรแคลเซียมซิลิกेट (Tricalcium silicate, C_3S) และไดแคลเซียมซิลิกेट (Dicalcium silicate, C_2S) แต่ปฏิกริยาที่เกิดขึ้นจะช้ากว่าและกำลังในช่วงแรกจะต่ำกว่าปฏิกริยาของปูนซีเมนต์ปอร์ตแลนด์

การใช้วัสดุปู拙โฉลามแทนที่ปูนซีเมนต์ปอร์ตแลนด์บางส่วนทำให้ปริมาณไตรแคลเซียม-ซิลิกेट (Tricalcium silicate, C_3S) ไดแคลเซียมซิลิกेट (Dicalcium silicate, C_2S) ไตรแคลเซียมอลูมิเนต (Tricalcium aluminate, C_3A) และ เตตราแคลเซียมอลูมิโนเฟอร์ไรท์ (Tetracalcium aluminoferrite, C_4AF) ในคอนกรีตลดลง ซึ่งส่งผลให้การทำปฏิกริยาของสารซีเมนต์จะช้าลง การรักษาความร้อนจากปฏิกริยาจะชะลอตัวออกไป ปฏิกริยาหลักของปูนซีเมนต์ปอร์ตแลนด์ผสม

วัสดุปอชโซลานและน้ำเกิดขึ้นระหว่างซิลิกา (SiO_2) และอลูมินา (Al_2O_3) กับแคลเซียมไอกрокไซด์ ($\text{Ca}(\text{OH})_2$) ที่ได้จากการทำปฏิกิริยาของปูนซีเมนต์ปอร์ตแลนด์ (ปริญญา จินดาประเสริฐ, 2547)

วัสดุปอชโซลานเมื่อใช้ผสมกับกรีตจะทำปฏิกิริยากับแคลเซียมไอกрокไซด์ที่ได้จากการปฏิกิริยาไอกเรชั่นของปูนซีเมนต์ และปฏิกิริยาปอชโซลานจะถูกย่อยกับปฏิกิริยาไอกเรชั่น แต่อัตราการเกิดปฏิกิริยาช้ากว่า ดังนั้นจึงสามารถใช้วัสดุปอชโซลานเพื่อลดความร้อนของปฏิกิริยาไอกเรชั่นได้ โดยเฉพาะอย่างยิ่งในงานก่อสร้างขนาดใหญ่หรือก่อสร้างทาง ซึ่งวัสดุปอชโซลานที่มีอยู่ในเมืองไทยมีปริมาณที่ค่อนข้างมากและสามารถนำมาใช้งานได้ เช่น เถ้าถ่านหินและถ่านแกลบ นอกจากนี้ยังมีการใช้วัสดุปอชโซลานบางชนิดที่ส่งซื้อมาจากต่างประเทศ เช่น ซิลิกาฟูมที่มีความละเอียดสูงมากในการทำงานกรีตกำลังสูง เป็นต้น (ปริญญา จินดาประเสริฐ, 2547)

ตารางที่ 2.1 ข้อกำหนดทางเคมีของปอชโซลาน ตามมาตรฐาน ASTM C 618 (2008)

ข้อกำหนดทางเคมี	ชั้นคุณภาพ		
	N	F	C
ผลรวมของซิลิคอนไอกอกไชด์ (SiO_2), อลูมิเนียมออกไชด์ (Al_2O_3), ไอร์ออกอนออกไชด์ (Fe_2O_3) ไม่น้อยกว่าร้อยละ	>70.0	>70.0	70-50
ซัลเฟอร์ไตรออกไชด์ (SO_3) ไม่เกินร้อยละ	4.0	5.0	5.0
ปริมาณความชื้น, ไม่เกินร้อยละ	3.0	3.0	3.0
การสูญเสียน้ำหนักเนื่องจากการเผา (LOI) ไม่เกินร้อยละ	10.0	6.0	6.0
ปริมาณอัลคาไลสูงสุดเมื่อเทียบเท่า Na_2O , ไม่เกินร้อยละ	1.5	1.5	1.5

- หมายเหตุ: 1. สารปอชโซลานชั้นคุณภาพ N เป็นสารปอชโซลานธรรมชาติ
 2. สามารถใช้ถ้า含有ชั้นคุณภาพ F ที่มีการสูญเสียน้ำหนักเนื่องจากการเผาสูงถึงร้อยละ 12 ได้ ถ้ามีผลของการใช้งานหรือผลของการทดสอบที่เชื่อถือได้

ตามมาตรฐาน ASTM C 618 (2008) ได้จำแนกปอชโซลานออกเป็น 3 ชั้นคุณภาพ ได้แก่

- ชั้นคุณภาพ N (Class N) เป็นปอชโซลานจากธรรมชาติหรือปอชโซลานจากธรรมชาติที่ผ่านกระบวนการเผาแล้วเพื่อให้ได้คุณสมบัติตามต้องการ (อนันท์ ป้อมประสิทธิ์, 2545)
- ชั้นคุณภาพ F (Class F) เป็นถ้า含有ที่ได้จากการเผาถ่านหินแอนทราไชต์ (Anthracite) หรือบิทูมินัส (Bituminous) โดยมีปริมาณผลรวมของ SiO_2 , Al_2O_3 และ Fe_2O_3 มากกว่าร้อยละ 70 และมีคุณสมบัติอื่นตามที่ระบุในมาตรฐาน ASTM C 618 (2008) ดังแสดงในตารางที่ 2.1 ถึง 2.3 ซึ่งโดยทั่วไปถ้า含有ชั้นคุณภาพ F มีปริมาณ CaO ที่ต่ำ ดังนั้นจึงมีชื่อเรียกอีกอย่างหนึ่ง

ว่าถ้าลอยแคลเซียมต่ำ สำหรับ SiO_2 มาจากแร่ดินเหนียวและควอร์ซ เนื่องจากถ่านหินแอนทราไซต์และบิทูมินัสมีแร่ดินเหนียวสูงจึงให้ถ้าลอยที่มี SiO_2 สูง สำหรับวิธีการเก็บตัวอย่างและการทดสอบให้เป็นไปตามมาตรฐาน ASTM C 311 (2007) (อนันท์ ป้อมประสิทธิ์, 2545)

3. ชั้นคุณภาพ C (class C) เป็นถ้าลอยที่ได้จากการกระบวนการเผาถ่านหินลิกไนต์ (Lignite) หรือชั้นบิทูมินัส (Subbituminous) เป็นส่วนใหญ่ โดยมีปริมาณผลรวมของ SiO_2 , Al_2O_3 และ Fe_2O_3 มากกว่าร้อยละ 50 มีปริมาณ CaO สูง และมีคุณสมบัติอื่นตามที่ระบุในมาตรฐาน ASTM C 618 (2008) ถ้าลอยชนิดนี้เรียกชื่ออีกอย่างหนึ่งว่าถ้าลอยแคลเซียมสูง สำหรับ Al_2O_3 มาจากแร่ดินเหนียว โดยที่ลิกไนต์ประกอบไปด้วยดินเหนียวที่มี Al_2O_3 ต่ำ ทำให้ถ้าลอย Class C นอกจากมี SiO_2 ต่ำแล้ว ยังมี Al_2O_3 ต่ำด้วย (อนันท์ ป้อมประสิทธิ์, 2545)

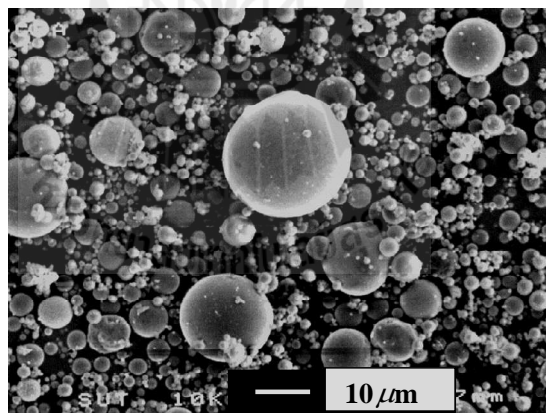
ตารางที่ 2.2 ข้อกำหนดทางกายภาพ ตามมาตรฐาน ASTM C 618 (2008)

ข้อกำหนดทางกายภาพ	ชั้นคุณภาพ		
	N	F	C
ความละเอียด :			
- ปริมาณที่ค้างแร่เบอร์ 325 ^A ร่อนโดยใช้น้ำ, ไม่เกินร้อยละ ดัชนีกำลัง เมื่อผสมกับปูนซีเมนต์ปอร์ตแลนด์	34	34	34
- ที่อายุ 7 วัน อย่างต่ำร้อยละของส่วนผสมควบคุม	75 ^B	75 ^B	75 ^B
- ที่อายุ 28 วัน อย่างต่ำร้อยละของส่วนผสมควบคุม	75 ^B	75 ^B	75 ^B
- ความต้องการน้ำ, สูงสุดร้อยละของส่วนผสมควบคุม	115	105	105
ความคงตัว (Soundness) ^C			
- การขยายตัวหรือหดตัวอัโตเคลฟ, ไม่เกินร้อยละ ข้อกำหนดด้านความสม่ำเสมอ ^D	0.8	0.8	0.8
- ความหนาแน่น, ต่างจากค่าเฉลี่ยไม่เกินร้อยละ	5	5	5
- ร้อยละที่ค้างแร่เบอร์ 325, ต่างจากค่าเฉลี่ยไม่เกินร้อยละ	5	5	5

- หมายเหตุ: A ระวังไม่ให้มีผงละเอียดที่เกะดักกันเป็นก้อนค้างบนแร่ร่อง
 B เป็นไปตามข้อกำหนดเมื่อดัชนีกำลังที่อายุ 7 วัน หรือ 28 วัน เป็นไปตามข้อกำหนด
 C ถ้ามีสารปอชโซลานผสมเกินร้อยละ 20 โดยน้ำหนักของสารซีเมนต์ในคอนกรีต
 ขึ้นส่วนทดสอบของการขยายตัวอัโตเคลฟควรมีสารปอชโซลานอยู่ร้อยละของ
 สารซีเมนต์ตามนั้น
 D ความหนาแน่น และความละเอียดของตัวอย่างต้องไม่แตกต่างจากค่าเฉลี่ย

ถ้าลอย Class C นอกจากจะมีคุณสมบัติเป็นปอซโซซ์แล้วยังมีคุณสมบัติเป็นสารซึ่เมนต์ในตัวเอง เนื่องจากมีปริมาณ CaO สูง ถ้าลอยแม่เมะในระยะแรกส่วนใหญ่เป็นถ้าลอย CaO สูง โดยมีปริมาณ CaO สูงถึงร้อยละ 40 และมีความเป็นสารซึ่เมนต์ในตัวเอง (ปริญญา จินดาประเสริฐ และอินทรชัย หอวิจตร, 2548) แต่ในปัจจุบันถ้าลอยแม่เมะมีปริมาณ CaO ต่ำลง โดยมีสารนี้อยู่ประมาณร้อยละ 10 (ปริญญา จินดาประเสริฐ และชัย ชาตรพิทักษ์กุล, 2547)

วัสดุจำพวกปอซโซซ์แล้วที่นำมาใช้ประโยชน์มีที่มาจากการผลิต (Artificial pozzolan) ปอซโซซ์แล้วที่มาจากการธรรมชาติ ได้แก่ ไดอะคอมไนต์ เถ้าภูเขาไฟ เปลือกหอย หินภูเขาไฟ วัสดุเหล่านี้เมื่อนำมาใช้งานต้องนำไปผ่านกระบวนการต่าง ๆ ก่อนจึงจะนำไปใช้งานได้ เช่น กระบวนการเผา การบด และการทำให้แห้ง เป็นต้น ปัจจุบันได้มีการนำเอาปอซโซซ์แล้วจากการธรรมชาติไปใช้ประโยชน์ในการสร้างเขื่อนและสะพาน เพื่อช่วยลดความร้อนที่เกิดขึ้นระหว่างปฏิกิริยาของปูนซึ่เมนต์กับน้ำ ช่วยเพิ่มความสามารถในการทนต่อการกัดกร่อนอันเนื่องมาจากซัลเฟต และช่วยในการควบคุมปฏิกิริยาระหว่างค่างกับซิลิกา นอกจากนี้ยังช่วยลดค่าใช้จ่ายในการก่อสร้างอีกด้วย



รูปที่ 2.6 ภาพถ่าย SEM ของถ้าล่านหินจากโรงไฟฟ้าอิเกอเม่มะ จังหวัดลำปาง
(ธีรวัฒน์ สินศรี, 2548)

ปอซโซซ์แล้วที่ได้จากการธรรมชาติ ได้แก่ ถ้าลอยที่ได้จากการเผาใหม่ ถ่านหินที่ถูกบดในการผลิตกระแสไฟฟ้า ถ้าลอยประกอบด้วยอนุภาคทรงกลม ซึ่งมีซิลิกาเป็นส่วนประกอบที่สำคัญประมาณร้อยละ 66 ถึง 68 ถ้าลอยบางชนิดสามารถทำปฏิกิริยาได้อย่างรวดเร็วกับปูนขาว และค่าง เกิดเป็นสารประกอบที่มีแรงยึดประสาน แต่ถ้าลอยบางชนิดกีสามารถทำปฏิกิริยากับน้ำ

และแข็งตัวได้เช่นเดียวกัน เถ้าถ่านหินโดยทั่วไปแล้วมีความละเอียดใกล้เคียงหรือสูงกว่า ปูนซิเมนต์เพียงเล็กน้อย โดยลักษณะทั่วไปจะเป็นรูปทรงกลมมีขนาดเส้นผ่าศูนย์กลางตั้งแต่เล็กกว่า $1 \mu\text{m}$ จนถึง 0.15 mm ดังแสดงในรูปที่ 2.6

ตารางที่ 2.3 ข้อกำหนดทางกายภาพเพิ่มเติม ตามมาตรฐาน ASTM C 618 (2008)

ข้อกำหนดทางกายภาพเพิ่มเติม	ชั้นคุณภาพ		
	N	F	C
แฟกเตอร์ผลคูณ (Multiple factor) ของ LOI กับปริมาณที่ค้าง แร่เบอร์ 325 เมื่อร่อนโดยใช้น้ำ ไม่เกินร้อยละ		255	
การทดสอบตัวแหนงที่ 28 วัน ที่เพิ่มขึ้นของแท่งตัวอย่างมอร์ตาร์ เมื่อเปรียบเทียบกับตัวอย่างมอร์ตาร์ควบคุม ไม่เกินร้อยละ	0.3	0.3	0.3
ข้อกำหนดด้านความสม่ำเสมอ เมื่อใช้สารกักกระจายฟองอากาศ ปริมาณสารกักกระจายฟอง อากาศที่ทำให้มีปริมาตรอากาศร้อยละ 18 จะต้องไม่แตกต่าง จากค่าเฉลี่ยของสิบตัวอย่างที่ทดสอบก่อนหน้าหรือค่าเฉลี่ย ของตัวอย่างก่อนหน้าทั้งหมด ถ้าทดสอบไม่ถึงสิบตัวอย่าง ไม่เกินร้อยละ	20	20	20
ประสิทธิภาพในการควบคุมปฏิกริยาอัลคาไลท์ของมวลรวม การขยายตัวที่ 14 วัน เมื่อเปรียบเทียบกับส่วนผสมควบคุมที่ ทำด้วยปูนซิเมนต์อัลคาไลท์ต่ำ ไม่เกินร้อยละ	100	100	100
ประสิทธิภาพในการช่วยด้านทานสารซัลเฟต - วิธีที่ 1 การขยายตัวของส่วนผสมทดสอบ <ul style="list-style-type: none"> ● สภาพะซัลเฟตปานกลาง 6 เดือน ไม่เกินร้อยละ ● สภาพะซัลเฟตสูง 6 เดือน ไม่เกินร้อยละ - วิธีที่ 2 การขยายตัวของส่วนผสมทดสอบ <ul style="list-style-type: none"> ● เมื่อเปรียบเทียบกับส่วนผสมควบคุมที่ทำจาก ปูนซิเมนต์ทันซัลเฟตในสภาพะซัลเฟต 6 เดือน ไม่เกินร้อยละ 	0.10 0.05	0.10 0.05	0.10 0.05
	100	100	100

ถ้าถ่านหินที่กลวงมีน้ำหนักเบาและอาจจะลอยน้ำได้เรียกว่าถ้าถ่านหินกลวง (Cenospheres) และในบางครั้งภายในถ้าถ่านหินที่มีรูพรุนอาจมีถ้าถ่านหินขนาดเล็ก ๆ อยู่ภายในได้เรียกว่า Plerospheres ดังแสดงในรูปที่ 2.7 ความละเอียดของถ้าถ่านหินที่ได้จากการเผาถ่านหินจะขึ้นอยู่กับการบดถ่านหิน ชนิดของเครื่องบด และชนิดของเตาเผา ถ้าถ่านหินจะเอียดมากขึ้นและการเผาใหม้อายุ่สมบูรณ์ในเตาเผาจะได้ถ้าถ่านหินที่มีความละเอียดสูงและมีลักษณะเป็นทรงกลม แต่ในกรณีที่เผาใหม่ไม่สมบูรณ์รูปร่างของถ้าถ่านหินจะไม่แน่นอน สำหรับถ้าถ่านหินในประเทศไทยพบว่าความละเอียดของถ้าถ่านหินจากโรงไฟฟ้าที่แม่เมือง ซึ่งทดสอบโดยวิธีของเบลน มีความละเอียดอยู่ในช่วง $2,500 \text{ ถึง } 3,500 \text{ cm}^2/\text{g}$ (ปริญญา จิตประเสริฐ และชัยชาตรพิทักษ์กุล, 2547)

การวัดความละเอียดของถ้าถ่านหินมี 2 วิธีที่นิยมใช้กันคือวิธีการร่อนผ่านตะแกรงเบอร์ 325 (ช่องเปิด $45 \mu\text{m}$) กับวิธีวัดพื้นที่ผิวต่อหน่วยน้ำหนักโดยวิธีของเบลน ในสหรัฐอเมริกาใช้วิธีร่อนผ่านตะแกรงเป็นวิธีมาตรฐานวิธีเดียวในการกำหนดความละเอียดของถ้าถ่านหิน กล่าวคือถ้าถ่านหินต้องมีขนาดของอนุภาคที่ร่อนผ่านตะแกรงเบอร์ 325 ไม่น้อยกว่าร้อยละ 66 โดยน้ำหนักแสดงว่าถ้าถ่านหินที่ละเอียดขึ้นจะมีความว่องไวในการทำปฏิกิริยาได้เร็วขึ้นและทำให้กำลังอัดคอนกรีตสูงกว่าคอนกรีตที่ใช้ถ้าถ่านหินที่หยาบกว่า ความว่องไวในการทำปฏิกิริยาปอชโซลามสามารถวัดได้โดยใช้ค่าดัชนีกำลัง (Strength activity index) ดังแสดงในสมการที่ 2.3

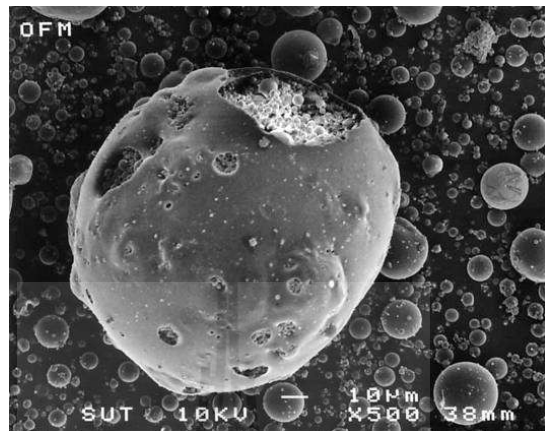
$$\text{ดัชนีกำลังของมอร์ต้าร์} = (A/B) \times 100 \quad (2.3)$$

โดย A หมายถึง กำลังอัดของมอร์ต้าร์ที่แทนที่ปูนซีเมนต์ปอร์ตแลนด์ด้วยถ้าถ่านหินร้อยละ 20

B หมายถึง กำลังอัดของมอร์ต้าร์มาตรฐานซึ่งไม่มีถ้าถ่านหินในส่วนผสม มาตรฐาน ASTM C 618 (2008) ได้กำหนดค่าดัชนีกำลังของถ้าถ่านหินทั้ง Class F และ Class C ต้องไม่ต่ำกว่าร้อยละ 75 ของมอร์ต้าร์มาตรฐานที่อายุ 7 หรือ 28 วัน

ปฏิกิริยาปอชโซลามเกิดขึ้นภายหลังการเกิดปฏิกิริยาไฮเดรชันของปูนซีเมนต์ โดยมีชิลิกะและอุบุนิโนอกไซด์ที่อยู่ในถ้าถ่านหินทำปฏิกิริยากับแคลเซียมไฮดรอกไซด์ (Ca(OH)_2) ที่ได้จากปฏิกิริยาไฮเดรชันได้เป็นแคลเซียมชิลิกะไฮเดรต ($\text{C}-\text{H}-\text{S}$) และแคลเซียมอุบุนินไฮเดรต ($\text{C}-\text{A}-\text{S}$) ซึ่งสารประกอบทั้งสองมีคุณสมบัติในการยึดประสาน ทำให้ซีเมนต์เพสต์มีคุณสมบัติในการยึดประสานดีขึ้น และเพิ่มความสามารถในการรับกำลังอัดของคอนกรีต โดยปกติแล้วปฏิกิริยาปอชโซลามจะเกิดขึ้นอย่างช้า ๆ และต่อเนื่องเป็นเวลานาน โดยเริ่มเกิดขึ้นเมื่อมีอายุระหว่าง 7 ถึง

14 วัน และมีปฏิกริยาไปเรื่อย ๆ นอกจากนี้ปฏิกริยาปอชโซล่าจะเกิดได้เร็วขึ้นเมื่อถ้าถ่านหินมีความละเอียดมากขึ้น (ปริญญา จินดาประเสริฐ และชัย ชาตรพิทักษ์กุล, 2547)



รูปที่ 2.7 ภาพถ่าย SEM ของถ่านหินที่มีลักษณะแบบ Plerospheres (ธีรวัฒน์ สินศรี, 2548)

การใช้ปอชโซล่าในงานคอนกรีตมีข้อดีหลายประการ คือเพิ่มความสามารถในการเทได้เพิ่มความด้านทานต่อการกัดกร่อนของคอนกรีต ลดผลกระทบจากการแยกตัว ลดความร้อนที่เกิดขึ้นในคอนกรีต ลดการหดตัว ลดอัตราการซึมของน้ำผ่านคอนกรีต และที่สำคัญคือเพิ่มกำลังอัดและกำลังดึงประดับของคอนกรีตเมื่อคอนกรีตมีอายุมากขึ้น แต่ทั้งนี้การใช้ปอชโซล่ามีข้อเสีย คือ ทำให้อัตราการพัฒนากำลังอัดของคอนกรีตต่ำลงในช่วงอายุต้น ลดความด้านทานต่อสภาวะการแข็งตัวและละลายน้ำ soluble กันไป และทำให้ต้องใช้สารเพิ่มฟองอากาศมากขึ้นเพื่อให้ได้คอนกรีตที่มีปริมาณฟองอากาศตามต้องการในระดับเดียวกับคอนกรีตที่ไม่มีถ่านหินผสมอยู่ (Lane and Best, 1982 อ้างถึงใน ปริญญา จินดาประเสริฐ, 2547)

จากการวิจัยที่ผ่านมาพบว่าประโยชน์สูงสุดของถ่านหินคือ การสร้างเขื่อน ซึ่งที่เห็นเป็นรูปธรรม คือ โครงการเขื่อนคลองท่าค่าน นอกจากนี้เป็นการนำถ่านหินมาใช้ในการทำตอม่อของอาคารผู้โดยสารที่สนามบินสุวรรณภูมิ โดยใช้ถ่านหินแทนที่ปูนซีเมนต์ประมาณร้อยละ 50 ทั้งนี้ผู้ใช้ต้องมีความรู้และสามารถทดสอบคุณสมบัติของถ่านหินว่าสามารถนำมาใช้งานได้จริง ๆ นอกจากนี้หากมีการนำถ่านหินไปใช้เป็นส่วนผสมในการสร้างห่อน้ำทำให้ห้องมีอายุการใช้งานยืนยาวมากกว่าห้องท่อปกติหลายเท่า เนื่องจากห้องท่อที่มีถ่านหินเป็นส่วนผสมมีคุณสมบัติด้านทานน้ำเสียได้ดีกว่าคอนกรีตธรรมชาติ อีกทั้งการก่อสร้างในโครงการขนาดใหญ่หรือตึกสูงคอนกรีตที่ใช้การมี

ส่วนผสมของถ้าลอย เพื่อให้นีกอนกรีตลื่นไหลสามารถส่างลำเลียงคอนกรีตด้วยท่อขึ้นไปตามชั้นต่าง ๆ ของการก่อสร้างได้ดีกว่าคอนกรีตทั่วไป

2.4 ปอชโซลันธรรมชาติ (Natural pozzolan)

วัสดุปอชโซลันธรรมชาติได้ถูกนำมาใช้หลายร้อยปีที่แล้ว คำว่า “ปอชโซลัน” มาจากถ้าภูเขาไฟของหมู่บ้านปอซูลิ (Pozzuoli) ใกล้กับเมืองเนเปิล ประเทศอิตาลี โดยใน ก.ศ. 79 เกิดการระเบิดของภูเขาไฟ维苏威 (Vesuvius) แต่ย่างไรก็ตามก่อนปี ก.ศ. 2000 ได้มีการนำถ้าภูเขาไฟและดินเผาใช้ในงานก่อสร้างมากมายที่โรม กรีก อินเดีย และอียิปต์ โดยโครงสร้างคอนกรีตผสมวัสดุปอชโซลันยังคงสามารถยืนหยัดให้เห็นได้จนถึงปัจจุบันนี้ จึงเป็นหลักฐานแสดงให้เห็นถึงความทนทานของการใช้วัสดุปอชโซลัน

ในตอนต้นศตวรรษที่ 20 ได้มีการนำวัสดุปอชโซลันธรรมชาติมาใช้ในอเมริกาเหนือในโครงการก่อสร้างสาธารณูปโภค เช่น การสร้างเขื่อน ซึ่งการใช้วัสดุปอชโซลันธรรมชาตินี้มีวัตถุประสงค์เพื่อควบคุมอุณหภูมิที่เพิ่มขึ้นในคอนกรีตขนาดใหญ่ และเป็นการเพิ่มปริมาณวัสดุซีเมนต์ นอกจากการใช้วัสดุปอชโซลันธรรมชาติเพื่อควบคุมความร้อนที่เพิ่มสูงขึ้นแล้ว วัสดุปอชโซลันธรรมชาติยังช่วยเพิ่มความต้านทานต่อซัลเฟตอีกด้วย วัสดุปอชโซลันธรรมชาติ เป็นวัสดุชนิดแรกที่พบว่าช่วยลดการเกิดปฏิกิริยาอลคาไลซิลิกาในคอนกรีต

ตารางที่ 2.4 คุณสมบัติของถ้าลอยและปอชโซลันธรรมชาติ ตามมาตรฐาน ASTM C 618 (2008)

ชั้นคุณภาพ (class)	คุณสมบัติของถ้าลอย
F	มีคุณสมบัติเป็นปอชโซลานิก
N	มีคุณสมบัติเป็นปอชโซลานิก และ วัสดุประสานในซีเมนต์
C	ปอชโซลันธรรมชาติที่ถูกเผาหรือมีลักษณะหayan ประกอบด้วย : <ul style="list-style-type: none"> - Diatomite - Opaline Cherts และ ดินดาน - Tuffs และ ถ้าภูเขาไฟ หรือพิมิไซท์ - ดินเผา รวมทั้งดินขาว และดินดาน

ปัจจุบันวัสดุปอชโซลันธรรมชาติส่วนใหญ่จะผ่านการปรับปรุง เช่น กระบวนการให้ความร้อนในเตาเผาและบดเป็นผงละเอียด ซึ่งอาจเป็นดินเผา (Calcined clay) ดินดานเผา (Calcined shale) และดินขาว (Metakaolin) ซึ่งดินขาวที่กล่าวถึงนี้เป็นดินเผาพิเศษ ผลิตโดยเอาดินเหนียว

ขาวล้วนมาเพาที่อุณหภูมิต่ำ หลังจากนั้นจึงบดจนมีขนาดอนุภาคเฉลี่ยประมาณ 1 ถึง 2 μm คินขาวสามารถนำมาใช้ในงานที่ต้องการความซึมผ่านที่ต่ำ หรือต้องการกำลังที่สูง คินขาวได้ถูกนำมาใช้เป็นวัสดุผสมเพิ่มในคอนกรีตมากกว่านำมาแทนที่ปูนซีเมนต์ โดยทั่วไปจะใส่เพิ่มในปริมาณร้อยละ 10 ของน้ำหนักปูนซีเมนต์

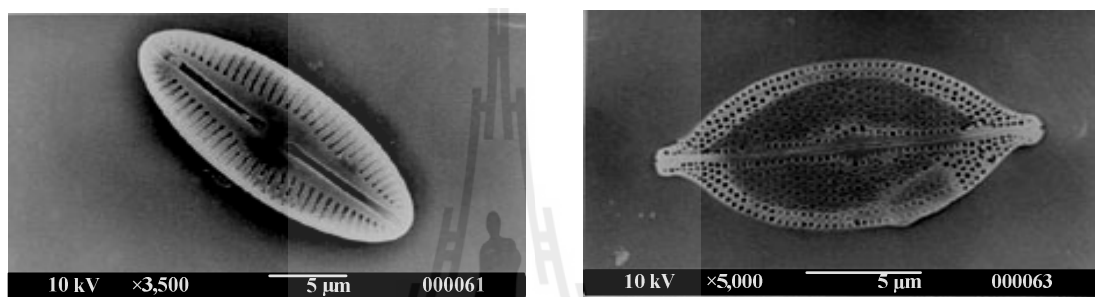
วัสดุปูชโซลานจากธรรมชาติถูกจำแนกโดยมาตรฐาน ASTM C 618 (2008) โดยจำแนกเป็นวัสดุปูชโซลาน Class N ดังแสดงในตารางที่ 2.4 ซึ่งได้กำหนดเกณฑ์ในการพิจารณาวัสดุปูชโซลานธรรมชาติ

Pekmezci and Akyz (2004) ได้ทำการศึกษาถึงผลกระทบของปริมาณปูชโซลานธรรมชาติที่มีต่อคอนกรีต ทำการทดสอบคอนกรีตทึ้งหมด 15 ตัวอย่าง คอนกรีตควบคุมที่มีปริมาณซีเมนต์ 300-350 และ 400 kg/m^3 และได้ดัดแปลงส่วนผสมเพื่อศึกษาเบริกนเทียนโดยลดปริมาณซีเมนต์ลงเป็น 250-300 และ 350 kg/m^3 ของคอนกรีตควบคุม และได้เพิ่มปริมาณปูชโซลานธรรมชาติเข้าไปแทนที่ปูนซีเมนต์ 40-50-75 และ 100 kg/m^3 ผลการศึกษาพบว่าการเพิ่มปริมาณสารปูชโซลานธรรมชาติที่มากเกินไปส่งผลทำให้กำลังอัดของคอนกรีตลดต่ำลง ดังนั้นควรใช้ในปริมาณที่เหมาะสมที่สุดเพื่อให้ได้กำลังอัดของคอนกรีตที่สูงที่สุด และ Pekmezci (2004) ยังพบอีกว่าในกรณีที่ลดปริมาณปูนซีเมนต์ในส่วนผสม แล้วแทนที่ด้วยปูชโซลานธรรมชาตินั้น ส่งผลทำให้กำลังอัดของคอนกรีตมีค่าลดลง เนื่องจากปูชโซลานธรรมชาติไม่มีคุณสมบัติในการเป็นสารซีเมนต์ (Cementitious material) และเป็นที่ทราบกันดีอยู่แล้วว่าปูชโซลานธรรมชาติจะทำปฏิกิริยากับแคลเซียมไฮดรอกไซด์ (Ca(OH)_2) ซึ่งเกิดจากผลิตผลของปฏิกิริยาไฮเดรชัน เมื่อใช้ปริมาณซีเมนต์ที่ใช้ในส่วนผสมคอนกรีตเพิ่มขึ้น ส่งผลให้มีปริมาณแคลเซียมไฮดรอกไซด์ (Ca(OH)_2) เพิ่มขึ้น เช่นกัน โดยที่อัตราส่วนระหว่างปูชโซลานต่อซีเมนต์ (Pozzolan/Cement ratio, P/C) ที่ 0.28 เหมาะสมที่สุดที่ทำให้ได้คอนกรีตที่มีค่ากำลังอัดที่สูงที่สุด

2.5 ไడอะตومไนต์ (Diatomite)

ไಡอะตوم (Diatom) เป็นพืชเซลล์เดียวขนาดเล็กมาก มีผนังเป็นฝาชิลิกะประกับกันขนาดนิดส่วนกลางว่างน้ำไว้ บางชนิดอาจขยายและแน่น้ำพัดพาไป มีขนาดตั้งแต่ 2 ถึง $2,000 \text{ }\mu\text{m}$ ขนาดใหญ่เมื่อน้อยลงในแหล่งน้ำทั่วโลกทั้งในน้ำจืดและน้ำเค็ม เมื่อไಡอะตอมตายลงเปลือกที่เป็นชิลิกะจะตกเป็นตะกอนสะสมกันจำนวนมหาศาลบนพื้นทะเลหรือพื้นทะเลสาบ แล้วในที่สุดจะกลายเป็นไಡอะตومไนต์ (Diatomite) มีลักษณะที่มีน้ำหนักเบา เนื้อพรุน มีลักษณะคล้ายชอล์ก มีปฏิกิริยาเชื่อมช้า ไಡอะตومไนต์จะมีลักษณะต่าง ๆ กัน ตามแต่ชนิดของไಡอะตوم ดังแสดงในรูปที่ 2.8 (Chaisena, A., 2004)

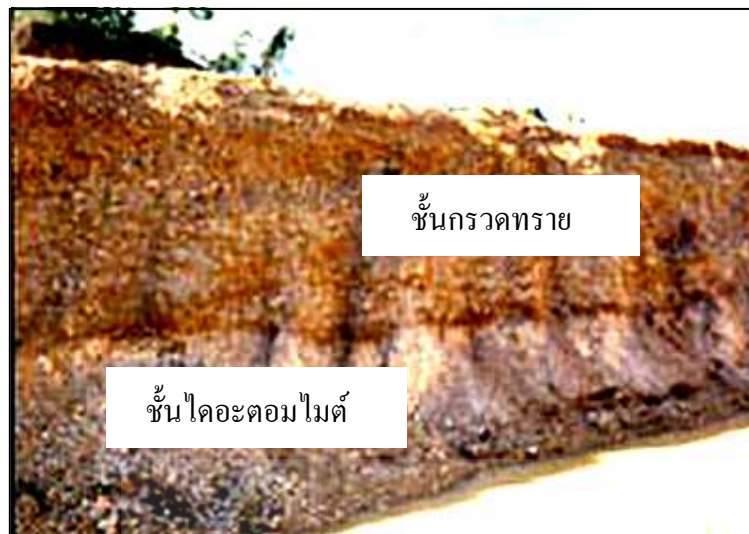
“ไดอะตอน ไมม์บังทีอาจใช้คำว่า เรดิโอลารีนเอิร์ธ (Radiolarian earth) เพราะมีโครงสร้าง ประกอบด้วยโอบของ ไดอะตอนและเรดิโอลารีน มีสีขาวหรือสีครีมเป็นส่วนใหญ่ แต่ก็อาจพบ สีเหลืองอ่อน สีแดง หรือสีน้ำตาลบ้าง (เสรีวัตตน์ สมินทร์ปัญญา, 2538) แต่บางครั้งก็พบว่า ไดอะตอน ไมม์ เป็นชากรัศมีขนาดเล็กที่เป็นสิ่งมีชีวิตเซลล์เดียว หรือเป็นสาหร่ายเซลล์เดียวที่มี เปลือกหุ้มที่เป็นซิลิกา เปลือกเหล่านี้เมื่อทับกันมาก ๆ จะสามารถคงสภาพของชากรอยู่ในชั้นหิน ได้เป็นเวลานานจนแข็งตัวอัดกันแน่นจนกลายเป็นหิน (สถาบันส่งเสริมการสอนวิทยาศาสตร์และ เทคโนโลยี, ออนไลน์, 2550)



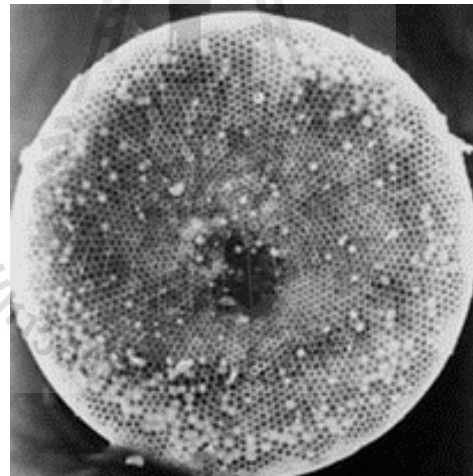
รูปที่ 2.8 ลักษณะของ ไดอะตอน ไมม์ (มหาวิทยาลัยเทคโนโลยีราชมงคล, ออนไลน์, 2543)

แหล่ง ไดอะตอน ไมม์ ในประเทศไทยพบอยู่ในจังหวัดลำปาง โดยจะพบเป็นแหล่งเล็กใหญ่ กระจายกระจายอยู่เป็นบริเวณกว้างในแอ่งลำปาง และแอ่งเล็ก ๆ ใกล้เคียง ซึ่งส่วนใหญ่จะอยู่ในเขต อำเภอเมืองลำปาง อำเภอแม่ทะ และอำเภอเกาะคา นอกจากนั้นยังสามารถพบได้บ้างในบริเวณบ้าน แม่ก้าว อำเภอสน普ราบ และบ้านหุ่งตุ่น ตำบลวอแก้ว อำเภอห้างฉัตร จังหวัดลำปาง จากการสำรวจ ของ กองเศรษฐรัฐวิทยา กรมทรัพยากรธรรมชาติ บริเวณแอ่งลำปางสามารถประเมินปริมาณสำรอง ของ ไดอะตอน ไมม์ ได้ทั้งหมดประมาณ 245 ล้านตัน (กรมทรัพยากรธรรมชาติ, ออนไลน์, 2548)

จากรายงานของสถาบันส่งเสริมการสอนวิทยาศาสตร์และเทคโนโลยีได้มีการเก็บตัวอย่าง สำรวจในบริเวณเหมืองบ้านฟ้อน จังหวัดลำปาง พนว่าชั้นของ ไดอะตอน ไมม์ จะทับกันแน่น อยู่ได้ชั้นกรุดทราย ซึ่งมีระดับความลึกไม่ต่างกันมากนัก ดังแสดงในรูปที่ 2.9 และเมื่อนำ ไดอะตอน ไมม์ ไปปล่อยสภาพขยาย 350 เท่า ผ่านกล้องจุลทรรศน์อิเล็กตรอนแบบส่อง粒 (Scanning electron microscope, SEM) ดังแสดงในรูปที่ 2.10 แล้วทำการตรวจสอบพบว่า ไดอะตอน ไมม์ มีอายุตั้งแต่ 25 ล้านปีที่ผ่านมาจนถึงปัจจุบัน และยังรายงานอีกว่าสามารถพบได้ในชั้นตะกอน บริเวณที่คุณอำเภอศรีเมือง ไฟสด จังหวัดปราจีนบุรีอีกด้วย (สถาบันส่งเสริมการสอนวิทยาศาสตร์และ เทคโนโลยี, ออนไลน์, 2550)



รูปที่ 2.9 แสดงชั้นของไคลอตوم ไมม์ต (สสวท., ออนไลน์, 2550)



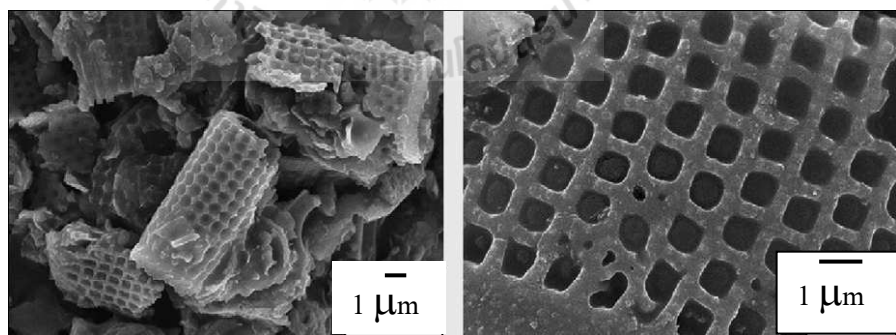
รูปที่ 2.10 ภาพถ่าย SEM ของไคลอตوم ไมม์ต (สสวท., ออนไลน์, 2550)

โดยทั่วไปไคลอตوم ไมม์ตมีประกายชน์ในทางด้านอุตสาหกรรม คือใช้เป็นส่วนผสมในการทำกระดาษ เพื่อให้เนื้อกระดาษแน่นเนียน ทำเป็นจำนวนมากและเป็นสารที่ใช้ในการกรองได้ดี เช่น กรองน้ำตาลและสารอื่น ๆ หรือใช้ขัดโลหะได้ดี เพราะมีซิลิกาที่มีอนุภาคขนาดเล็กอยู่ภายใน (เสรีวัฒน์ สมินทร์ปัญญา, 2538) ไคลอตوم ไมม์ตไม่ใช่เพียงแต่มีประกายชน์ในด้านอุตสาหกรรม เพียงเท่านั้น แต่ในการก่อสร้างก็ยังมีการนำเอาไคลอตوم ไมม์ตมาใช้ประกายชน์มากมาย เช่น นำมาใช้เป็นวัสดุผสมในคอนกรีตมวลเบา หรืออิฐมวลเบา เป็นต้น

Pimraksa and Chindaprasirt (2008) ทำการศึกษาไดอะตومไนต์ จากแหล่งจังหวัดลำปาง ประเทศไทย มีปริมาณค่อนข้างมากถึง 100 ล้านตัน จึงได้ทำการศึกษาคุณสมบัติของอิฐมวลเบา ที่ทำจากไดอะตومไนต์ลำปาง ปูนขาว และยิปซัมเป็นส่วนผสม พบว่าไดอะตومไนต์จากแหล่งลำปางมีคุณสมบัติในการเป็นสารปอชโซลานสามารถนำมาทำอิฐมวลเบาได้ อีกทั้งมีสารประกอบอัลูมิโนซิลิเกต โดยมีปริมาณออกไซด์หลัก SiO_2 , Al_2O_3 , และ Fe_2O_3 ในปริมาณที่เหมาะสม และยังมีความพรุนสูง เช่นเดียวกับสารปอชโซลานธรรมชาติทั่วไป ดังแสดงในตารางที่ 2.5 และ รูปที่ 2.11 ในการศึกษาได้นำเอาไดอะตومไนต์มาทดสอบกับปูนขาวร้อยละ 15 และยิปซัมร้อยละ 5 ตามลำดับ จากการทดสอบพบว่าอิฐมวลเบามีค่ากำลังอัดประมาณ 145 ksc และมีค่าความหนาแน่น 880 kg/m^3 แต่เมื่อใช้ไดอะตومไนต์ที่ผ่านการเผาที่อุณหภูมิ 500°C ให้ค่ากำลังอัดที่สูงที่สุดประมาณ 175 ksc และมีค่าความหนาแน่น 730 kg/m^3 ซึ่งแสดงให้เห็นว่าในการใช้ไดอะตومไนต์ที่ผ่านการเผาทำให้ กำลังอัดมีค่าเพิ่มขึ้นและทำให้ค่าความหนาแน่นลดลง แต่ก็สามารถใช้ไดอะตومไนต์ที่ยังไม่ได้ผ่านการเผาในการผลิตอิฐมวลเบาได้เช่นกัน

ตารางที่ 2.5 แสดงคุณสมบัติทางเคมีของไดอะตومไนต์ลำปาง (Pimraksa, K., 2008)

Oxide Compositions	SiO_2	Al_2O_3	Fe_2O_3	K_2O	Na_2O	CaO	MgO	TiO_2	P_2O_5	SO_3
(%) by mass	77.5	14.16	5.24	2.08	0.20	0.00	0.46	0.53	0.25	0.01



รูปที่ 2.11 ภาพถ่าย SEM ของไดอะตومไนต์จากแหล่งลำปาง (Pimraksa, K., 2008)

Aydin and Gul (2006) ได้ทำการศึกษาผลกระทบของไโคอะตوم ไมต์ ที่ใช้เป็นสารปอชโซลานในคอนกรีต ศึกษาโดยการใช้ไโคอะตوم ไมต์แทนที่ปูนซีเมนต์ร้อยละ 1 2 และ 4 ของน้ำหนักวัสดุประสาน โดยความคุณปริมาณซีเมนต์ที่ 300 kg/m^3 พบว่าเมื่อใช้ไโคอะตوم ไมต์ แทนที่ซีเมนต์ในปริมาณมากขึ้นส่งผลให้ระยะเวลาการก่อตัวขันตันและระยะเวลาการก่อตัวขัน ปลายนาขึ้น และส่งผลต่อการพัฒนากำลังอัดให้ช้าลง เช่นกัน กล่าวคือเมื่อใช้ไโคอะตوم ไมต์ ในปริมาณที่เพิ่มมากขึ้น การพัฒนากำลังอัดในช่วงต้นลดลงอย่างมาก แต่ค่อยๆ เพิ่มสูงขึ้นในภายหลัง ซึ่งเป็นการแสดงให้เห็นว่าการใช้สารปอชโซลานชนิดนี้ในส่วนผสมคอนกรีตทำให้ประหยัดค่าใช้จ่ายในการก่อสร้าง ได้สำหรับงานก่อสร้างที่ไม่ต้องการกำลังอัดของคอนกรีตในช่วงต้นที่สูง

2.6 เพอร์ไลต์ (Perlite)

หินเพอร์ไลต์ หมายถึงหินภูเขาไฟเนื้อแก้วทุกชนิด เมื่อนำไปเผาที่อุณหภูมิที่เหมาะสมในเวลาที่รวดเร็วจะขยายตัว มีน้ำหนักเบา และมีความพรุนสูง หินเพอร์ไลต์ ดังแสดงในรูปที่ 2.12 ได้แก่หินภูเขาไฟเนื้อแก้วที่มีลักษณะรอยแตกเป็นวงซ้อนกันคล้ายกลีบหัวหอม และเมื่อถูกเผาที่อุณหภูมิที่เหมาะสมในเวลาที่รวดเร็วจะขยายตัวออกไปได้ ตั้งแต่ 4 ถึง 20 เท่าของปริมาตรเดิม ทำให้เปลี่ยนสภาพเป็นสารที่มีน้ำหนักเบา มีความพรุนสูง และมีลักษณะคล้ายหินฟัมมิส สารที่ได้จากการขยายตัวของหินเพอร์ไลต์นี้ เรียกว่า “เพอร์ไลต์” (สำนักเหมืองแร่และสัมปทาน, อ่อนไลน์, 2546)



รูปที่ 2.12 แสดงลักษณะของหินเพอร์ไลต์ (ณรงค์ศักดิ์ นันทคำภิรา และคณะ, อ่อนไลน์, 2547)

2.6.1 ประเภทของเพอร์ไลต์ที่พบในประเทศไทย มี 3 ชนิด คือ

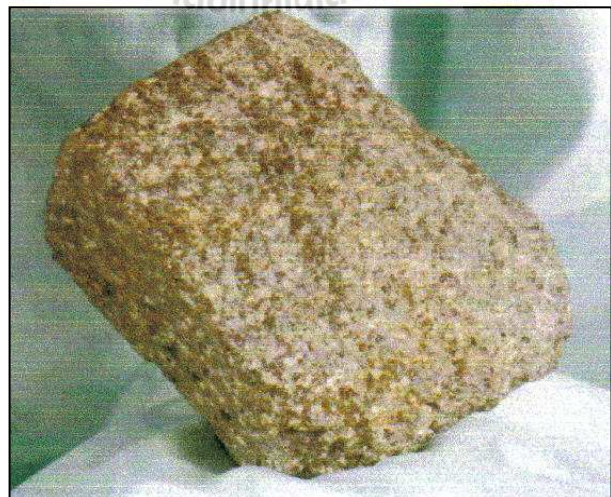
1. สีเขียวແถนน (Banded perlite) เพอร์ไลต์สีเขียวเนื้อประสานอัดแน่น ชุดสีขาวทั่วไปคือ Feldspar เนื้อเดิมเป็น Glass และวัปรสสภาพมาเป็นແถนน ๆ ที่เรียกว่า Red devitrification product

2. เพอร์ไอลต์สีเขียว (Classical perlite) เป็นเพอร์ไอลต์เนื้ออัดแน่นมีผลึกสีเขียว ถ้าดูด้วยกล้องขยายจะพบรอยแตกร้าวโกร่งไปโกร่งมา คือ Perlite Crack และยังมีจุดขาว Feldspar รวมอยู่ด้วย แต่เพอร์ไอลต์ชนิดนี้ถือว่ามีคุณภาพดี ขยายตัวได้สูง แต่อุณหภูมิกการขยายตัวอาจแตกต่างกัน

3. เพอร์ไอลต์สีขาว (Pumicious perlite) ประกอบไปด้วยเส้นใยของแก้ว (Glass fiber) สีค่อนข้างขาว มีรูพรุนสูง อาจมี Feldspar ประปนอยู่ด้วยเล็กน้อย และมีการขยายตัวอยู่บ้างเล็กน้อย



รูปที่ 2.13 แสดงลักษณะของหินเพอร์ไอลต์สีเขียวแบบแดง



รูปที่ 2.14 แสดงลักษณะของหินเพอร์ไอลต์สีเขียว



รูปที่ 2.15 แสดงลักษณะของหินเพอร์ไอลต์สีขาว

2.6.2 ลักษณะการเกิดของหินเพอร์ไอลต์

เพอร์ไอลต์จัดอยู่ในประเภทหินอัคนีพมี่เนื้อละเอียดเป็นแก้ว เนื่องจากเกิดจากการเย็นตัวอย่างรวดเร็วของหินหนึ่ง เป็นแร่องค์ประกอบร่วมกับหินไนโอลิต ที่เกิดในระดับตื้น และมีการเย็นตัวอย่างรวดเร็ว บริเวณที่พบในประเทศไทย ได้แก่ จังหวัดพนบุรี และกาญจนบุรี ประโยชน์ใช้เป็นส่วนผสมวัสดุก่อสร้างน้ำหนักเบา และเป็นส่วนเติมเต็มในอุตสาหกรรมปูยและอุตสาหกรรมสี (แปรรุปศักดิ์ นันทคำภิรา และคณะ, ออนไลน์, 2547)

หินเพอร์ไอลต์เกิดเป็น Effusive rock แทรกเข้ามาในชั้น Pumicious tuffs ซึ่งเข้าใจว่าจะมีน้ำอยู่ในรูพรุนค่อนข้างมาก ภายหลังจากที่ Magma แทรกเข้ามาและเย็นตัวเป็นแก้วภูเขาไฟแล้ว น้ำที่อยู่ในชั้น Tuff จะค่อย ๆ แทรกซึมลงไปร่วมกับแก้วภูเขาไฟ ซึ่งแต่เดิมมีน้ำอยู่เพียงร้อยละ 1 ถึง 2 กลับเพิ่มมากขึ้นเป็นร้อยละ 3 ถึง 5 พร้อม ๆ กับการขยายตัว และแตกเป็นรูปเปลือกของหัวหом (Peritic crack) ขึ้น สำหรับ Pumicious perlite มีลักษณะการเกิดที่แสดงให้เห็นถึงการถูกความกดดันและการระเหยหนีไปของ Volatile ที่ละลายปนอยู่ใน Magma ขณะเคลื่อนตัวขึ้นมาใกล้ผิวโลก ด้วยขณะที่เกิดบังเป็นของเหลวอยู่ แรงดันและแรงระเหยหนีของ Volatile ผ่านช่องว่างที่มีอยู่อย่างจำกัดจึงเกิดการริดเป็นเด็นไยก็วยมีรูพรุนสูง แล้วจึงคุดชับน้ำเข้าไปในเนื้อ ซึ่งเชื่อว่าเป็นปริมาณเพียงเล็กน้อย การขยายตัวของเพอร์ไอลต์ชนิดนี้จึงค่อนข้างต่ำ แก้วภูเขาไฟมีลักษณะใสไม่สามารถดูดซึมน้ำได้นาน ๆ อาจเป็นเพราะแรงกดเนื้องจากมีน้ำหนักหินปิดทับและมีน้ำเป็นตัวเร่งปฏิกิริยาบางส่วนของแก้วจึงเปลี่ยนเป็น Feldspar กับ Quartz ขนาดเล็ก ๆ อยู่ด้วยกันและมักจะมีสีแดง เรียกว่า Devitrified glass หรือ Spherulite (กรมทรัพยากรธรรมชาติ, ออนไลน์, 2548)

2.6.3 คุณสมบัติทางเคมีของหินเพอร์ไอล์ต์

หินเพอร์ไอล์ต์เป็นหินภูเขาไฟเนื้อแก้ว ที่มีส่วนประกอบของออกไซด์ของธาตุซิลิกาค่อนข้างสูง ประมาณร้อยละ 70 หรือมากกว่า และยังมีน้ำเป็นส่วนประกอบประมาณร้อยละ 2 ถึง 5 โดยปกติไม่ทำปฏิกิริยาทางเคมีกับสารเคมีอื่น ๆ ได้ง่ายนัก จึงจัดอยู่ในจำพวกสารเฉื่อยต่อปฏิกิริยาทางเคมี เนื้อแก้วของหินเพอร์ไอล์ต์จะมีการเปลี่ยนสภาพแก้วเป็นผลึก (Diversification) เมื่อระยะเวลา (อายุ) ของหินเพอร์ไอล์ต์มากขึ้น ดังนั้นหินเพอร์ไอล์ต์ที่จะมีคุณภาพดีและสามารถนำไปใช้ประโยชน์ได้นั้น เนื้อแก้วจะต้องไม่เปลี่ยนสภาพแก้วเป็นผลึก ซึ่งจะพบได้ในหินภูเขาไฟบุคใหม่ประมาณยุคเทอร์เชียร์ขึ้นมา หรือน้อยกว่า 65 ล้านปี

เพอร์ไอล์ต์จะมีองค์ประกอบหลักทางเคมีคล้ายกับปูนซิเมนต์ปอร์ตแลนด์และไคลอตومไนต์ ส่วนประกอบทางเคมีของหินเพอร์ไอล์ต์จะอยู่ในรูปของออกไซด์ของธาตุต่าง ๆ ซึ่งสามารถดูได้จากตารางที่ 2.6 ซึ่งแสดงการเปรียบเทียบระหว่างค่าเฉลี่ยของหินเพอร์ไอล์ต์ทั่วโลก กับของประเทศไทย จากการสำรวจของสำนักเหมืองแร่และสัมปทาน เพื่อเป็นข้อมูลเบื้องต้นทางสถิติ ในการศึกษาเพื่อพัฒนาการใช้เพอร์ไอล์ต์ในงานอุตสาหกรรม (สำนักเหมืองแร่และสัมปทาน, 2546)

ตารางที่ 2.6 องค์ประกอบเคมีของหินเพอร์ไอล์ต์ (สำนักเหมืองแร่และสัมปทาน, ออนไลน์, 2546)

องค์ประกอบเคมี	ค่าเฉลี่ยหินเพอร์ไอล์ต์	
	ทั่วโลก	ประเทศไทย
SiO_2	71.0 - 75.0	71.02
Al_2O_3	12.5 - 18.0	16.09
Fe_2O_3	0.50 - 1.50	0.71
FeO	0.00 - 0.10	0.73
MgO	0.10 - 0.50	0.41
CaO	0.50 - 2.00	0.58
Na_2O	2.90 - 4.00	0.90
K_2O	4.00 - 5.00	5.59
H_2O (comb)	3.00 - 5.00	3.57

จิตกร ตั้งอนุสรณ์สุข และคณะ (2548) ได้ทำการศึกษาองค์ประกอบทางเคมีของเพอร์ไอลต์ในประเทศไทยโดยใช้วิธี X-Ray Fluorescence (XRF) ในการวิเคราะห์แล้วนำองค์ประกอบดังกล่าวไปเปรียบเทียบกับองค์ประกอบทางเคมีของปูนซีเมนต์ปอร์ตแลนด์ดังแสดงในตารางที่ 2.7 เพื่อทำการศึกษาคุณสมบัติทางเคมีเบื้องต้นของเพอร์ไอลต์และของปูนซีเมนต์ปอร์ตแลนด์ให้เป็นข้อมูลคุณสมบัติเบื้องต้นของวัสดุทั้ง 2 ชนิด ที่สำคัญให้สามารถใช้เป็นวัตถุดิบที่สามารถนำไปใช้ในงานอุตสาหกรรมก่อสร้างได้ เช่น นำมาใช้ในการทำคอนกรีตมวลเบาที่ทำเป็นคอนกรีตถนน เป็นต้น

ตารางที่ 2.7 แสดงการเปรียบเทียบองค์ประกอบทางเคมีของปูนซีเมนต์กับเพอร์ไอลต์

(จิตกร ตั้งอนุสรณ์สุข และคณะ, 2548)

องค์ประกอบเคมี	ตัวย่อลักษณ์	ร้อยละ โดยน้ำหนักของซีเมนต์	ร้อยละ โดยน้ำหนักของเพอร์ไอลต์ในประเทศไทย
CaO	C	60 - 67	0.57
SiO ₂	S	17 - 25	71.01
Al ₂ O ₃	A	3 - 8	16.07
Fe ₂ O ₃	F	0.5 - 6.0	0.71
MgO	M	0.1 - 4.0	0.40
Na ₂ O	N	0.1 - 1.8	0.92
K ₂ O	K	0.1 - 1.8	5.57
SO ₃	S	0.5 - 3.0	-
FeO	Fe	-	0.71
H ₂ O (comb)	-	-	3.57
สารประกอบอื่น ๆ	-	0.5 - 3.0	-

2.6.4 คุณสมบัติทางฟิสิกส์ของหินเพอร์ไอลต์

หินเพอร์ไอลต์ส่วนใหญ่เนื้อหินมีลักษณะเป็นแก้ว มักจะมีรอยแตกเป็นวง ๆ ซึ่งนักคล้ำยกลืนหัวหอน รอยแตกนี้อาจจะมองเห็นด้วยตา หรืออาจจะต้องอาศัยดูด้วยแว่นขยาย หรือใช้กล้องจุลทรรศน์ โดยทั่วไปจะมีสีเทาอ่อนแต่อาจจะพบสีดำ สีน้ำตาล หรือสีเขียวได้ และในเนื้อหินมักจะมีผลึกแร่ครอฟซ์ แร่เฟลเดสปาร์ แร่ไบโอลายต์ แร่เซอร์นเบลนด์ และมีชิ้นส่วนของ

เศษหินชนิดอื่นฝังตัวอยู่ มีความแข็งตามมาตรฐานของโมห์ (Moh's scale) ระหว่าง 5.5 ถึง 7.0 ค่าความถ่วงจำเพาะระหว่าง 2.3 ถึง 2.8 จุดหลอมตัวระหว่าง 760 ถึง $1,300^{\circ}\text{C}$ และมีค่าดัชนีการหักเหแสงอยู่ระหว่าง 1.490 ถึง 1.610

ตารางที่ 2.8 การเปรียบเทียบคุณสมบัติของคอนกรีตที่ผสมด้วยเพอร์ไอลต์กับปูนซีเมนต์ผสมแบบธรรมชาติ (สำนักเหมืองแร่และสัมปทาน, อธน 2546)

Type	Air dry unit volume weight (kg/l)	Thermal conductivity (Kcal/mh $^{\circ}\text{C}$)
คอนกรีตผสมเพอร์ไอลต์	1.20 - 1.60	0.27 - 0.36
ปูนผสมทราย	2.01	1.24

2.6.5 การใช้ประโยชน์ของหินเพอร์ไอลต์

หินเพอร์ไอลต์สามารถนำมาใช้ประโยชน์ได้หลายอย่าง ขึ้นอยู่กับคุณสมบัติทางฟิสิกส์และทางเคมี ส่วนใหญ่นำมาใช้ในงานก่อสร้าง เพื่อลดน้ำหนักของสิ่งก่อสร้าง ช่วยเป็นผนวนกันความร้อนและความเย็น และยังสามารถเป็นผนังป้องกันเสียงได้ นอกจากนี้ยังมีการนำไปใช้ในงานด้านต่าง ๆ ตลอดจนงานทางด้านเกษตร และงานด้านอุตสาหกรรมอื่น ๆ อีกด้วย เช่น

1. ด้านอุตสาหกรรมการก่อสร้าง

มีการนำเพอร์ไอลต์มาใช้ในด้านอุตสาหกรรมก่อสร้างประมาณร้อยละ 70 ของปริมาณที่ผลิต ได้ทั้งโลก เนื่องจากมีคุณสมบัติคือ มีน้ำหนักเบา ความหนาแน่นต่ำ มีความพรุนสูง ทนไฟ และมีความแข็งแรง ด้วยคุณสมบัติเด่นดังกล่าว เพอร์ไอลต์จึงนำมาใช้ประโยชน์ในด้านต่าง ๆ เช่น ฝ้าเพดาน เนื่องจากเพอร์ไอลต์เป็นส่วนประกอบของฝ้าเพดาน และผลิตภัณฑ์ที่ปิดซัม แผ่นเรียบบางชนิด เพอร์ไอลต์เป็นส่วนผสมที่ทำให้กระเบื้องไม้เป็นตัวนำความร้อน คลื่นเสียงผ่านทะลุไม่ได้ มีความหนาแน่นต่ำ และเป็นวัสดุทนไฟ เมื่อนำมาปูผนังป้องกันความร้อน จะทำให้ได้คุณภาพที่ดีกว่าปูนซีเมนต์ธรรมชาติ เมื่อนำมาปูผนังดีกีหรือเพดานจะทำให้ปูนสามารถยึดติดผนังได้ดี แห้งเร็ว และไม่เกิดรอยร้าว เนื่องจากมีความยืดหยุ่นได้ดี และยังเป็นผนวนป้องกันความร้อน อีกด้วย

นอกจากนี้เมื่อนำเพอร์ไอลต์ไปผสมกับปอร์ตแลนด์ซีเมนต์ในการทำคอนกรีต ใช้ในงานก่อสร้างต่าง ๆ จะทำให้ลดน้ำหนักของสิ่งก่อสร้างนั้นลงได้ และยังทำหน้าที่เป็นผนวนป้องกันความร้อน และป้องกันการสะท้อนของเสียงได้เป็นอย่างดี คอนกรีตที่ใช้เพอร์ไอลต์ผสมจะมีความหนาแน่นต่ำถึง 320 kg/m^3 และถ้ามีความหนาประมาณ 2 นิ้ว จะมีประสิทธิภาพในการเป็น

ชนวนได้เท่ากับแผ่นชนวนมาตรฐาน แต่มีความแข็งแรงและคงทนกว่าแผ่นชนวนมาตรฐานมาก ซึ่งได้มีการทดลองและเปรียบเทียบคุณสมบัติของคอนกรีตที่ผสมด้วยเพอร์ไอลต์กับปูนซีเมนต์ผสมแบบธรรมชาติ โดยบริษัทผลิตเพอร์ไอลต์ของประเทศไทยปูนซีเมนต์ ดังแสดงในตารางที่ 2.8 (สำนักเหมืองแร่ และสัมปทาน, อ่อนไลน์, 2546)

2. เป็นชนวน

ห้องที่ต้องการรักษาอุณหภูมิทั้งความเย็นหรือความร้อนเป็นพิเศษ ได้มีการใช้เพอร์ไอลต์อัดเข้าไปในช่องว่างระหว่างผนังของห้อง ซึ่งมักจะใช้เพอร์ไอลต์ที่มีความหนาแน่นที่น้อยกว่า 64 kg/m^3 เช่น ห้องเก็บเครื่องมือทางวิทยาศาสตร์ที่ต้องการอุณหภูมิภายในห้องคำนึง

3. เป็นเครื่องกรอง

เนื่องจากเพอร์ไอลต์มีปริมาณออกไซด์ของธาตุซิลิกาสูง อาจมีมากกว่าร้อยละ 70 มีคุณสมบัติเป็นตัวดูดซึมที่ดี และยังเป็นสารเนื้อยื่นต่อปฏิกิริยาทางเคมีในสภาพแวดล้อมต่าง ๆ จากคุณสมบัติดังกล่าวจึงสามารถนำเพอร์ไอลต์ไปใช้เป็นตัวกรองและตัวดูดซึมที่ดี

4. ด้านอื่น ๆ

นอกจากที่กล่าวมาแล้วเพอร์ไอลต์ยังสามารถนำไปใช้สมกับสีทาได้ทั้งภายในและภายนอกของอาคารบ้านเรือน และมีการนำเพอร์ไอลต์ไปใช้เป็นตัวเร่งปฏิกิริยาทางเคมี ใช้เป็นผงขัด และผสมซีเมนต์ใช้ในการล้างผนังบ่อน้ำมัน

2.6.6 แหล่งเพอร์ไอลต์ในประเทศไทย

แหล่งเพอร์ไอลต์พบอยู่ในบริเวณกาลุ่มหินภูเขาไฟตอนกลางของประเทศไทย ซึ่งจัดอยู่ในหน่วยหินภูเขาไฟลำนารายณ์ คลุ่มพื้นที่ประมาณ $1,200 \text{ km}^2$ อยู่ในเขตจังหวัดลพบุรี และจังหวัดเพชรบูรณ์ หน่วยหินภูเขาไฟลำนารายณ์ประกอบด้วยหินภูเขาไฟชนิดต่าง ๆ ตั้งแต่ bazaltic แอนดีไซต์ ไปจนถึงไฮโลไฮต์

เพอร์ไอลต์เกิดร่วมกับไฮโลไฮต์ และหินถ่านภูเขาไฟ (Ash-flow tuffs) โดยเกิดลักษณะแบบลาวา และเกิดแบบพนัง โพล่าให้เห็นเป็นชั้นหนาตามบริเวณของภูเขาไฟลำนารายณ์ โดยแยกพะขอบด้านตะวันตก เพอร์ไอลต์ที่พบมีสีดำ น้ำตาล เงียวเข้ม หรือเงียวอ่อน มีลักษณะเนื้อเป็นแก้ว และมีผลึกของเฟลเดสปาร์ประมาณร้อยละ 2 ถึง 10 และผลึกของไฮโลไฮต์ประมาณร้อยละ 1 ถึง 2 ชั้นของเพอร์ไอลต์ที่ผลลัพธ์มีความหนาตั้งแต่ 1 ถึง 20 m วางตัวค่อนข้างราบ และส่วนมากจะวางตัวอยู่บนหินถ่านภูเขาไฟ และถูกปิดทับด้วยไฮโลไฮต์

2.6.7 สถานการณ์เพอร์ไอลต์ของประเทศไทย

ในปัจจุบันเพอร์ไอลต์มีการผลิตจากประทานบัตรของ ห้างหุ้นส่วนจำกัดกลองยาง จำนวน 1 แปลง ตั้งอยู่ที่ตำบลลมหายใจ อำเภอสารภี จังหวัดลพบุรี มีอัตราการผลิตประมาณ 2,400 ตันต่อปี สำหรับแร่เกรดสูงเพื่อมาสำหรับทำวัสดุรองคุณภาพสูงและถูกจำหน่ายให้กับ

โรงงานน้ำผลไม้ การปลูกพืชโดยไม่ใช้คิน วัสดุผสมเพิ่มสำหรับปูนกลางสำเร็จ และอิฐทนไฟ โดยจำหน่ายให้กับโรงเผาที่จังหวัดราชบุรี ราคาของเพอร์ไอลต์คุณภาพสูงก่อนการเผาที่ 650 บาทต่อตัน เมื่อเผาแล้วราคาจะเพิ่มขึ้นเป็น 6,000–12,000 บาทต่อตัน อีกทั้งจะขึ้นกับคุณสมบัติความขาว และความหนาแน่น (สำนักเหมืองแร่และสัมปทาน, ออนไลน์, 2546)

คณ บัวคลี และรังสรรค์ รังสิตมาวงศ์ (2540) ได้ทำการศึกษาเพื่อหาสัดส่วนการผสมมอร์ตาร์มวลเบาโดยการใช้เพอร์ไอลต์มาแทนที่ทรายบางส่วน เพื่อให้ได้คุณสมบัติตามต้องการและสามารถนำมอร์ตาร์มวลเบาไปใช้งานได้จริงในการผลิตผนังมวลเบา โดยในการทดลองได้ใช้ทั้งขนาดหยอดและขนาดละเอียดป่นกัน เพอร์ไอลต์ในการทดสอบมีหน่วยน้ำหนักประมาณ 252 kg/m^3 การทดสอบคุณสมบัติของมอร์ตาร์นั้นแบ่งเป็น 3 ส่วน คือ การทดสอบหน่วยน้ำหนัก การทดสอบความสามารถเหทได้โดยใช้ตัวการไอล และการทดสอบกำลังอัด โดยกำหนดเป้าหมายดังนี้ ด้านหน่วยน้ำหนักไม่เกิน 800 kg/m^3 ค่าการไอลแผ่กว้างมากกว่าร้อยละ 70 และกำลังอัดครั้งมีมากกว่า 35 ksc ที่อายุ 7 วัน ผลการวิจัยพบว่าหน่วยน้ำหนักจะขึ้นอยู่กับปริมาณของเพอร์ไอลต์ที่ใช้แทนที่ทรายและปริมาณซ่องว่างอากาศที่แทรกในเนื้อมอร์ตาร์ โดยปริมาณเพอร์ไอลต์ที่เหมาะสมที่สุด คือแทนที่ทรายร้อยละ 90 โดยปริมาตร ด้านการไอลขึ้นอยู่กับปริมาณความชื้นในเพอร์ไอลต์เป็นหลัก ก่อให้เกิดการไอลมีความเหมาะสมเมื่อปริมาณความชื้นในเพอร์ไอลต์อยู่ระหว่างร้อยละ 90-100 ส่วนด้านกำลังอัดพบว่ามอร์ตาร์ที่ใส่ทั้งสารกระเจาและสารลดน้ำอ่าย่างมากมีคุณสมบัติตรงตามเป้าหมายคือ ค่ากำลังอัด 37 ksc ที่อายุ 7 วัน คุณสมบัติด้านหน่วยน้ำหนักและความสามารถเหทได้นั้นขึ้นกับปัจจัยหลายประการ แต่ที่ควรระวังเป็นพิเศษคือปริมาณความชื้นในเพอร์ไอลต์และขนาดของเพอร์ไอลต์ที่ใช้ในการผสม

Demirboga and Gul (2003) ได้ทำการศึกษาถึงผลกระทบของสารผสมเพิ่มต่อคุณสมบัติด้านการนำความร้อนของคอนกรีตที่ใช้ Perlite เป็นมวลรวม การศึกษาใช้ชิลิกาฟูและถ้าล้อยแทนที่ปูนซีเมนต์ร้อยละ 10 20 และ 30 และควบคุมปริมาณของมวลรวมให้อยู่ที่ 200 kg/m^3 และใช้สารลดน้ำจำนวนมากร้อยละ 1.5 โดยน้ำหนักของวัสดุประสานจากการทดสอบได้แสดงให้เห็นว่าคุณสมบัติด้านการนำความร้อนมีแนวโน้มลดลงลดลง เมื่อเพิ่มปริมาณการแทนที่ปูนซีเมนต์ด้วยชิลิกาฟูและถ้าล้อย ที่ปริมาณร้อยละ 14 และ 18 ตามลำดับ และเมื่อทำการเพิ่มปริมาณสารผสมเพิ่มส่งผลให้ความหนาแน่นของคอนกรีตลดลงจาก 522 kg/m^3 เหลือ 483 kg/m^3 และกำลังอัดมีค่าลดลงร้อยละ 12 19 และ 29 ที่อายุการบ่ม 7 วัน แต่ค่ากำลังอัดจะเพิ่มขึ้นร้อยละ 9 13 และ 4 ที่อายุการบ่ม 28 วัน ที่การแทนที่ปูนซีเมนต์ด้วยชิลิกาฟูมีร้อยละ 10 20 และ 30 ตามลำดับ แต่สำหรับถ้าล้อยนั้นจะส่งผลทำให้ค่ากำลังอัดเพิ่มขึ้นร้อยละ 36 และ 27 ที่อายุการบ่ม 28 วัน

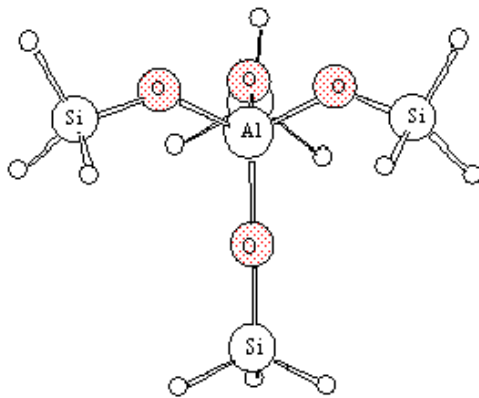
2.7 ซีโอໄලຕ් (zeolite)

ซีโอໄලຕ් (Zeolite) คือสารประกอบอัลูมิโนซิลิเกต (Crystalline aluminosilicates) หน่วยย่อยของซีโอໄලຕ්ประกอบด้วยอะตอมของซิลิคอน (หรืออัลูมิเนียม) หนึ่งอะตอม และออกซิเจน สี่อะตอม (SiO_4 หรือ AlO_4) สร้างพันธะกันเป็นรูปสามเหลี่ยมสี่หน้า (Tetrahedron) โดยอะตอมของซิลิคอน (หรืออัลูมิเนียม) อยู่ตรงกลาง ล้อมรอบด้วยอะตอมของออกซิเจนที่มุ่งทั้งสี่ ซึ่งโครงสร้างสามเหลี่ยมสี่หน้านี้จะเชื่อมต่อกันที่มุ่ง (ใช้ออกซิเจนร่วมกัน) ก่อให้เกิดเป็นโครงสร้างที่ใหญ่ขึ้นและเกิดเป็นช่องว่างระหว่างโมเลกุล ทำให้ซีโอໄලຕ්เป็นผลึกแข็ง เป็นรูพรุนและช่องว่าง หรือโพรงที่ต่อเชื่อมกันอย่างเป็นระเบียบในสามมิติ ขนาดตั้งแต่ 2-10 อังสตรอม ($1 \text{ อังสตรอม} = 1 \times 10^{-10} \text{ m}$) นอกจากซิลิคอน (หรืออัลูมิเนียม) และออกซิเจนแล้วในโครงสร้างโมเลกุลของซีโอໄලຕ්ยังมีประจุบวกของโลหะ เช่น โซเดียม โพแทสเซียม แคลเซียม เกาะอยู่อย่างหลวง ๆ และมีโมเลกุลของน้ำเป็นองค์ประกอบอยู่ในช่องว่างในโครงผลึกสามารถดูดให้เดือดร้อนออกໄไปได้

ซีโอໄලຕ්อาจเกิดขึ้นตามธรรมชาติในรูปของแร่ธาตุ มีการทำเป็นเหมือนซีโอໄලຕ්ในพื้นที่หลายแห่งของโลก หรืออาจสังเคราะห์ขึ้นได้โดยกระบวนการทางเคมี เพื่อประโยชน์ทางการค้า ซึ่งทำให้ได้ซีโอໄලຕ්ที่มีสมบัติเฉพาะเจาะจง รวมทั้งอาจมีการสังเคราะห์ซีโอໄලຕ්ในห้องปฏิบัติการเพื่อประโยชน์ในการศึกษาลักษณะทางเคมีของซีโอໄලຕ් ซีโอໄලຕ්มีมากกว่า 600 ชนิด แต่สามารถแบ่งกลุ่มตามชนิดของโครงสร้างได้ประมาณ 40 ชนิด ซึ่งความแตกต่างในโครงสร้างนี้มีผลต่อสมบัติต่าง ๆ ของซีโอໄලຕ් เช่น โครงสร้างผลึก ความหนาแน่น ขนาดของโพรง ความแข็งแรงของพันธะ เป็นต้น การจำแนกชนิดของซีโอໄලຕ්นั้นอาศัยขนาดและรูปร่างของโพรงซีโอໄලຕ්เป็นหลัก ซึ่งทำให้นำซีโอໄලຕ්ไปใช้ประโยชน์ในงานที่แตกต่างกันไป ลักษณะเด่นของซีโอໄලຕ්คือโครงสร้างที่เป็นรูพรุนอย่างเป็นระเบียบของซีโอໄලຕ් ซึ่งอาจใช้เป็นตัวกรองสารที่ต้องการ โดยโมเลกุลที่เล็กกว่าขนาดโพรงซีโอໄලຕ්สามารถผ่านໄไปได้ ในขณะที่โมเลกุลที่มีขนาดใหญ่ไม่สามารถผ่านออกมานะ แต่โมเลกุลที่ต้องการซึ่งมีขนาดพอๆ กับโพรงซีโอໄලຕ්ก็ถูกกักไว้ภายในโพรง

2.7.1 โครงสร้างของซีโอໄලຕ්

ซีโอໄලຕ්เป็นแร่ที่ประกอบด้วย ผลึกของอะลูมิโนซิลิเกตที่มีน้ำผลึกของโลหะ-อัลคาไลน์หรือโลหะอัลคาไลน์อิอร์ทซึ่งโดยมากจะเป็นโลหะโซเดียม โพแทสเซียม แมกนีเซียม แคลเซียม สตอลเซียม และแบเรียม โดยโครงสร้างหลักของซีโอໄලຕ්จะมีลักษณะเป็นโครงสร้าง 3 มิติ ของอะลูมิเนียม-ออกซิเจนเตตราซีครอต (AlO_4) และซิลิคอน-ออกซิเจนเตตราซีครอต (SiO_4) ซึ่งประกอบด้วยอะลูมิโนซิลิเกต โดยมีการเชื่อมต่อของอะตอมออกซิเจนอะตอมแบบไม่สัมสุดคือเป็นโคพอลิเมอร์ (Copolymer) โครงสร้างซีโอໄලຕ්แบ่งออกเป็น 3 ลักษณะคือ



รูปที่ 2.16 แสดงโครงสร้างของซีโอໄไลต์ (อุษา อันทอง และคณะ, 2549)

1. โครงสร้างปฐมภูมิ SiO_4 และ AlO_4 แต่ละหน่วยจะจัดเรียงตัวในลักษณะรูปทรงสี่หน้า (Tetrahedron) เชื่อมต่อกันโดยอะตอมของซิลิกอนและอะลูминิเนียมอยู่ตรงกลางส่วนอะตอมของออกซิเจนอยู่ที่จุดยอดมุมสามเหลี่ยมทรงสี่หน้า
2. โครงสร้างทุติยภูมิ จะเกิดจากโครงสร้างปฐมภูมิแต่ละหน่วยมาเชื่อมต่อกันโดยอาศัยจุดยอดมุมทั้งสี่เป็นจุดเชื่อมต่อ เพื่อให้ได้เป็นโครงสร้างที่ซับซ้อนมากขึ้น โครงสร้างที่เกิดจากโครงสร้างขั้นปฐมภูมิมาเชื่อมต่อกันเป็นวงขนาดเล็กในรูปแบบต่าง ๆ กัน เช่น สี่เหลี่ยมเหลี่ยม และแปดเหลี่ยม โดยเป็นวงเดียว หรือวงซ้อนกันได้ เรียกว่า โครงสร้างทุติยภูมิ
3. โครงสร้างรูปทรงหลายหน้า เมื่อนำโครงสร้างทุติยภูมิ มาเชื่อมต่อกันจะเกิดเป็นโพรงที่มีขนาดใหญ่ ซีโอໄไลต์ต่างชนิดกันจะมีโครงสร้างที่แตกต่างกันไป ทำให้คุณสมบัติของซีโอໄไลต์นั้น ๆ มีคุณสมบัติแตกต่างกันไปด้วย

2.7.2 คุณสมบัติของซีโอໄไลต์

เนื่องจากโครงสร้างของซีโอໄไลต์ที่เป็นแบบเปิดประกอบด้วยช่องว่าง และการเชื่อมต่อระหว่างโน้มเลกุลจำนวนมาก ซึ่งมีแคทไอกอน และโน้มเลกุลของน้ำเกาะอยู่ภายใน โดยสามารถแลกเปลี่ยนกับแคทไอกอนอื่นได้ คือมีคุณสมบัติเป็น Ion exchange นำไปใช้ในการ Water softening และ Water treatment นอกจากนี้โลหะอื่น ๆ เช่น ตะกั่ว protoxide มีเมียม ซิลเวอร์ ไอกอนก็สามารถแลกเปลี่ยนได้เช่นเดียวกัน ยังมีคุณสมบัติเป็น Reversible dehydration ซึ่งเป็น Molecular sieve ที่ทำให้มีคุณสมบัติต่างจากการดูดซับ และมีคุณสมบัติเป็นสารดูดซับที่ดีสามารถแยกในการแยกแก๊สและไออกซิเจน เช่น แอมโมเนียม ออกซิเจน ไออกซิเจน ในโตรเรเจน คาร์บอนไดออกไซด์ ซัลเฟอร์ไดออกไซด์ได้ด้วย เนื่องจากโครงสร้างโน้มเลกุลที่แตกต่างกัน ดังนั้น จึงมีคุณสมบัติทางเคมีและการภาพแตกต่างกัน

2.7.3 ชนิดของซีโอໄලຕໍ

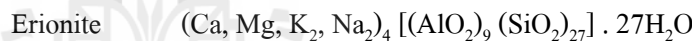
ซีโอໄලຕໍສາມາດເກີດຈິນໄດ້ 2 ວິທີ ຄືອ ຜົບ ຊື່ໂອໄລຕໍດາມຫຮຽມຫາຕີ (Natural or Mineral zeolite) ແລະ ສັງເກຣະຫຼືນ (Synthetic zeolite) ຜົບ ຊື່ໂອໄລຕໍແຕ່ລະ ທີ່ ຂົດມີໂຄງສ່ວນທີ່ແຕກຕ່າງກັນ ທີ່ພົບ ຕາມຫຮຽມຫາຕີມີນາກວ່າ 35 ຂົດ ສ່ວນ ຜົບ ຊື່ໂອໄລຕໍສັງເກຣະຫຼືນ ມີປະມານ 100 ຂົດ ສາມາດແຍກ ທີ່ ຂົດຂອງ ຜົບ ຊື່ໂອໄລຕໍໄດ້ 2 ຂົດ ດັ່ງນີ້

1. ຜົບ ຊື່ໂອໄລຕໍທີ່ເກີດຕາມຫຮຽມຫາຕີ (Natural or Mineral zeolite) ປະກອບດ້ວຍ Hydrated Alumino Silicates ຂອງ Alkaline ແລະ Alkaline-Earth Metals ຜົບ ຊື່ໂອໄລຕໍຫຮຽມຫາຕີມີ ນ້ຳໜັກເບາ ເປັນແຮ່ທີ່ມີຄວາມນຸ່ມ ມີສິນ້າຕາລ ນ້ຳຕາລເຫຼືອງຫົ້ວ້ອສີເບີຍຈາງ ມີລັກຍະນະຄຳ້າຍຂອລົກ ຜົບ ຊື່ໂອໄລຕໍຫຮຽມຫາຕີທີ່ນີ້ມີໃຊ້ໃນອຸຕສາຫກຮຽມມີ 3 ຂົດ ຄືອ Clinoptilolite Chabazite ແລະ Mordenite ນາງອຸຕສາຫກຮຽມ ອາຈະໃຊ້ Phillipsite ທີ່ ຂົດຂອງ ຜົບ ຊື່ໂອໄລຕໍທີ່ສຳຄັນ ຄືອ (ວັດນັ້ນຂໍ້ ອູ້ໃນວັນທີ 2546)

Group 1 : Single 4 - ring



Group 2 : Single 6 – ring



Group 3 : Double 4 – ring



Group 4 : Double 6 – ring



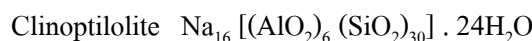
Group 5 : Complex 4 – 1



Group 6 : Complex 5 – 1



Group 7 : Complex 4 – 4 – 1



ໃນສາພຫຮຽມຫາຕີພບແຮ່ ຜົບ ຊື່ໂອໄລຕໍປະມານ 50 ຂົດ ແຕ່ທີ່ພົບປ່ອຍແລະ ມີປິມານ ຄ່ອນຂ້າງສູງໃນດິນມີເພີຍ 9 ຂົດ ເທົ່ານີ້ ໄດ້ແກ່ Clinoptilolite Analcime Chabazite Heulandite Mordenite Phillipsite Natrolite Stilpnite ແລະ Gesmondine ແຮ່ທີ່ 9 ຂົດ ໃນກຸ່ມໆ ບໍ່ Clinoptilolite ແລະ Mordenite ເທົ່ານີ້ ທີ່ພົບນາກໃນດິນທ້ວາໄປ

ตารางที่ 2.9 คุณสมบัติของซีโอໄโลต์ชนิดต่าง ๆ (วัฒนชัย อุย়ুไนวংশ, 2546)

ซีโอໄโลต์	ส่วนประกอบทางเคมี	อัตราส่วน Si:Al	ห้องว่างโมเลกุล (นาโนเมตร)
Analcime	Na.AlO ₂ .2SiO ₂ .H ₂ O	1.7-2.9	0.26
Chabazite	2Ca.4AlO ₂ .8SiO ₂ .13H ₂ O	1.4-3.0	0.31x0.44
Clinoptilolite	Na/K.AlO ₂ .5SiO ₂ .H ₂ O	4.0-5.1	0.31x0.79
Erionite	Ca/Mg/2Na/2K.2AlO ₂ .6SiO ₂ .6H ₂ O	2.2	0.76
Laumkotite	Ca.2AlO ₂ .4SiO ₄ .4H ₂ O	1.8-2.6	0.46x0.63
Mordenite	Na.AlO ₂ .5SiO ₂ .3H ₂ O	4.4-5.3	0.67x0.70
Phiplippisite	K/Na.AlO ₂ .2SiO ₄ .H ₂ O	1.3-3.0	0.28x0.48
Stellerite	Ca.2AlO ₂ .7SiO ₂ .7H ₂ O	2.8-4.4	0.48x0.59

2. ซีโอໄโลต์ที่เกิดจากการสังเคราะห์ทางเคมี (Synthetic zeolite) เกิดจากการทำปฏิกิริยาเบสิกออกไซด์ต่าง ๆ เช่น Al₂O₃ SiO₂ Na₂O และ K₂O ในระบบที่มีน้ำเพื่อให้ได้ผลิตภัณฑ์ของซีโอໄโลต์ที่มีน้ำผลึก และการสังเคราะห์สามารถทำให้เกิดได้ตั้งแต่เป็นเจล (Gelatin) จนถึงเป็นรูพรุน (Porous) และลักษณะที่คล้ายเม็ดทราย (Sandlike) ได้แก่ Zeolite A Zeolite Y Zeolite F Zeolite M เป็นต้น

ตารางที่ 2.10 แสดงการเปรียบเทียบสารประกอบของซีโอໄโลต์ (ไกรภพ อินทร์แสง, 2550)

สารประกอบ	NZ (%)	SZ (%)
SiO ₂	71.75	61 ถึง 67
Al ₂ O ₃	13.19	11 ถึง 12.4
Fe ₂ O ₃	2.20	4.3 ถึง 6.98
CaO	0.11	2.25 ถึง 3.24
MgO	0.40	1.54 ถึง 1.64



รูปที่ 2.17 ลักษณะของซีโอໄලต์ (ไกรภพ อินทร์แสง และคณะ, 2550)

2.7.4 ประโยชน์ของซีโอໄලต์

ซีโอໄලต์สังเคราะห์มีประโยชน์และถูกนำมาใช้มากกว่าซีโอໄලต์ธรรมชาติเนื่องจากมีองค์ประกอบที่สม่ำเสมอ มีโครงสร้างที่แน่นอนและค่อนข้างบริสุทธิ์ มีสารปนเปื้อนน้อย ปัจจุบันซีโอໄලต์มีประโยชน์และมีบทบาทในอุตสาหกรรมหลายด้านดังนี้

1. ใช้เป็นตัวเร่งปฏิกิริยา เช่น Hydrogenation Ikylation Aromatization และ Isomerization เป็นต้น

2. ใช้เป็น Sorption agent เนื่องจากโครงสร้างที่เป็นรูพรุนของซีโอໄලต์ทำให้สามารถดูดซับสารต่าง ๆ ได้ตามขนาดและโครงสร้างของซีโอໄලต์แต่ละชนิด เช่น ใช้ในกระบวนการ Defying ของ Natural gas แยก CO₂ และสารประกอบชั้ลเฟอร์จากแก๊สธรรมชาติแยกสารที่ทำให้เกิดสารมลภาวะ เช่น SO₂ NO₂ และ O₂ จากอากาศ เป็นต้น

3. Water softeners ซีโอໄලต์สามารถแลกเปลี่ยนไอออนบวกในโครงสร้างผลึกกับแคลเซียม ไอออนหรือแมgnีเซียม ไอออน ได้จึงช่วยลดความกระด้างของน้ำ

4. ใช้เป็น Ion exchange resins จากคุณสมบัติการแลกเปลี่ยน ไอออนบวกของซีโอໄලต์ทำให้สามารถนำไปใช้เป็นเรซิน เพื่อแลกเปลี่ยนกับ ไอออนบวก Univalent หรือ Divalent selectivity ของซีโอໄලต์ของไอออนบวกที่เป็น Univalent จากมากไปน้อย

5. ใช้เป็น Detergent builder ซีโอໄලต์เป็นที่นิยมในต่างประเทศที่เจริญแล้ว โดยใช้เป็นส่วนผสมของผงซักฟอกเนื่องจากซีโอໄලต์มีคุณสมบัติที่เหมาะสมสำหรับทำผงซักฟอก คือ มีค่า Capacity และ Kinetics ซึ่งทำให้การแลกเปลี่ยน ไอออนบวกเป็นไปได้มากและเร็ว นอกจากนี้ ซีโอໄලต์ยังใช้แทนฟอสเฟต ได้อีกด้วยซึ่งฟอสเฟตทำให้พืช嫩 หรือพอกลิ่งมีชีวิตขนาดเล็ก ๆ เจริญเติบโตอย่างรวดเร็ว ทำให้มีปัญหาในการกำจัดและเมื่อมีการตายแล้วทับถมกันเข้าจึงทำให้น้ำเน่าเสียและสัตว์น้ำที่จำเป็นลดจำนวนลง ได้เนื่องจากขาดออกซิเจนในการย่อยสลาย

2.7.5 ข้อมูลเพิ่มเติมเกี่ยวกับชีโอลายต์

ชีโอลายต์ ได้ชื่อว่าเป็น Molecular sieve เนื่องจากโน้มเลกุลเมช่องว่างที่สม่ำเสมอ จำนวนมากซึ่งสามารถแสดงคุณสมบัติกล้าม sieve บนโน้มเลกุลที่มีช่องว่างที่สม่ำเสมอ เนื่องจากชีโอลายต์มีมากหลายชนิดและมีโครงสร้างที่แตกต่างกัน ชีโอลายต์แต่ละชนิดจึงมีคุณสมบัติเหมาะสมในการใช้งานแตกต่างกัน ดังนี้เมื่อจะนำไปใช้งานในด้านใดจึงควรศึกษาคุณสมบัติให้เหมาะสมก่อนเพื่อให้สามารถใช้งานได้ถูกต้องและมีประสิทธิภาพสูงสุด

2.8 เถ้ากลอย (fly ash)

เถ้ากลอย เป็นผลผลิตได้ (By product) จากการเผาถ่านหิน เพื่อใช้เป็นพลังงานในการผลิตกระแสไฟฟ้า ถ่านหินที่บดละเอียดจะถูกเผาเพื่อเอาพลังงานความร้อน และเถ้าถ่านหินที่มีขนาดค่อนข้างใหญ่จะตกลงบังกันเตาจึงเรียกว่าเถ้ากันเตา (Bottom ash) ส่วนเถ้าถ่านหินขนาดเล็กกว่า 1 μm จะถึงประมาณ 200 μm จะกลอยไปกับอากาศร้อนจึงเรียกว่าเถ้ากลอย เถ้ากลอยจะถูกดักจับโดยที่ดักจับไฟฟ้าสถิต (Electrostatic precipitator) เพื่อไม่ให้ถูกออกไปกับอากาศ และเป็นมลภาวะต่อพื้นที่รอบบริเวณโรงไฟฟ้า เถ้ากลอยมีคุณสมบัติเป็นสารปอชโซลานใช้ผสมปูนซีเมนต์ทำคอนกรีตได้ ปัจจุบันเถ้ากลอยมีมากจึงจำเป็นต้องกำจัด หรือนำไปใช้ประโยชน์ เพื่อลดปัญหาทางด้านมลภาวะ (ปริญญา จินดาประเสริฐ, 2547)



รูปที่ 2.18 ภาพถ่าย Scanning Electron Microscopy (SEM) ของเถ้ากลอย (www.environnet.in.th)

เถ้ากลอย (Fly ash) มีอนุภาคขนาดเล็ก ดังแสดงในรูปที่ 2.18 ซึ่งเกิดจากการเผาไหม้อuya ไม่สมบูรณ์ของถ่านหินหรือเชื้อเพลิงที่เป็นของแข็งอื่น ๆ พบริ่มมากในอากาศเสียจากโรงผลิตไฟฟ้า พลังงานความร้อนด้วยถ่านหิน เถ้ากลอยมักมีส่วนประกอบของโลหะหนักอยู่ด้วย ซึ่งเมื่อหายใจเข้าไปจะก่อให้เกิดโรคทางระบบทางเดินหายใจ และความผิดปกติทางประสาทได้ ที่ผ่านมา มีการ

นำเข้าถ้วยจากต่างประเทศ เนื่องจากคุณสมบัติของถ้วยในขณะนี้ยังไม่เป็นที่แน่นชัดว่า มีปัญหาหรือไม่ ยกตัวอย่างเช่น ค่าซัลเฟอร์ไกออกไซด์ เมื่อช่วงแรก ๆ พบร่วมกับค่าสูงถึงร้อยละ 12 ถึง 15 ซึ่งตามปกติจะต้องไม่เกินร้อยละ 3 จึงไม่แน่ใจว่าสามารถนำถ้วยมาใช้ได้ เพราะเกรงว่าจะเสียงต่อการก่อสร้างอาคารสูง แต่ปัจจุบันสามารถมั่นใจคุณภาพของถ้วยได้ เนื่องจากมีค่าซัลเฟอร์ไกออกไซด์ไม่เกินร้อยละ 2 (พิษย์ นิมิตยงสกุล, 2550)

ถ้วยถ่านหินนิยมนำไปใช้ในงานคอนกรีตมากกว่าในงานชนิดอื่น ๆ ด้วยเหตุผล 2 ประการ คือประการแรก ถ้วยถ่านหินมีออกไซด์ของธาตุซิลิกา อลูมินา และเหล็ก ซึ่งออกไซด์ของธาตุเหล่านี้สามารถทำปฏิกิริยาปอชโซลานได้ และเพิ่มกำลังอัดของคอนกรีตให้สูงขึ้น โดยเฉพาะเมื่อใช้ถ่านหินที่มีคุณภาพดีและในปริมาณที่เหมาะสม ประการที่สองถ้วยถ่านหินมีอนุภาคค่อนข้างเล็ก และส่วนใหญ่เป็นเม็ดกลมเมื่อผสมในคอนกรีตถ้วยถ่านหินจะเข้าไปอุดช่องว่างเล็ก ๆ ระหว่างปูนซีเมนต์ หิน หรือราย ทำให้คอนกรีตแน่นขึ้น และลดพลังงานไฟฟ้าที่ใช้ในเครื่องผสมได้ เนื่องจากปริมาณที่กลมและผิวสัมผัสที่ลื่นของถ้วยถ่านหิน ทำให้แรงเสียดทานระหว่างอนุภาคต่ำลง นอกจากนี้ลักษณะทรงกลมของถ้วยถ่านหิน จะช่วยทำให้คอนกรีตมีการลื่นไหลที่ดีขึ้น ทำให้การสูบส่งคอนกรีตหรือเทคอนกรีตในแบบทำໄได้สะดวกและง่ายขึ้น

การใช้ถ้วยถ่านหินในงานคอนกรีตมีข้อดีหลายประการ ได้แก่ เพิ่มความสามารถในการเทได้เพิ่มความต้านทานต่อการกัดกร่อนของคอนกรีต ลดการหดตัว ลดผลกระทบจากการแยกตัวลดความร้อนที่เกิดขึ้นในคอนกรีต ลดอัตราการซึมของน้ำผ่านคอนกรีต และที่สำคัญคือเพิ่มกำลังอัดและกำลังดึงประดับของคอนกรีตเมื่อคอนกรีตมีอายุมากขึ้น แต่ทั้งนี้การใช้ถ้วยถ่านหินจะมีข้อเสียคือทำให้อัตราการพัฒนากำลังอัดของคอนกรีตต่ำลงในช่วงอายุต้น ลดความต้านทานต่อสภาวะการแข็งตัวและสลายของน้ำสับักน้ำไป และทำให้ต้องใช้สารเพื่อเพิ่มฟองอากาศมากขึ้น เพื่อให้ได้คอนกรีตที่มีปริมาณฟองอากาศตามต้องการในระดับเดียวกันกับคอนกรีตที่ไม่มีถ้วยถ่านหินผสมอยู่

2.8.1 ความละเอียดของถ้วยถ่านหิน

ถ้วยถ่านหินโดยทั่วไปจะมีความละเอียดใกล้เคียงหรือสูงกว่าปูนซีเมนต์เพียงเล็กน้อย โดยลักษณะทั่วไปจะเป็นรูปทรงกลมมีขนาดเส้นผ่าศูนย์กลางตั้งแต่เล็กกว่า 1 μm (0.001 mm) จนถึง 0.15 mm ความละเอียดของถ้วยถ่านหินที่ได้จากการเผาถ่านหินจะขึ้นอยู่กับการบดถ่านหิน ชนิดของเครื่องบด และชนิดของถ้วยเผา การเผาใหม่อย่างสมบูรณ์ในเตาเผาจะได้ถ้วยถ่านหินที่มีคุณภาพสูงและมีทรงกลม แต่ในการเผาใหม่ที่ไม่สมบูรณ์ รูปร่างของถ้วยถ่านหินจะไม่แน่นอน สำหรับถ้วยถ่านหินในประเทศไทยพบว่าความละเอียดของถ้วยถ่านหินจากโรงไฟฟ้าแม้จะมากซึ่งทดสอบโดยวิธีของเบลนนีความละเอียดอยู่ในช่วง 2,500 ถึง 3,500 cm^2/g

การวัดความละเอียดของถ้วยถ่านหินมี 2 วิธีที่นิยมคือ วิธีการร่อนผ่านตะแกรงเบอร์ 325 (ช่องเปิด 45 μm) กับวิธีวัดพื้นที่ผิวต่อหน่วยน้ำหนักโดยวิธีของเบลนนีในสหราชอาณาจักร

ใช้วิธีร่อนผ่านแร่เป็นวิธีมาตรฐานวิธีเดียวในการกำหนดความละเอียดของถ้าถ่านหินกล่าวคือถ้าถ่านหินต้องมีขนาดของอนุภาคที่ร่อนผ่านตะแกรงเบอร์ 325 ไม่น้อยกว่าร้อยละ 66 โดยน้ำหนักถ้าถ่านหินที่ละเอียดขึ้นจะมีความว่องไวในการทำปฏิกิริยาได้เร็วขึ้น และทำให้กำลังอัดคอนกรีตสูงกว่าคอนกรีตที่ใช้ถ้าถ่านหินที่หยาบกว่า

2.8.2 องค์ประกอบทางเคมี

องค์ประกอบทางเคมีของถ้าถ่านหินคือ SiO_2 , Al_2O_3 , และ Fe_2O_3 อัตราส่วนของออกไซด์ทั้ง 3 ชนิดจะขึ้นอยู่กับชนิดของถ่านหิน อุณหภูมิ และสภาพแวดล้อมขณะเผา ด้วยเหตุนี้ ASTM C 618 (2008) จึงแยกถ้าถ่านหินออกเป็น 2 ประเภท คือ Class F และ Class C โดยถ้าถ่านหิน Class F มีปริมาณ $\text{SiO}_2 + \text{Al}_2\text{O}_3 + \text{Fe}_2\text{O}_3$ มากกว่าร้อยละ 70 โดยน้ำหนัก และถ้าถ่านหิน Class C มีปริมาณของออกไซด์คงคล่องระหว่างร้อยละ 50 ถึง 70 โดยน้ำหนัก แต่อย่างไรก็ตามถ้าถ่านหินทึ่งสองประเภทต่างก็มีศึกษาภาพเพียงพอที่จะนำไปใช้ในงานคอนกรีต

2.9 สรุปปริทัศน์วรรณกรรมและงานวิจัยที่เกี่ยวข้อง

Davidovits et al. (1999) ได้รายงานถึงส่วนประกอบทางเคมีของวัสดุจีโอโพลิเมอร์ ซึ่งจะเหมือนกับซีโอไฮด์ แต่จะมีโครงสร้างเล็ก ๆ ที่มีรูปร่างไม่แน่นอน และมีการนำเอาสารละลายที่มีความเป็นด่างสูงมาใช้ในการกระตุ้นอะตอมของชิลิกอนและอลูมิเนียมในวัสดุเพื่อให้ละลายกลายเป็นจีโอโพลิเมอร์เพสต์ กระบวนการ Polymerlyzation จะเกิดขึ้นจากการให้ความร้อนแล้วตามด้วยการทำให้แห้งช่วงเวลาการเกิดปฏิกิริยาเคมีจะเร็วและช่วงเวลาการก่อตัวจะอยู่ภายใน 24-48 ชั่วโมง และจากการศึกษาได้รายงานถึงคุณสมบัติในแง่ด้านของวัสดุนี้คือจะไม่ละลายในสารละลายกรด และไม่เกิดปฏิกิริยา Alkali aggregate ในสภาวะที่มีความเป็นด่างสูง

Swanpoel et al. (2002) ได้ทำการศึกษาการทำจีโอโพลิเมอร์จาก เถ้าโลหะ และซังนำเอาวัสดุที่มีส่วนประกอบของชิลิกา และอลูมินา ได้แก่ ดินขาวเผา โดยจะถูกผสมและทำการกระตุ้นด้วยสารละลายที่มีความเป็นด่างสูง ซึ่งได้แก่ โซเดียมชิลิกेट โซเดียมไอกรองไชด์ และน้ำเป็นส่วนประกอบ แล้วนำตัวอย่างที่ได้นำเข้าตู้อบทำการบ่มด้วยความร้อนเพื่อเร่งปฏิกิริยา Polymerlyzation ที่อุณหภูมิ 40 50 60 และ 70°C ในช่วงเวลาที่แตกต่างกัน คือ 6 24 48 และ 72 ชั่วโมง จากการศึกษาพบว่าสภาวะที่เหมาะสมที่สุดคือ 60°C เป็นเวลา 48 ชั่วโมง จะให้กำลังอัดสูงสุดถึง 8 MPa ที่อุ่นการบ่มได้ 28 วัน

Hardjito et al. (2004) ได้ทำการวิจัยเรื่องจีโอโพลิเมอร์ โดยใช้ถ้าถ่านหินที่มีองค์ประกอบของชิลิกา (SiO_2) และอลูมินา (Al_2O_3) ที่ได้จากการเผาถ่านหินเป็นเชื้อเพลิงในการผลิตไฟฟ้าในการทำจีโอโพลิเมอร์ที่สามารถรับแรงได้ดี เช่นเดียวกันกับการใช้ปูนซีเมนต์ปอร์ตแลนด์ดังกล่าวได้มาจากการผสมถ้าถ่านหินกับสารเร่งปฏิกิริยา (Activator) และใช้ความร้อนในช่วง 60 ถึง 90°C ในการ

เร่งปฏิกริยา สารเร่งที่ใช้เป็นพวกอัลคาไลน์ซิลิกาต (Alkaline silicate) และอัคกาไอลน์ไฮดรอกไซด์ (alkali hydroxide) จากการศึกษาพบว่ากำลังอัดที่ได้ขึ้นอยู่กับตัวแปรหลายตัวซึ่งมีผลต่อกำลังอัด ซึ่งได้แก่สารละลายโซเดียมไฮดรอกไซด์ (NaOH) ยิ่งมีความเข้มข้นสูงกำลังอัดก็ยิ่งดีขึ้น อัตราส่วนของสารละลายโซเดียมซิลิกาตต่อโซเดียมไฮดรอกไซด์ ($\text{Na}_2\text{SiO}_3/\text{NaOH}$ ratio) ที่สูงขึ้นก็มีผลต่อ กำลังอัดที่ได้รวมถึงอุณหภูมิที่ใช้เร่งปฏิกริยา และระยะเวลาในการบ่ม

สมิตร ส่างพิริยะกิจ (2004) ได้ทำการศึกษาผลกระบวนการของอุณหภูมิต่อกำลังอัดของ จีโอโพลิเมอร์มอร์ต้าร์จากถ่านหินโดยมีวัตถุประสงค์เพื่อทำการศึกษากำลังอัดของจีโอโพลิเมอร์ จากถ่านหิน ใช้สารละลายที่มีความเป็นด่างคือ โซเดียมไฮดรอกไซด์ และโซเดียมซิลิกาตเป็นตัวกระตุ้นปฏิกริยา อัตราส่วนระหว่างสารละลายต่อถ่านหินคือ 0.376 0.386 0.396 และ 0.416 โดยน้ำหนัก หล่อขนาดของตัวอย่างมอร์ต้าร์เท่ากับ $50 \times 50 \times 50 \text{ mm}$ โดยใช้อัตราส่วนของถ่านหิน ต่อทราย 1:2.75 โดยน้ำหนัก ทำการแบ่งตัวอย่างทั้งหมดออกเป็น 2 ชุด ทำการทดสอบที่อุณหภูมิแตกต่างกันคือ 25 และ 45°C หลังจากหล่อตัวอย่างเสร็จ ชุดแรกทำการเร่งปฏิกริยาที่อุณหภูมิ 30°C ชุดที่สองทำการเร่งปฏิกริยาที่ 60°C ใช้เวลาในการเร่งปฏิกริยา 24 ชั่วโมงเท่ากันจากนั้นนำทั้งสองชุดมาเก็บไว้ที่อุณหภูมิ 30°C ทำการทดสอบกำลังอัดที่อายุบ่ม 1 7 และ 28 วัน ทำการศึกษาพบว่า การทดสอบมอร์ต้าร์ที่อุณหภูมิสูงและการเร่งปฏิกริยาที่อุณหภูมิสูงจะให้กำลังอัดที่สูงได้ตั้งแต่ในช่วงแรกและจะยังคงพัฒนากำลังเพิ่มขึ้นได้อีกตามระยะเวลาการบ่มที่นานขึ้น เมื่อพสมตัวอย่างที่ อุณหภูมิ 25°C และเร่งปฏิกริยาที่อุณหภูมิ 30°C กำลังอัดจะต่ำในช่วงแรก แต่ยังมีการเพิ่มกำลังขึ้น ที่ลະน้อยในจนถึงช่วงสุดท้าย กำลังอัดที่สูงขึ้นเหล่านั้นเป็นผลมาจากการเร่งปฏิกริยาจีโอโพลิเมอร์ ที่อุณหภูมิสูง

อาภา สารเสาวภาคย์ และบริญญา จินดาประเสริฐ (2550) ได้ทำการศึกษาการกระตุ้น เถ้าหนักด้วยสารละลายโซเดียมไฮดรอกไซด์ และสารละลายโซเดียมซิลิกาตเพื่อพัฒนาเป็นวัสดุ จีโอโพลิเมอร์ งานวิจัยนี้ได้ศึกษาพัฒนาการการใช้งานถ่านหินจากโรงไฟฟ้าแม่เมะ จังหวัดลำปาง เป็นวัสดุจีโอโพลิเมอร์ โดยการกระตุ้นด้วยสารละลายโซเดียมไฮดรอกไซด์ที่มีความเข้มข้น 7.5 10 และ 15 โมลาร์ และใช้อัตราส่วนของสารละลายโซเดียมซิลิกาตต่อสารละลายโซเดียมไฮดรอกไซด์ เท่ากับ 0.67 1.0 และ 1.5 โดยน้ำหนัก ทำการศึกษาค่าการไฟลัฟเพลทและกำลังรับแรงอัดของมอร์ต้าร์ ที่อายุ 3 และ 14 วัน และศึกษาโครงสร้างจุลภาคของจีโอโพลิเมอร์มอร์ต้าร์ จากการวิจัยพบว่าการใช้ถ่านหินที่มีขนาดค้างตะแกรงมาตรฐานเบอร์ 325 ร้อยละ 2 ถึง 3 โดยน้ำหนัก สามารถพัฒนาให้ เป็นวัสดุจีโอโพลิเมอร์ได้ และกระตุ้นด้วยสารละลายโซเดียมไฮดรอกไซด์ที่มีความเข้มข้นต่างกัน จะมีความสัมพันธ์กับอัตราส่วนโซเดียมซิลิกาตต่อโซเดียมไฮดรอกไซด์ที่ใช้ซึ่งจะส่งผลต่อ ค่าการไฟลัฟ กำลังรับแรงอัด และโครงสร้างจุลภาคของจีโอโพลิเมอร์

การ ไตรคิริวานิชย์ และปริญญา จินดาประเสริฐ (2550) ได้ทำการศึกษาจีโอลิเมอร์ จากถ่านหันก ถ่านหันก เป็นผลพลอยได้จากการเผาถ่านหิน เพื่อผลิตกระแสไฟฟ้าเช่นเดียวกับถ่านห้อง มีสีเข้มและขนาดเม็ดที่หมายเมื่อเทียบกับถ่านห้อง เกิดจากการจับตัวกันเป็นก้อนของ ถ่านหิน และตกลงมาที่ก้นเตาเนื่องจากมีน้ำหนักมาก ถ่านหันกมีคุณสมบัติทางเคมีที่คล้ายกับถ่านห้อง จึงถือว่า มีคุณสมบัติในการเป็นสารปอช โซลูชัน เช่นกัน งานวิจัยจึงศึกษาคุณสมบัติพื้นฐาน และส่วนผสม ของจีโอลิเมอร์มอร์ตาร์ที่ทำจากถ่านหันก เพื่อเป็นแนวทางในการพัฒนาวัสดุก่อสร้างชนิดใหม่ที่ ทำจากถ่านหันก ใช้เป็นวัสดุเชื่อมประสานที่ไม่ใช้ปูนซีเมนต์ปอร์ตแลนด์ โดยทดสอบกำลังอัดของ จีโอลิเมอร์มอร์ตาร์ที่อายุ 7 วัน เป็นตัวชี้วัด และมีตัวแปรในการศึกษาดังนี้ ความเข้มข้นของ โซเดียมไฮดรอกไซด์ อัตราส่วนระหว่างโซเดียมซิลิกเกตต่อโซเดียมไฮดรอกไซด์ อุณหภูมิในการบ่ม อุณหภูมิในการเร่งปฏิกิริยา ความละเอียดของถ่านหันก จากการศึกษาพบว่าถ่านหันก มีคุณสมบัติเพียงพอที่จะนำไปใช้ในการผลิตจีโอลิเมอร์มอร์ตาร์ เช่นเดียวกับถ่านห้อง และสามารถพัฒนาจีโอลิเมอร์จากถ่านหันกเพื่อใช้ในงานคอนกรีตทดแทนปูนซีเมนต์ปอร์ตแลนด์ใน อนาคต ซึ่งจะเป็นทางเลือกใหม่และเป็นการลดปัญหาผลกระทบทางสิ่งแวดล้อมของการบ่ม การ ผลิตปูนซีเมนต์ปอร์ตแลนด์

อนุชาติ ลี่อนันต์ศักดิ์ศิริ และศุภสิทธิ์ คงใหญ่ (2550) ได้ทำการศึกษาจีโอลิเมอร์จาก ถ่านห้องผสมดินขาวเผา (Metakaolin) ซึ่งได้ทำการศึกษาวิธีการผลิตสารจีโอลิเมอร์จากถ่านห้อง ผสมดินขาวเผา โดยศึกษาอุณหภูมิและช่วงเวลาในการเผาดินขาว อัตราส่วนของถ่านห้องผสมดินขาวเผา ความสามารถทำงาน ได้ อุณหภูมิและระยะเวลาการเร่งปฏิกิริยา อัตราส่วนของสารละลาย โซเดียมซิลิกเกตต่อสารละลายโซเดียมไฮดรอกไซด์ โดยน้ำหนัก จากการศึกษาพบว่าอุณหภูมิและ ช่วงเวลาในการเผาดินขาวที่เหมาะสมคือ 600°C ใช้เวลาเผา 2 ชั่วโมง การผสมดินขาวเผาจะทำให้ กำลังรับแรงอัดของจีโอลิเมอร์ถ่านห้องลดลง จีโอลิเมอร์ที่มีดินขาวเผาไม่เกินร้อยละ 30 โดยน้ำหนัก จะให้กำลังอัดที่ดีในช่วง 300-500 ksc การไหลดเพื่องจีโอลิเมอร์อยู่ในช่วง 110 ถึง 125% ขึ้นอยู่กับอัตราส่วนของสารละลาย โซเดียมซิลิกเกตต่อสารละลาย โซเดียมไฮดรอกไซด์โดย น้ำหนัก ที่เหมาะสมใน การผลิตสารจีโอลิเมอร์จากถ่านห้องผสมดินขาวเผาคือ 0.67-1.0 ควรให้ตัวอย่างก่อตัวเป็นเวลา 1 ชั่วโมง ก่อนการนำเข้าเตาอบ อุณหภูมิการเร่งปฏิกิริยาในเตาอบที่ เหมาะสมคือ 75°C

เกียรติศักดิ์ ศรีตุ้ยเลิง และปริญญา จินดาประเสริฐ (2550) ได้ทำการศึกษาคุณสมบัติของ จีโอลิเมอร์จากถ่านห้องผสมถ่านแกลบ เป็นการศึกษาคุณสมบัติพื้นฐานของจีโอลิเมอร์มอร์ตาร์ ที่ผลิตจากถ่านห้องผสมถ่านแกลบ โดยทดสอบกำลังอัดของจีโอลิเมอร์มอร์ตาร์ที่อายุ 7 วัน ใช้ความเข้มข้นของโซเดียมไฮดรอกไซด์ 10 โมลาร์ โดยมีตัวแปรในการศึกษาดังนี้ อัตราส่วน สารละลาย โซเดียมซิลิกเกตต่อสารละลาย โซเดียมไฮดรอกไซด์ ระยะเวลา ก่อนนำเข้าเตาอบ

ความละเอียดของถ้าแกลน และร้อยละการแทนที่ของถ้าโลยด้วยถ้าแกลนจากการศึกษาพบว่า ถ้าแกลนมีศักยภาพเพียงพอที่จะนำไปใช้ในการผลิตจีโอ โพลิเมอร์มอร์ต้าร์ และงานคอนกรีตในอนาคต เป็นการลดการใช้ปูนซีเมนต์ ซึ่งจะชัดปัญหาและผลกระทบการเกิดสภาพแวดล้อมของราช

ประมวล โภมกระ แคลณะ (2550) ได้ทำการศึกษาคุณสมบัติของจีโอ โพลิเมอร์จากถ้าโลยผสมแร่ดินเนา (Diatomite) โดยวัดคุณสมบัติของวิทยานิพนธ์นี้เพื่อทำการศึกษาคุณสมบัติของจีโอ โพลิเมอร์มอร์ต้าร์จากถ้าโลยผสมแร่ดินเนา โดยศึกษาอัตราส่วนโดยน้ำหนักของสารละลายโซเดียมซิลิกเกตต่อสารละลายโซเดียมไฮดรอกไซด์ ใช้ความเข้มข้นของสารละลายโซเดียมไฮดรอกไซด์ 10 โมลาร์ ศึกษาปัจจัยที่มีผลผลกระทบต่อกำลังอัดที่อายุ 7 วัน โดยศึกษาอุณหภูมิที่ใช้เพาแร่ดินเนา อุณหภูมิที่ใช้เร่งปฏิกิริยาตัวอย่าง ระยะเวลาการก่ออ่อนเร่งปฏิกิริยาตัวอย่าง และเวลาที่ใช้เร่งปฏิกิริยาตัวอย่าง ใช้ถ้าโลยคัดขนาดความละเอียดของเบลนเท่ากับ $4,500 \text{ cm}^2/\text{g}$. ทดสอบแร่ดินเนาในถ้าโลยร้อยละ 0 20 40 และ 60 โดยน้ำหนัก จากผลการทดสอบกำลังรับแรงอัดของจีโอ โพลิเมอร์มอร์ต้าร์พบว่าที่อัตราส่วนโดยน้ำหนักของสารละลายโซเดียมซิลิกเกตต่อสารละลายโซเดียมไฮดรอกไซด์เท่ากับ 1.5 ความเข้มข้นของสารละลายโซเดียมไฮดรอกไซด์เท่ากับ 10 โมลาร์ ระยะเวลาการก่ออ่อนเร่งปฏิกิริยาตัวอย่าง 1 ชั่วโมง เร่งปฏิกิริยาตัวอย่างที่เวลา 48 ชั่วโมงด้วยอุณหภูมิการบ่ม 60°C ให้ค่ากำลังรับแรงอัดได้สูง และผลการทดสอบยังพบอีกว่า ตัวอย่างจีโอ โพลิเมอร์มอร์ต้าร์จากแร่ดินเนาทดสอบในถ้าโลยไม่เกินร้อยละ 60 โดยน้ำหนักสามารถพัฒนากำลังอัดใช้งานได้และนำไปใช้ทำสารซีเมนต์เพื่อผลิตจีโอ โพลิเมอร์มอร์ต้าร์ได้

Nguyen Van Chanh et al. (2008) ได้ทำการศึกษา Geopolymer concrete โดยในการศึกษาใช้ถ้าโลยเป็นวัสดุเชื่อมประสาน ใช้สารละลายโซเดียมซิลิกเกตและสารละลายโซเดียมไฮดรอกไซด์ เป็นตัวทำปฏิกิริยา โดยทำการศึกษาถึงระยะเวลาการก่อตัว ความสามารถในการทำงานของจีโอ โพลิเมอร์คอนกรีต และปัจจัยต่าง ๆ ที่มีผลต่อกำลังรับแรงอัดของจีโอ โพลิเมอร์ ผลการศึกษาพบว่าที่อุณหภูมิการเร่งปฏิกิริยาช่วง $60\text{-}90^\circ\text{C}$ ค่ากำลังรับแรงอัดของจีโอ โพลิเมอร์คอนกรีตจากถ้าโลยจะมีค่าเพิ่มขึ้น เวลาในการเร่งปฏิกิริยาตัวอย่างช่วง 24-72 ชั่วโมง จะมีค่ากำลังรับแรงอัดของจีโอ โพลิเมอร์คอนกรีตที่สูง แต่เวลาการเร่งปฏิกิริยาช่วง 48-72 ชั่วโมง จะมีค่ากำลังรับแรงอัดที่ไม่แตกต่างกันมาก การทดสอบจีโอ โพลิเมอร์คอนกรีตเมื่อใส่น้ำเพิ่มเข้าไปในส่วนผสมจะทำให้เพิ่มความสามารถในการเทได้ แต่ค่ากำลังรับแรงอัดของจีโอ โพลิเมอร์คอนกรีตจะมีค่าน้อยลง เมื่อเปรียบเทียบคุณสมบัติของจีโอ โพลิเมอร์คอนกรีตกับคอนกรีตจากปูนซีเมนต์ปอร์ตแลนด์ พบว่า จีโอ โพลิเมอร์คอนกรีตจะให้ค่ากำลังรับแรงอัด ความทนทานได้ดีกว่าคอนกรีตธรรมชาติ

Hu Mingyu et al. (2007) ได้ทำการศึกษาผลผลกระทบ Alkali-activated fly ash based geopolymer with zeolite or bentonite as additive จีโอ โพลิเมอร์ใช้ถ้าโลย ซีโอ ไอลต์ และเบนโทไนท์เป็นวัสดุตั้งต้น ใช้สารละลายโซเดียมไฮดรอกไซด์และแคลเซียมออกไซด์เป็นตัว

ทำปฏิกิริยา โดยทำการศึกษาถึงผลกระทบต่าง ๆ ที่มีผลต่อคุณสมบัติของจีโอโพลิเมอร์ ผลการทดสอบพบว่าความเข้มข้นของสารละลายโซเดียมไอก្រอกไฮดรอกไซด์และแคลเซียมออกไฮด์ มีความสำคัญต่อการให้ค่ากำลังรับแรงอัดของจีโอโพลิเมอร์

อาภา ชนนเสาวภาคย์ และคณะ (2008) ได้ทำการศึกษา Workability and strength of lignite bottom ash geopolymers mortar งานวิจัยนี้ใช้ถ่านหินเป็นวัสดุตั้งต้น ใช้สารละลายโซเดียมซิลิกเกต และสารละลายโซเดียมไอก្រอกไฮด์เป็นตัวทำปฏิกิริยา และใช้ความร้อนเป็นตัวเร่งปฏิกิริยา โดยทำการศึกษาถึงผลจากความละเอียดของถ่านหิน อัตราส่วนของสารละลายต่อวัสดุเชื่อมประสาน อัตราส่วนของสารละลายโซเดียมซิลิกเกตต่อสารละลายโซเดียมไอก្រอกไฮด์ ความเข้มข้นของสารละลายโซเดียมไอก្រอกไฮด์ พลจากการเพิ่มน้ำในส่วนผสม พลจากการเพิ่มสารละลายโซเดียมไอก្រอกไฮด์หรือสารลดน้ำ แล้วศึกษาถึงความสามารถในการติดต่อ ได้และกำลังอัดของจีโอโพลิเมอร์มอร์ตาร์ ผลการทดสอบพบว่าความละเอียดของถ่านหินส่งผลต่อความสามารถในการติดต่อ อย่างมาก อัตราส่วนของสารละลายต่อวัสดุเชื่อมประสานที่มากส่งผลถึงความสามารถในการติดต่อ แต่ต้องอยู่ในช่วงที่เหมาะสมอยู่ระหว่าง 0.429-0.709 ให้ค่ากำลังอัดเท่ากับ 42-52 MPa พลจากการอัตราส่วนของสารละลายโซเดียมซิลิกเกตต่อโซเดียมไอก្រอกไฮด์ มีภาวะดีที่สุด คือ 1.50 ความเข้มข้นของสารละลายโซเดียมไอก្រอกไฮด์มีผลต่อความสามารถในการติดต่อ ได้และกำลังอ่าย มาก ซึ่งความเข้มข้นน้อยความสามารถจะดีแต่ค่ากำลังก็จะน้อย หากความเข้มข้นสูงค่ากำลังอัดจะมี ค่าสูง แต่ความสามารถการติดต่อจะน้อย พลจากการเพิ่มน้ำในส่วนผสมพบว่าช่วงที่เหมาะสมคือร้อยละ 3 ถึง 9 พลจากการเพิ่มโซเดียมไอก្រอกไฮด์หรือสารลดน้ำพบว่าสามารถช่วยเพิ่มความสามารถในการติดต่อ ได้ และค่ากำลังอู้ในภาวะที่ดี ซึ่งช่วงที่เหมาะสมคือ 1-6%

Hardjito et al. (2008) ได้ทำการศึกษา Strength and setting times of low calcium fly ash based geopolymers mortar จีโอโพลิเมอร์มอร์ตาร์ใช้ถ่านหินเป็นวัสดุตั้งต้น ใช้สารละลายโซเดียมไอก្រอกไฮด์และแคลเซียมออกไฮด์เป็นตัวทำปฏิกิริยา โดยทำการศึกษาถึงค่ากำลังอัดและระยะเวลาการก่อตัวของจีโอโพลิเมอร์มอร์ตาร์ ผลการทดลองพบว่าความเข้มข้นของโซเดียมไอก្រอกไฮด์ที่สูงจะทำให้ได้ค่ากำลังอัดที่สูงแต่ระยะเวลาการก่อตัวจะค่อนข้างเร็ว

เนียร์สักดี กลับประสิทธิ์ และคณะ (2550) ได้ทำการศึกษาผลกระทบของสัดส่วนซิลิกาต่อ อุลุ่มinality ต่อกำลังอัดและอัตราการเกิดปฏิกิริยาของจีโอโพลิเมอร์เพสต์ที่ทำจากถ่านหิน-เปลือกไม้ ผสมถ่านหิน นอกจากนี้ยังได้ศึกษาถึงผลกระทบของอุณหภูมิที่ใช้ในการเร่งปฏิกิริยาต่อกำลังอัดของจีโอโพลิเมอร์เพสต์ ตัวอย่างจีโอโพลิเมอร์เพสต์รูปทรงกระบอกขนาดเส้นผ่าศูนย์กลาง 30 mm สูง 60 mm ทำการทดสอบกำลังอัด และอัตราการเกิดปฏิกิริยาตามระเบียบมาตรฐาน ผลการศึกษาพบว่ากำลังอัดของจีโอโพลิเมอร์เพสต์มีแนวโน้มสูงขึ้นเมื่อค่าสัดส่วนซิลิกาต่ออุลุ่มinality มีค่ามากขึ้น อย่างไรก็ตามเมื่อซิลิกาต่ออุลุ่มinality สูงถึง 8.28 กำลังอัดของเพสต์เริ่มมีค่าน้อยลง และมี

การแต่กร้าวเนื่องจากความเสถียรเชิงมิติของเพสต์ที่มีสัดส่วนซิลิกาต่ออัลูมินาสูงกว่า 8.28 กำลังอัดของเพสต์สูงสุดมีค่าเท่ากับ 510 ksc ที่ อายุ 28 วัน เมื่อบ่มในอุณหภูมิห้อง และการเร่งปฏิกิริยาจีโอลิเมอร์เพสต์ด้วยอุณหภูมิ 60°C เวลา 24 ชั่วโมง ส่งผลให้กำลังอัดของจีโอลิเมอร์เพสต์สูงขึ้นในระยะเวลาอันสั้น

เจริญชัย ฤทธิธุษฐ และปริญญา จินดาประเสริฐ (2550) ได้ทำการศึกษาสารละลายที่แตกต่างกันในการผลิตจีโอลิเมอร์ร์ต้าร์จากดินขาวเผาระนอง ทำการทดสอบแรงอัดของจีโอลิเมอร์ร์ต้าร์ที่ อายุ 7 วัน และถ่ายภาพด้วยกล้องจุลทรรศน์อิเล็กตรอนแบบสแกนนิ่งสารละลายด่างที่ใช้เป็นตัวกระตุ้นปฏิกิริยาคือ สารละลายโซเดียมไฮดรอกไซด์และสารละลายโพแทสเซียมไฮดรอกไซด์ ที่ความเข้มข้น 10 มอลาร์ และอัตราส่วนสารละลายโซเดียมซิลิกาต่อสารละลายโซเดียมไฮดรอกไซด์หรือสารละลายโพแทสเซียมไฮดรอกไซด์ เท่ากับ 0.33 0.67 1.00 1.33 และ 1.67 จากการทดสอบพบว่าสารละลายโพแทสเซียมไฮดรอกไซด์จะส่งผลให้กำลังอัดของจีโอลิเมอร์ร์ต้าร์มีค่าสูงกว่าตัวอย่างที่ใช้สารละลายโซเดียมไฮดรอกไซด์ และภาพถ่ายจากกล้องจุลทรรศน์อิเล็กตรอนแบบสแกนนิ่ง พบว่าตัวอย่างจีโอลิเมอร์ร์ต้าร์ที่เตรียมจากสารละลายโพแทสเซียมไฮดรอกไซด์มีความเป็นเนื้อดียกันและลักษณะพื้นผิวที่ละเอียดมากกว่าตัวอย่างที่ใช้จากสารละลายโซเดียมไฮดรอกไซด์

Lertkhasitpong et al. (2007) ได้ทำการศึกษา Synthesis of lightweight geopolymeric materials from diatomaceous earth การศึกษานี้ใช้อัตราส่วนของซิลิกาต่ออัลูมินา ($\text{SiO}_2/\text{Al}_2\text{O}_3$) และโซเดียมออกไซด์ต่ออัลูมินา ($\text{Na}_2\text{O}/\text{Al}_2\text{O}_3$) เท่ากับ 13.0-33.5 และ 0.7-3.09 ตามลำดับ โดยทำการศึกษาถึงผลของความละเอียดของไฮดรอกไซด์อัลูมิโนไฮดรอกไซด์ ความเข้มข้นของโซเดียมไฮดรอกไซด์และโพแทสเซียมไฮดรอกไซด์ ใช้สัดส่วนของการผสมประมาณด้วยไฮดรอกไซด์และเกลือก แล้วรีบปฏิกิริยาตัวอย่างที่อุณหภูมิ 60 75 และ 90°C และบ่มเป็นเวลา 1 2 3 4 และ 5 วัน แล้วทำการวิเคราะห์ถึงโครงสร้างของจีโอลิเมอร์เพสต์ ผลการทดสอบพบว่าอุณหภูมิที่เหมาะสมสำหรับการเผาไฮดรอกไซด์ คือ 800°C มีขนาดของความละเอียดไฮดรอกไซด์ที่เล็กลงและความเข้มของสารละลายที่มากขึ้นส่งผลให้กำลังอัดของจีโอลิเมอร์เพสต์เพิ่มขึ้น สำหรับการกระตุ้นการเกิดปฏิกิริยาจีโอลิเมอร์เพสต์ด้วยโซเดียมไฮดรอกไซด์และ จะสูงกว่าโพแทสเซียมไฮดรอกไซด์ อุณหภูมิในการเร่งปฏิกิริยาและเวลาในการบ่มที่เหมาะสม คือ 75°C และ 7 วัน ตามลำดับ

Hardjito and Rangsan (2008) ได้ทำการศึกษา Fly ash based geopolymer concrete โดยที่จีโอลิเมอร์คอนกรีตใช้ถ่านหินเป็นวัสดุตั้งต้น ใช้โซเดียมไฮดรอกไซด์และแคลเซียมออกไซด์เป็นตัวทำปฏิกิริยา โดยทำการศึกษาถึงค่ากำลังอัดและตัวแปรต่าง ๆ ของจีโอลิเมอร์คอนกรีต ผลการทดลองพบว่า ความเข้มข้นของสารละลายโซเดียมไฮดรอกไซด์ที่สูงจะทำให้ได้กำลังอัด

ที่สูง การเพิ่มสารลดน้ำที่ 4% ของถ้าลอยช่วยให้เพิ่มความสามารถในการเทได้ดีแต่ค่ากำลังอัดจะลดลงประมาณ 2% การกระตุ้นปฏิกิริยาด้วยความร้อนที่ 75 และ 90°C มีความเหมาะสมที่ให้ค่ากำลังอัดที่สูงและเมื่อให้เวลาในการกระตุ้นที่มากขึ้นจะช่วยให้ได้ค่ากำลังอัดที่ดีเช่นเดียวกัน

2.10 สรุปแนวคิดที่ได้จากปริศนาระบบและงานวิจัยที่เกี่ยวข้อง

2.10.1 อุณหภูมิการเร่งปฏิกิริยาของตัวอย่างจีโอโพลิเมอร์รั่วร้าว

อุณหภูมิการเร่งปฏิกิริยาจากงานวิจัยที่ผ่านมา แสดงให้เห็นว่ามีความเหมาะสมระหว่าง 60-90°C ที่สามารถให้ค่ากำลังอัดที่ดี เนื่องจากอุณหภูมิการเร่งปฏิกิริยาที่ต่ำกว่า 60°C นั้นไม่ได้แตกต่างจากอุณหภูมิปกติของสภาพอากาศประเทศไทย ส่วนกรณีอุณหภูมิที่สูงกว่า 90°C นั้นไม่ส่งผลดีต่อองค์ประกอบของสารประกอบหลัก เพราะซิลิค้า (SiO_2) และอลูминา (Al_2O_3) จะมีการสลายที่อุณหภูมิประมาณ 110°C ซึ่งโดยปกติจะนิยมใช้ประมาณร้อยละ 60 ถึง 80 ของอุณหภูมิที่จะทำให้องค์ประกอบของสารประกอบหลักสลาย

2.10.2 ระยะเวลาการเร่งปฏิกิริยาของตัวอย่างจีโอโพลิเมอร์รั่วร้าว

ระยะเวลาการเร่งปฏิกิริยา จากงานวิจัยที่ผ่านมาแสดงให้เห็นว่ามีความเหมาะสมระหว่าง 24-96 ชั่วโมง ที่สามารถให้ค่ากำลังอัดที่ดี เนื่องจากระยะเวลาที่น้อยกว่า 24 ชั่วโมง ตัวอย่างของจีโอโพลิเมอร์ยังเป็นการทำปฏิกิริยาในช่วงเริ่มต้น แต่ระยะเวลาที่มากกว่า 96 ชั่วโมง จะทำให้ตัวอย่างจีโอโพลิเมอร์มีการสูญเสียความชื้นที่มากเกินไปทำให้ตัวอย่างจีโอโพลิเมอร์เกิดรอยร้าว ซึ่งไม่น่าส่งผลดีต่อการพัฒนาด้านกำลังอัด

2.10.3 ความเข้มข้นของสารละลายโซเดียมไฮดรอกไซด์ (NaOH concentration)

ความเข้มข้นของสารละลายโซเดียมไฮดรอกไซด์ (NaOH) จากงานวิจัยที่ผ่านมา แสดงให้เห็นว่ามีความเหมาะสมระหว่าง 10-15 มิลลาร์ ที่สามารถให้ค่ากำลังอัดที่ดี และความสามารถการทำงานที่อยู่ในเกณฑ์ดี แต่เลือกเห็นว่าควรศึกษาเพิ่มเติมที่ความเข้มข้นของสารละลายโซเดียมไฮดรอกไซด์ (NaOH) ที่ 5 และ 20 มิลลาร์ เนื่องจากได้ทราบถึงแนวโน้มของตัวแปรต่าง ๆ เพื่อเป็นข้อมูลสำหรับงานวิจัยเกี่ยวกับจีโอโพลิเมอร์

2.10.4 อัตราส่วนของเหลวต่อวัสดุประสาน (Liquid alkaline/binder ratios)

อัตราส่วนของเหลวต่อวัสดุประสาน (Liquid alkaline/binder ratios) จากงานวิจัยที่ผ่านมา แสดงให้เห็นว่ามีความเหมาะสมระหว่าง 0.40-0.70 ที่สามารถให้ค่ากำลังอัด และความสามารถการทำงานที่อยู่ในเกณฑ์ดี เนื่องจากอัตราส่วนของเหลวต่อวัสดุประสานที่ต่ำกว่า 0.40 นั้นตามข้อมูลของงานวิจัยที่ใช้วัสดุปอซโซลานธรรมชาติที่ผ่านมา มีความพรุนที่สูง ซึ่งอัตราส่วนของเหลวต่อวัสดุประสานที่ต่ำกว่า 0.40 ส่วนผสมค่อนข้างแห้งมาก อีกทั้งส่วนผสมไม่เป็นเนื้อเดียวกันและยากต่อการหล่อตัวอย่าง จึงไม่น่าส่งผลดีต่อการศึกษา ส่วนกรณีอัตราส่วน

ของเหลวต่อวัสดุประสานที่สูงกว่า 0.70 นั้นเป็นปริมาณของเหลวที่สูงในการผสมมีเกิดความสึ้นเปลือง อีกทั้งในการนำไปใช้งานมีความเป็นไปได้น้อย

2.10.5 อัตราส่วนของสารละลายโซเดียมซิลิกेटต่อสารละลายโซเดียมไฮดรอกไซด์

อัตราส่วนของสารละลายโซเดียมซิลิกेटต่อสารละลายโซเดียมไฮดรอกไซด์ จากงานวิจัยที่ผ่านมา แสดงให้เห็นว่ามีความเหมาะสมระหว่าง 1.0-2.0 ที่สามารถให้กำลังอัด และความสามารถการทำงานที่อยู่ในเกณฑ์ที่ดี ซึ่งเลือกเห็นว่าควรศึกษาเพิ่มเติมที่อัตราส่วนของสารละลายโซเดียมซิลิกेटต่อสารละลายโซเดียมไฮดรอกไซด์เท่ากับ 0.5 และ 2.5 เนื่องจากได้ทราบถึงแนวโน้มของตัวแปรต่าง ๆ เพื่อเป็นข้อมูลสำหรับงานวิจัยเกี่ยวกับจีโอโพลิเมอร์

2.10.6 ปริมาณการแทนที่โดยต่ำมไมต์ เพอร์ไอลต์ และซีโอไอลต์ธรรมชาติในถ้วยละลายน้ำ

ปริมาณการแทนที่โดยต่ำมไมต์ เพอร์ไอลต์ และซีโอไอลต์ธรรมชาติในถ้วยละลายน้ำ จากการวิจัยที่ผ่านมานั้น เป็นการศึกษาในลักษณะของการแทนที่โดยต่ำมไมต์ เพอร์ไอลต์ และซีโอไอลต์ธรรมชาติในถ้วยละลายน้ำเพียงบางส่วนเท่านั้น ซึ่งในงานวิจัยนี้ เป็นการแทนที่ในปริมาณที่สูงมากกว่างานวิจัยที่ผ่านมา เนื่องจากการศึกษาถึงพฤติกรรมของวัสดุเมื่อถูกแทนที่ในปริมาณที่สูง ทั้งในเรื่องของกำลังอัดและความสามารถในการทำงาน และโครงสร้างทางชุลภากลังนั้นจึงได้กำหนดขอบเขตที่ใช้การแทนที่โดยต่ำมไมต์ เพอร์ไอลต์ และซีโอไอลต์ธรรมชาติในถ้วยละลายน้ำอยู่ระดับ 0 60 80 และ 100 โดยน้ำหนัก

2.10.7 ระยะเวลาของการก่อตัวและการหลอมแม่พิมพ์ของจีโอโพลิเมอร์ตัวร์ต้าร์

ระยะเวลาของการก่อตัวและการหลอมแม่พิมพ์ของจีโอโพลิเมอร์ตัวร์ต้าร์ จากการวิจัยที่ผ่านมาแสดงให้เห็นว่าระยะเวลาของการก่อตัวที่ค่อนข้างเร็ว ทำให้การทำงานมีความลำบาก การใช้โดยต่ำมไมต์ เพอร์ไอลต์ และซีโอไอลต์ธรรมชาติเป็นส่วนผสมหลักของจีโอโพลิเมอร์ตัวร์ต้าร์ จากข้อมูลคุณสมบัติทางเคมีที่มีอัตราส่วนของซิลิกาต่ออัลูมินา ($\text{SiO}_2/\text{Al}_2\text{O}_3$) ที่สูง ซึ่งจากการวิจัยที่ผ่านมาพบว่าอัตราส่วนของซิลิกาต่ออัลูมินา ($\text{SiO}_2/\text{Al}_2\text{O}_3$) ที่สูง มีอัตราการเกิดปฏิกิริยาที่ช้ากว่าที่ใช้ถ้วยละลายน้ำเป็นหลัก เนื่องจากถ้วยละลายน้ำมีอัตราส่วนของซิลิกาต่ออัลูมินา ($\text{SiO}_2/\text{Al}_2\text{O}_3$) ที่ต่ำ ดังนั้นน่าจะส่งผลดีต่อการเพิ่มความสามารถการทำงาน ได้และยืดระยะเวลาการก่อตัว

2.10.8 ระยะเวลาของการบ่มตัวอย่างจีโอโพลิเมอร์ตัวร์ต้าร์

ระยะเวลาของการบ่มตัวอย่างจีโอโพลิเมอร์ตัวร์ต้าร์ จากการวิจัยที่ผ่านมาแสดงให้เห็นว่า กำลังอัดของจีโอโพลิเมอร์หดสั้นจากอายุการบ่ม 7 วัน นั้น ค่ากำลังอัดจะไม่เปลี่ยนแปลงมากนัก ดังนั้นจึงได้กำหนดขอบเขตการศึกษาที่อายุการบ่ม 7 14 และ 28 วัน

2.11 กรอบแนวคิดที่ได้จากการวิจัยที่เกี่ยวข้อง

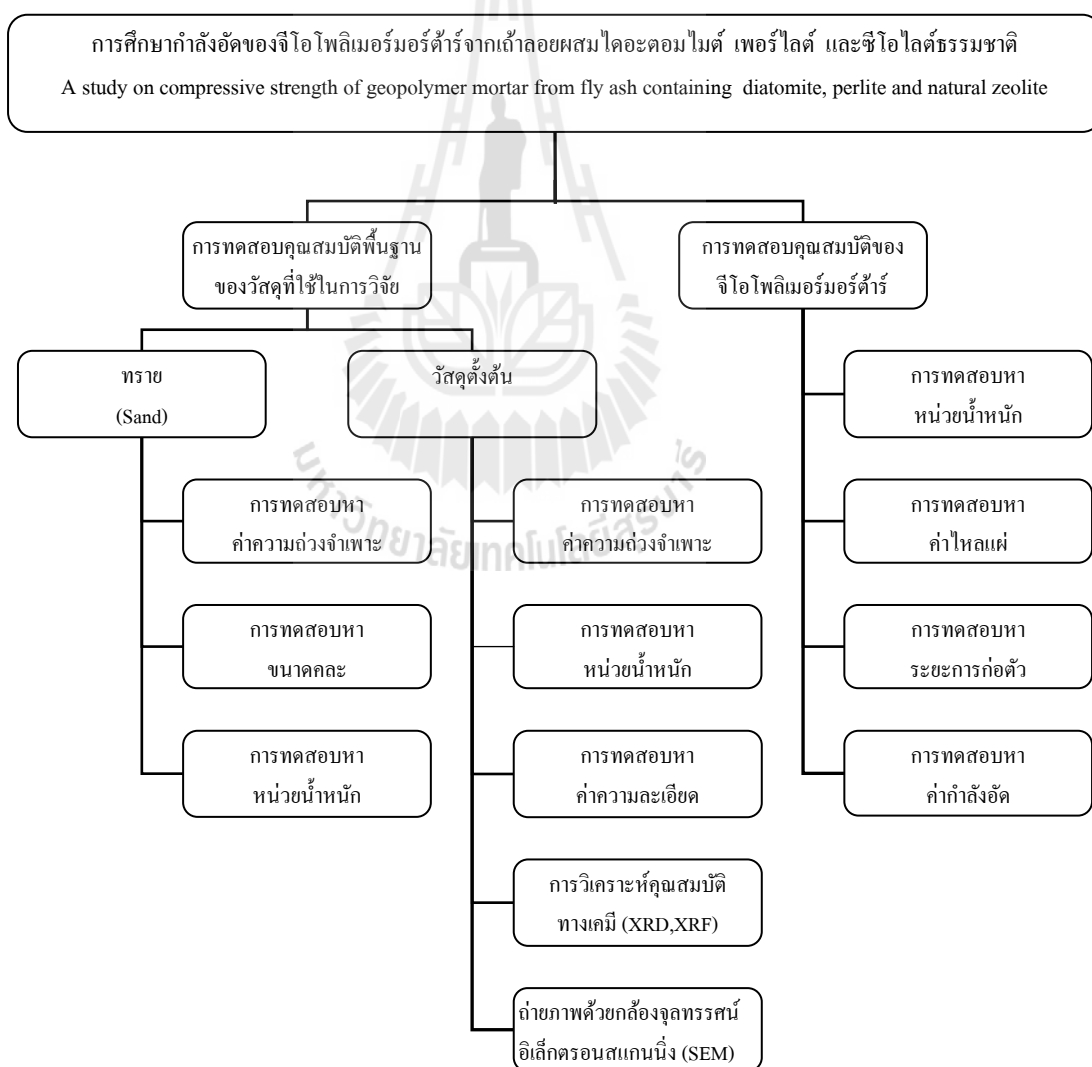
กรอบแนวคิดที่ได้จากการวิจัยที่เกี่ยวข้อง สามารถสรุปได้ดังนี้ อุณหภูมิการเร่งปฏิกิริยาของตัวอย่างจีโอลิเมอร์มอร์ตาร์เท่ากับ 60 75 และ 90°C ระยะเวลาการเร่งปฏิกิริยาของตัวอย่างจีโอลิเมอร์มอร์ตาร์เท่ากับ 24 ชั่วโมง ความเข้มข้นของโซเดียมไฮดรอกไซด์เท่ากับ 5 10 15 และ 20 มิลลิตร อัตราส่วนของเหลวต่อวัสดุประสานเท่ากับ 0.40 0.50 0.60 และ 0.70 อัตราส่วนของโซเดียมซิลิกेटต่อโซเดียมไฮดรอกไซด์เท่ากับ 0.5 1.0 1.5 2.0 และ 2.5 ปริมาณการแทนที่ไคลอตอมไมเตอร์เพอร์ไอลิต และซีโอลายท์ธรรมชาติในถ้วยขึ้ยละ 0 60 80 และ 100 ระยะเวลาของการบ่มตัวอย่างจีโอลิเมอร์มอร์ตาร์เท่ากับ 7 14 และ 28 วัน



บทที่ 3

วิธีดำเนินงานวิจัย

วิธีดำเนินงานวิจัยการศึกษากำลังอัดของจีโอโพลิเมอร์จากເກົ່າລອຍພສມໄໂຄະຕອນໄມ້ເມື່ອ
ເພອງໄໂລດ໌ ແລະຈີໂໂລໄໂລດ໌ຊຣມຫາດີ ໄດ້ແບ່ງອອກເປັນ 5 ສ່ວນ ໄດ້ແກ່ວສຸດທີ່ໃຊ້ໃນງານວິຈີຍ ກາຮທດສອນ
ຄຸນສົມບັດພື້ນຖານຂອງວັສຸດທີ່ໃຊ້ໃນກາຮວິຈີຍ ກາຮທດສອນຄຸນສົມບັດຂອງຈີໂໂລໄໂລດ໌ເມອົງອໍຣ໌ຕ້າວ໌
ອັດຮາສ່ວນພສມຂອງຈີໂໂລໄໂລດ໌ເມອົງອໍຣ໌ຕ້າວ໌ ແລະວິທີດຳນັນງານວິຈີຍໃນຫ້ອງປົງປັບຕິກາຮ



ຮູບທີ 3.1 ແຜນຜັງແສດງກາຮວິຈີຍ

3.1 วัสดุที่ใช้ในงานวิจัย

งานวิจัยใช้วัสดุในการดำเนินงานวิจัย ดังนี้

3.1.1 ไคลอตอมไมต์ (Diatomite)

3.1.2 เพอร์ไลต์ (Perlite)

3.1.3 ซีโอไลต์ธรรมชาติ (Natural zeolite) ประเภท Clinoptilolite

3.1.4 เถ้าโลหะ (Fly ash)

3.1.5 ทรายแม่น้ำ ซึ่งมีขนาดคละตามมาตรฐาน ASTM C 33 (2008) นำทรายที่เปียกมาผสานแล้วให้แห้งแล้วร่อนผ่านตะแกรงขนาดเบอร์ 16 30 50 100 200 และ Pan เพื่อคัดขนาด

3.1.6 สารละลายโซเดียมไฮดรอกไซด์ (NaOH) ที่ความเข้มข้น 5 10 15 และ 20 มิลลิลิตร โดยใช้น้ำกลั่นเป็นตัวทำละลาย

3.1.7 สารละลายโซเดียมซิลิกเกต (Na_2SiO_3) ซึ่งมีองค์ประกอบของ $\text{Na}_2=15.32\%$, $\text{SiO}_3=31.87\%$, $\text{H}_2\text{O}=51.81\%$ โดยน้ำหนัก และมีค่า pH = 9.05 ตรวจสอบโดยเครื่องพีเอชมิเตอร์



รูปที่ 3.2 วัสดุป้องโ Zhouan ที่ใช้ในงานวิจัย

โซเดียมซิลิกา (Na_2SiO_3)	โซเดียมไฮดรอกไซด์ (NaOH)

รูปที่ 3.3 สารละลายชนิดค่าคงที่ใช้ในงานวิจัย

3.2 ข้อกำหนดของงานวิจัย

3.2.1 ขนาดคละของทราย

ทรายที่ใช้ในงานวิจัยจะควบคุมขนาดคละให้ได้ตามข้อกำหนดขนาดคละมาตรฐาน ASTM C 33 (Standard specification for concrete aggregates)

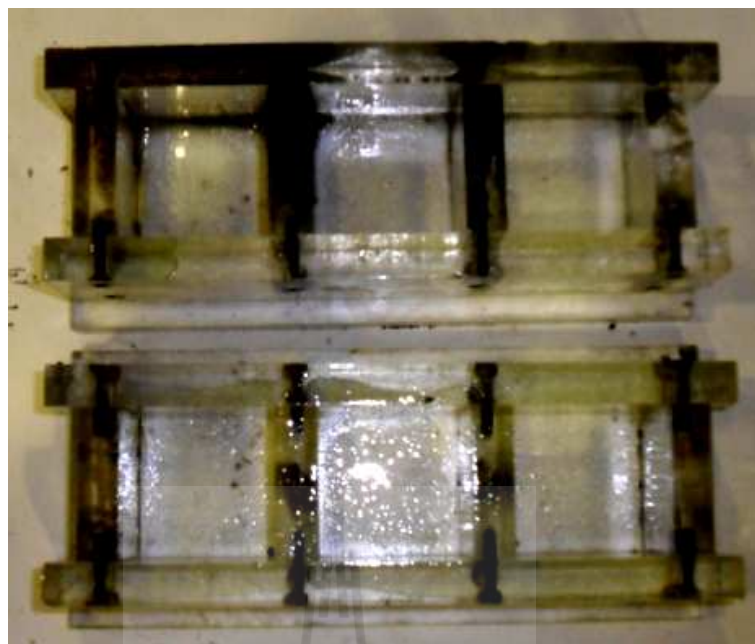
โดยทรายที่ใช้ในงานวิจัยครั้งนี้จะคัดขนาดให้ได้เป็นทรายละเอียด เนื่องจากงานวิจัยครั้งนี้ได้เลือกใช้วัสดุปอชโซลานธรรมชาติเป็นวัสดุตั้งต้นของจีโอโพลิเมอร์ตัวร์ ได้แก่ ไคลอตอมไนต์ เพอร์ไอลต์ และซีโอลิตธรรมชาติ ซึ่งจากลักษณะของวัสดุเป็นวัสดุที่มีความพรุนสูง ดังนั้นจึงได้คัดขนาดให้ได้ทรายละเอียดเพื่ออุดช่องว่างของจีโอโพลิเมอร์ตัวร์ให้มีความหนาแน่นขึ้นซึ่งส่งผลโดยตรงต่อกำลังอัดของจีโอโพลิเมอร์ตัวร์

3.2.2 อุณหภูมิการผสมตัวอย่างจีโอโพลิเมอร์ตัวร์

การผสมจีโอโพลิเมอร์ตัวร์จะดำเนินกระบวนการผสมในอุณหภูมิห้อง มีค่าระหว่าง $25-45^\circ\text{C}$ เพื่อให้สอดคล้องกับอากาศประเทศไทย

3.2.3 แบบหล่อที่ใช้หล่อตัวอย่างจีโอโพลิเมอร์ตัวร์

เนื่องจากสารละลายชนิดค่าคงจะทำปฏิกิริยากับแบบทองเหลือง ทำให้การถอดแบบนั้นมีความลำบาก ดังนั้นงานวิจัยครั้งนี้จึงได้เลือกใช้แบบหล่อเป็นแบบอาคริลิค



รูปที่ 3.4 แบบหล่ออะคริลิก ขนาด 50x50x50 mm

3.3 การทดสอบคุณสมบัติพื้นฐานของวัสดุที่ใช้ในงานวิจัย

3.3.1 การทดสอบคุณสมบัติของทราย

1. การทดสอบหาความถ่วงจำเพาะและการดูดซึมน้ำของทราย

จุดประสงค์การทดสอบ เพื่อหาค่าความถ่วงจำเพาะในสภาพต่าง ๆ ของมวลรวมละเอียดโดยเฉพาะในสภาพอิ่มตัวผิวแห้ง (Saturated surface dry) และเปอร์เซ็นต์การดูดซึมน้ำ (Absorption) ของมวลรวมละเอียด และนำค่าไปออกแบบส่วนผสมของมอร์ตาร์ ซึ่งค่าความถ่วงจำเพาะนี้จะหาค่าได้จากการวัดความสัมพันธ์ของอัตราส่วนระหว่างมวลรวมต่อน้ำหนักของน้ำที่มีปริมาตรเท่ามวลรวม โดยทั่วไปค่าความถ่วงจำเพาะของมวลรวมละเอียดจะมีค่าอยู่ระหว่าง 2.4 ถึง 3.0 และโดยทั่วไปจะใช้ค่าความถ่วงจำเพาะในสภาพอิ่มตัวผิวแห้ง ซึ่งเป็นสภาพที่ไม่ดูดซึมน้ำ และไม่คายน้ำ ส่วนค่าการดูดซึมน้ำบ่งบอกถึงความสามารถในการดูดซึมน้ำไว้ ทดสอบตามมาตรฐาน ASTM C 128 (2007)



รูปที่ 3.5 การทดสอบหาค่าความถ่วงจำเพาะและค่าการดูดซึมน้ำของทรัพย์

2. การทดสอบทางน้ำคุณภาพและโมดูล์ความละเอียดของทรัพย์

จุดประสงค์การทดสอบ เพื่อหาการกระจายตัวและส่วนคละของมวล
ส่วนคละของมวลรวมจะมีผลต่อความสามารถเก็บได้ และแต่ละอนุภาคของมวลรวมจะอิ่มค่าต้อง^ก
ถูกห่อหุ้มด้วยซีเมนต์เพสต์ไม่ว่ามวลรวมนั้นจะมีขนาดใหญ่หรือเล็กก็ตาม ในการทดสอบใช้
วิธีร่อนค่าวัสดุแกงให้ได้ตามมาตรฐาน ASTM C 136 (2006)



รูปที่ 3.6 การทดสอบหาขนาดคละและโมดูลัสความกระอิ่มของทราย

3. การทดสอบหาค่าหน่วยน้ำหนักของทราย

จุดประสงค์การทดสอบ เพื่อให้สามารถหาค่าหน่วยน้ำหนักของทรายได้ และนำค่าที่ได้มาออกแบบส่วนผสมของมอร์ต้าร์ ตามมาตรฐาน ASTM C 29 (2007)

3.3.2 การทดสอบคุณสมบัติของวัสดุประสาน

1. การทดสอบหาความถ่วงจำเพาะของไดอะตومไนต์ เพอร์ไอล์ต์ ซีโอไอล์ต์-ธรรมชาติ และถ้าลอย

เพื่อหาค่าความถ่วงจำเพาะของไดอะตومไนต์ เพอร์ไอล์ต์ ซีโอไอล์ต์ธรรมชาติ และถ้าลอย สามารถวัดได้โดยการทดสอบเช่นเดียวกับปูนซีเมนต์ ตามมาตรฐาน ASTM C 188 (2003)



รูปที่ 3.7 การทดสอบหาค่าความถ่วงจำเพาะและหน่วยน้ำหนักของวัสดุประสาน

2. การทดสอบหาค่าหน่วยน้ำหนักของไดอะตومไนต์ เพอร์ไอล์ต์ ซีโอไอล์ต์-ธรรมชาติ และถ้าลอย

จุดประสงค์การทดสอบ เพื่อหาค่าหน่วยน้ำหนักของไดอะตومไนต์ เพอร์ไอล์ต์ ซีโอไอล์ต์ธรรมชาติ และถ้าลอย โดยทำการทดสอบเช่นเดียวกับทราย ตามมาตรฐาน ASTM C 29 (2007)

3. การทดสอบหาค่าความละเอียดของไดอะตومไนต์ เพอร์ไอล์ต์ ซีโอไอล์ต์-ธรรมชาติ และถ้าลอย

จุดประสงค์การทดสอบ เพื่อหาค่าความละเอียดของไดอะตومไนต์ เพอร์ไอล์ต์ ซีโอไอล์ต์ธรรมชาติ และถ้าลอย ด้วยวิธีของเบลน (Blaine method) ใช้วัสดุที่ผิวนองอนุภาค อาศัยหลักการของอากาศให้หล่อผ่านชั้นวัสดุทดสอบ ตามมาตรฐาน ASTM C 204 (2007)



รูปที่ 3.8 ชุดทดสอบหาความละเอียดของวัสดุประสาน ด้วยวิธีของเบลน (Blaine finness)

3.4 การทดสอบคุณสมบัติของจีโอโพลิเมอร์มอร์ตาร์

3.4.1 การทดสอบหาค่าหน่วยวั่นน้ำหนัก

จุดประสงค์การทดสอบ เพื่อหาหน่วยวั่นน้ำหนักของก้อนตัวอย่างมอร์ตาร์ ที่อายุการบ่มตามที่ออกแบบไว้ ตามมาตรฐาน ASTM C 138/C 138M (2009)



รูปที่ 3.9 เครื่องชั่งสำหรับหาหน่วยวั่นน้ำหนัก ชั่งได้ละเอียด 0.01 กรัม

3.4.2 การทดสอบหาค่าการไหลดแพ่

จุดประสงค์การทดสอบ เพื่อหาค่าการไหลดแพ่ของจีโวโพลิเมอร์ตัวร์ที่ตามอัตราส่วนผสมต่าง ๆ ตามมาตรฐาน ASTM C 1437 (2007)



รูปที่ 3.10 จุดทดสอบการไหลดแพ่

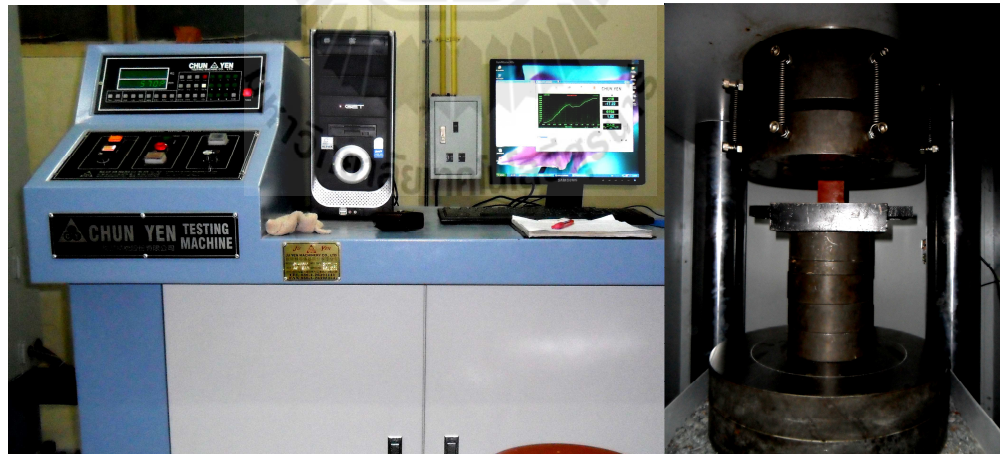
3.4.3 การทดสอบหาค่าระยะเวลาการก่อตัว

จุดประสงค์การทดสอบ เพื่อหาระยะเวลาการก่อตัวของจีโวโพลิเมอร์ตัวร์โดยใช้เข็มมาตรฐานแบบไวแครต ซึ่งระยะเวลาการก่อตัวคือเวลาที่เข็มไวแครตขนาดเส้นผ่าศูนย์กลางขนาด 1 mm ปล่อยลงไปในชีเมนต์เพสต์ที่มีความข้นเหลวปกติ และหลังจากนั้นเข็มจะจมลงในชีเมนต์เพสต์ 25 mm ในระยะเวลา 30 วินาที และการก่อตัวสุดท้ายเกิดขึ้นเมื่อเข็มไวแครตไม่สามารถจมลงในชีเมนต์เพสต์ได้ การทดสอบตามมาตรฐาน ASTM C 191 (2008)



รูปที่ 3.11 ชุดทดสอบแบบไวแคต (Vicat apparatus)

3.4.4 การทดสอบกำลังอัดของจีโอโพลิเมอร์มอร์ต้าร์
จุดประสงค์การทดสอบ เพื่อหาค่ากำลังอัดของจีโอโพลิเมอร์มอร์ต้าร์ ที่อายุ
การบ่มตามที่ออกแบบไว้ ทดสอบตามมาตรฐาน ASTM C 109 (2002)



รูปที่ 3.12 เครื่องทดสอบกำลังอัด (Compressive mechincne 500 Tons)

3.5 สัญลักษณ์ส่วนผสมของจีโอโพลิเมอร์ร์ต้าร์

งานวิจัยครั้งนี้ได้กำหนดสัญลักษณ์ของส่วนผสมต่าง ๆ ดังแสดงในสมการที่ 3.1

AA M – FABBXX - YY

(3.1)

- เมื่อ AA หมายถึง ความเข้มข้นของสารละลายโซเดียมไฮดรอกไซด์
 M หมายถึง หน่วยของความเข้มข้นของสารละลายโซเดียมไฮดรอกไซด์ (Molar)
 FA หมายถึง เถ้าโลย
 BB หมายถึง วัสดุปูชโซลูชันธรรมชาติ
 XX หมายถึง การแทนที่ถ้าโลยกด้วยวัสดุปูชโซลูชันธรรมชาติโดยน้ำหนัก
 YY หมายถึง อัตราส่วนโซเดียมซิลิกเกตต่อโซเดียมไฮดรอกไซด์
 ตัวอ่อนงในการอ่านสัญลักษณ์ เช่น 15M-FADE80-1.5 หมายถึงจีโอโพลิเมอร์ร์ต้าร์ที่มีการแทนที่ไดอะตอนไมตร์ในถ้าโลยก็อยละ 80 โดยน้ำหนัก โดยใช้ความเข้มข้นของโซเดียมไฮดรอกไซด์เท่ากับ 15 มิลลาร์ และอัตราส่วนโซเดียมซิลิกเกตต่อโซเดียมไฮดรอกไซด์เท่ากับ 1.5

3.6 วิธีดำเนินการทดสอบในห้องปฏิบัติการ

3.6.1 ใช้น้ำกลั่นเป็นตัวทำละลายสารโซเดียมไฮดรอกไซด์ (NaOH) เพื่อให้ได้ความเข้มข้นของโซเดียมไฮดรอกไซด์ (NaOH) ที่ 5 10 15 และ 20 มิลลาร์ ซึ่งการเตรียมความเข้มข้นโซเดียมไฮดรอกไซด์ 1 มิลลาร์ ได้จากการซั่มน้ำหนักของโซเดียมไฮดรอกไซด์แบบเกลือ 40 g แล้วเติมน้ำกลั่นเพื่อเป็นตัวทำละลายให้ได้ปริมาตรเท่ากับ 1000 ml ในระหว่างขั้นตอนการปรับความเข้มข้นของโซเดียมไฮดรอกไซด์นั้นจะมีอุณหภูมิสูง ดังนั้นจะต้องเตรียมสารละลายก่อนการนำไปใช้ผสม 24 ชั่วโมง (NaOH : โมลน้ำหนักของ $\text{Na}=23 \text{ g}$ $\text{O}=16 \text{ g}$ $\text{H}=1 \text{ g}$ ดังนั้นผลรวมน้ำหนักเท่ากับ 40 g ต่อความเข้มข้นของโซเดียมไฮดรอกไซด์ 1 มิลลาร์)

3.6.2 ใช้อัตราส่วนโซเดียมซิลิกเกตต่อโซเดียมไฮดรอกไซด์ ($\text{Na}_2\text{SiO}_3/\text{NaOH}$ ratio) ตามที่ออกแบบอัตราส่วนผสมไว้

3.6.3 ทำการผสมตัวอ่อนงจีโอโพลิเมอร์ร์ต้าร์ด้วยเครื่องผสมมอร์ต้าร์ มีขั้นตอนการผสมดังนี้ เริ่มต้นด้วยการนำวัสดุตั้งต้นใส่ในหม้อผสม จากนั้นเติมโซเดียมไฮดรอกไซด์ (NaOH) และโซเดียมซิลิกเกต (Na_2SiO_3) แล้วผสมให้ส่วนผสมเขากันประมาณ 5 นาที แล้วเติมทรัพยาจี้เวลาผสมประมาณ 2-5 นาที สรุปใช้เวลาในการผสมประมาณ 10 นาที

3.6.4 นำจีโอโพลิเมอร์มอร์ต้าร์ที่ผสมเสร็จแล้ว เทใส่ในแบบหล่อรูปทรงลูกบาศก์ขนาด $50 \times 50 \times 50 \text{ mm}$ แล้วทิ้งไว้ประมาณ 1 ชั่วโมง และห่อแบบหล่อด้วยแผ่นพลาสติก

3.6.5 นำตัวอย่างจีโอโพลิเมอร์มอร์ต้าร์เข้าตู้อบเพื่อเร่งปฏิกิริยาการก่อตัวด้วยความร้อน โดยใช้อุณหภูมิในการเร่งปฏิกิริยาเท่ากับ 60°C 75°C และ 90°C เป็นระยะเวลา 24 ชั่วโมง จึงนำออกจากตู้อบ

3.6.6 ถอดแบบหล่อแล้วบ่มที่อุณหภูมิห้องทดลองจนครบอายุการบ่ม จากนั้นวัดขนาด และชั่นน้ำหนักของตัวอย่างจีโอโพลิเมอร์มอร์ต้าร์เพื่อเตรียมการทดสอบกำลังอัดของจีโอโพลิเมอร์-มอร์ต้าร์ ที่อายุการบ่ม 7 14 และ 28 วัน ตามมาตรฐาน ASTM C 109 (2002)

3.7 อัตราส่วนผสมของจีโอโพลิเมอร์มอร์ต้าร์

การทดสอบกำลังอัดของตัวอย่างทรงลูกบาศก์ขนาด $50 \times 50 \times 50 \text{ mm}$ โดยทำการแปรผันตาม ผลกระ逼ต่าง ๆ ที่มีผลต่อกำลังอัดของจีโอโพลิเมอร์มอร์ต้าร์

3.7.1 ผลจากการเปลี่ยนแปลงอุณหภูมิการเร่งปฏิกิริยาของตัวอย่าง โดยแปรผันอุณหภูมิการเร่งปฏิกิริยาของตัวอย่างเท่ากับ 60°C 75°C และ 90°C เป็นเวลา 24 ชั่วโมง และทดสอบกำลังอัดที่อายุ 7 วัน ดังแสดงในตารางที่ 3.3

3.7.2 ผลจากการเปลี่ยนแปลงอัตราส่วนของโซเดียมซิลิเกตต่อโซเดียมไฮดรอกไซด์ ($\text{Na}_2\text{SiO}_3/\text{NaOH}$ ratio) โดยแปรผันอัตราส่วนของโซเดียมซิลิเกตต่อโซเดียมไฮดรอกไซด์เท่ากับ 0.5 1.0 1.5 2.0 และ 2.5 ที่อุณหภูมิการเร่งปฏิกิริยาของตัวอย่าง 75°C เป็นเวลา 24 ชั่วโมง และทดสอบกำลังอัดที่อายุ 7 วัน ดังแสดงในตารางที่ 3.4

3.7.3 ผลจากการเปลี่ยนแปลงอัตราส่วนของเหลวต่อวัสดุประสาน (Liquid alkaline/binder ratio) โดยแปรผันอัตราส่วนของเหลวต่อวัสดุประสานเท่ากับ 0.40 0.50 0.60 และ 0.70 ที่อุณหภูมิการเร่งปฏิกิริยาของตัวอย่าง 75°C เป็นเวลา 24 ชั่วโมง และทดสอบกำลังอัดที่อายุ 7 วัน ดังแสดงในตารางที่ 3.5

3.7.4 ผลจากการเปลี่ยนแปลงความเข้มข้นของโซเดียมไฮดรอกไซด์ โดยแปรผันความเข้มข้นของโซเดียมไฮดรอกไซด์เท่ากับ 5 10 15 และ 20 ไมลาร์ ที่อุณหภูมิการเร่งปฏิกิริยาของตัวอย่าง 75°C เป็นเวลา 24 ชั่วโมง และทดสอบกำลังอัดที่อายุ 7 วัน ดังแสดงในตารางที่ 3.6

3.7.5 ผลจากการเพิ่มปริมาณน้ำในอัตราส่วนต่าง ๆ ในส่วนผสม โดยแปรผันอัตราส่วนการเพิ่มปริมาณน้ำต่อวัสดุประสานเท่ากับร้อยละ 0 3 6 9 12 และ 15 ที่อุณหภูมิการเร่งปฏิกิริยาของตัวอย่าง 75°C เป็นเวลา 24 ชั่วโมง และทดสอบกำลังอัดที่อายุ 7 วัน ดังแสดงในตารางที่ 3.7

3.7.6 ผลจากการที่ตัวอย่างมีอายุการบ่มเพิ่มขึ้น โดยแบ่งผันตามระยะเวลาการบ่มเท่ากับ 7 14 และ 28 วัน ที่อุณหภูมิการเร่งปฏิกิริยาของตัวอย่าง 75°C เป็นเวลา 24 ชั่วโมง ดังแสดงในตารางที่ 3.8

ตารางที่ 3.1 อัตราส่วนผสมของจีโอโพลิเมอร์ตัวร์

$\text{Na}_2\text{SiO}_3/\text{NaOH}$ (โดยน้ำหนัก)	วัสดุเชื่อมประสาน (g)	ทราย (g)	NaOH (g)	Na_2SiO_3 (g)
0.5	400	600	66.7	133.3
1.0	400	600	100.0	100.0
1.5	400	600	120.0	80.0
2.0	400	600	133.3	66.7
2.5	400	600	142.9	57.1

หมายเหตุ: รวมจำนวนก้อนตัวอย่างทั้งหมดที่ใช้ในการทดสอบทั้งหมด 1,500 ก้อน

ตารางที่ 3.2 ผลจากการเปลี่ยนแปลงอุณหภูมิการเร่งปฏิกิริยาของตัวอย่าง

รายการตัวอย่าง	ความเข้มข้น NaOH (มอลาร์)	L/B	$\text{Na}_2\text{SiO}_3/\text{NaOH}$ (โดยน้ำหนัก)	S/B	อุณหภูมิ การบ่ม (°C)
15M-NP100-1.5	15	0.50	1.50	1.50	60 75 90
15M-NP80-1.5					
15M-NP60-1.5					
15M-NP0-1.5					

หมายเหตุ: จำนวนก้อนตัวอย่าง 180 ก้อน

ตารางที่ 3.3 ผลจากการเปลี่ยนแปลงอัตราส่วนของโซเดียมซิลิกาต์ต่อโซเดียมไฮดรอกไซด์

($\text{Na}_2\text{SiO}_3/\text{NaOH}$ ratio)

รายการตัวอย่าง	ความเข้มข้น NaOH (โอมลาร์)	L/B	S/B	อุณหภูมิ การบ่ม (°C)	$\text{Na}_2\text{SiO}_3/\text{NaOH}$ (โดยน้ำหนัก)
15M-NP100-1.5	15	0.50	1.50	75	0.5 1.0 1.5 2.0 2.5
15M-NP80-1.5					
15M-NP60-1.5					
15M-NP0-1.5					

หมายเหตุ: จำนวนก้อนตัวอย่าง 300 ก้อน

ตารางที่ 3.4 ผลจากการเปลี่ยนแปลงอัตราส่วนของเหลวต่อวัสดุประสาน (Liquid alkaline/binder)

รายการ ตัวอย่าง	ความเข้มข้น NaOH (โอมลาร์)	$\text{Na}_2\text{SiO}_3/\text{NaOH}$ (โดยน้ำหนัก)	L/B	S/B	อุณหภูมิ การบ่ม (°C)
15M-NP100-1.5	15	1.50	0.4 0.5 0.6 0.7	1.50	75
15M-NP80-1.5					
15M-NP60-1.5					
15M-NP0-1.5					

หมายเหตุ: จำนวนก้อนตัวอย่าง 240 ก้อน

ตารางที่ 3.5 ผลจากการเปลี่ยนแปลงความเข้มข้นของโซเดียมไฮดรอกไซด์

รายการ ตัวอย่าง	ความเข้มข้น NaOH (โอมลาร์)	$\text{Na}_2\text{SiO}_3/\text{NaOH}$ (โดยน้ำหนัก)	L/B	S/B	อุณหภูมิ การบ่ม (°C)
15M-NP100-1.5	5 10 15 20	1.50	0.5	1.50	75
15M-NP80-1.5					
15M-NP60-1.5					
15M-NP0-1.5					

หมายเหตุ: จำนวนก้อนตัวอย่าง 240 ก้อน

ตารางที่ 3.6 ผลจากการเพิ่มปริมาณน้ำในอัตราส่วนต่าง ๆ ในส่วนผสม

รายการ ตัวอย่าง	ความเข้มข้น NaOH (โมลาร์)	Na ₂ SiO ₃ /NaOH (โดยน้ำหนัก)	L/B	S/B	อุณหภูมิ การบ่ม (°C)	W/B (%)
15M-NP100-1.5	15	1.50	0.50	1.50	75	0 3 6
15M-NP80-1.5						9 12
15M-NP60-1.5						15
15M-NP0-1.5						

หมายเหตุ: จำนวนก้อนตัวอย่าง 360 ก้อน

ตารางที่ 3.7 ผลจากการที่ตัวอย่างมีอายุการบ่มเพิ่มขึ้น

รายการ ตัวอย่าง	ความเข้มข้น NaOH (โมลาร์)	Na ₂ SiO ₃ /NaOH (โดยน้ำหนัก)	L/B	S/B	อุณหภูมิ การบ่ม(°C)	อายุตัวอย่าง (วัน)
15M-NP100-1.5	15	1.50	0.50	1.50	75	7 14 28
15M-NP80-1.5						
15M-NP60-1.5						
15M-NP0-1.5						

หมายเหตุ: จำนวนก้อนตัวอย่าง 180 ก้อน

บทที่ 4

ผลการศึกษาและวิจารณ์ผล

ในบทนี้เป็นการนำเสนอผลการศึกษาคุณสมบัติพื้นฐานของวัสดุที่ใช้ในงานวิจัย และผลการศึกษาคุณสมบัติด้านการไหล่ร ะยะเวลาการก่อตัว กำลังอัด หน่วยน้ำหนัก และโมดูลัสยึดหยุ่นของจีโอโพลิเมอร์มอร์ต้าร์จากถ่านหินผสมไโคอะตومไนต์ เพอร์ไอลต์ และซีโอไอลต์ธรรมชาติในส่วนผสม โดยแบ่งผันตามผลกระทบต่าง ๆ ที่มีผลต่อคุณสมบัติของจีโอโพลิเมอร์มอร์ต้าร์

4.1 ลักษณะทางกายภาพวัสดุที่ใช้ในงานวิจัย

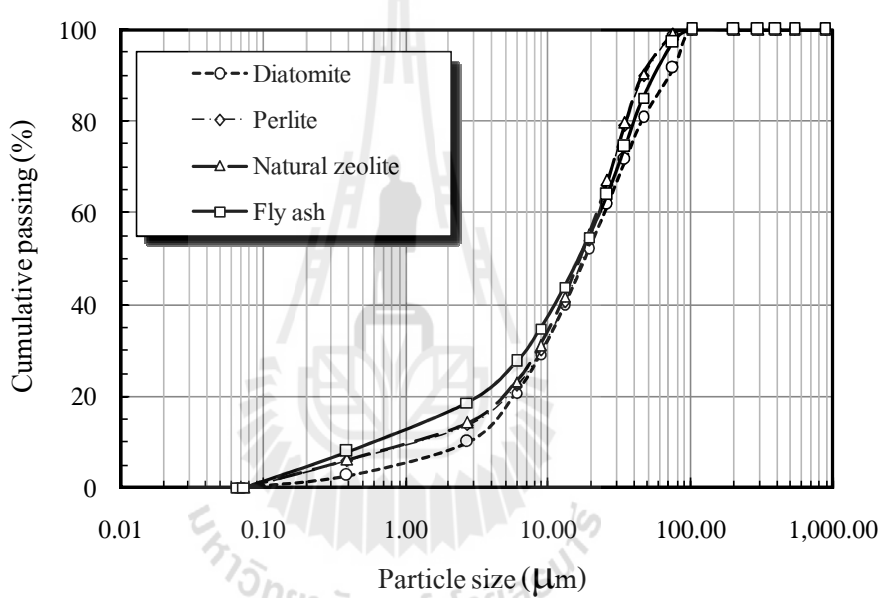
จากการเปรียบเทียบคุณสมบัติทางกายภาพของไโคอะตومไนต์ เพอร์ไอลต์ ซีโอไอลต์-ธรรมชาติ เถ้าโลยและทราย ดังแสดงในตารางที่ 4.1 พบว่าไโคอะตومไนต์ เพอร์ไอลต์ ซีโอไอลต์-ธรรมชาติมีความถ่วงจำเพาะและหน่วยน้ำหนักต่ำกว่าถ่านหินและทราย โดยมีค่าความถ่วงจำเพาะประมาณ 0.97 0.99 และ 0.95 เท่าของถ่านหิน ตามลำดับ และหน่วยน้ำหนักประมาณ 0.50 0.84 และ 0.45 เท่าของถ่านหิน ตามลำดับ นอกจากนี้ยังพบว่าซีโอไอลต์ธรรมชาติมีความถ่วงจำเพาะและหน่วยน้ำหนักต่ำที่สุด

จากการทดสอบ Laser particle size ดังแสดงในตารางที่ 4.1 พบว่าไโคอะตومไนต์ เพอร์ไอลต์ ซีโอไอลต์ธรรมชาติและถ่านหินมีขนาดอนุภาคเฉลี่ย (Median particle size, d_{50}) เท่ากับ 18.29 17.56 16.17 และ 17.60 μm ตามลำดับ ซึ่งสามารถสรุปได้ว่าไโคอะตومไนต์ เพอร์ไอลต์ และซีโอไอลต์ธรรมชาติมีขนาดอนุภาคใกล้เคียงกับถ่านหิน ดังแสดงในรูปที่ 4.1

ตารางที่ 4.1 ผลการวิเคราะห์ลักษณะทางกายภาพของวัสดุที่ใช้ในงานวิจัย

Physical properties	Diatomite	Perlite	Natural Zeolite	Fly ash	Sand
Specific gravity	2.33	2.39	2.28	2.41	2.69
Dry unit weight (kg/m^3)	490	820	440	973	1,625
Median particle size (μm)	18.29	17.56	16.17	17.60	-
Blaine fineness (cm^2/g)	12,662	5,800	11,303	4,310	-

จากผลการทดสอบหาค่าความละเอียดของวัสดุ ด้วยวิธีของเบลน (Blaine fineness) พบว่า ไ道ตอนไม่ต์ เพอร์ไอล์ต์ ซีโอไอล์ต์ชาร์ร์มชาติและถ้าถลอยมีพื้นที่ผิวจำเพาะเท่ากับ 12,662 5,800 11,303 และ 4,310 cm^2/g ตามลำดับ และ ไ道ตอนไม่ต์ เพอร์ไอล์ต์ ซีโอไอล์ต์ชาร์ร์มชาติมีพื้นที่ผิวจำเพาะมากกว่าถลอยประมาณ 2.94 1.35 และ 2.62 เท่าของถลอย ตามลำดับ แสดงให้เห็นว่า ไ道ตอนไม่ต์ เพอร์ไอล์ต์ และซีโอไอล์ต์ชาร์ร์มชาติ มีความละเอียดและความพรุนมากกว่าถลอย แสดงถึงมีความต้องการปริมาณของเหลวในส่วนผสมมากกว่าถลอยเนื่องจากมีพื้นที่ผิวจำเพาะและความพรุนมากกว่า เมื่อเปรียบเทียบความพรุนของไ道ตอนไม่ต์ เพอร์ไอล์ต์ และซีโอไอล์ต์-ชาร์ร์มชาติ สามารถสรุปได้ว่า ไ道ตอนไม่ต์ เป็นวัสดุที่มีความพรุนสูงที่สุด ดังแสดงในตารางที่ 4.1



รูปที่ 4.1 การกระจายอนุภาคของวัสดุ

4.2 องค์ประกอบทางเคมีของไ道ตอนไม่ต์ เพอร์ไอล์ต์ ซีโอไอล์ต์ชาร์ร์มชาติ และถลอย

ผลการทดสอบองค์ประกอบทางเคมีของไ道ตอนไม่ต์ เพอร์ไอล์ต์ ซีโอไอล์ต์ชาร์ร์มชาติ และถลอย ด้วยเครื่อง X-Ray Fluorescence Analysis (XRF) ดังแสดงในตารางที่ 4.2 โดยใช้ข้อกำหนดของมาตรฐาน ASTM C 618 (2008) ในการวิเคราะห์ ในการผลิตที่เป็นวัสดุปอชโซลาน Class N กำหนดให้ปริมาณสารประกอบหลักของวัสดุต้องมีค่า $\text{SiO}_2 + \text{Al}_2\text{O}_3 + \text{Fe}_2\text{O}_3$ มากกว่าหรือเท่ากับ 70% ค่า LOI ไม่มากกว่า 10% ค่า SO_3 ไม่มากกว่า 4% และเปอร์เซ็นต์ผ่านตะแกรงเบอร์ 325 (ซ่องเปิด 45 μm) ไม่น้อยกว่า 66% ส่วนกรณีที่เป็นวัสดุปอชโซลาน Class C กำหนดให้ปริมาณสารประกอบ

หลักของวัสดุต้องมีค่า $\text{SiO}_2 + \text{Al}_2\text{O}_3 + \text{Fe}_2\text{O}_3$ ตั้งแต่ 50% แต่ไม่เกิน 70% ค่า LOI ไม่มากกว่า 6% ค่า SO_3 ไม่มากกว่า 5% และเปอร์เซ็นต์ผ่านตะแกรงเบอร์ 325 (ช่องเปิด 45 μm) ไม่น้อยกว่า 66% และกรณีที่เป็นวัสดุปอชโซลาน Class F กำหนดให้ปริมาณสารประกอบหลักของวัสดุต้องมีค่า $\text{SiO}_2 + \text{Al}_2\text{O}_3 + \text{Fe}_2\text{O}_3$ มากกว่าหรือเท่ากับ 70% ค่า LOI ไม่มากกว่า 6% ค่า SO_3 ไม่มากกว่า 5% และเปอร์เซ็นต์ผ่านตะแกรงเบอร์ 325 (ช่องเปิด 45 μm) ไม่น้อยกว่า 66% ผลการวิเคราะห์พบว่า

4.2.1 ไโดอะตอมไมต์ มีปริมาณสารประกอบหลัก $\text{SiO}_2 + \text{Al}_2\text{O}_3 + \text{Fe}_2\text{O}_3 = 87.80\%$ ปริมาณ $\text{SO}_3 = 0.02\%$ ค่าการสูญเสียน้ำหนักเนื่องจากการเผา (LOI) เท่ากับ 8.10% ดังนั้นจึงสามารถถกล่าวได้ว่าไโดอะตอมไมต์ที่ผ่านกระบวนการเผานี้จัดเป็นวัสดุปอชโซลาน Class N

4.2.2 เพอร์ไลต์ มีปริมาณสารประกอบหลัก $\text{SiO}_2 + \text{Al}_2\text{O}_3 + \text{Fe}_2\text{O}_3 = 84.63\%$ ปริมาณ $\text{SO}_3 = 0.03\%$ ค่าการสูญเสียน้ำหนักเนื่องจากความร้อน (LOI) เท่ากับ 1.25% ดังนั้นจึงสามารถถกล่าวได้ว่าเพอร์ไลต์ที่ไม่ผ่านกระบวนการเผานี้จัดเป็นวัสดุปอชโซลาน Class N

4.2.3 ซีโอลายต์ธรรมชาติ มีปริมาณสารประกอบหลัก $\text{SiO}_2 + \text{Al}_2\text{O}_3 + \text{Fe}_2\text{O}_3 = 88.26\%$ ปริมาณ $\text{SO}_3 = 1.20\%$ ค่าการสูญเสียน้ำหนักเนื่องจากความร้อน (LOI) เท่ากับ 1.41% ดังนั้นจึงสามารถถกล่าวได้ว่าซีโอลายต์ธรรมชาติที่ไม่ผ่านกระบวนการเผานี้จัดเป็นวัสดุปอชโซลาน Class N

4.2.4 เถ้าโลย มีปริมาณสารประกอบหลัก $\text{SiO}_2 + \text{Al}_2\text{O}_3 + \text{Fe}_2\text{O}_3 = 81.01\%$ ปริมาณ $\text{SO}_3 = 2.74\%$ ค่าการสูญเสียน้ำหนักเนื่องจากความร้อน (LOI) เท่ากับ 1.23% ดังนั้นจึงสามารถถกล่าวได้ว่าถ้าโลยก็จัดเป็นวัสดุปอชโซลาน Class F

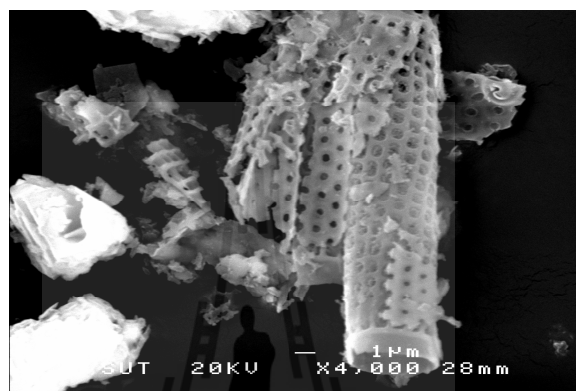
ตารางที่ 4.2 แสดงผลการวิเคราะห์ของค่าประกอบทางเคมีของไโดอะตอมไมต์ เพอร์ไลต์

ซีโอลายต์ธรรมชาติ และถ้าโลย ด้วยเครื่อง X-Ray Fluorescence Analysis (XRF)

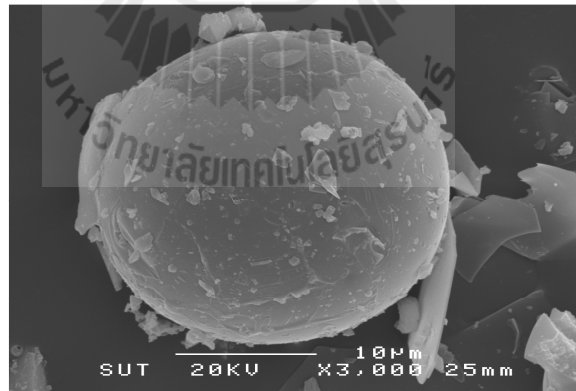
Chemical composition (%)	Diatomite	Perlite	Natural zeolite	Fly ash
Silicon dioxide (SiO_2)	59.30	71.32	75.32	43.87
Aluminum oxide (Al_2O_3)	10.00	10.73	10.28	26.33
Iron oxide (Fe_2O_3)	18.50	2.58	2.66	10.81
Calcium oxide (CaO)	1.20	1.86	3.95	12.69
Sulfur trioxide (SO_3)	0.02	0.03	1.20	2.74
Loss on Ignition (LOI)	8.10	1.25	1.41	1.23

4.3 ลักษณะโครงสร้างระดับจุลภาคของไโดอะตومไนต์ เพอร์ไอล์ต์ ซีโอไฮต์ธรรมชาติ และถ้าลอย

การวิเคราะห์ลักษณะ โครงสร้างระดับจุลภาคของวัสดุประสาน ไได้แก่ไโดอะตอมไนต์ เพอร์ไอล์ต์ ซีโอไฮต์ธรรมชาติ และถ้าลอย โดยทำการทดสอบคุณภาพด้วยทรรศน์อิเล็กตรอนแบบส่อง粒弧 (Scanning Electron Microscope, SEM) ดังแสดงในรูปที่ 4.2 ถึง 4.6



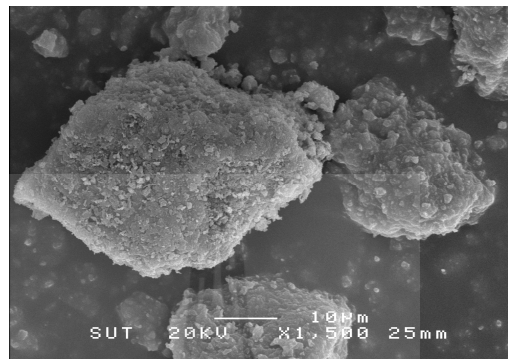
รูปที่ 4.2 ภาพถ่ายขยายของไโดอะตอมไนต์



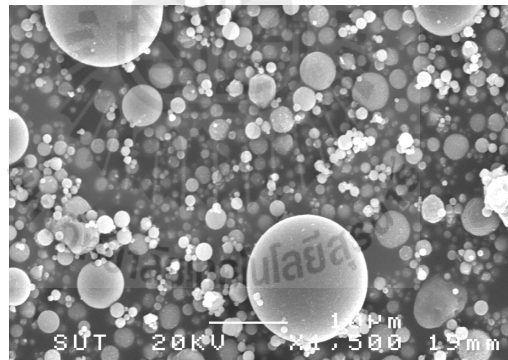
รูปที่ 4.3 ภาพถ่ายขยายของเพอร์ไอล์ต์

จากรูปที่ 4.2 พบว่าไโดอะตอมไนต์ที่ผ่านกระบวนการเผา มีลักษณะอนุภาคเป็นแท่งทรงกระบอกคล้าย มีผนังลักษณะเป็นโครงข่ายที่ค่อนข้างสมบูรณ์และเป็นระเบียบคล้ายร่างพังผืด มีความพรุนสูง จากรูปที่ 4.3 พบว่าเพอร์ไอล์ต์ที่ไม่ผ่านกระบวนการเผา มีลักษณะอนุภาคแบบกลวงกลม มีลักษณะโครงข่าย บางอนุภาคมีลักษณะคล้ายเปลือกไข่ และมีความพรุนสูง ส่วนรูปที่

4.4 พนว่าซีโอໄලต์ชรร์มชาติที่ไม่ผ่านกระบวนการเผาเมลักษณะอนุภาคแบบทรงสี่เหลี่ยมด้านไม่เท่า ขนาดของอนุภาคไม่มีความสม่ำเสมอ และมีช่องว่างหรือโพรง ความพรุนที่สูง และเมื่อพิจารณารูปที่ 4.5 พนว่าถ้าลองเมลักษณะอนุภาคแบบทรงกลม การกระจายตัวของอนุภาคมีอย่างสม่ำเสมอ และมีอนุภาคใกล้เคียงกัน



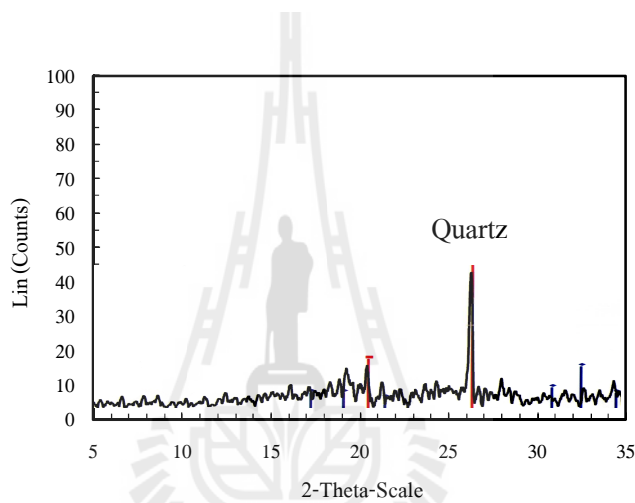
รูปที่ 4.4 ภาพถ่ายขยายของซีโอໄලต์ชรร์มชาติ



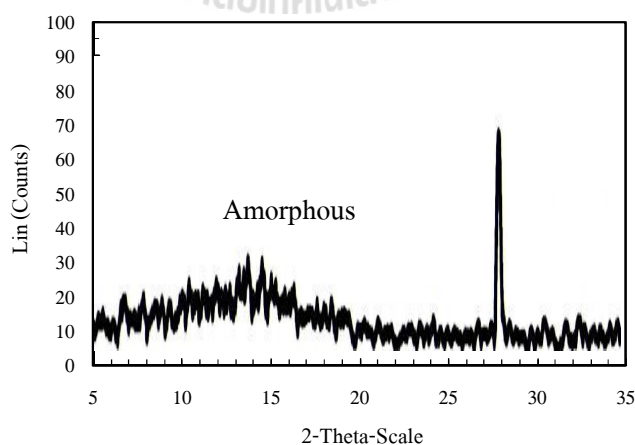
รูปที่ 4.5 ภาพถ่ายขยายของถ้าลอย

4.4 ความเป็นผลึกของไโคตะอมไม่ต์ เพอร์ໄไลต์ ซีโอໄලต์ชรร์มชาติ และถ้าลอย
การวิเคราะห์การเลี้ยงแบบรังสีเอ็กซ์ของไโคตะอมไม่ต์ เพอร์ໄไลต์ ซีโอໄලต์ชรร์มชาติ และถ้าลอย โดยวิธี X-Ray Diffraction Analysis (XRD) พนว่าองค์ประกอบของแร่ชิลิกาของไโคตะอมไม่ต์ เพอร์ໄไลต์ ซีโอໄලต์ชรร์มชาติ และถ้าลอย มีอยู่ 2 สถานะคือชิลิกาแบบเมลักษณะไม่เป็นผลึกหรือมีรูปร่างของสัมฐาน (Glassy phase or Amorphous) ที่มีคุณสมบัติว่องไวในการทำปฏิกิริยา และชิลิกาที่มีลักษณะความเป็นผลึก (Crystallinity) ที่มีคุณสมบัติค่อนข้างเนื้อแน่นของการ

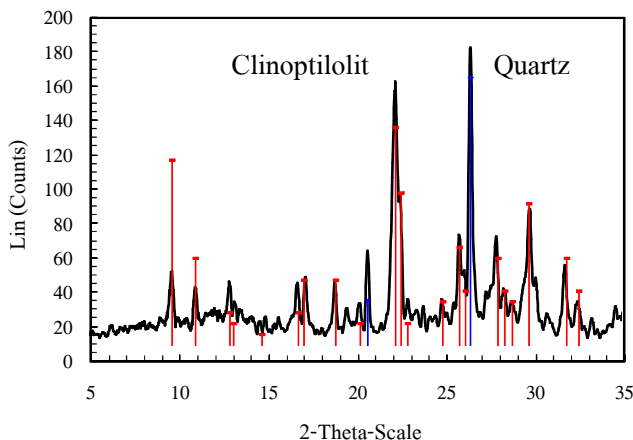
ทำปฏิกริยา จากการวิเคราะห์รูปที่ 4.6 ถึง 4.9 พบว่า ไดอะตอมไนต์และซีโอลิตธรรมชาติแนวโน้มส่วนใหญ่มีลักษณะความเป็นผลึก (Crystallinity) ซึ่งแสดงถึงคุณสมบัติในการทำปฏิกริยาที่เชื่องช้า ส่วนเพอร์ไอลิต์และถ้าลอยแนวโน้มส่วนใหญ่มีลักษณะไม่เป็นผลึกหรือมีรูปร่างอสัมฐาน (Glassy phase or Amorphous) ซึ่งสามารถดูบ่งบอกได้ถึงความว่องไวในการทำปฏิกริยา แต่ถ้าลอยมีลักษณะไม่เป็นผลึกหรือมีรูปร่างอสัมฐาน (Glassy phase or Amorphous) ที่มากกว่าเพอร์ไอลิต ดังนั้นสามารถสรุปได้ว่าถ้าลอยมีความว่องไวในการทำปฏิกริยาได้ดีกว่า ไดอะตอมไนต์ เพอร์ไอลิต และซีโอลิตธรรมชาติ นอกจากนั้นพบว่าเพอร์ไอลิตมีความว่องไวในการทำปฏิกริยาได้ดีกว่า ไดอะตอมไนต์ และซีโอลิตธรรมชาติ



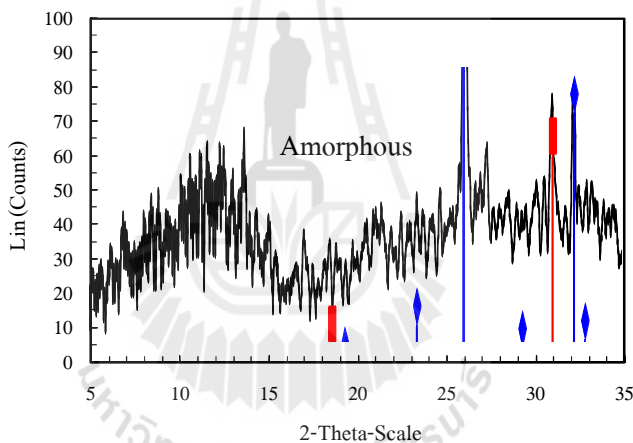
รูปที่ 4.6 รูปแบบการเลี้ยวเบนรังสีเอ็กซ์ของไดอะตอมไนต์



รูปที่ 4.7 รูปแบบการเลี้ยวเบนรังสีเอ็กซ์ของเพอร์ไอลิต



รูปที่ 4.8 รูปแบบการเดี่ยวเบนรังสีเอ็กซ์ของซีโอไอล์ต์ธรรมชาติ



รูปที่ 4.9 รูปแบบการเดี่ยวเบนรังสีเอ็กซ์ของถ้าโลย

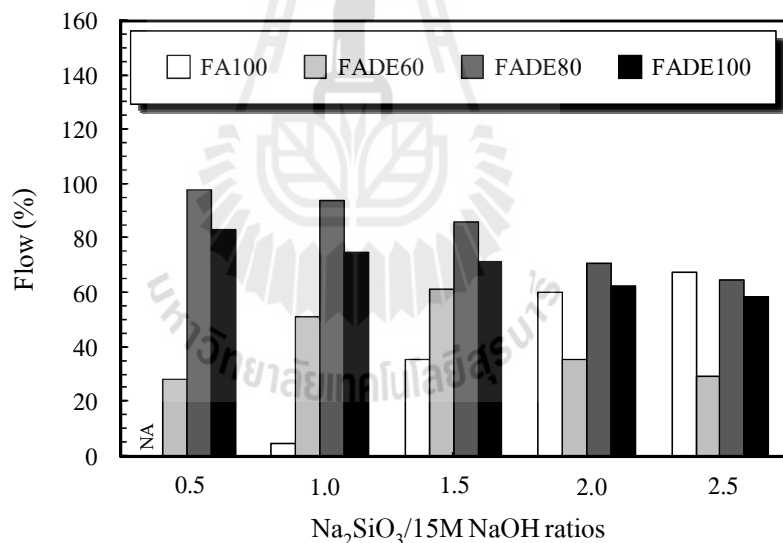
4.5 คุณสมบัติด้านการไฟล์แผ่นของจีโอโพลิเมอร์ร์ต้าร์

4.5.1 ผลกระทบของอัตราส่วนโซเดียมซิลิกเกตต่อโซเดียมไฮดรอกไซด์

ผลการทดสอบแปรผันตามอัตราส่วนโซเดียมซิลิกเกตต่อโซเดียมไฮดรอกไซด์ ($\text{Na}_2\text{SiO}_3/\text{NaOH}$ ratios) ใช้ความความเข้มข้นของโซเดียมไฮดรอกไซด์ 15 โมลาร์ ผลการทดสอบพบว่าความสามารถทำงานได้ดีขึ้นอยู่กับปริมาณของโซเดียมซิลิกเกตและปริมาณการแทนที่ไฮดรอกไซด์ ไม่ต่ำกว่า 0.5 เท่าของโซเดียมไฮดรอกไซด์ แสดงให้เห็นว่าในกรณีที่มีปริมาณโซเดียมซิลิกเกตมากเกินไปจะลดลงความสามารถในการทำงานของจีโอโพลิเมอร์ร์ต้าร์

จากรูปที่ 4.10 ถึง 4.12 พบว่าค่าไฟล์แผ่นของจีโอโพลิเมอร์ร์ต้าร์มีแนวโน้มเพิ่มขึ้นเมื่อปริมาณการแทนที่ไฮดรอกไซด์ ไม่ต่ำกว่า 0.5 เท่าของโซเดียมไฮดรอกไซด์ และเมื่อปริมาณโซเดียมซิลิกเกตเพิ่มขึ้น

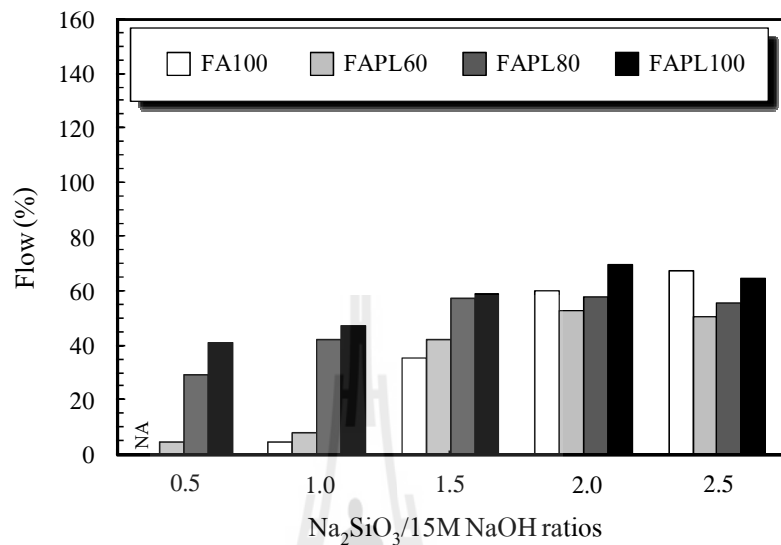
นอกจากนั้นยังพบว่าปริมาณของโซเดียมซิลิกเกตที่สูงมีผลให้ค่าการไหลแผ่ลดลง เนื่องจากปริมาณของโซเดียมซิลิกเกตที่มากทำให้ส่วนผสมมีความหนืดมากขึ้น ซึ่งมีค่าการไหลแผ่อยู่ในช่วงระหว่าง 28-98% เมื่อพิจารณาการแทนที่ด้วยไคลอตอมไมต์ เพอร์ไอลต์ และซีโอลิเตอร์รัมชาติทั้งหมดมีค่าการไหลแผ่ที่ดี อาจเนื่องจากไคลอตอมไมต์ เพอร์ไอลต์ และซีโอลิเตอร์รัมชาติมีคุณสมบัติในการทำปฏิกิริยาที่เชื่องช้า ส่งผลให้ช่วยยืดระยะเวลาการก่อตัวให้นานขึ้น จึงมีค่าการไหลแผ่ที่สูง และค่าการไหลแผ่มีแนวโน้มลดลงเมื่ออัตราส่วนของโซเดียมซิลิกเกตต่อโซเดียมไฮดรอกไซด์มากขึ้น ส่วนการแทนที่ด้วยถ้าถอยทั้งหมดค่าการไหลแผ่ไม่สามารถทดสอบได้ที่อัตราส่วนของโซเดียมซิลิกเกตต่อโซเดียมไฮดรอกไซด์เท่ากับ 0.5 ซึ่งเป็นอัตราส่วนที่มีปริมาณของโซเดียมไฮดรอกไซด์ในส่วนผสมที่สูง ส่งผลให้มีการทำปฏิกิริยาที่รวดเร็วหรือหันทีหันใด อีกทั้งยังพบว่าค่าการไหลแผ่มีแนวโน้มเพิ่มขึ้นเมื่ออัตราส่วนของโซเดียมซิลิกเกตต่อโซเดียมไฮดรอกไซด์มากขึ้น อาจเนื่องจากถ้าถอยมีลักษณะของอนุภาคที่กลม ทำให้มีปริมาณของเหลวในส่วนผสมเพิ่มขึ้นค่าการไหลแผ่มีแนวโน้มที่มากขึ้น แต่อย่างไรก็ตามส่วนผสมยังคงมีการแข็งตัวอย่างรวดเร็ว



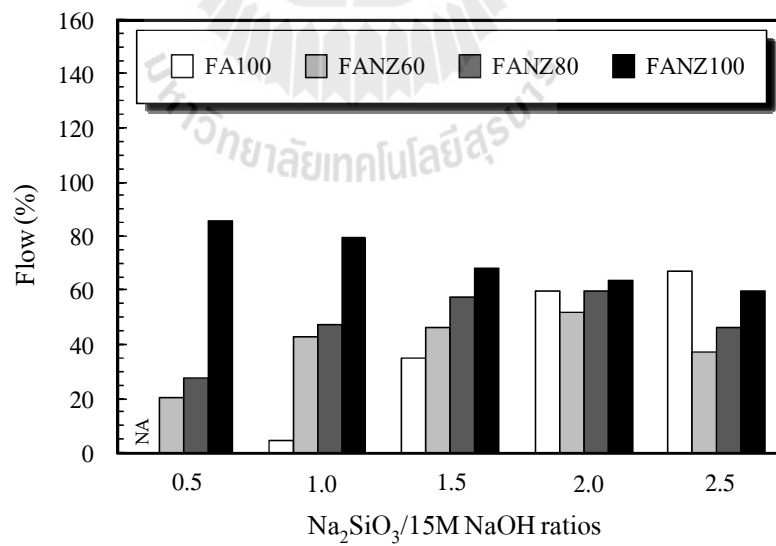
รูปที่ 4.10 ค่าการไหลแผ่ของจีโอลิเมอร์มอร์ตาร์จากถ้าถอยผสมไคลอตอมไมต์ ที่แบร์ผันตามผลกราฟของอัตราส่วนโซเดียมซิลิกเกตต่อโซเดียมไฮดรอกไซด์

นอกจากนั้นพบว่าการแทนที่ด้วยไคลอตอมไมต์ และซีโอลิเตอร์รัมชาติในถ้าถอยร้อยละ 60 ค่าการไหลแผ่มีแนวโน้มเพิ่มขึ้นที่อัตราส่วนของโซเดียมซิลิกเกตต่อโซเดียมไฮดรอกไซด์เท่ากับ 0.5 ถึง 1.5 เนื่องจากเป็นสัดส่วนที่มีปริมาณของถ้าถอยสูง ส่งผลให้มีแนวโน้มคล้ายกับการใช้ถ้าถอยล้วน ส่วนที่อัตราส่วนของโซเดียมซิลิกเกตต่อโซเดียมไฮดรอกไซด์เท่ากับ 2.0 ถึง 2.5

ค่าการไหลแผ่นแนวโน้มลดลง อาจเป็นผลเนื่องจากด้วยคุณสมบัติของวัสดุที่มีความพรุนสูงและเป็นอัตราส่วนที่มีปริมาณของโซเดียมซิลิกเกตมากทำให้ส่วนผสมมีความหนืดมากขึ้น

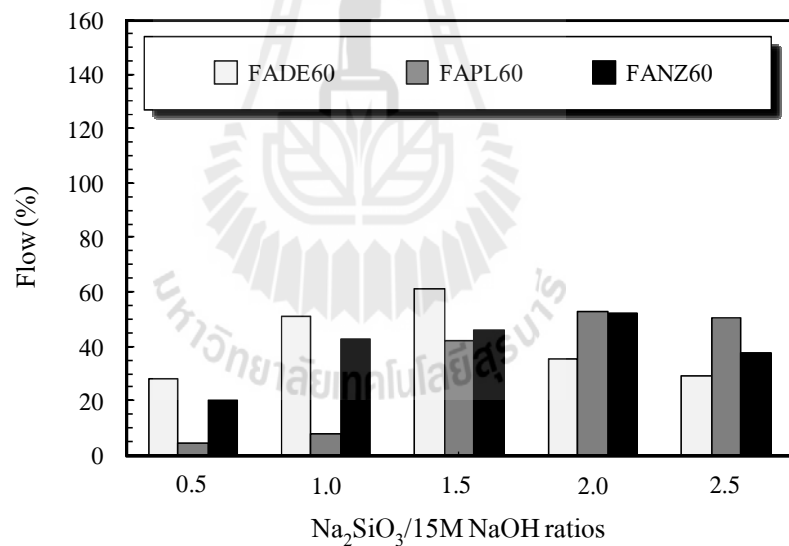


รูปที่ 4.11 ค่าการไหลแผ่นของจีโอโพลิเมอร์มอร์ต้าร์จากถ้าลองผสมเพอร์ไอลิต์ที่แปรผันตามผลกระทบของอัตราส่วนโซเดียมซิลิกเกตต่อโซเดียมไฮดรอกไซด์



รูปที่ 4.12 ค่าการไหลแผ่นของจีโอโพลิเมอร์มอร์ต้าร์จากถ้าลองผสมซีโอไอล์ต์ธรรมชาติที่แปรผันตามผลกระทบของอัตราส่วนโซเดียมซิลิกเกตต่อโซเดียมไฮดรอกไซด์

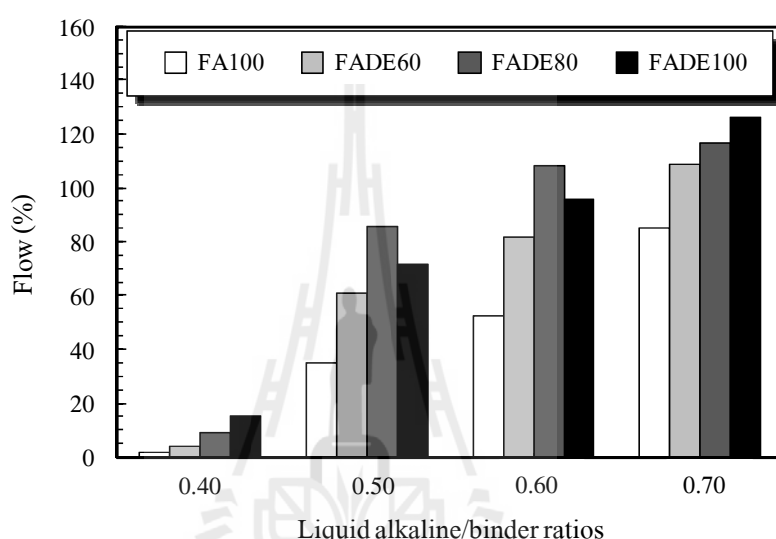
เมื่อพิจารณาเปรียบเทียบค่าการไหลแผ่นของจีโอโพลิเมอร์ตัวร์ที่การแทนที่ไดอะตومไนต์ เพอร์ไอล์ต์ และซีโอไอล์ต์ธรรมชาติในถ้วยอย่างละ 60 พบว่าอัตราส่วนโซเดียมซิลิกเกตต่อโซเดียมไฮดรอกไซด์ ($\text{Na}_2\text{SiO}_3/\text{NaOH}$ ratios) เท่ากับ 0.5-1.5 การแทนที่ด้วยโซเดียมซิลิกเกตต่อโซเดียมไฮดรอกไซด์ (Na₂SiO₃/NaOH ratios) มีค่าการไหลแผ่นสูงกว่าการแทนที่ด้วยเพอร์ไอล์ต์ ซึ่งการแทนที่ด้วยเพอร์ไอล์ต์มีค่าการไหลแผ่นที่น้อยกว่า 0.5-1.5 แต่เมื่อเพิ่มอัตราส่วนโซเดียมซิลิกเกตต่อโซเดียมไฮดรอกไซด์ ($\text{Na}_2\text{SiO}_3/\text{NaOH}$ ratios) เท่ากับ 2.0-2.5 ซึ่งเป็นอัตราส่วนที่มีปริมาณของโซเดียมไฮดรอกไซด์ในส่วนผสมน้อยลง จะมีอัตราการเกิดปฏิกิริยาที่ช้าลง พบว่าการแทนที่ด้วยเพอร์ไอล์ต์มีแนวโน้มของค่าการไหลแผ่นสูงที่สุด เมื่อเพิ่มอัตราการแทนที่ด้วยเพอร์ไอล์ต์มีลักษณะของอนุภาคน้ำที่กลมคล้ายกับถ้วยอย่างทึบ เป็นส่วนผสมที่มีปริมาณของเหลวมากขึ้น ส่งผลให้การแทนที่ด้วยเพอร์ไอล์ต์มีความเป็นเนื้อเดียวกันมากกว่าการแทนที่ไดอะตومไนต์และซีโอไอล์ต์ธรรมชาติ ดังแสดงในรูปที่ 4.13



รูปที่ 4.13 เปรียบเทียบค่าการไหลแผ่นของจีโอโพลิเมอร์ตัวร์ที่แบ่งตามผลกระทบของอัตราส่วนโซเดียมซิลิกเกตต่อโซเดียมไฮดรอกไซด์ ของการแทนที่ไดอะตومไนต์ เพอร์ไอล์ต์ และซีโอไอล์ต์ธรรมชาติในถ้วยอย่างละ 60

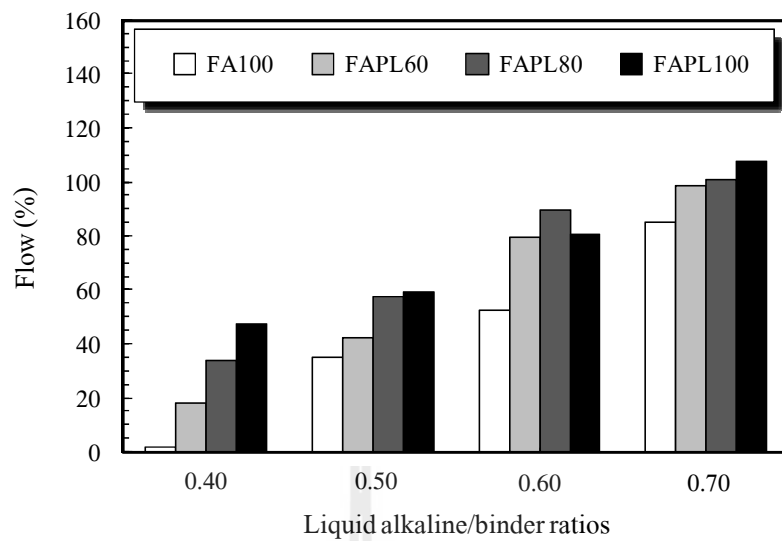
4.5.2 ผลกระทบของอัตราส่วนของเหลวต่อวัสดุประสาน

ผลการทดสอบแปรผันตามอัตราส่วนของเหลวต่อวัสดุประสาน (Liquid alkaline/binder ratios) ใช้ความความเข้มข้นของโซเดียมไฮดรอกไซด์ 15 โนลาร์ อัตราส่วนโซเดียมซิลิกเกตต่อโซเดียมไฮดรอกไซด์เท่ากับ 1.5 พนว่าอัตราส่วนของเหลวต่อวัสดุประสานและปริมาณการแทนที่ของไนโตรเจนไนต์ เพอร์ไอล์ต และซีโอไอล์ตธรรมชาติส่งผลต่อความสามารถทำงานได้ กล่าวคือความสามารถทำงานได้เพิ่มขึ้นเมื่ออัตราส่วนของเหลวต่อวัสดุประสานเพิ่มขึ้น

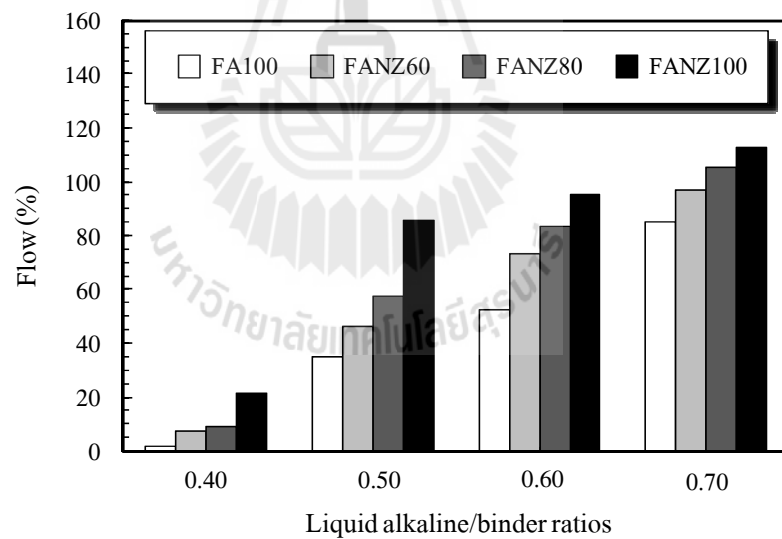


รูปที่ 4.14 ค่าการไหลแผ่นของจีโอโพลิเมอร์มอร์ต้าร์จากถ้าลอยผสมไนโตรเจนที่แปรผันตามผลกระทบของอัตราส่วนของเหลวต่อวัสดุประสาน

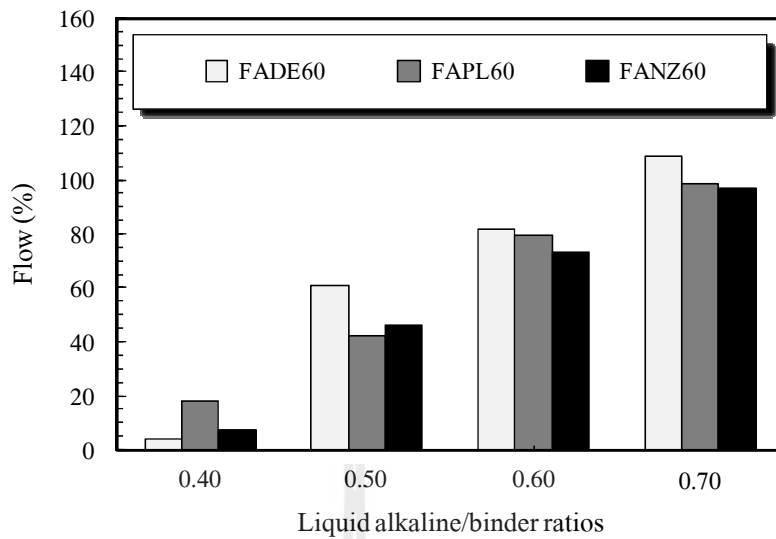
จากรูปที่ 4.14 ถึง 4.16 พนว่าค่าไหลแผ่นของจีโอโพลิเมอร์มอร์ต้าร์มีแนวโน้มเพิ่มขึ้นเมื่อปริมาณการแทนที่ไนโตรเจนไนต์ เพอร์ไอล์ต และซีโอไอล์ตธรรมชาติในถ้าลอยและอัตราส่วนของเหลวต่อวัสดุประสานมากขึ้น ซึ่งมีค่าการไหลแผ่นอยู่ในช่วงระหว่าง 4-126% ในทำนองเดียวกับอัตราส่วนน้ำต่อซีเมนต์ (Water/Cement ratio, W/C) ของคอนกรีตทั่วไป เมื่อพิจารณาที่อัตราส่วนของเหลวต่อวัสดุประสานเท่ากับ 0.40 การแทนที่ด้วยไนโตรเจนไนต์ เพอร์ไอล์ต และซีโอไอล์ตธรรมชาติทึ้งหมดปริมาณของเหลวไม่เพียงพอต่อความต้องการของส่วนผสม ทำให้ส่วนผสมไม่เป็นเนื้อเดียวกันส่งผลให้ค่าการไหลแผ่นมีค่าน้อยมาก ส่วนที่อัตราส่วนของเหลวต่อวัสดุประสานเท่ากับ 0.70 ส่วนผสมมีความเหลวมากส่งผลให้ค่าการไหลแผ่นสูง แต่เมื่อพิจารณาถึงกำลังอัดและงบประมาณ อัตราส่วนนี้ไม่เหมาะสมสำหรับการนำไปใช้งาน



รูปที่ 4.15 ค่าการไหลแผ่นของจีโอโพลิเมอร์ตัวร์จากเก้าออยพสมเพอร์ไอลต์ ที่แบร์เพนตามผลกระบทของอัตราส่วนของเหลวต่อวัสดุประสาน



รูปที่ 4.16 ค่าการไหลแผ่นของจีโอโพลิเมอร์ตัวร์จากเก้าออยพสมซีโอไอลต์ธรรมชาติ ที่แบร์เพนตามผลกระบทของอัตราส่วนของเหลวต่อวัสดุประสาน



รูปที่ 4.17 เปรียบเทียบค่าการไหลแผ่นของจีโอโพลิเมอร์ตัวร์ ที่ประกันตามผลกระบวนการอัตราส่วนของเหลวต่อวัสดุประสาน ของการแทนที่ไดอะtom ไม่ต์ เพอร์ไอล์ต และซีโอไอล์ตชาร์มชาติในถ้ําโลຍร้อยละ 60

เมื่อพิจารณาเปรียบเทียบค่าการไหลแผ่นของจีโอโพลิเมอร์ตัวร์ ที่การแทนที่ไดอะtom ไม่ต์ เพอร์ไอล์ต และซีโอไอล์ตชาร์มชาติในถ้ําโลຍร้อยละ 60 พบร่วมกับอัตราส่วนของเหลวต่อวัสดุประสานเท่ากับ 0.40 การแทนที่ด้วยเพอร์ไอล์ตมีแนวโน้มค่าการไหลแผ่นสูงที่สุด เมื่อจากไดอะtom ไม่ต์ และซีโอไอล์ตชาร์มชาติมีความพรุนมากกว่าเพอร์ไอล์ต ส่งผลให้มีความต้องการปริมาณของเหลวมากกว่า ดังนี้ส่วนผสมจึงค่อนข้างแห้งทำให้มีค่าการไหลแผ่นที่น้อย ส่วนที่อัตราส่วนของเหลวต่อวัสดุประสานเท่ากับ 0.50-0.70 การแทนที่ด้วยไดอะtom ไม่ต์มีแนวโน้มมีค่าการไหลแผ่นสูงที่สุด ดังแสดงในรูปที่ 4.17

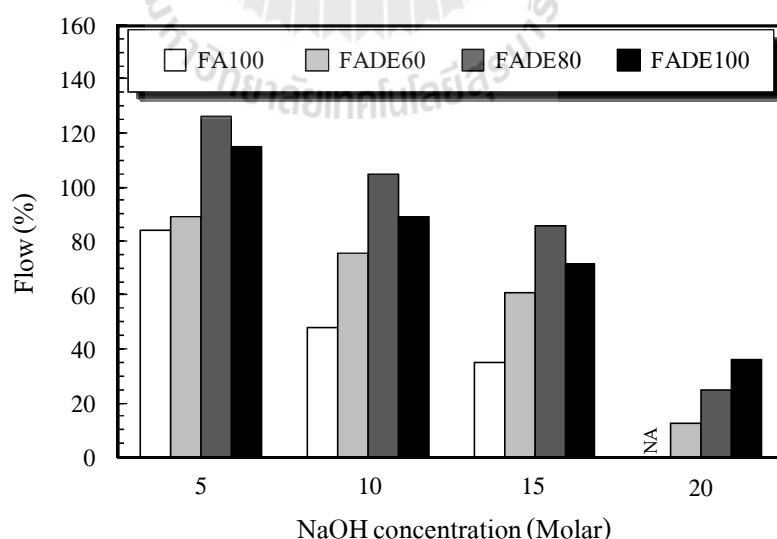
4.5.3 ผลกระทบของความเข้มข้นของโซเดียมไฮดรอกไซด์

ผลการทดสอบแปรผันตามความเข้มข้นของโซเดียมไฮดรอกไซด์ (NaOH concentration) ใช้อัตราส่วนโซเดียมซิลิกेटต่อโซเดียมไฮดรอกไซด์เท่ากับ 1.5 พบร่วมกับความเข้มข้นของโซเดียมไฮดรอกไซด์และปริมาณการแทนที่ของไดอะtom ไม่ต์ เพอร์ไอล์ต และซีโอไอล์ตชาร์มชาติในถ้ําโลຍล่างผลต่อความสามารถทำงานได้ กล่าวคือความสามารถทำงานได้มีแนวโน้มลดลงตามความเข้มข้นของโซเดียมไฮดรอกไซด์ที่สูงขึ้น

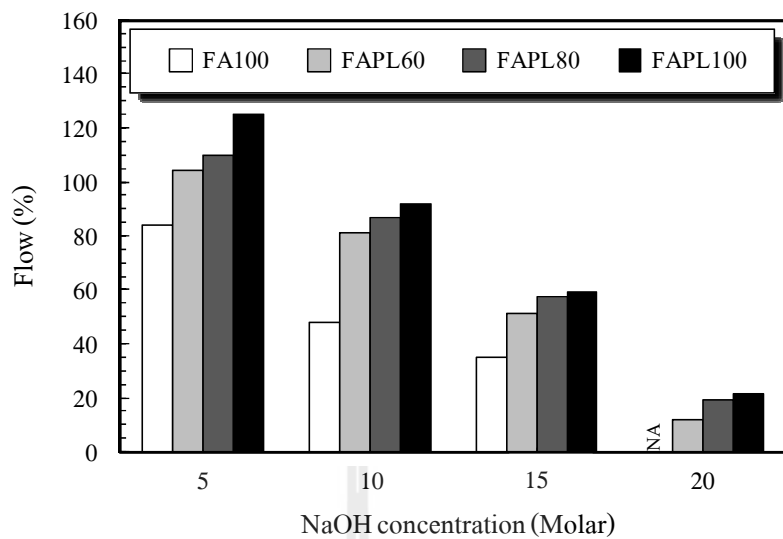
จากรูปที่ 4.18 ถึง 4.20 พบร่วมกับค่าการไหลแผ่นของจีโอโพลิเมอร์ตัวร์มีแนวโน้มเพิ่มขึ้นเมื่อปริมาณการแทนที่ไดอะtom ไม่ต์ เพอร์ไอล์ต และซีโอไอล์ตชาร์มชาติในถ้ําโลຍ นอกจากนี้ยังพบว่าค่าการไหลแผ่นลดลงเมื่อความเข้มข้นของโซเดียมไฮดรอกไซด์สูงขึ้น ซึ่งมีค่า

การไหลแผ่ออกในช่วงระหว่าง 12-126% เมื่อพิจารณาที่ความเข้มข้นของโซเดียมไฮดรอกไซด์เท่ากับ 5 โมลาร์ มีค่าการไหลแผ่สูงเมื่อเทียบกับความเข้มข้นของโซเดียมไฮดรอกไซด์อื่น ๆ อาจเนื่องจากความเข้มข้นของโซเดียมไฮดรอกไซด์ที่น้อยทำให้ความสามารถในการละลายของซิลิกาและอลูมินาออกมากจากวัสดุตั้งตันได้น้อย (Rattanasak, U., et al., 2009) อีกทั้งความเข้มข้นที่น้อยจะมีปริมาณของน้ำในส่วนผสมมาก ส่งผลให้ความสามารถทำงานได้เพิ่มขึ้นในทำงดีกว่ากับอัตราส่วนน้ำต่อซีเมนต์ (Water/Cement ratio, W/C) ที่สูงในงานคอนกรีตทั่วไป ส่วนที่ความเข้มข้นของโซเดียมไฮดรอกไซด์เท่ากับ 20 โมลาร์ ปริมาณการแทนที่ของไคลอตومไมต์ เพอร์ไอลิต และซิโอลายต์ธรรมชาติทั้งหมดมีค่าการไหลแผ่พอทำงานได้ ส่วนการแทนที่ถ้าลดลงทั้งหมดจะส่วนค่อนข้างผสมยาก เนื่องจากความเข้มข้นของโซเดียมไฮดรอกไซด์ที่สูง มีระยะเวลาการก่อตัวที่รวดเร็วส่งผลให้ไม่สามารถทดสอบค่าการไหลแผ่ได้

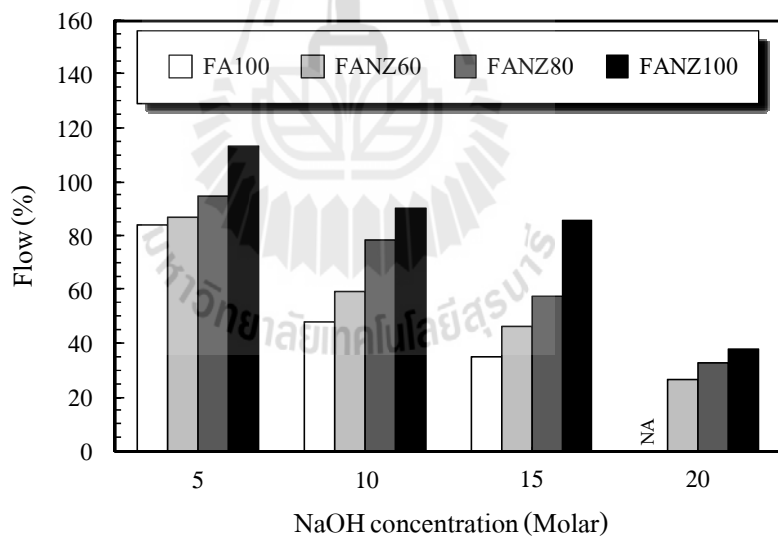
เมื่อพิจารณาเปรียบเทียบค่าการไหลแผ่ของจีโอ โอลิเมอร์มอร์ต้าร์ ที่การแทนที่ไดอะตومไนต์ เพอร์ไอลิต์ และซีโอ ไอลิต์ธรรมชาติในถ้วยอย่างละ 60 พบว่าความเข้มข้นของโซเดียมไฮดรอกไซด์เท่ากับ 5-15 มิลลาร์ การแทนที่ด้วยเพอร์ไอลิต์มีแนวโน้มค่าการไหลแผ่สูงที่สุด เนื่องจากลักษณะอนุภาคของเพอร์ไอลิต์ที่กลม ส่งผลให้ส่วนผสมมีความเป็นเนื้อเดียวกันมากกว่าไดอะตومไนต์และซีโอ ไอลิต์ธรรมชาติ ส่วนที่ความเข้มข้นของโซเดียมไฮดรอกไซด์เท่ากับ 20 มิลลาร์ การแทนที่ด้วยซีโอ ไอลิต์ธรรมชาติมีแนวโน้มมีค่าการไหลแผ่สูงที่สุด เนื่องจากซีโอ ไอลิต์-ธรรมชาติมีการทำปฏิกิริยาที่เรื่องช้า ส่งผลให้การแข็งตัวช้าที่สุด ดังแสดงในรูปที่ 4.21



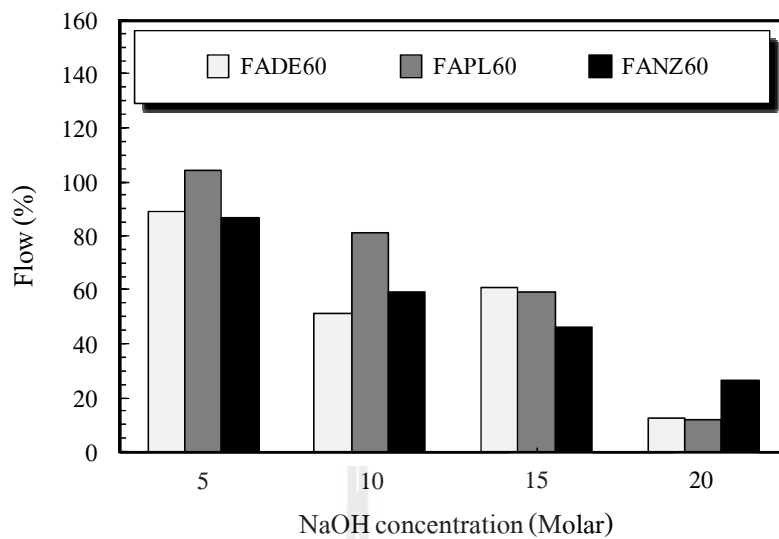
รูปที่ 4.18 ค่าการไหลดแผ่ของจีโอโพลิเมอร์มอร์ต้าร์จากถ้ําลอยผสมไดอะตอมไมต์ที่แปรผันตามผลกระทบของความเข้มข้นของโซเดียมไฮดรอกไซด์



รูปที่ 4.19 ค่าการไหลแผ่นของจีโอโพลิเมอร์มอร์ต้าร์จากถ้วยผสมสมเพอร์ไลต์ ที่ปรับผันตามผลกระบบทองความเข้มข้นของโซเดียมไฮดรอกไซด์



รูปที่ 4.20 ค่าการไหลแผ่นของจีโอโพลิเมอร์มอร์ต้าร์จากถ้วยผสมซีโอไลต์ธรรมชาติ ที่ปรับผันตามผลกระบบทองความเข้มข้นของโซเดียมไฮดรอกไซด์



รูปที่ 4.21 เปรียบเทียบค่าการไหลแผ่นของจีโอโพลิเมอร์ตัวร์ที่เปลี่ยนตามผลกระทบของความเข้มข้นของโซเดียมไฮดรอกไซด์ ของการแทนที่ไโคตอมไนต์ เพอร์ไอลต์ และซีโอไอลต์ธรรมชาติในถ้ําลอยร้อยละ 60

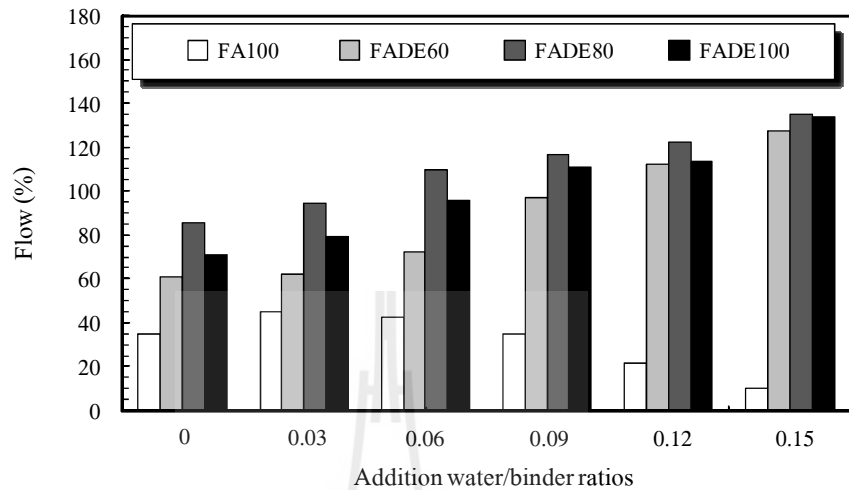
4.5.4 ผลกระทบของอัตราส่วนการเพิ่มปริมาณน้ำต่อวัสดุประสาน

ผลการทดสอบเปลี่ยนตามอัตราส่วนการเพิ่มปริมาณน้ำต่อวัสดุประสาน ใช้ความเข้มข้นของโซเดียมไฮดรอกไซด์ 15 มอลาร์ อัตราส่วนโซเดียมซิลิกเกตต่อโซเดียมไฮดรอกไซด์ เท่ากับ 1.5 พนว่าปริมาณการเพิ่มปริมาณน้ำในส่วนผสมและปริมาณการแทนที่ของไโคตอมไนต์ เพอร์ไอลต์ และซีโอไอลต์ธรรมชาติในถ้ําลอยสั่งผลความสามารถทำงานได้

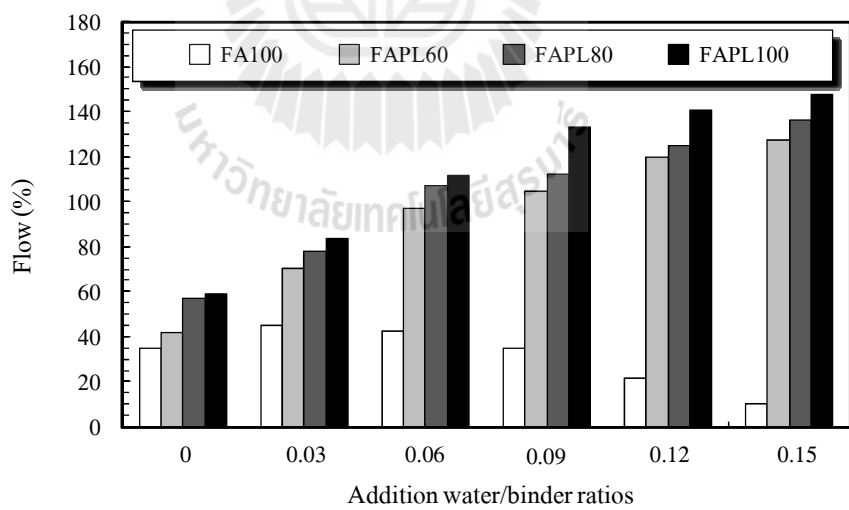
จากรูปที่ 4.22 ถึง 4.24 พนว่าค่าการไหลแผ่นของจีโอโพลิเมอร์ตัวร์มีแนวโน้มเพิ่มขึ้นเมื่อปริมาณการแทนที่ไโคตอมไนต์ เพอร์ไอลต์ และซีโอไอลต์ธรรมชาติในถ้ําลอย และปริมาณการเพิ่มปริมาณน้ำในส่วนผสมมากขึ้น ซึ่งมีค่าการไหลแผ่นอยู่ในช่วงระหว่าง 46-148% เมื่อพิจารณาที่การแทนที่ด้วยถ้ําลอยทั้งหมดมีค่าการไหลแผ่นเพิ่มขึ้นที่การเพิ่มปริมาณน้ำเท่ากับ 3% แต่หลังจากนั้นค่าการไหลแผ่นมีแนวโน้มลดลงเรื่อยๆ อาจเนื่องมาจากการเพิ่มปริมาณน้ำในส่วนผสมมีผลให้เกิดการทำปฏิกิริยาอิกกริ้งหนึ่งระหว่างน้ำกับโซเดียมไฮดรอกไซด์ส่งผลให้ส่วนผสมมีการแข็งตัวที่เร็วขึ้น

เมื่อพิจารณาเปรียบเทียบค่าการไหลแผ่นของจีโอโพลิเมอร์ตัวร์ที่การแทนที่ไโคตอมไนต์ เพอร์ไอลต์ และซีโอไอลต์ธรรมชาติในถ้ําลอยร้อยละ 60 พนว่าการเพิ่มปริมาณน้ำเท่ากับ 3-6% การแทนที่ด้วยเพอร์ไอลต์มีแนวโน้มค่าการไหลแผ่นสูงที่สุด และการเพิ่มปริมาณน้ำ

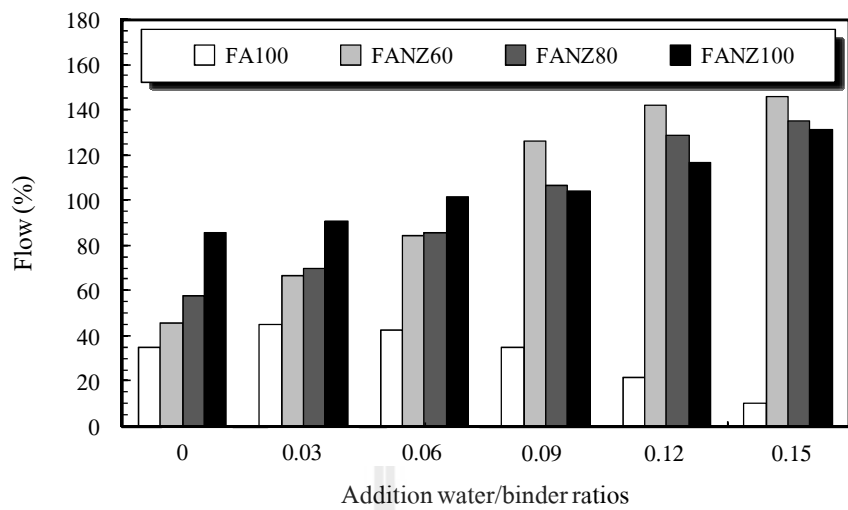
เท่ากับ 9-15% การแทนที่ด้วยซีโอล์ไอลต์ธรรมชาติมีแนวโน้มค่าการไหลแผ่สูงที่สุด ดังแสดงในรูปที่ 4.25



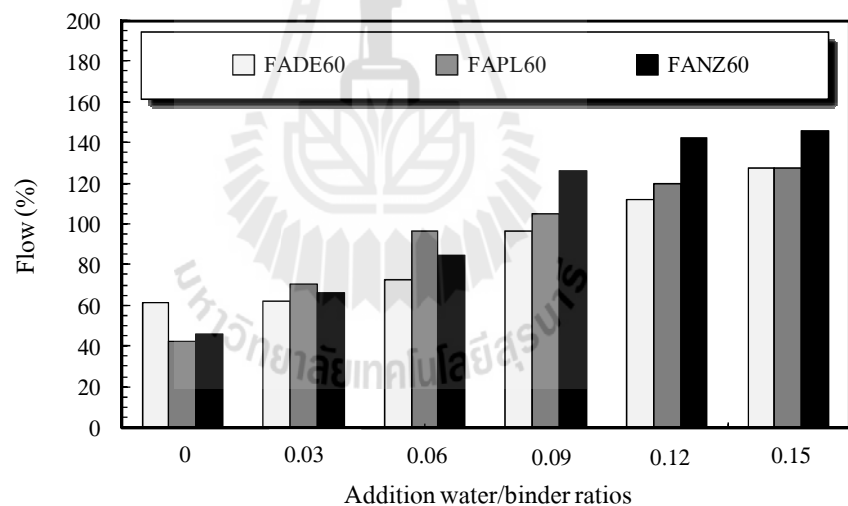
รูปที่ 4.22 ค่าการไหลแผ่ของจีโอล์พอลิเมอร์มอร์ต้าร์จากถ่านหินโดยผสมไฮดรอกไซด์โซเดียมที่เปลี่ยนตามผลกระทบของอัตราส่วนการเพิ่มปริมาณน้ำต่อวัสดุประสาน



รูปที่ 4.23 ค่าการไหลแผ่ของจีโอล์พอลิเมอร์มอร์ต้าร์จากถ่านหินโดยผสมโพล์ไฮด์ที่เปลี่ยนตามผลกระทบของอัตราส่วนการเพิ่มปริมาณน้ำต่อวัสดุประสาน



รูปที่ 4.24 ค่าการไหลแผ่ของจีโอโพลิเมอร์ตัวร์จากถ้าโลยสมชีโอลิตซ์ธรรมชาติที่ปรับผันตามผลกระทบของอัตราส่วนการเพิ่มปริมาณน้ำต่อวัสดุประสาน



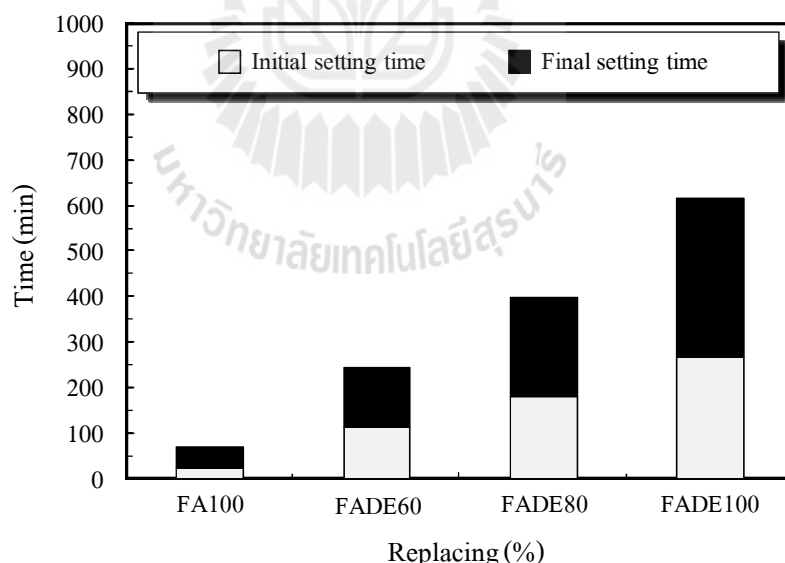
รูปที่ 4.25 เปรียบเทียบค่าการไหลแผ่ของจีโอโพลิเมอร์ตัวร์ที่ปรับผันตามผลกระทบของอัตราส่วนการเพิ่มปริมาณน้ำต่อวัสดุประสาน ของการแทนที่ไคลอตอมไมเนอร์ไลต์ และจีโอไลต์ธรรมชาติในถ้าโลยร้อยละ 60

4.6 คุณสมบัติด้านระยะเวลา ก่อตัวของจีโอโพลิเมอร์ตัวร์ต้าร์

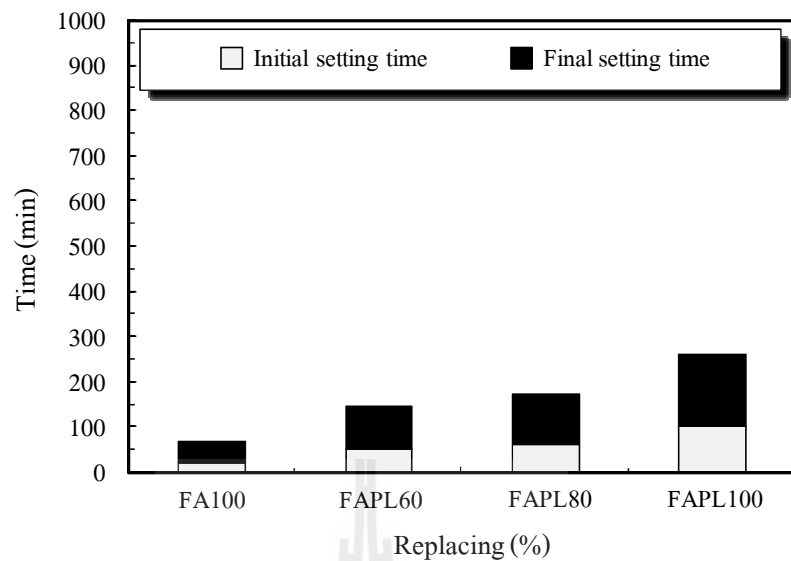
การทดสอบหาค่าระยะเวลา ก่อตัวเริ่มต้น (Initial setting time) และระยะเวลา ก่อตัวสุดท้าย (Final setting time) มีความสำคัญอย่างมาก เพื่อบ่งบอกถึงความสามารถทำงานได้ของจีโอโพลิเมอร์ นอกจากการทดสอบการให้แลกเปลี่ยนของจีโอโพลิเมอร์ตัวร์ต้าร์ การทดสอบจะใช้ความความเข้มข้นของโซเดียมไฮดรอกไซด์ 15 โมลาร์ อัตราส่วนโซเดียมซิลิกเกตต่อโซเดียมไฮดรอกไซด์เท่ากับ 1.5 อุณหภูมิการเร่งปฏิกิริยาเท่ากับ 75°C ซึ่งขั้นตอนการทดสอบครั้งนี้ทำการคัดแปลงจากมาตรฐาน ASTM C 191 (2008)

ผลการทดสอบพบว่าการแทนที่ด้วยถ้าโลยหั้งหมุดมีการระยะเวลา ก่อตัวที่รวดเร็ว ดังแสดงในรูปที่ 4.26 ถึง 4.28 ซึ่งมีระยะเวลา ก่อตัวเริ่มต้นและระยะเวลา ก่อตัวสุดท้ายเท่ากับ 25 และ 47 นาที ตามลำดับ

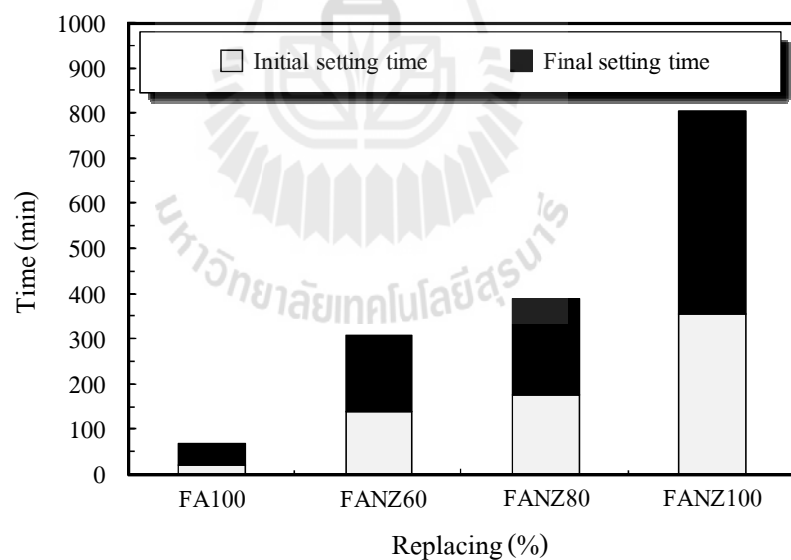
จากรูปที่ 4.26 ผลการทดสอบพบว่าระยะเวลา ก่อตัวของจีโอโพลิเมอร์ตัวร์ต้าร์จากถ้าโลยผสมไโคอะตومไม่มีระยะเวลา ก่อตัวเริ่มต้นของการแทนที่ไโคอะตอมไม่ในถ้าโลยร้อยละ 60 80 และ 100 เท่ากับ 115 183 และ 270 นาที ตามลำดับ ส่วนระยะเวลา ก่อตัวสุดท้ายของการแทนที่ไโคอะตอมไม่ในถ้าโลยร้อยละ 60 80 และ 100 เท่ากับ 132 217 และ 349 นาที ตามลำดับ



รูปที่ 4.26 ระยะเวลา ก่อตัวเริ่มต้นและระยะเวลา ก่อตัวสุดท้ายของจีโอโพลิเมอร์ตัวร์ต้าร์ จากถ้าโลยผสมไโคอะตอมไม่มี



รูปที่ 4.27 ระยะเวลา ก่อตัวเริ่มต้นและระยะเวลา ก่อตัวสุดท้ายของจีโอโพลิเมอร์ร์ต้าร์
จากเด็ก皂อยพสมเพอร์ไอลต์

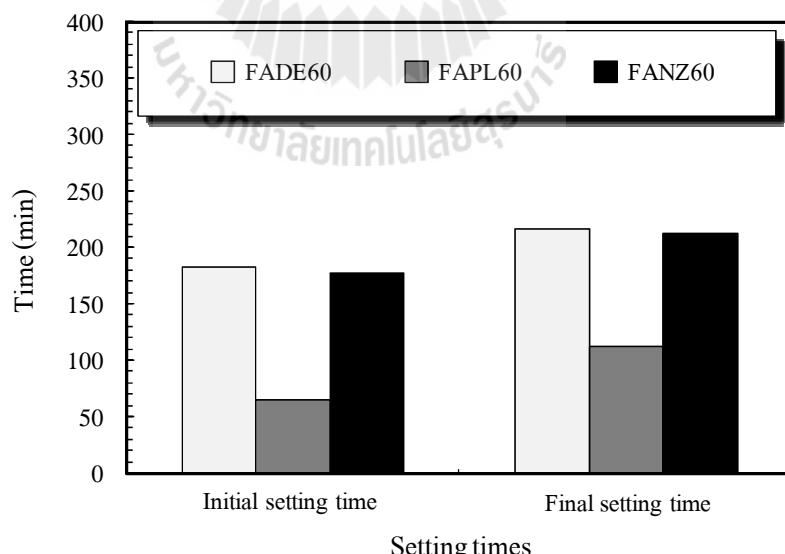


รูปที่ 4.28 ระยะเวลา ก่อตัวเริ่มต้นและระยะเวลา ก่อตัวสุดท้ายของจีโอโพลิเมอร์ร์ต้าร์
จากเด็ก皂อยพสมซีโอไอลต์ธรรมชาติ

จากรูปที่ 4.27 พนว่าระยะเวลา ก่อตัวของจีโอ โพลิเมอร์มอร์ต้าร์จากถ้าโลยผสมเพอร์ไอล์ต มีระยะเวลา ก่อตัวเริ่มต้นของการแทนที่เพอร์ไอล์ตในถ้าโลยร้อยละ 60 80 และ 100 เท่ากับ 142 178 และ 357 นาที ตามลำดับ ส่วนระยะเวลา ก่อตัวสุดท้ายของการแทนที่เพอร์ไอล์ตในถ้าโลย ร้อยละ 60 80 และ 100 เท่ากับ 169 213 และ 449 นาที ตามลำดับ

จากรูปที่ 4.28 พนว่าระยะเวลา ก่อตัวของจีโอ โพลิเมอร์มอร์ต้าร์จากถ้าโลยผสม ซีโอไอล์ตธรรมชาติ มีระยะเวลา ก่อตัวเริ่มต้นของการแทนที่ซีโอไอล์ตธรรมชาติในถ้าโลยร้อยละ 60 80 และ 100 เท่ากับ 55 65 และ 105 นาที ตามลำดับ ส่วนระยะเวลา ก่อตัวสุดท้ายของการแทนที่ซีโอไอล์ตธรรมชาติในถ้าโลยร้อยละ 60 80 และ 100 เท่ากับ 93 112 และ 158 นาที ตามลำดับ

เมื่อพิจารณาผลการทดสอบระยะเวลา ก่อตัวของจีโอ โพลิเมอร์มอร์ต้าร์พบว่าการแทนที่ด้วย ไดอะตอม ไมต์ เพอร์ไอล์ต และซีโอไอล์ตธรรมชาติ ในส่วนผสมพบว่าสามารถยึดระยะเวลา ก่อตัว เริ่มต้นและระยะเวลา ก่อตัวสุดท้ายมากขึ้น เมื่อเปรียบเทียบกับการแทนที่ด้วยถ้าโลยทั้งหมด จากงานวิจัย Hardjito et al. (2008) ได้ทำการศึกษาเรื่อง Strength and setting time of low calcium fly ash based geopolymer mortar โดยในการศึกษาใช้ถ้าโลยเป็นวัสดุประสาน พนว่า มีระยะเวลา ก่อตัวเริ่มต้นและระยะเวลา ก่อตัวสุดท้ายเท่ากับ 129 และ 270 นาที ซึ่งการศึกษางานวิจัย ครั้นนี้ มีระยะเวลา ก่อตัวเริ่มต้นและระยะเวลา ก่อตัวสุดท้ายเร็วกว่ามาก ซึ่งอาจเป็นผลเนื่องจากการใช้ แหล่งที่มาของวัสดุที่แตกต่างกัน (Nguyen Van Chanh, et al., 2008)



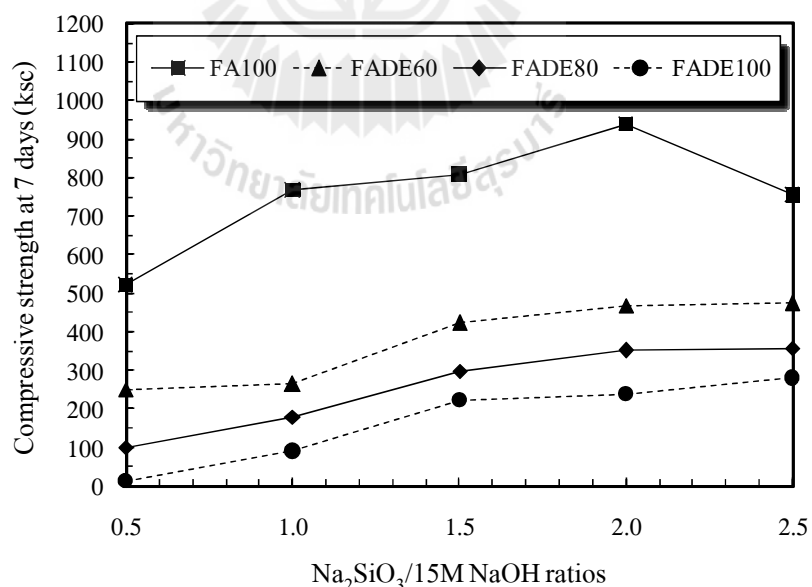
รูปที่ 4.29 เปรียบเทียบระยะเวลา ก่อตัวเริ่มต้นและระยะเวลา ก่อตัวสุดท้าย ของจีโอ โพลิเมอร์มอร์ต้าร์ ของการแทนที่ไดอะตอม ไมต์ เพอร์ไอล์ต และซีโอไอล์ตธรรมชาติ ในถ้าโลยร้อยละ 60

เมื่อพิจารณาเปรียบเทียบระยะเวลา ก่อตัวเริ่มต้น และระยะเวลา ก่อตัวสุดท้ายของ จีโอโพลิเมอร์มอร์ต้าร์ การแทนที่ไนโตรมอนีต์ เพอร์ไอล็อก และซีโอลิคต์ชั้รมชาติในเก้าออย ร้อยละ 60 พบว่า การแทนที่ด้วยเพอร์ไอล็อก ในส่วนผสมมีระยะเวลา ก่อตัวเริ่มต้น และระยะเวลา ก่อตัวสุดท้ายรวดเร็วที่สุด ส่วนการแทนที่ด้วยไนโตรมอนีต์ และซีโอลิคต์ชั้รมชาติ มีระยะเวลา ก่อตัวเริ่มต้น และระยะเวลา ก่อตัวสุดท้ายใกล้เคียงกันมาก โดยมีระยะเวลา ก่อตัวเริ่มต้น มากกว่า 2.09 และ 2.58 เท่าของ การแทนที่ด้วยเพอร์ไอล็อก และระยะเวลา ก่อตัวสุดท้ายน้ำหนักกว่า 1.42 และ 1.82 เท่าของ การแทนที่ด้วยเพอร์ไอล็อก ดังแสดงในรูปที่ 4.29

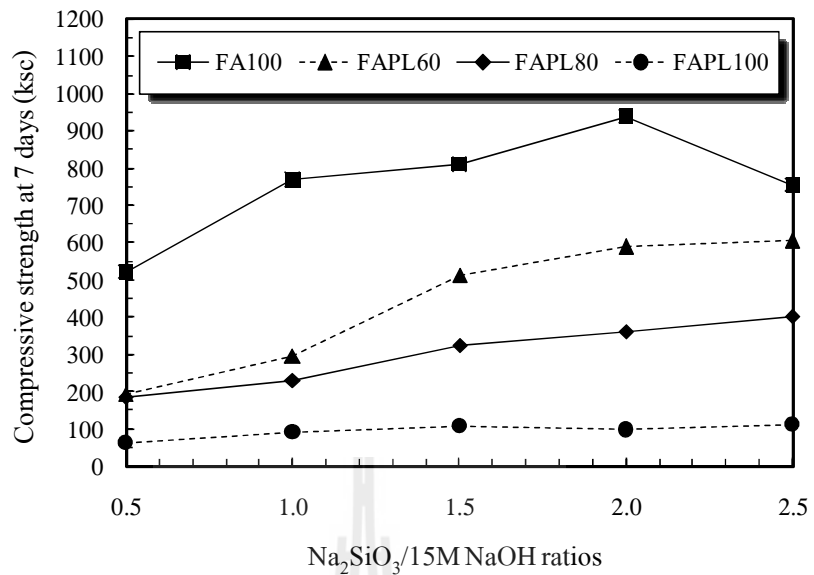
4.7 คุณสมบัติด้านกำลังอัดของจีโอโพลิเมอร์มอร์ต้าร์

4.7.1 ผลกระทบของอัตราส่วนโซเดียมซิลิกเกตต่อโซเดียมไฮดรอกไซด์

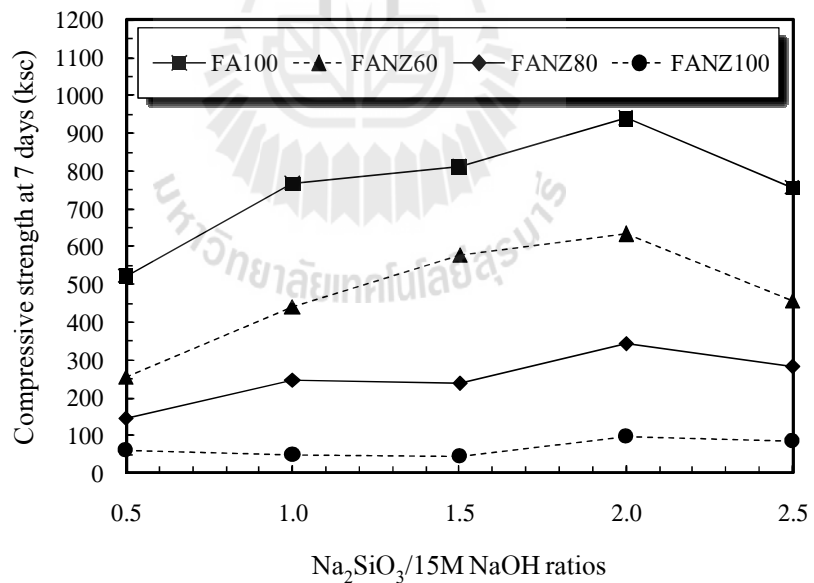
ผลการทดสอบแปรผันตามอัตราส่วนโซเดียมซิลิกเกตต่อโซเดียมไฮดรอกไซด์ ($\text{Na}_2\text{SiO}_3/\text{NaOH}$ ratios) ใช้ความความเข้มข้นของโซเดียมไฮดรอกไซด์ 15 มิลลิลิตร อุณหภูมิการเร่งปฏิกิริยา 75°C ทดสอบกำลังอัดที่ระยะการบ่ม 7 วัน พบว่า ปริมาณของโซเดียมซิลิกเกตในส่วนผสม และปริมาณการแทนที่ของไนโตรมอนีต์ เพอร์ไอล็อก และซีโอลิคต์ชั้รมชาติในเก้าออยส่งผลต่อ กำลังอัด



รูปที่ 4.30 ค่ากำลังอัดของจีโอโพลิเมอร์มอร์ต้าร์จากเก้าออยผสมไนโตรมอนีต์ที่แปรผันตามผลกระทบของอัตราส่วนโซเดียมซิลิกเกตต่อโซเดียมไฮดรอกไซด์



รูปที่ 4.31 ค่ากำลังอัดของจีโอ โพลิเมอร์ที่ได้จากการถ่ายทอดสมเพอร์ไอล์ท ที่แบร์พันตามผลกราฟของอัตราส่วนโซเดียมซิลิกเกตต่อโซเดียมไฮดรอกไซด์



รูปที่ 4.32 ค่ากำลังอัดของจีโอ โพลิเมอร์ที่ได้จากการถ่ายทอดสมชีโอ ไลด์ชาร์มชาติที่แบร์พันตามผลกราฟของอัตราส่วนโซเดียมซิลิกเกตต่อโซเดียมไฮดรอกไซด์

จากรูปที่ 4.30 พบร่วมกับกำลังอัดของจีโวโพลิเมอร์ตัวร์จากถ้าลองสมใจจะต่อมไม่มีความเหมาะสมที่อัตราส่วนโซเดียมซิลิกเกตต่อโซเดียมไฮดรอกไซด์เท่ากับ 1.5-2.5 ปริมาณการแทนที่ร้อยละ 60 และ 80 มีกำลังอัดระหว่าง 299-474 ksc เมื่อพิจารณากำลังอัดและความสามารถทำงานได้พบว่าภาวะที่ดีที่สุดคืออัตราส่วนโซเดียมซิลิกเกตต่อโซเดียมไฮดรอกไซด์เท่ากับ 2.0 ปริมาณการแทนที่ร้อยละ 60 ให้กำลังอัดเท่ากับ 468 ksc และค่าการไหลแผ่เท่ากับ 35%

จากรูปที่ 4.31 พบร้าค่ากำลังอัดของจีโอโพลิเมอร์ตัวร์จากถ้าลองสมเพอร์ไอล์มีความเหมาะสมที่อัตราส่วนโซเดียมซิลิกเกตต่อโซเดียมไฮดรอกไซด์เท่ากับ 1.5-2.5 ปริมาณการแทนที่ร้อยละ 60 และ 80 มีกำลังอัดระหว่าง 326-605 ksc เมื่อพิจารณากำลังอัดและความสามารถทำงานได้พบว่าภาวะที่ดีที่สุดคืออัตราส่วนโซเดียมซิลิกเกตต่อโซเดียมไฮดรอกไซด์เท่ากับ 2.0 ปริมาณการแทนที่ร้อยละ 60 ให้กำลังอัดเท่ากับ 605 ksc และค่าการไหลแผ่เท่ากับ 52%

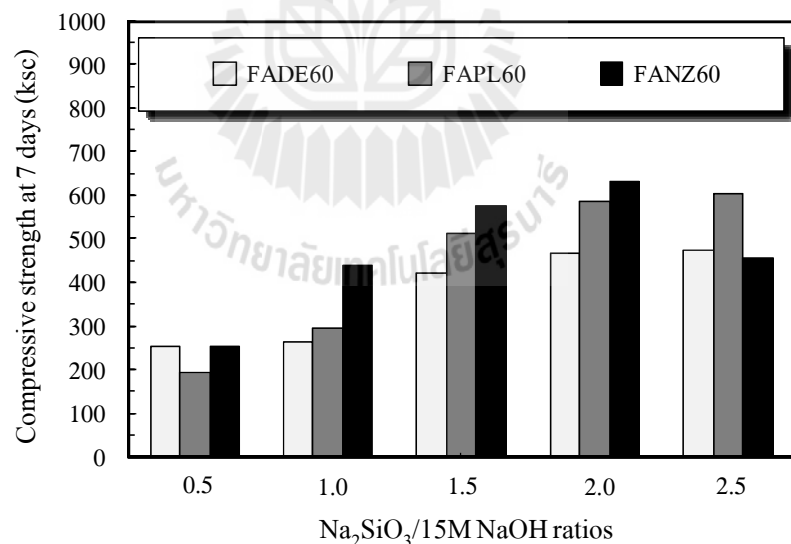
จากรูปที่ 4.32 พบว่าค่ากำลังอัดของจีโอโพร็อกซิเมอร์มอร์ต้าร์จากถ้วยอย่างสมบูรณ์จะลดลงเมื่อเพิ่มปริมาณการแทนที่ร้อยละ 60 และ 80 มีกำลังอัดระหว่าง 239-632 ksc เมื่อพิจารณาค่ากำลังอัดและความสามารถทำงานได้พบว่าภาวะที่ดีที่สุดคืออัตราส่วนโโซเดียมซิลิกเกตต่อโโซเดียมไฮดรอกไซด์เท่ากับ 1.0-2.0 ปริมาณการแทนที่ร้อยละ 60 และ 80 มีกำลังอัดระหว่าง 239-632 ksc เมื่อพิจารณาค่ากำลังอัดและความสามารถทำงานได้พบว่าภาวะที่ดีที่สุดคืออัตราส่วนโโซเดียมซิลิกเกตต่อโโซเดียมไฮดรอกไซด์เท่ากับ 2.0 ปริมาณการแทนที่ร้อยละ 60 ให้กำลังอัดเท่ากับ 632 ksc และค่าการไหลแผ่นเท่ากับ 53%

เมื่อพิจารณาที่อัตราส่วนโซเดียมซิลิกเกตต่อโซเดียมไฮดรอกไซด์เท่ากับ 0.5 การแทนที่ด้วยไคลอะตอนไมม์ เพอร์ไอล์ต และซีโวไอล์ตธรรมชาติทึ้งหมดมีค่ากำลังอัดค่า ส่วนการแทนที่ด้วยถ้าถือทึ้งหมดพบว่าการผสมค่อนข้างยากและการหล่ออมอร์ต้าร์ลงแบบยกส่งผลให้ได้กำลังอัดค่าเมื่อเทียบกับอัตราส่วนอื่น ๆ ส่วนที่อัตราส่วนโซเดียมซิลิกเกตต่อโซเดียมไฮดรอกไซด์เท่ากับ 2.5 การแทนที่ด้วยไคลอะตอนไมม์ เพอร์ไอล์ต และซีโวไอล์ตธรรมชาติทึ้งหมดมีค่ากำลังอัดที่ดีแต่เมื่อพิจารณาถึงความสามารถทำงานได้จะมีค่าไนลอนแพที่พอทำงานได้ เนื่องจากปริมาณของโซเดียมซิลิกเกต (Na_2SiO_3) ที่มากขึ้นทำให้ส่วนผสมมีความหนืดมากขึ้น

นอกจากนั้นยังพบว่าที่อัตราส่วนโซเดียมชิลิกेटต่อโซเดียมไฮดรอกไซด์เท่ากับ 2.5 การแทนที่ด้วยซีโอลิตธรรมชาติในถ้าโลຍร้อยละ 60 และ 80 กำลังอัดมีแนวโน้มลดลงเมื่อเปรียบเทียบกับอัตราส่วนโซเดียมชิลิกेटต่อโซเดียมไฮดรอกไซด์เท่ากับ 2.0 ในทำนองเดียวกันกับการใช้ถ้าโลຍทึ่งหมดในส่วนผสม จากการวิจัยของ Songpiriyakij et al. (2010) ได้ให้ข้อสรุปไว้ว่า การใช้อัตราส่วนโซเดียมชิลิกेटต่อโซเดียมไฮดรอกไซด์โดยน้ำหนักที่มากขึ้น ไม่ได้ทำให้สารตั้งต้นทำปฏิกิริยามากขึ้น แต่ทำให้สามารถรับกำลังอัดได้มากขึ้น แต่กำลังอัดนั้นยังขึ้นอยู่กับคุณสมบัติในการทำปฏิกิริยาของวัสดุตั้งต้นด้วย และการเพิ่มขึ้นปริมาณของเหลวในส่วนผสมทำให้มีจำนวนของโพรงมากขึ้น ส่งผลให้วัสดุตั้งต้นที่มีการทำปฏิกิริยารวดเร็วจะมีการทำปฏิกิริยาระหว่างวัสดุตั้งต้นและสารละลายไม่หมด จึงมีลักษณะเป็นโพรงซึ่งส่งผลกระทบโดยตรงต่อ

กำลังอัดที่มีแนวโน้มลดลง เมื่อพิจารณาการแทนที่ด้วยไคลอตอมไมต์และเพอร์ไอลต์กำลังอัดมีแนวโน้มสูงขึ้นตามปริมาณของโซเดียมซิลิกेट (Na_2SiO_3) ในส่วนผสมที่มากขึ้น (Harjito, D., et al., 2008) จากเหตุผลข้างต้นสามารถสรุปได้ว่าอิทธิพลของปริมาณโซเดียมซิลิกे�ตต่อโซเดียมไฮดรอกไซด์เป็นอีกปัจจัยหนึ่งที่มีผลต่อค่ากำลังอัด เนื่องจากโซเดียมซิลิกे�ตเป็นตัวเพิ่มปริมาณซิลิกอนออกไซด์ (SiO_2) แก่ส่วนผสม ส่วนโซเดียมไฮดรอกไซด์จะทำหน้าที่ชะເອາຊิลิก และอลูมินาออกมาจากสารตั้งต้น เพื่อให้ก่อตัวเป็นสารประกอบเจือโพลิเมอร์ ดังนั้นแนวโน้มของปริมาณของโซเดียมซิลิกे�ตที่น้อยมีผลให้กำลังอัดของเจือโพลิเมอร์ลดลงในทำนองเดียวกันปริมาณโซเดียมซิลิกे�ตในส่วนผสมที่สูงมีผลให้กำลังอัดสูงขึ้น

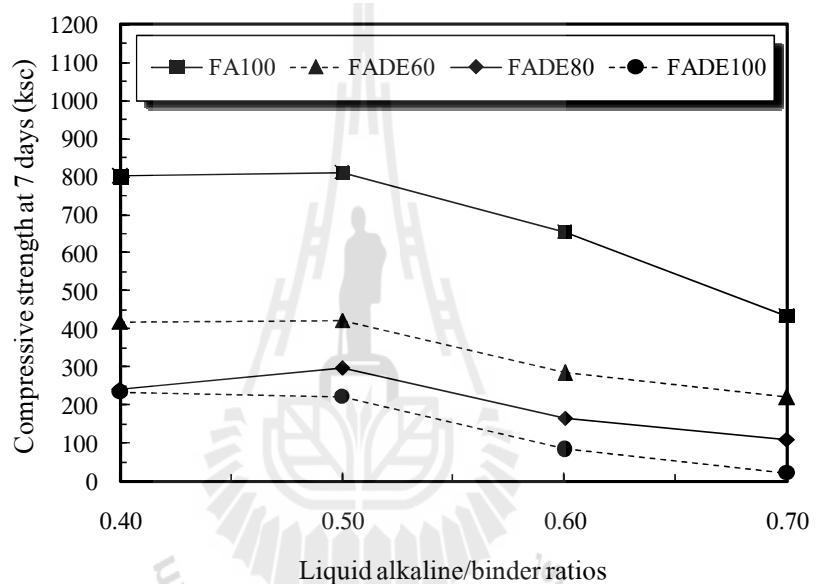
เมื่อพิจารณาเปรียบเทียบกำลังอัดของเจือโพลิเมอร์ตัวร์ที่ระยะเวลาการบ่ม 7 วัน การแทนที่ไคลอตอมไมต์ เพอร์ไอลต์ และซีโอไอลต์ธรรมชาติในถ้วยอย่างละ 60 พบว่าการแทนที่ด้วยซีโอไอลต์ธรรมชาติมีแนวโน้มให้ค่ากำลังอัดสูงที่สุด ซึ่งเมื่อพิจารณาที่อัตราส่วนโซเดียมซิลิกे�ตต่อโซเดียมไฮดรอกไซด์เท่ากับ 1.5 พบว่าการแทนที่ด้วยซีโอไอลต์ธรรมชาติมีกำลังอัดมากกว่าการแทนที่ด้วยไคลอตอมไมต์ และเพอร์ไอลต์เท่ากับร้อยละ 36.27 และ 12.65 ตามลำดับ ดังแสดงในรูปที่ 4.33



รูปที่ 4.33 เปรียบเทียบค่ากำลังอัดของเจือโพลิเมอร์ตัวร์ที่แบร์เพนตามผลกระทบของอัตราส่วนโซเดียมซิลิกे�ตต่อโซเดียมไฮดรอกไซด์ ของการแทนที่ไคลอตอมไมต์ เพอร์ไอลต์ และซีโอไอลต์ธรรมชาติในถ้วยอย่างละ 60

4.7.2 ผลกระทบของอัตราส่วนของเหลวต่อวัสดุประสาน

ผลการทดสอบแปรผันตามอัตราส่วนของเหลวต่อวัสดุประสาน (Liquid alkaline /binder ratios) ใช้ความความเข้มข้นของโซเดียมไฮดรอกไซด์ 15 โนมาร์ อัตราส่วนโซเดียมซิลิกเกต ต่อโซเดียมไฮดรอกไซด์เท่ากับ 1.5 อุณหภูมิการเร่งปฏิกิริยา 75°C ทดสอบกำลังอัดที่ระยะเวลา 7 วัน พนบว่าอัตราส่วนของเหลวต่อวัสดุประสานและปริมาณการแทนที่ของไ/doctom ไม่มี เพอร์ไอล์ต และซีโอล์ตชรร์มชาติในถ้าลดลงส่งผลกระทบต่อกำลังอัด กล่าวคืออัตราส่วนของเหลวต่อวัสดุประสานเพิ่มขึ้นกำลังอัดมีค่าลดลง

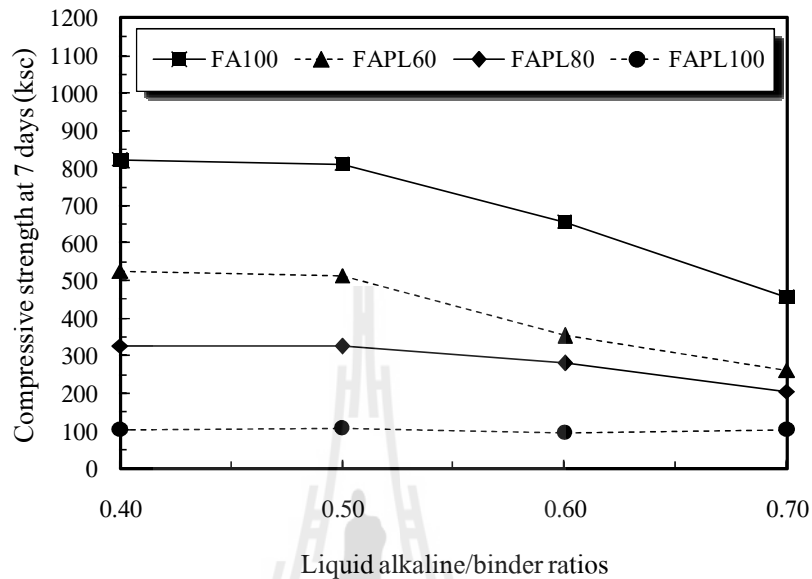


รูปที่ 4.34 ค่ากำลังอัดของจีโอโพลิเมอร์ตัวร์จากถ้าลดลงสมไ/doctom ไม่มี ที่แปรผันตามผลกระทบของอัตราส่วนของเหลวต่อวัสดุประสาน

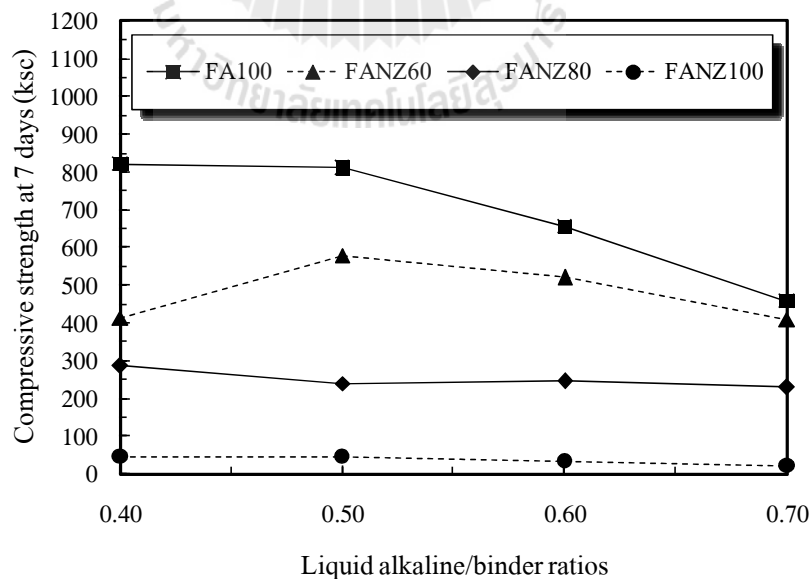
จากรูปที่ 4.34 พนบว่าค่ากำลังอัดของจีโอโพลิเมอร์ตัวร์จากถ้าลดลงสมไ/doctom ไม่มีความเหมาะสมที่อัตราส่วนของเหลวต่อวัสดุประสานเท่ากับ 0.50 ปริมาณการแทนที่ร้อยละ 60 และ 80 มีกำลังอัดระหว่าง 299-424 ksc เมื่อพิจารณากำลังอัดและความสามารถทำงานได้พบว่าภาวะที่ดีที่สุดคืออัตราส่วนของเหลวต่อวัสดุประสานเท่ากับ 0.50 ปริมาณการแทนที่ร้อยละ 60 ให้กำลังอัดเท่ากับ 424 ksc และค่าการ ไฟล์เพร์เท่ากับ 61%

จากรูปที่ 4.35 พนบว่าค่ากำลังอัดของจีโอโพลิเมอร์ตัวร์จากถ้าลดลงสมเพอร์ไอล์ต มีความเหมาะสมที่อัตราส่วนของเหลวต่อวัสดุประสานเท่ากับ 0.50-0.60 ปริมาณการแทนที่ร้อยละ 60 และ 80 มีกำลังอัดระหว่าง 281-513 ksc เมื่อพิจารณากำลังอัดและความสามารถ

ทำงานได้พบว่าภาวะที่ดีที่สุดคืออัตราส่วนของเหลวต่อวัสดุประสานเท่ากับ 0.50 ปริมาณการแทนที่ร้อยละ 60 ให้กำลังอัดเท่ากับ 513 ksc และค่าการไหลดแผ่นเท่ากับ 42%



รูปที่ 4.35 ค่ากำลังอัดของจีโอโพลิเมอร์มอร์ต้าร์จากถ่านอยผสานเพอร์ไอล์ต์ ที่แบร์พันตามผลกราฟของอัตราส่วนของเหลวต่อวัสดุประสาน

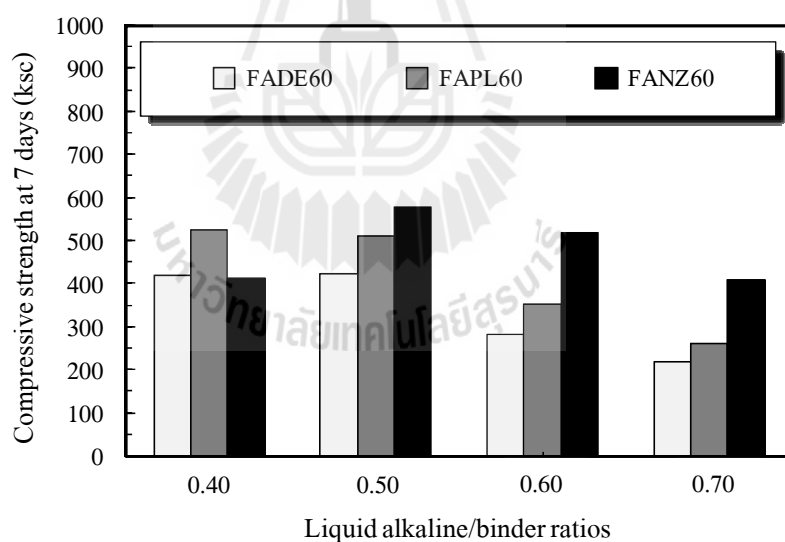


รูปที่ 4.36 ค่ากำลังอัดของจีโอโพลิเมอร์มอร์ต้าร์จากถ่านอยผสานซีโอไอล์ต์ธรรมชาติ ที่แบร์พันตามผลกราฟของอัตราส่วนของเหลวต่อวัสดุประสาน

จากรูปที่ 4.36 พบว่าค่ากำลังอัดของจีโอ โพลิเมอร์ตัวร์จากถ้วยผสมซีโอ ไอล์ต์ธรรมชาติมีความเหมาะสมที่อัตราส่วนของเหลวต่อวัสดุประสานเท่ากับ 0.50-0.60 ปริมาณการแทนที่ร้อยละ 60 และ 80 มีกำลังอัดระหว่าง 240-577 ksc เมื่อพิจารณาค่ากำลังอัดและความสามารถทำงานได้พบว่าภาวะที่ดีที่สุดคืออัตราส่วนของเหลวต่อวัสดุประสานเท่ากับ 0.50 ปริมาณการแทนที่ร้อยละ 60 ให้กำลังอัดเท่ากับ 577 ksc และค่าการไหลดแผ่เท่ากับ 46%

เมื่อพิจารณาที่อัตราส่วนของเหลวต่อวัสดุประสานเท่ากับ 0.40 ส่วนผสมค่อนข้างแท้บมาก ไม่เป็นเนื้อเดียวกันและยากต่อการหล่อตัวอย่างส่งผลให้มีกำลังอัดต่ำ ส่วนที่อัตราส่วนของเหลวต่อวัสดุประสานเท่ากับ 0.70 ส่วนผสมมีความเหลวมากอีกทั้งกำลังมีค่าต่ำ เมื่อพิจารณาถึงกำลังอัดและงบประมาณ อัตราส่วนของเหลวต่อวัสดุประสานนี้ไม่เหมาะสมในการนำไปใช้งาน

นอกจากนี้จากการวิจัย Bakharev (2006) and Sathonsaowaphak et al. (2009) ได้มีการให้ข้อสรุปไว้ว่าการเพิ่มขึ้นของสารละลายในส่วนผสมทำให้เกิดโพรงที่มีขนาดใหญ่ขึ้น และมีจำนวนโพรงที่มากขึ้น จึงส่งผลให้กำลังอัดน้อยลงในทำนองเดียวกับอัตราส่วนน้ำต่อซีเมนต์ (Water/Cement ratio, W/C) ของคอนกรีตทั่วไป

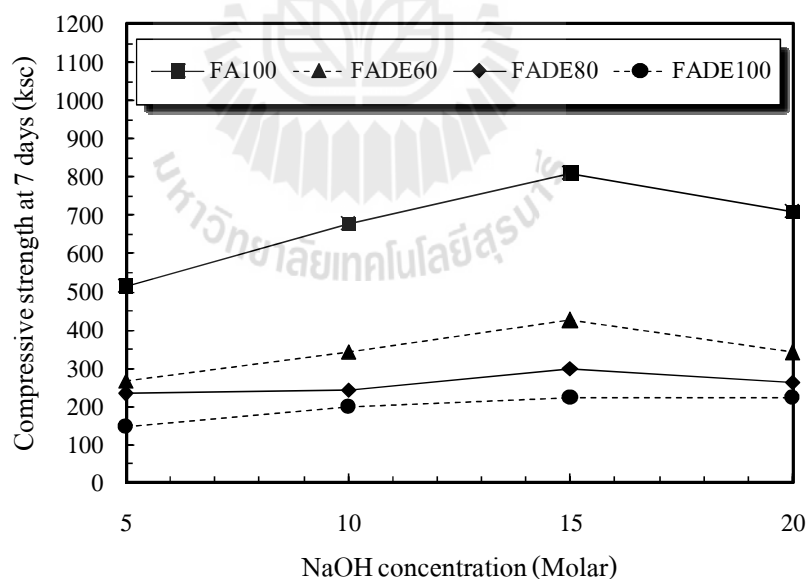


รูปที่ 4.37 เปรียบเทียบค่ากำลังอัดของจีโอ โพลิเมอร์ตัวร์ ที่แบร์พันตามผลกระทบของอัตราส่วนของเหลวต่อวัสดุประสาน ของการแทนที่ไอล์ต์คอมไนต์ เพอร์ไอล์ต์ และซีโอ ไอล์ต์ธรรมชาติในถ้วยร้อยละ 60

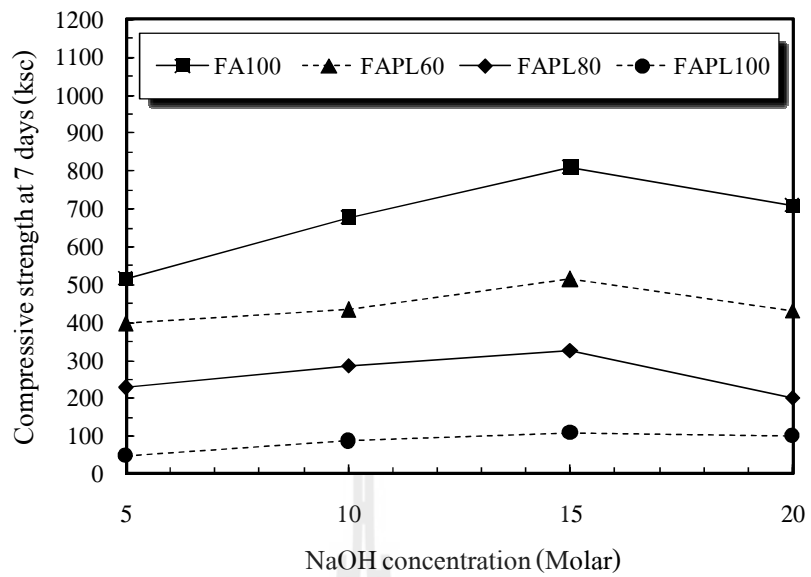
เมื่อพิจารณาเปรียบเทียบค่ากำลังอัดของจีโอโพลิเมอร์ตัวร์ที่ระยะเวลาการบ่ม 7 วัน การแทนที่ไโคะตومไนต์ เพอร์ไอล์ต์ และซีโอไอล์ต์ธรรมชาติในถ้าถอยร้อยละ 60 พ布ว่าการแทนที่ด้วยซีโอไอล์ต์ธรรมชาติมีแนวโน้มให้ค่ากำลังอัดสูงที่สุด ซึ่งเมื่อพิจารณาที่อัตราส่วนของเหลวต่อวัสดุประสานเท่ากับ 0.50 พ布ว่าการแทนที่ด้วยซีโอไอล์ต์ธรรมชาติมีกำลังอัดมากกว่าการแทนที่ด้วยไโคะตومไนต์ และเพอร์ไอล์ต์เท่ากับร้อยละ 36.27 และ 12.65 ตามลำดับ ดังแสดงในรูปที่ 4.37

4.7.3 ผลกระทบของความเข้มข้นของโซเดียมไฮดรอกไซด์

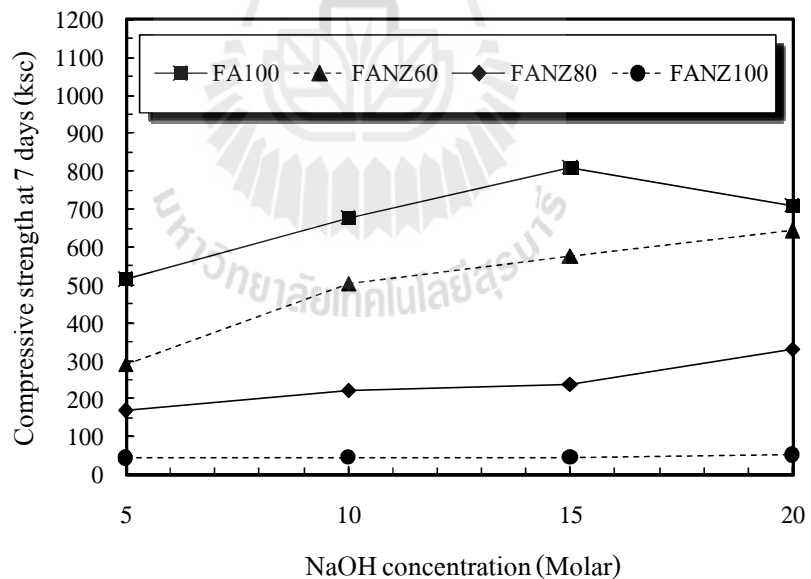
ผลการทดสอบที่แปรผันตามความเข้มข้นของโซเดียมไฮดรอกไซด์ (NaOH concentration) ใช้อัตราส่วนโซเดียมซิลิกเกตต่อโซเดียมไฮดรอกไซด์เท่ากับ 1.5 อุณหภูมิการเร่งปฏิกิริยา 75°C ทดสอบกำลังอัดที่ระยะเวลาการบ่ม 7 วัน พ布ว่าความเข้มข้นของโซเดียมไฮดรอกไซด์ และปริมาณการแทนที่ของไโคะตومไนต์ เพอร์ไอล์ต์ และซีโอไอล์ต์ธรรมชาติในถ้าถอยส่งผลต่อ กำลังอัด กล่าวคือกำลังอัดมีแนวโน้มสูงขึ้นตามความเข้มข้นของโซเดียมไฮดรอกไซด์ที่สูงขึ้น เป็นผลเนื่องจากความเข้มข้นของโซเดียมไฮดรอกไซด์ที่สูงมีความสามารถในการละอ่อนของซิลิกา และอุดมนาออกมาจากวัสดุตั้งตนได้มาก อึกทึ้งมีอัตราการเกิดปฏิกิริยาที่รวดเร็ว (Rattanasak, U., et al., 2009)



รูปที่ 4.38 ค่ากำลังอัดของจีโอโพลิเมอร์ตัวร์จากถ้าถอยผสมไโคะตومไนต์ที่แปรผันตามผลกระทบของความเข้มข้นของโซเดียมไฮดรอกไซด์



รูปที่ 4.39 ค่ากำลังอัดของจีโอโพลิเมอร์ตัวร์จากถ้าลองผสมเซอร์ไอล์ต์ที่ปรับผันตามผลกระทบของความเข้มข้นของโซเดียมไฮดรอกไซด์

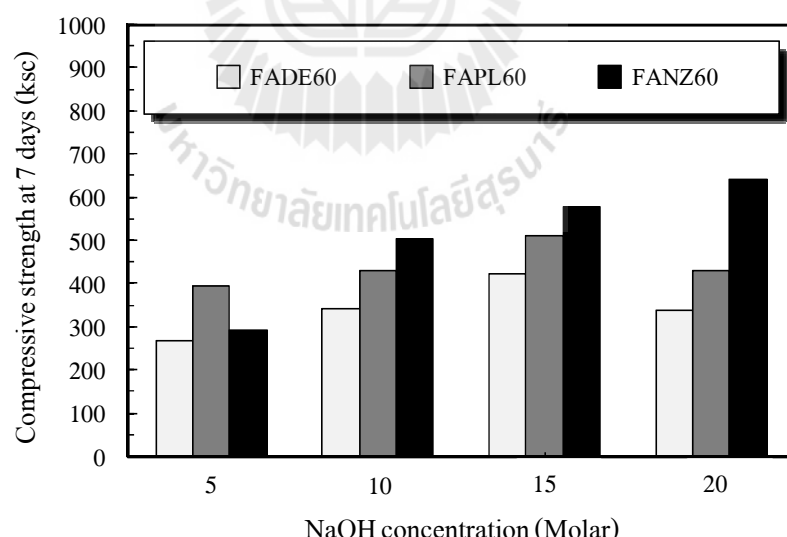


รูปที่ 4.40 ค่ากำลังอัดของจีโอโพลิเมอร์ตัวร์จากถ้าลองผสมซีโอไฮด์ธรรมชาติที่ปรับผันตามผลกระทบของความเข้มข้นของโซเดียมไฮดรอกไซด์

จากรูปที่ 4.38 บ่งบอกถึงค่ากำลังอัดของจีโอโพลิเมอร์มอร์ต้าร์จากถ้ําล้อยผสมไนโตรมไม่มีความเหมาะสมที่ความเข้มข้นของโซเดียมไฮดรอกไซด์เท่ากับ 10-15 โมลาร์ ปริมาณการแทนที่ร้อยละ 60 และ 80 มีกำลังอัดระหว่าง 243-423 ksc เมื่อพิจารณากำลังอัดและความสามารถทำงานได้พบว่าภาวะที่ดีที่สุดคือความเข้มข้นของโซเดียมไฮดรอกไซด์เท่ากับ 15 โมลาร์ ปริมาณการแทนที่ร้อยละ 60 ให้กำลังอัดเท่ากับ 424 ksc และค่าการไหลแผ่เท่ากับ 61%

จากรูปที่ 4.39 บ่งบอกถึงค่ากำลังอัดของจีโอโพลิเมอร์มอร์ต้าร์จากถ้ําล้อยผสมเพอร์ไอลิตมีความเหมาะสมที่ความเข้มข้นของโซเดียมไฮดรอกไซด์เท่ากับ 10-15 โมลาร์ ปริมาณการแทนที่ร้อยละ 60 และ 80 มีกำลังอัดระหว่าง 286-513 ksc เมื่อพิจารณากำลังอัดและความสามารถทำงานได้พบว่าภาวะที่ดีที่สุดคือความเข้มข้นของโซเดียมไฮดรอกไซด์เท่ากับ 15 โมลาร์ ปริมาณการแทนที่ร้อยละ 60 ให้กำลังอัดเท่ากับ 513 ksc และค่าการไหลแผ่เท่ากับ 46%

จากรูปที่ 4.40 บ่งบอกถึงค่ากำลังอัดของจีโอโพลิเมอร์มอร์ต้าร์จากถ้ําล้อยผสมซีโอไอล์ซัรรมชาติมีความเหมาะสมที่ความเข้มข้นของโซเดียมไฮดรอกไซด์เท่ากับ 10-15 โมลาร์ ปริมาณการแทนที่ร้อยละ 60 และ 80 มีกำลังอัดระหว่าง 222-577 ksc เมื่อพิจารณากำลังอัดและความสามารถทำงานได้พบว่าภาวะที่ดีที่สุดคือความเข้มข้นของโซเดียมไฮดรอกไซด์เท่ากับ 15 โมลาร์ ปริมาณการแทนที่ร้อยละ 60 ให้กำลังอัดเท่ากับ 577 ksc และค่าการไหลแผ่เท่ากับ 42%



รูปที่ 4.41 เปรียบเทียบค่ากำลังอัดของจีโอโพลิเมอร์มอร์ต้าร์ที่แบร์พันตามผลกระทบของความเข้มข้นของโซเดียมไฮดรอกไซด์ ของการแทนที่ไนโตรมไมต์ เพอร์ไอลิต์ และซีโอไอล์ซัรรมชาติในถ้ําล้อยร้อยละ 60

เมื่อพิจารณาที่ความเข้มข้นของโซเดียมไฮดรอกไซด์เท่ากับ 5 มอลาร์ กำลังอัดมีค่าต่ำเมื่อเปรียบเทียบกับความเข้มข้นของโซเดียมไฮดรอกไซด์อื่น ๆ อาจเนื่องจากความเข้มข้นของโซเดียมไฮดรอกไซด์ที่น้อยทำให้ความสามารถในการละอ่อนของซิลิกาและอลูมินาออกมาจากวัสดุตั้งตนได้น้อย (Rattanasak, U., et al., 2009) อีกทั้งความเข้มข้นของโซเดียมไฮดรอกไซด์ที่น้อยมีปริมาณของน้ำในส่วนผสมมากส่งผลให้กำลังอัดลดลง ในทำนองเดียวกับอัตราส่วนน้ำต่อซีเมนต์ (Water/Cement ratio, W/C) ที่สูงในงานคอนกรีตทั่วไป ส่วนที่ความเข้มข้นของโซเดียมไฮดรอกไซด์เท่ากับ 20 มอลาร์ กำลังอัดมีแนวโน้มลดลงเมื่อเปรียบเทียบกับความเข้มข้นของโซเดียมไฮดรอกไซด์เท่ากับ 15 มอลาร์ อีกทั้งการผสมค่อนข้างผสมยาก เนื่องจากความเข้มข้นของโซเดียมไฮดรอกไซด์ที่สูงส่งผลให้มีการทำปฏิกิริยาที่รวดเร็วและส่วนผสมไม่เป็นเนื้อเดียวกัน อีกทั้งยากต่อการหล่อตัวอย่าง

เมื่อพิจารณาเปรียบเทียบกำลังอัดของจีโอโพลิเมอร์ตัวร์ที่ระยะเวลาการบ่ม 7 วัน การแทนที่ไคลอตومไนต์ เพอร์ไอลต์ และซีโอไอลต์ธรรมชาติในถ้วยทดลองร้อยละ 60 พบร้า การแทนที่ด้วยซีโอไอลต์ธรรมชาติมีแนวโน้มให้กำลังอัดสูงที่สุด ซึ่งเมื่อพิจารณาที่ความเข้มข้นของโซเดียมไฮดรอกไซด์เท่ากับ 15 มอลาร์ พบร้าการแทนที่ด้วยซีโอไอลต์ธรรมชาติมีกำลังอัดมากกว่าการแทนที่ด้วยไคลอตومไนต์ และเพอร์ไอลต์เท่ากับร้อยละ 36.27 และ 12.65 ตามลำดับ ดังแสดงในรูปที่ 4.41

4.7.4 ผลกระทบของอุณหภูมิการเร่งปฏิกิริยา

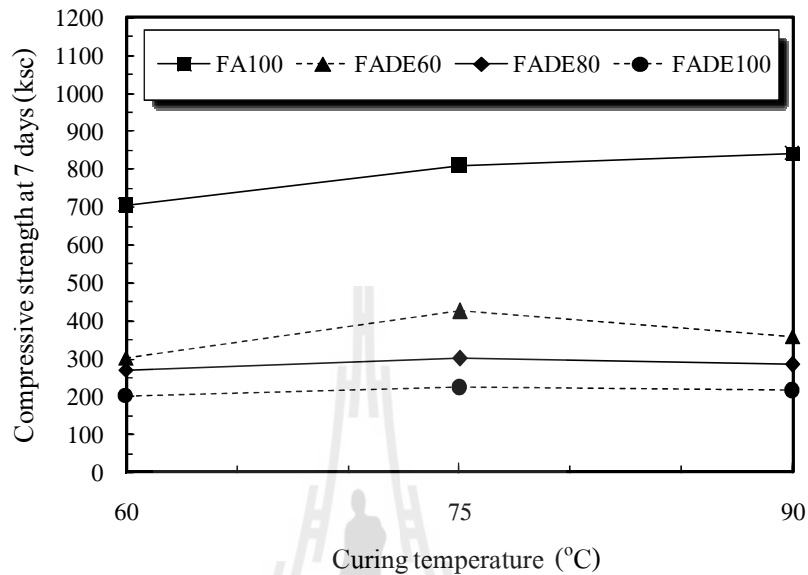
ผลกระทบที่แปรผันตามอุณหภูมิการเร่งปฏิกิริยา ใช้ความความเข้มข้นของโซเดียมไฮดรอกไซด์ 15 มอลาร์ อัตราส่วนโซเดียมซิลิกเกตต่อโซเดียมไฮดรอกไซด์เท่ากับ 1.5 ทดสอบกำลังอัดที่ระยะเวลาบ่ม 7 วัน พบร้ากำลังอัดมีแนวโน้มสูงขึ้นตามอุณหภูมิการเร่งปฏิกิริยาที่สูงขึ้น

จากรูปที่ 4.42 บ่งบอกถึงค่ากำลังอัดของจีโอโพลิเมอร์ตัวร์จากถ้วยผสมไคลอตومไนต์มีความเหมาะสมที่อุณหภูมิการเร่งปฏิกิริยาเท่ากับ $75\text{-}90^\circ\text{C}$ ปริมาณการแทนที่ร้อยละ 60 และ 80 มีกำลังอัดระหว่าง 283-423 ksc แต่ภาวะที่ดีที่สุดคืออุณหภูมิการเร่งปฏิกิริยาเท่ากับ 75°C ปริมาณการแทนที่ร้อยละ 60 ให้กำลังอัดเท่ากับ 424 ksc

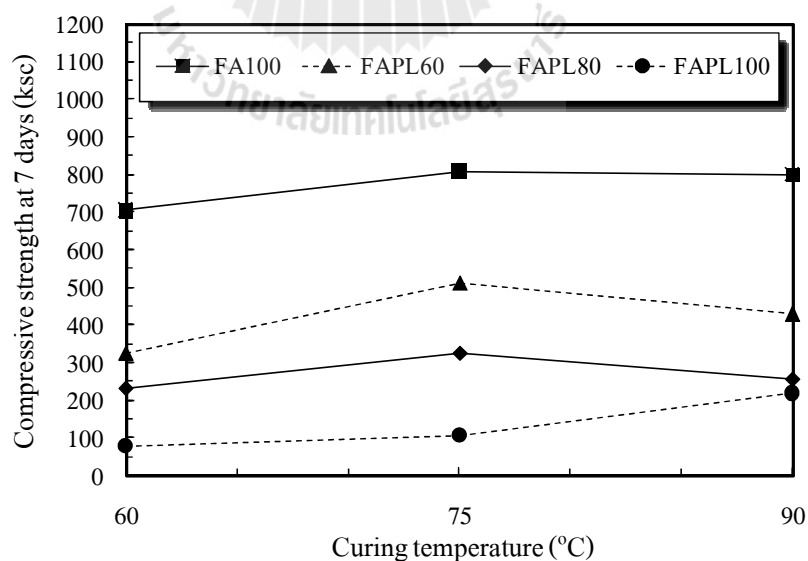
จากรูปที่ 4.43 บ่งบอกถึงค่ากำลังอัดของจีโอโพลิเมอร์ตัวร์จากถ้วยผสมเพอร์ไอลต์มีความเหมาะสมที่อุณหภูมิการเร่งปฏิกิริยาเท่ากับ $75\text{-}90^\circ\text{C}$ ปริมาณการแทนที่ร้อยละ 60 และ 80 มีกำลังอัดระหว่าง 258-513 ksc แต่ภาวะที่ดีที่สุดคืออุณหภูมิการเร่งปฏิกิริยาเท่ากับ 75°C ปริมาณการแทนที่ร้อยละ 60 ให้กำลังอัดเท่ากับ 513 ksc

จากรูปที่ 4.44 บ่งบอกถึงค่ากำลังอัดของจีโอโพลิเมอร์ตัวร์จากถ้วยผสมซีโอไอลต์ธรรมชาติมีความเหมาะสมที่อุณหภูมิการเร่งปฏิกิริยาเท่ากับ $75\text{-}90^\circ\text{C}$ ปริมาณการแทนที่

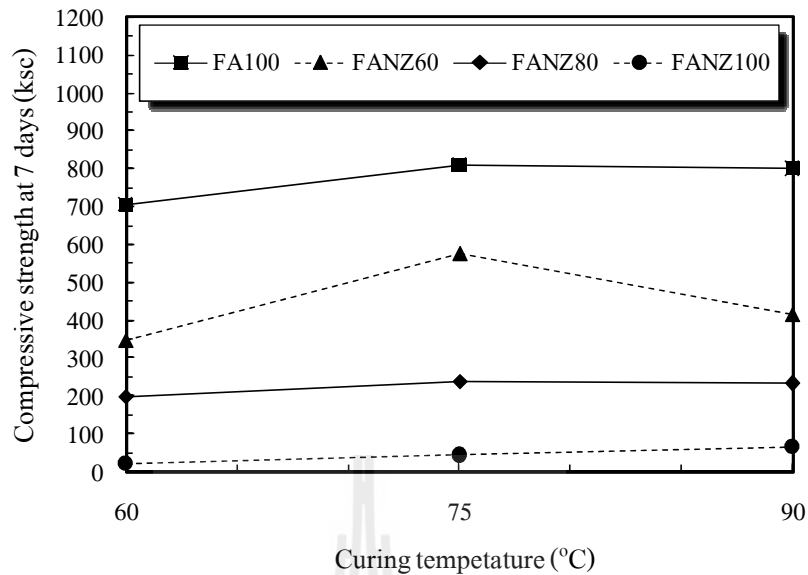
ร้อยละ 60 และ 80 มีกำลังอัดระหว่าง 234-577 ksc แต่ภาวะที่ดีที่สุดคืออุณหภูมิการเร่งปฏิกิริยาเท่ากับ 75°C ปริมาณการแทนที่ร้อยละ 60 ให้กำลังอัดเท่ากับ 577 ksc



รูปที่ 4.42 ค่ากำลังอัดของจีโอโพลิเมอร์ร์ต้าร์จากเก้าออยพสม.ໄ/doe ไมต์ ที่แปรผันตามผลกระทนของอุณหภูมิการเร่งปฏิกิริยา



รูปที่ 4.43 ค่ากำลังอัดของจีโอโพลิเมอร์ร์ต้าร์จากเก้าออยพสม.เพอร์ໄ/doe ที่แปรผันตามผลกระทนของอุณหภูมิการเร่งปฏิกิริยา



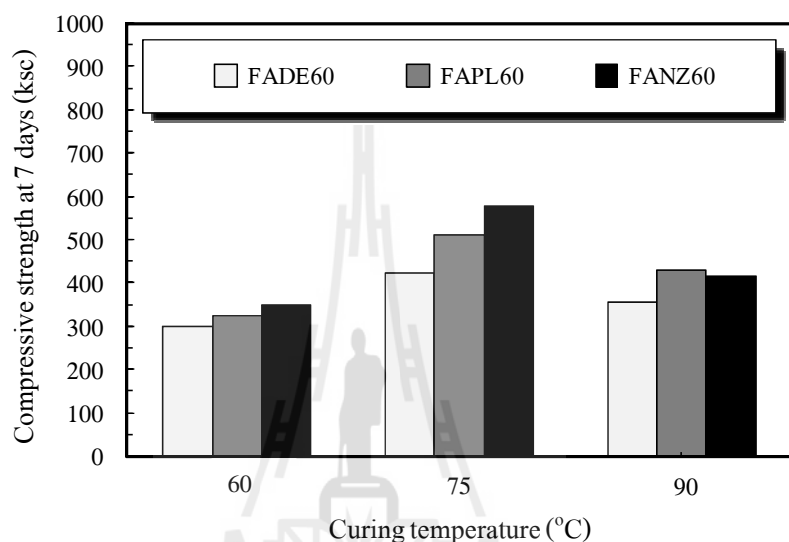
รูปที่ 4.44 ค่ากำลังอัดของจีโอโพลิเมอร์ตัวร์จากถ้าลองผสานซีโอไลด์ธรรมชาติที่แปรผันตามผลกระทบของอุณหภูมิการเร่งปฏิกิริยา

เมื่อพิจารณาที่อุณหภูมิการเร่งปฏิกิริยาเท่ากับ 60°C มีกำลังอัดที่คำเมื่อเปรียบเทียบกับอุณหภูมิการเร่งปฏิกิริยาอื่น ๆ ส่วนอุณหภูมิการเร่งปฏิกิริยาเท่ากับ 90°C กำลังอัดมีแนวโน้มลดลงเมื่อเปรียบเทียบกับอุณหภูมิการเร่งปฏิกิริยาเท่ากับ 75°C นอกจากนี้ยังพบว่าการแทนที่ด้วยไคลอะตอมไม่ทึบหมุดตัวอย่างมีเกิดการบวมตัวเกิดขึ้นอย่างชัดเจน อาจเนื่องจากไคลอะตอมไม่มีค่าการสูญเสียเนื่องจากความร้อน (LOI) ที่สูงเมื่อเปรียบเทียบกับเพอร์ไอล์ด์ ซีโอไลด์ธรรมชาติ และถ้าลอง อีกทั้งไคลอะตอมไม่มีลักษณะเป็นโครงสร้าง จึงส่งผลให้เกิดการสูญเสียความชื้นอย่างรวดเร็วและเกิดการบวมตัวเมื่อใช้อุณหภูมิการเร่งปฏิกิริยาที่สูง ดังแสดงในรูปที่ 4.45



รูปที่ 4.45 ผลกระทบของอุณหภูมิการเร่งปฏิกิริยาต่อจีโอโพลิเมอร์ตัวร์จากถ้าลองผสานไคลอะตอมไม่มี

เมื่อพิจารณาเปรียบเทียบค่ากำลังอัดของจีโอโพลิเมอร์ร์ต้าร์ที่ระยะเวลาการบ่ม 7 วัน การแทนที่ไโคอะตอนไมม์ต เพอร์ไอล์ต และซีโอไอล์ตธรรมชาติในถ้ําล้อยร้ออยละ 60 พบว่าการแทนที่ด้วยซีโอไอล์ตธรรมชาติมีแนวโน้มให้ค่ากำลังอัดสูงที่สุด ซึ่งเมื่อพิจารณาที่อุณหภูมิการเร่งปฏิกิริยาเท่ากับ 75°C พบว่าการแทนที่ด้วยซีโอไอล์ตธรรมชาติมีกำลังอัดมากกว่าการแทนที่ด้วยไโคอะตอนไมม์ต และเพอร์ไอล์ตเท่ากับร้ออยละ 36.27 และ 12.65 ตามลำดับ ดังแสดงในรูปที่ 4.46



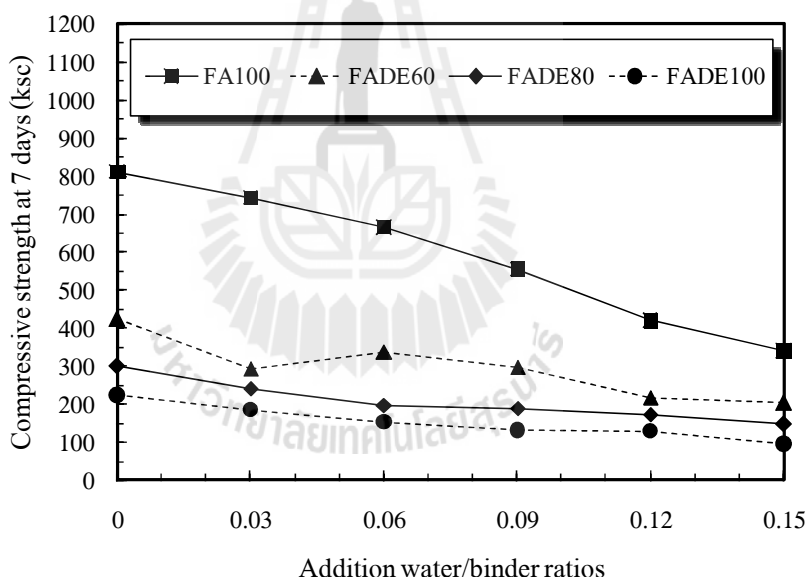
รูปที่ 4.46 เปรียบเทียบค่ากำลังอัดของจีโอโพลิเมอร์ร์ต้าร์ที่เปลี่ยนตามผลกระบวนการของอุณหภูมิการเร่งปฏิกิริยา ของการแทนที่ไโคอะตอนไมม์ต เพอร์ไอล์ต และซีโอไอล์ตธรรมชาติในถ้ําล้อยร้ออยละ 60

อย่างไรก็ดีอุณหภูมิการเร่งปฏิกิริยาควรคำนึงถึงการ сл่ายตัวของปริมาณสารประกอบของวัสดุปอชโซลาน ซึ่งจากการวิจัยที่ผ่านมาสารประกอบของวัสดุปอชโซลามีการ сл่ายที่อุณหภูมิประมาณ 110°C ดังนั้นควรใช้อุณหภูมิการเร่งปฏิกิริยาที่ประมาณร้ออยละ 60 ถึง 80 ของอุณหภูมิที่ทำให้เกิดการ сл่ายตัวของสารประกอบหลัก (Chaipanich, A., et al., 2010 and Wongkeo, W., et al., 2010) อีกทั้งการเร่งปฏิกิริยาที่อุณหภูมิสูงทำให้ความชื้นในตัวอย่างระเหยอย่างรวดเร็ว ส่งผลให้กำลังอัดลดลงได้ (Chindaprasirt, P., et al., 2007) และการเร่งปฏิกิริยาที่อุณหภูมิสูงทำให้เกิดการแตกร้าวส่งผลเสียต่อโครงสร้างและคุณสมบัติภายในภาพของจีโอโพลิเมอร์ (Jaarsveld, J.G.S.Van., et al., 2002)

4.7.5 ผลกระทบของการเพิ่มปริมาณน้ำในส่วนผสม

ผลการทดสอบแปรผันตามอัตราส่วนการเพิ่มปริมาณน้ำต่อวัสดุประสาน ใช้ความความเข้มข้นของโซเดียมไฮดรอกไซด์ 15 มอลาร์ อัตราส่วนโซเดียมซิลิกเกตต่อโซเดียมไฮดรอกไซด์ เท่ากับ 1.5 อุณหภูมิการเร่งปฏิกิริยา 75°C ทดสอบกำลังอัดที่ระยะเวลาบ่ม 7 วัน พบว่าการเพิ่มปริมาณน้ำในส่วนผสมและปริมาณการแทนที่ของไდอะตومไม้ต์ เพอร์ไอล์ต และซีไอไอล์ตธรรมชาติ ส่งผลต่อกำลังอัด

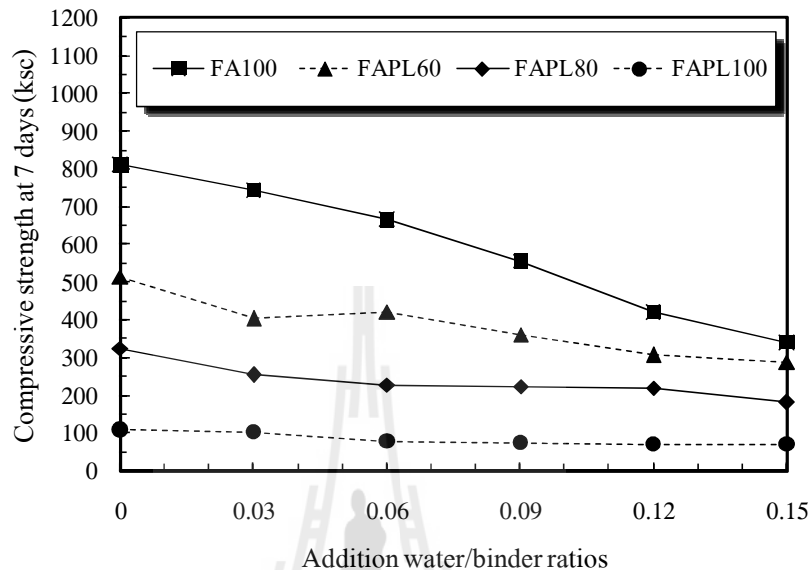
จากรูปที่ 4.47 บ่งบอกถึงค่ากำลังอัดของจีโอโพลิเมอร์มอร์ต้าร์จากถ้าลอยผสมไダイอะตومไม้ต์มีความเหมาะสมที่อัตราส่วนการเพิ่มปริมาณน้ำต่อวัสดุประสานเท่ากับร้อยละ 3 ถึง 6 ปริมาณการแทนที่ร้อยละ 60 และ 80 มีกำลังอัดระหว่าง 198-337 ksc เมื่อพิจารณากำลังอัดและความสามารถทำงานได้พบว่าภาวะที่ดีที่สุดคืออัตราส่วนการเพิ่มปริมาณน้ำต่อวัสดุประสานเท่ากับร้อยละ 6 ปริมาณการแทนที่ร้อยละ 60 ให้กำลังอัดเท่ากับ 337 ksc และค่าการไหลแผ่เท่ากับ 72%



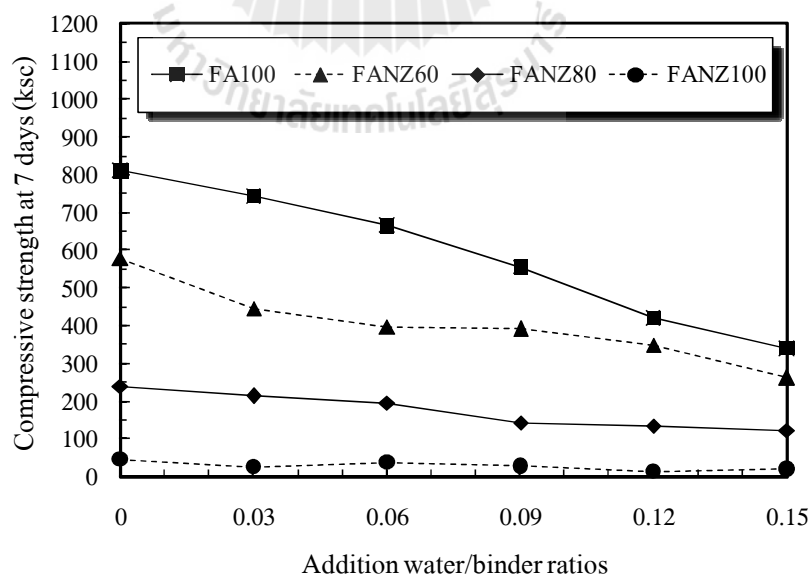
รูปที่ 4.47 ค่ากำลังอัดของจีโอโพลิเมอร์มอร์ต้าร์จากถ้าลอยผสมไダイอะตومไม้ต์ที่แปรผันตามผลกระทบของอัตราส่วนการเพิ่มปริมาณน้ำต่อวัสดุประสาน

จากรูปที่ 4.48 บ่งบอกถึงค่ากำลังอัดของจีโอโพลิเมอร์มอร์ต้าร์จากถ้าลอยผสมเพอร์ไอล์ตมีความเหมาะสมที่อัตราส่วนการเพิ่มปริมาณน้ำต่อวัสดุประสานเท่ากับร้อยละ 3 ถึง 6 ปริมาณการแทนที่ร้อยละ 60 และ 80 มีกำลังอัดระหว่าง 227-420 ksc เมื่อพิจารณากำลังอัดและ

ความสามารถทำงานได้พบว่าภาวะที่ดีที่สุดคืออัตราส่วนการเพิ่มปริมาณน้ำต่อวัสดุประสานเท่ากับร้อยละ 6 ปริมาณการแทนที่ร้อยละ 60 ให้กำลังอัดเท่ากับ 420 ksc และค่าการไอลแพรเท่ากับ 97%



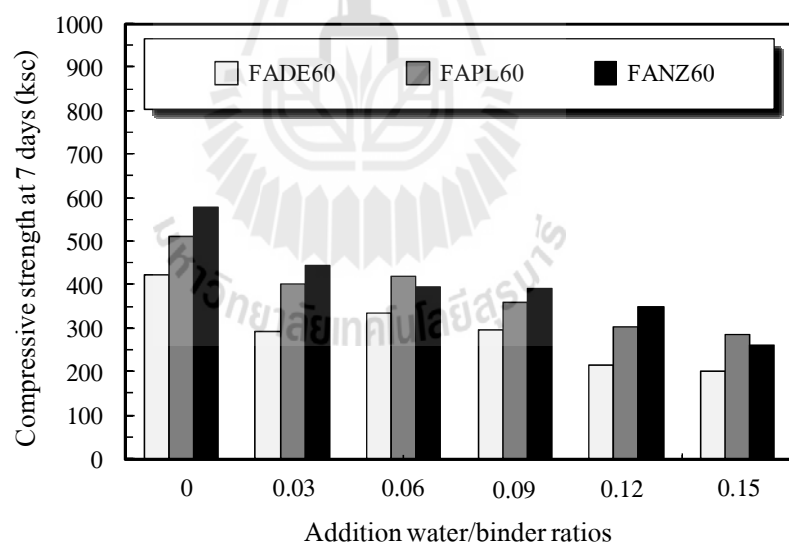
รูปที่ 4.48 ค่ากำลังอัดของจีโอโพลิเมอร์ร์ด้าร์จากถ้าลองผสมเพอร์ไอล์ต์ที่แบร์พันตามผลกระทบของอัตราส่วนการเพิ่มปริมาณน้ำต่อวัสดุประสาน



รูปที่ 4.49 ค่ากำลังอัดของจีโอโพลิเมอร์ร์ด้าร์จากถ้าลองผสมซีโอไอล์ชรรมชาติที่แบร์พันตามผลกระทบของอัตราส่วนการเพิ่มปริมาณน้ำต่อวัสดุประสาน

จากรูปที่ 4.49 บ่งบอกถึงค่ากำลังอัดของจีโอ โพลิเมอร์ตัวร์จากถ้าลอยพสม ซีโอ ไอล์ต์ธรรมชาติมีความหมายสมที่อัตราส่วนการเพิ่มปริมาณน้ำต่อวัสดุประสานเท่ากับร้อยละ 3 ถึง 6 ปริมาณการแทนที่ร้อยละ 60 และ 80 มีกำลังอัดระหว่าง 195-445 ksc เมื่อพิจารณากำลังอัดและความสามารถทำงานได้พบว่าภาวะที่ดีที่สุดคืออัตราส่วนการเพิ่มปริมาณน้ำต่อวัสดุประสานเท่ากับร้อยละ 3 ปริมาณการแทนที่ร้อยละ 60 ให้กำลังอัดเท่ากับ 445 ksc และค่าการไหลดแผ่นเท่ากับ 67%

นอกจากนี้อัตราส่วนการเพิ่มปริมาณน้ำต่อวัสดุประสานเท่ากับร้อยละ 9 ถึง 15 การแทนที่ดีขึ้นโดยตอนไมต์ เพอร์ไอล์ต และซีโอ ไอล์ต์ธรรมชาติทั้งหมดกำลังอัดมีแนวโน้มลดลง แต่ยังคงลงในสัดส่วนที่น้อย เมื่อพิจารณาถึงการเพิ่มน้ำในส่วนผสมดูเหมือนไม่ค่อยจำเป็นนัก เนื่องจากการแทนที่ไอดอกตอนไมต์ เพอร์ไอล์ต และซีโอ ไอล์ต์ธรรมชาติ ช่วยเพิ่มประสิทธิภาพการทำงานอยู่แล้ว นอกจากว่าเป็นอัตราส่วนของเหลวต่อวัสดุประสานที่น้อย ๆ อาจส่งผลดีต่อกำลังอัด ส่วนการแทนที่ด้วยถ้าลอยทั้งหมดกำลังอัดมีแนวโน้มลดลงเรื่อย ๆ อาจเนื่องจากการเพิ่มปริมาณน้ำ ในส่วนผสมเหมือนกับการปรับความเข้มข้นของโซเดียมไฮดรอกไซด์ให้น้อยลง ซึ่งแสดงถึงปริมาณน้ำที่มากขึ้นในส่วนผสม

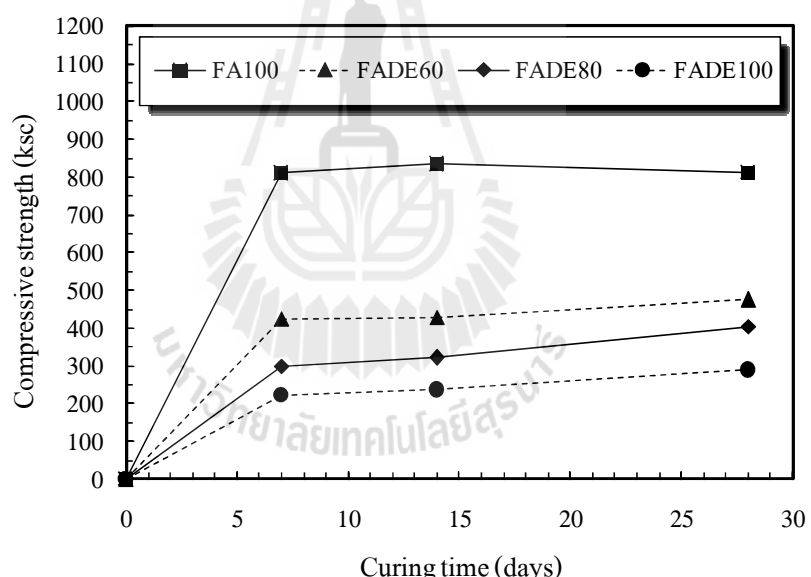


รูปที่ 4.50 เปรียบเทียบค่ากำลังอัดของจีโอ โพลิเมอร์ตัวร์ ที่แบร์ผันตามผลกระทบของ อัตราส่วนการเพิ่มปริมาณน้ำต่อวัสดุประสาน ของการแทนที่ไอดอกตอนไมต์ เพอร์ไอล์ต และซีโอ ไอล์ต์ธรรมชาติในถ้าลอยร้อยละ 60

เมื่อพิจารณาเปรียบเทียบกำลังอัดของจีโอโพลิเมอร์ตัวร์ที่ระยะเวลาการบ่ม 7 วัน การแทนที่ไโดอะตอนไมม์ เพอร์ไอล์ต แลนจีโอไอล์ตชาร์มชาติในถ้ําลอยร้ออยละ 60 พบว่าการแทนที่ด้วยจีโอไอล์ตชาร์มชาติค่ากำลังอัดมีแนวโน้มสูงที่สุด ซึ่งเมื่อพิจารณาการเพิ่มปริมาณน้ำต่อวัสดุประสานเท่ากับร้ออยละ 3 พบว่าการแทนที่ด้วยจีโอไอล์ตชาร์มชาติมีกำลังอัดมากกว่าการแทนที่ด้วยไโดอะตอนไมม์ และเพอร์ไอล์ตเท่ากับร้ออยละ 51.41 และ 10.47 ตามลำดับ ดังแสดงในรูปที่ 4.50

4.7.6 ผลกระทบของระยะเวลาการบ่ม

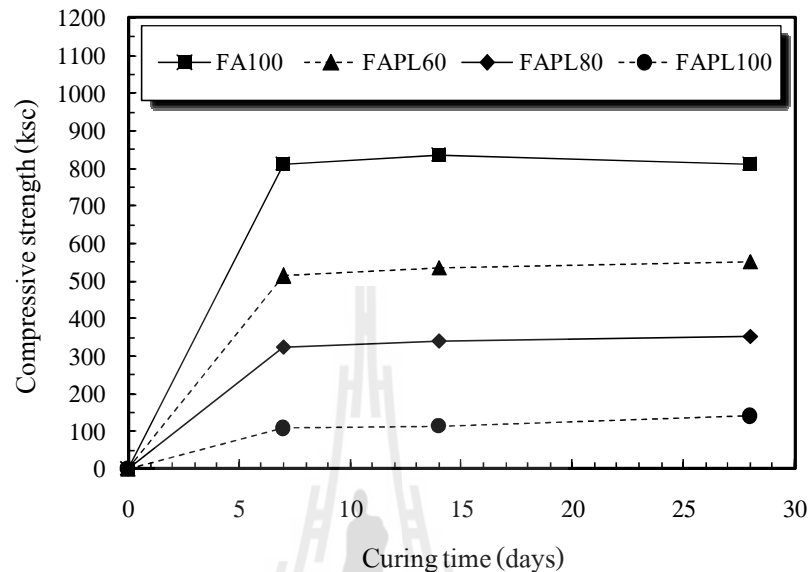
ผลการทดสอบที่แปรผันระยะเวลาการบ่มตัวอย่าง ใช้ความความเข้มข้นของโซเดียมไฮดรอกไซด์ 15 มอลาร์ อัตราส่วนโซเดียมซิลิกเกตต่อโซเดียมไฮดรอกไซด์เท่ากับ 1.5 อุณหภูมิการเร่งปฏิกิริยา 75°C ทดสอบกำลังอัดที่ระยะเวลาการบ่ม 7, 14 และ 28 วัน ผลการทดสอบพบว่ากำลังอัดมีแนวโน้มสูงขึ้นอย่างรวดเร็วในช่วงแรกจนถึงระยะเวลาการบ่มที่อายุ 7 วัน หลังจากนั้นมีการเปลี่ยนแปลงที่น้อยมากหรือไม่มีเลย ดังแสดงในรูปที่ 4.51 ถึง 4.53



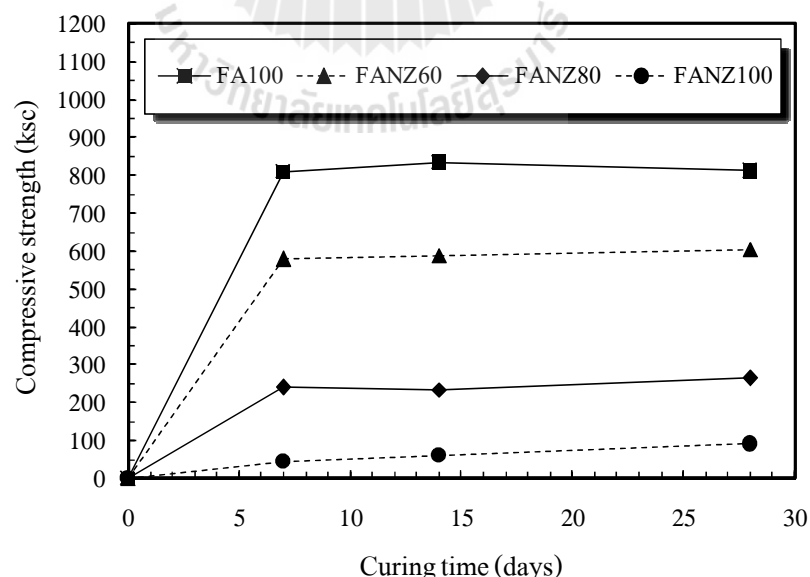
รูปที่ 4.51 ค่ากำลังอัดของจีโอโพลิเมอร์ตัวร์จากถ้ําลอยผสมไโดอะตอนไมม์ ที่แปรผันตามผลกระทบของระยะเวลาการบ่ม

โดยสมมติฐานเบื้องต้นอาจเนื่องจากการใช้ความเข้มข้นของโซเดียมไฮดรอกไซด์ที่สูงทำให้มีการทำปฏิกิริยาที่รวดเร็ว แต่อาจมีสารละลายบางส่วนที่ทำปฏิกิริยาไม่หมด และด้วยลักษณะของสารละลายที่มีความหนืดทำให้ลักษณะโครงสร้างมีความพรุน อีกทั้งความหนาแน่นของโครงสร้างไม่ได้แตกต่างจากที่อายุการบ่ม 7 วัน ส่งผลให้กำลังอัดไม่มีการเปลี่ยนแปลงมากนัก

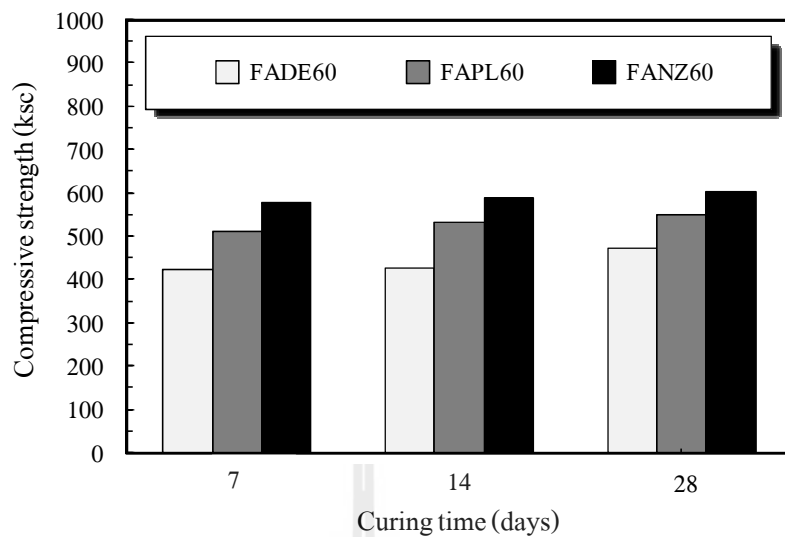
เมื่อเปรียบเทียบกับการแทนที่ในปูนซิเมนต์ด้วยวัสดุปอชโซลานที่มีลักษณะของขนาดโครงสร้างสั่งผลให้มีความหนาแน่นเพิ่มขึ้นทำให้มีค่ากำลังอัดเพิ่มขึ้น (Chindaprasirt, P., et al., 2005)



รูปที่ 4.52 ค่ากำลังอัดของจีโอโพลิเมอร์มอร์ต้าร์จากถ้าโลหะผสมเพอร์ไอล์ที่แบร์พันตามผลกราฟของระยะเวลาการบ่ม



รูปที่ 4.53 ค่ากำลังอัดของจีโอโพลิเมอร์มอร์ต้าร์จากถ้าโลหะผสมซีโอไคล์ซิรรมชาติที่แบร์พันตามผลกราฟของระยะเวลาการบ่ม



รูปที่ 4.54 เปรียบเทียบค่ากำลังอัดของจีโอโพลิเมอร์ตัวร์ที่แปรผันตามผลกระทบของระยะเวลาการบ่ม ของการแทนที่ไดอะตอมไนต์ เพอร์ไอล์ต์ และซีโอไอล์ต์ธรรมชาติในถ้ําลํอยร้อยละ 60

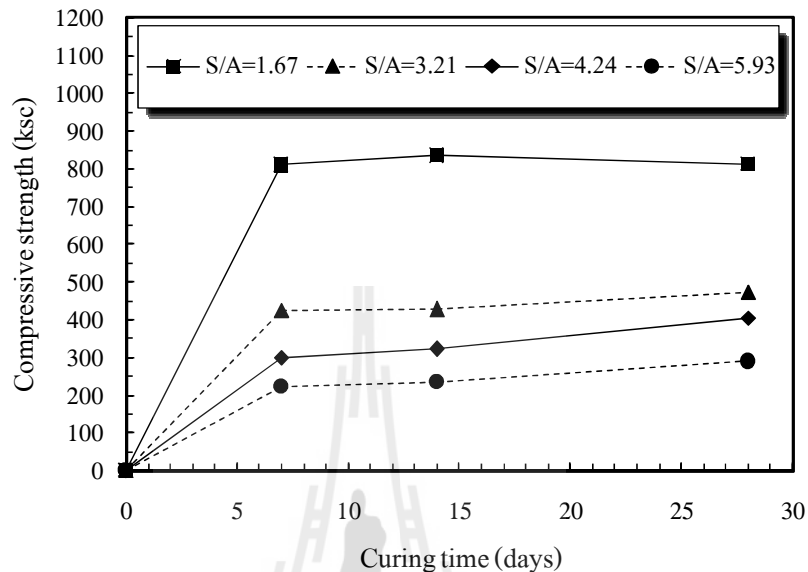
สำหรับการแทนที่ถ้ําลํอยด้วยไดอะตอมไนต์ เพอร์ไอล์ต์ และซีโอไอล์ต์ธรรมชาติ มีแนวโน้มการพัฒนากำลังอัดเพิ่มขึ้นเรื่อยๆ ด้วยคุณสมบัติของวัสดุที่มีอัตราการทำปฏิกิริยาที่ เชื่องช้า (Castaldi, P., et al., 2008) มีความต้องการระยะเวลาการบ่มที่มากขึ้นเพื่อให้มีการทำปฏิกิริยาที่สมบูรณ์ขึ้น (Villa, C., et al., 2010) ดังนั้นจำเป็นต้องศึกษาเพิ่มเติมเพื่อยืนยันผลกระทบทดสอบต่อไป

เมื่อพิจารณาเปรียบเทียบกำลังอัดของจีโอโพลิเมอร์ตัวร์ของการแทนที่ไดอะตอมไนต์ เพอร์ไอล์ต์ และซีโอไอล์ต์ธรรมชาติในถ้ําลํอยร้อยละ 60 ที่แปรผันตามระยะเวลา การบ่ม พบร่วมกันว่าการแทนที่ด้วยซีโอไอล์ต์ธรรมชาติมีแนวโน้มให้ค่ากำลังอัดสูงที่สุด เมื่อพิจารณาที่ระยะเวลาการบ่ม 7 และ 28 วัน พบร่วมกันว่าการแทนที่ด้วยไดอะตอมไนต์มีกำลังอัดเพิ่มขึ้นเท่ากับร้อยละ 11.92 การแทนที่ด้วยเพอร์ไอล์ต์มีกำลังอัดเพิ่มขึ้นเท่ากับร้อยละ 7.55 และการแทนที่ด้วยซีโอไอล์ต์ธรรมชาติมีกำลังอัดเพิ่มขึ้นเท่ากับร้อยละ 4.66 ตามลำดับ ดังแสดงในรูปที่ 4.54

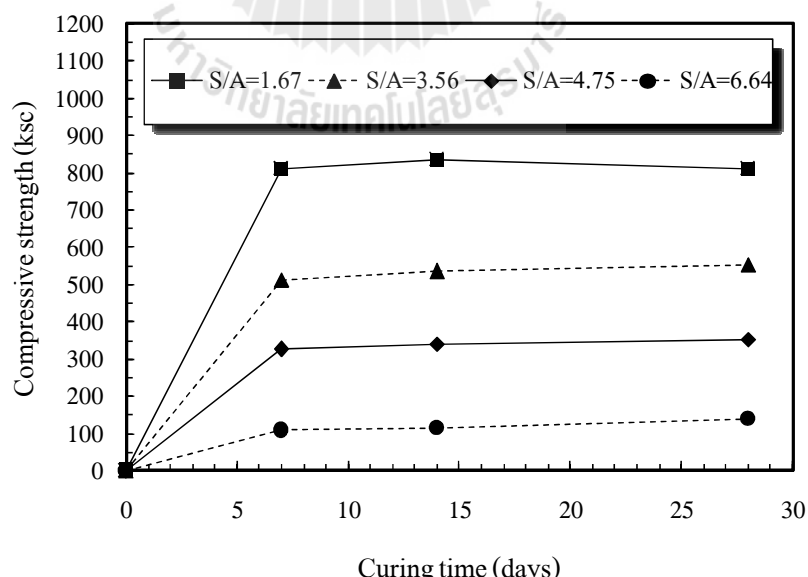
4.7.7 ผลกระทบของอัตราส่วนซิลิกาต่ออัลูมินา

การพัฒนากำลังอัดของจีโอโพลิเมอร์ตัวร์ที่มีส่วนผสมของอัตราส่วนซิลิกาต่อ อัลูมินา ($\text{SiO}_2/\text{Al}_2\text{O}_3$) ที่แตกต่างกัน ดังแสดงในรูปที่ 4.55 ถึง 4.57 พบร่วมกันว่ากำลังอัดของทุกส่วนผสมมี การพัฒนาอย่างรวดเร็วในช่วงแรกและมีการเปลี่ยนแปลงเพียงเล็กน้อยหรือไม่มีการเปลี่ยนในช่วงอายุ ปลาย (Wongpa, J., et al., 2010) ซึ่งทุกส่วนผสมของอัตราส่วนซิลิกาต่ออัลูมินา ($\text{SiO}_2/\text{Al}_2\text{O}_3$)

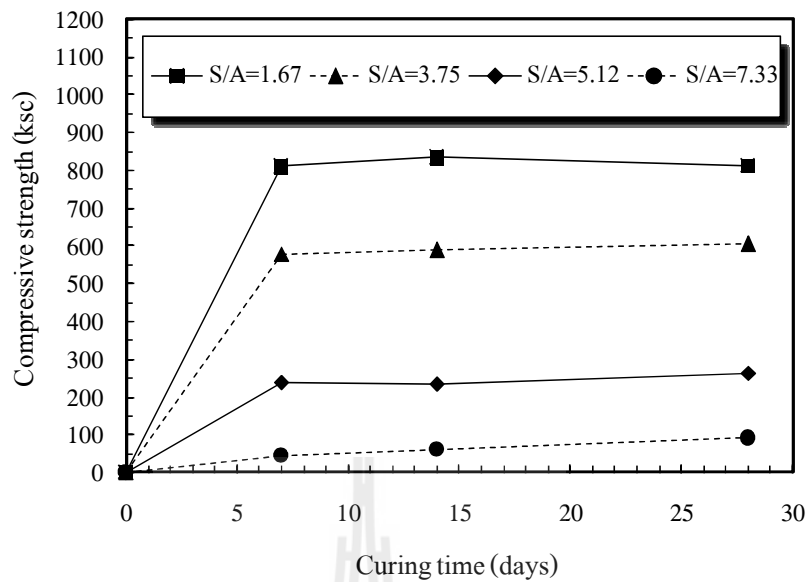
ที่แตกต่างกันมีกำลังอัดที่แตกต่างกันอย่างชัดเจน และคงถึงอัตราส่วนซิลิกาต่ออลูมินา ($\text{SiO}_2/\text{Al}_2\text{O}_3$) ที่แตกต่างกันส่งผลกระทบต่อกำลังอัดอย่างมาก



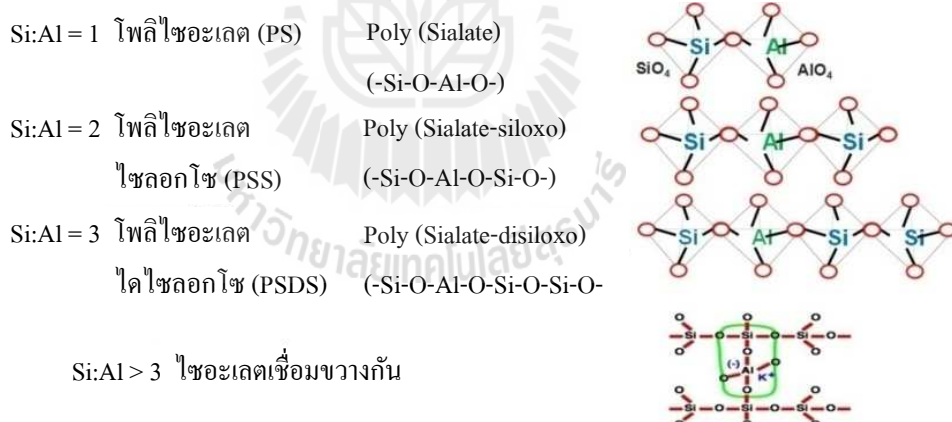
รูปที่ 4.55 ผลกระทบของอัตราส่วนซิลิกาต่ออลูมินา ($\text{SiO}_2/\text{Al}_2\text{O}_3$) ต่อกำลังอัดของจีโอลิเมอร์ที่ได้จากการถ่ายทอดแบบไม่มีตัวเร่งตัวร้าวจากถ่านอยพสม. ໄໂຄະຕອນ. ໄມຕ໌



รูปที่ 4.56 ผลกระทบของอัตราส่วนซิลิกาต่ออลูมินา ($\text{SiO}_2/\text{Al}_2\text{O}_3$) ต่อกำลังอัดของจีโอลิเมอร์ที่ได้จากการถ่ายทอดแบบเพอร์ໄໄດຕ໌



รูปที่ 4.57 ผลการทดสอบซิลิกาต์อลูมินา ($\text{SiO}_2/\text{Al}_2\text{O}_3$) ต่อกำลังอัดของจีโวโพลิเมอร์ตัวร์จากเก้าออยพสมชีโวไลต์ธรรมชาติ



รูปที่ 4.58 โครงสร้างการเชื่อมพันธะของโพลิไซอะเดต (Davidovits, J., 1999)

อีกทั้งจากการวิจัย Songpiriyakij et al. (2010) ยังได้กล่าวเพิ่มเติมว่าโครงสร้างแบบโพลิไซอะเดตไซโลกโซ (Polysialate-Siloxo; PSS) มีอัตราการเกิดปฏิกิริยาที่เร็วกว่าโครงสร้างแบบโพลิไซอะเดตที่เป็นแบบ 2 มิติและไซอะเดตเชื่อมขวางกัน ดังแสดงในรูปที่ 4.58 ซึ่งโครงสร้างแบบโพลิไซอะเดตที่เป็นแบบ 2 มิติและไซอะเดตเชื่อมขวางกันจะเกิดปฏิกิริยาที่ช้ากว่าซึ่งสอดคล้องกับงานวิจัยนี้ที่มีการแทนที่ไคลอโรฟลูอีดีต่ำต้นไม้ต์ในเก้าออยร้อยละ 0 60 80 และ 100

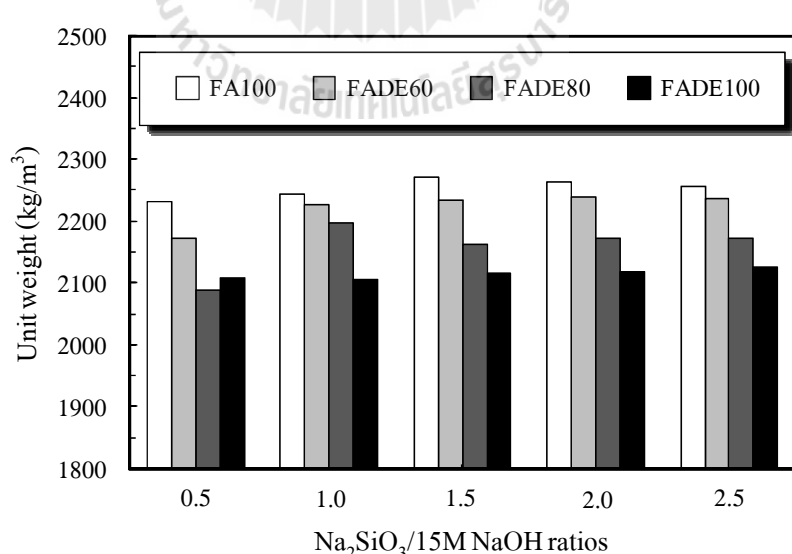
มีอัตราส่วนซิลิกาต่ออลูมินา ($\text{SiO}_2/\text{Al}_2\text{O}_3$) เท่ากับ 1.67 3.21 4.24 และ 5.93 ตามลำดับ การแทนที่เพอร์ไอล์ต์ในถ้วยเดียวกันอย่างละ 0 60 80 และ 100 มีอัตราส่วนซิลิกาต่ออลูมินา ($\text{SiO}_2/\text{Al}_2\text{O}_3$) เท่ากับ 1.67 3.56 4.75 และ 6.64 ตามลำดับ การแทนที่ซีโลไอล์ต์ธรรมชาติในถ้วยเดียวกันอย่างละ 0 60 80 และ 100 มีอัตราส่วนซิลิกาต่ออลูมินา ($\text{SiO}_2/\text{Al}_2\text{O}_3$) เท่ากับ 1.67 3.75 5.12 และ 7.33 ตามลำดับ

4.8 หน่วยน้ำหนักของจีโอโพลิเมอร์ร์ต้าร์

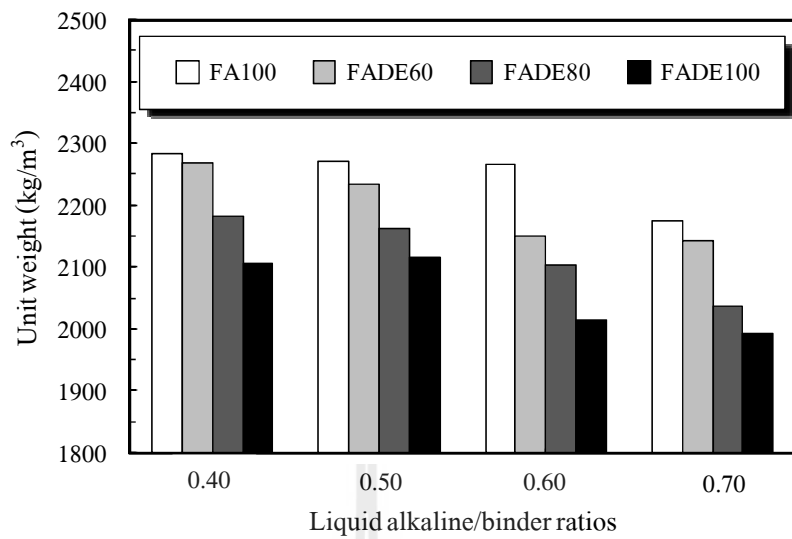
4.8.1 หน่วยน้ำหนักของจีโอโพลิเมอร์ร์ต้าร์จากถ้วยเดียวกันอย่างสม่ำเสมอโดยตลอด

ค่าหน่วยน้ำหนักของจีโอโพลิเมอร์ร์ต้าร์จากถ้วยเดียวกันอย่างสม่ำเสมอโดยตลอด ไม่มีที่ประพันตามผลกระทบต่าง ๆ พบว่าค่าหน่วยน้ำหนักมีแนวโน้มลดลงเรื่อย ๆ เมื่อปริมาณการแทนที่ในส่วนผสมมากขึ้นเมื่อเปรียบเทียบกับการแทนที่ด้วยถ้วยเดียวกันอย่างหมด นอกจากนั้นยังพบอีกว่าปริมาณของเหลวที่มากขึ้นในส่วนผสมทำให้สามารถลดค่าหน่วยน้ำหนักลงได้เนื่องจากไดอะตอมไม้มีค่าความถ่วงจำเพาะต่ำกว่ามากกว่าถ้วยเดียวกัน ดังแสดงในรูปที่ 4.59 ถึง 4.62

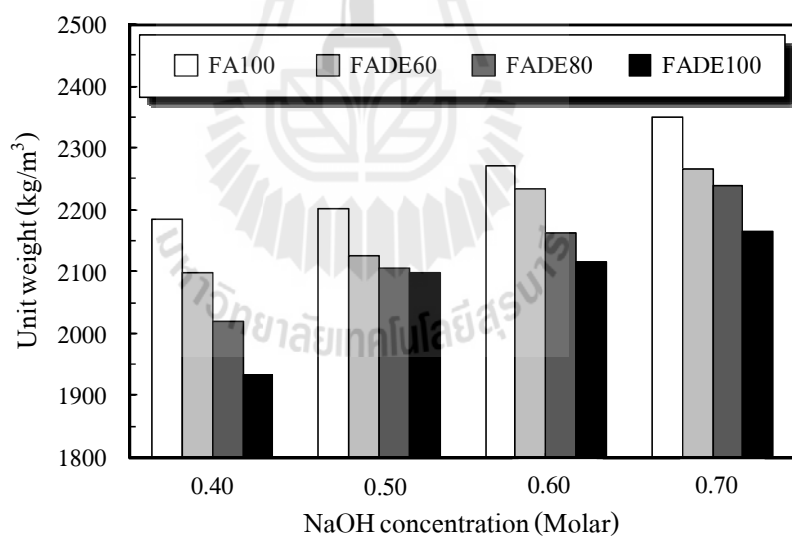
เมื่อพิจารณาค่าหน่วยน้ำหนักของจีโอโพลิเมอร์ร์ต้าร์จากถ้วยเดียวกันอย่างสม่ำเสมอโดยตลอด ไม่มีที่ความเข้มข้นโซเดียมไฮดรอกไซด์ 15 โมลาร์ อัตราส่วนโซเดียมซิลิกเกตต่อโซเดียมไฮดรอกไซด์เท่ากับ 1.5 อุณหภูมิการเร่งปฏิกิริยา 75°C ระยะเวลาการบ่ม 7 วัน พบว่าการแทนที่ไดอะตอมไม้มีค่าหน่วยน้ำหนักเท่ากับ 2,115 2,163 2,234 และ $2,270 \text{ kg/m}^3$ ตามลำดับ



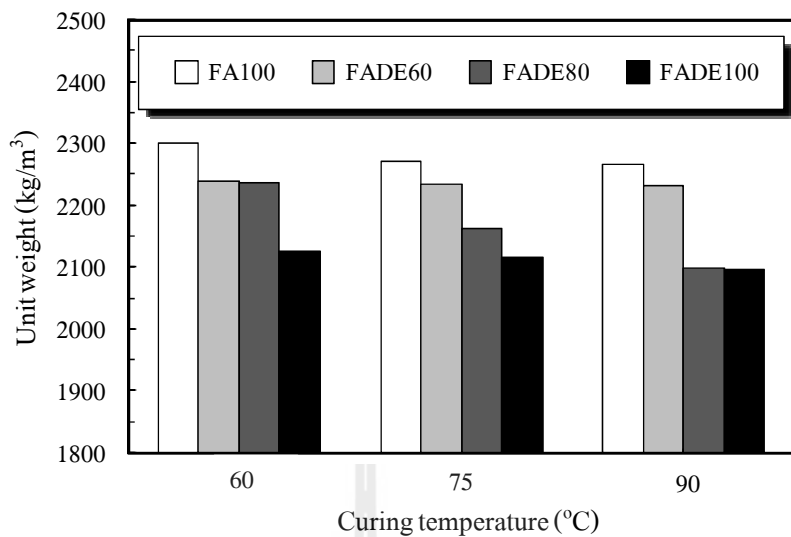
รูปที่ 4.59 หน่วยน้ำหนักของจีโอโพลิเมอร์ร์ต้าร์จากถ้วยเดียวกันอย่างสม่ำเสมอโดยตลอด ตามผลกระทบของอัตราส่วนโซเดียมซิลิกเกตต่อโซเดียมไฮดรอกไซด์



รูปที่ 4.60 หน่วยน้ำหนักของจีโอ โพลิเมอร์มอร์ต้าร์จากถ่านอยผงส้ม ไดอะตوم ไนต์ จากผลกระทบ
ของอัตราส่วนของเหลวต่อวัสดุประسان



รูปที่ 4.61 หน่วยน้ำหนักของจีโอ โพลิเมอร์มอร์ต้าร์จากถ่านอยผงส้ม ไดอะตوم ไนต์ จากผลกระทบ
ของความเข้มข้นโซเดียมไฮดรอกไซด์

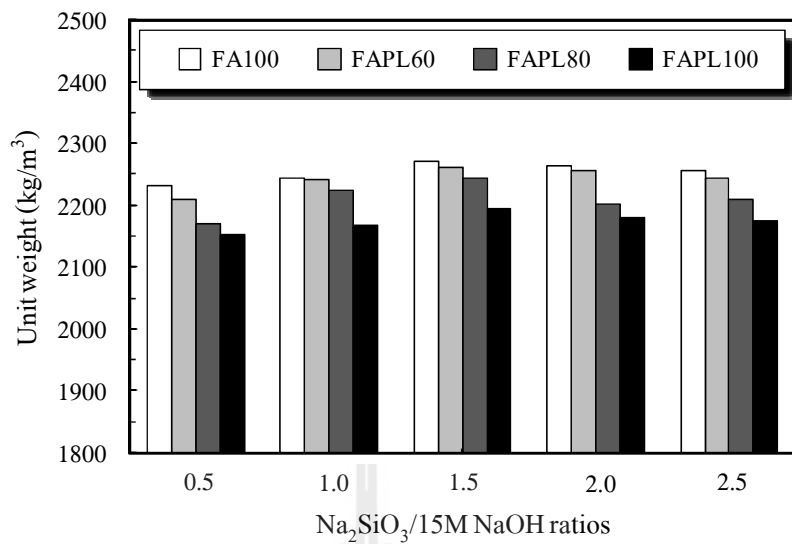


รูปที่ 4.62 หน่วยน้ำหนักของจีโอโพลิเมอร์รัตภาร์จากถ้าโลยผสมไდอะตومไนต์ จากผลกระทบของอุณหภูมิการเร่งปฏิกิริยา

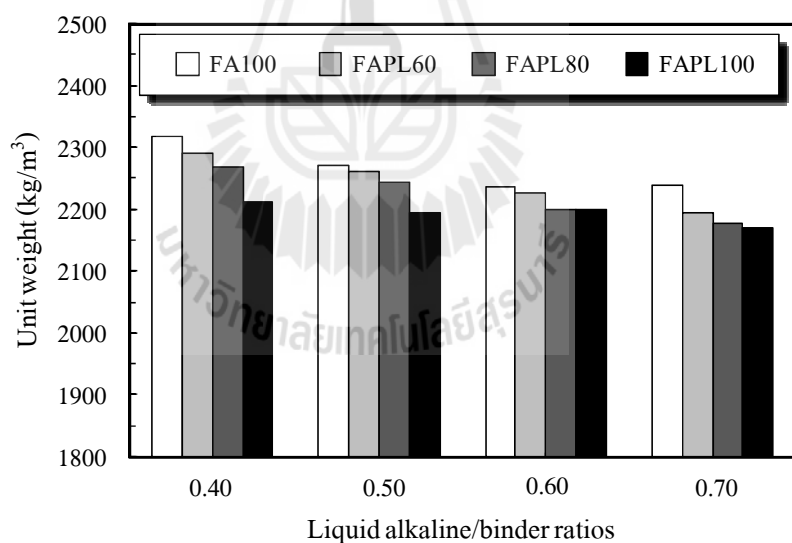
4.8.2 หน่วยน้ำหนักของจีโอโพลิเมอร์รัตภาร์จากถ้าโลยผสมเพอร์ไอลต์

ค่าหน่วยน้ำหนักของจีโอโพลิเมอร์รัตภาร์จากถ้าโลยผสมเพอร์ไอลต์ ที่แปรผันตามผลกระทบต่าง ๆ พบว่าค่าหน่วยน้ำหนักมีแนวโน้มลดลงเพียงเล็กน้อยเมื่อเปรียบเทียบกับการแทนที่ด้วยถ้าโลยหั้งหมุด เนื่องจากเพอร์ไอลต์มีค่าความถ่วงจำเพาะใกล้เคียงกับถ้าโลย นอกจากนี้ จากการวิจัยและข้อมูลของสำนักเหมืองแร่ได้ให้ข้อมูลของเพอร์ไอลต์ว่ามีการสูญเสียน้ำหนักอย่างรวดเร็วเมื่อผ่านกระบวนการเผาที่อุณหภูมิ $760-1,300^{\circ}\text{C}$ ซึ่งส่งผลให้มีน้ำหนักเบา แต่กำลังอัดลดลงอย่างมาก (www.dpim.go.th) ซึ่งงานวิจัยครั้งนี้ได้นำเพอร์ไอลต์ที่ยังไม่ผ่านกระบวนการ การเผาใช้เป็นส่วนผสม จึงทำให้มีค่าหน่วยน้ำหนักใกล้เคียงกับการใช้ถ้าโลยหั้งหมุดในส่วนผสม ดังแสดงในรูปที่ 4.63 ถึง 4.66

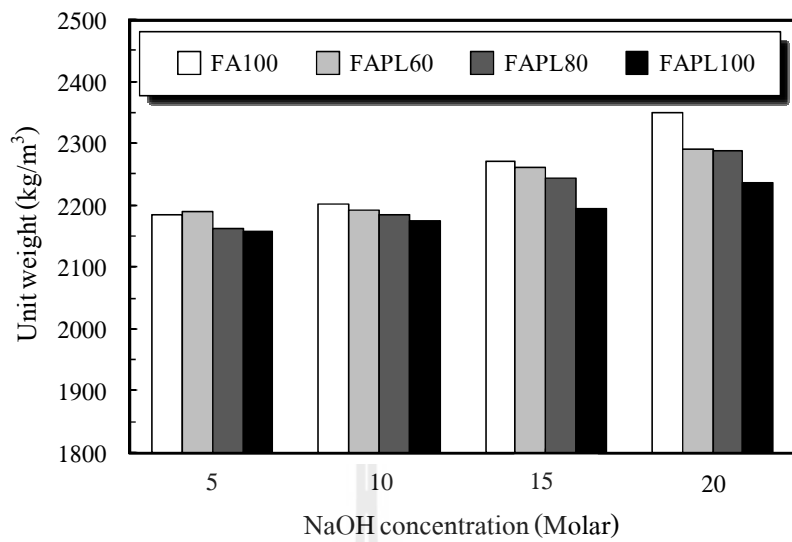
เมื่อพิจารณาค่าหน่วยน้ำหนักของจีโอโพลิเมอร์รัตภาร์จากถ้าโลยผสมเพอร์ไอลต์ ที่ความเข้มข้นโซเดียมไฮดรอกไซด์ 15 โมลาร์ อัตราส่วนโซเดียมซิลิกเกตต่อโซเดียมไฮดรอกไซด์เท่ากับ 1.5 อุณหภูมิการเร่งปฏิกิริยา 75°C ระยะเวลาการบ่ม 7 วัน พบว่าการแทนที่เพอร์ไอลต์ในถ้าโลยร้อยละ 0 60 80 และ 100 มีค่าหน่วยน้ำหนักเท่ากับ $2,195$ $2,243$ $2,261$ และ $2,270 \text{ kg/m}^3$ ตามลำดับ



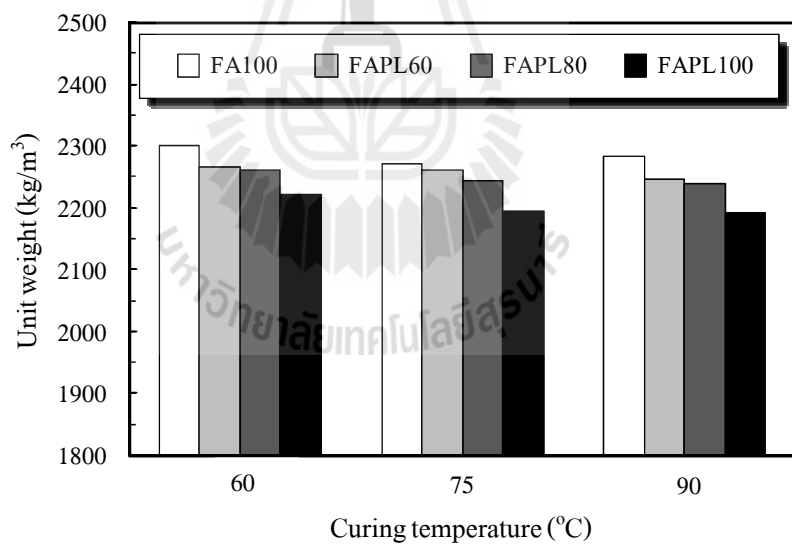
รูปที่ 4.63 หน่วยน้ำหนักของจิโอ โพลิเมอร์มอร์ต้าร์จากถ่านหิน polymers จากผลกระทบ
ของอัตราส่วนโซเดียมซิลิกเกตต่อโซเดียมไฮดรอกไซด์



รูปที่ 4.64 หน่วยน้ำหนักของจิโอ โพลิเมอร์มอร์ต้าร์จากถ่านหิน polymers จากผลกระทบ
ของอัตราส่วนของเหลวต่อวัสดุประสาน



รูปที่ 4.65 หน่วยน้ำหนักของจิโอ โพลิเมอร์มอร์ต้าร์จากถ่านหินสมสัมเพอร์ไอลต์ จากผลกระทบ
ของความเข้มข้นโซเดียมไฮดรอกไซด์



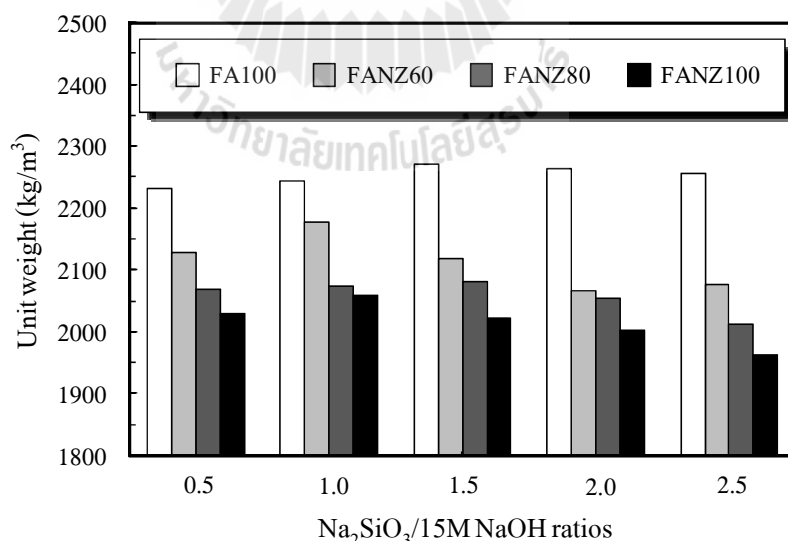
รูปที่ 4.66 หน่วยน้ำหนักของจิโอ โพลิเมอร์มอร์ต้าร์จากถ่านหินสมสัมเพอร์ไอลต์ จากผลกระทบ
ของอุณหภูมิการเร่งปฏิกิริยา

4.8.3 หน่วยน้ำหนักของจีโอโพลิเมอร์มอร์ต้าร์จากถ้วยผลสมชีโอໄไลต์ธรรมชาติ

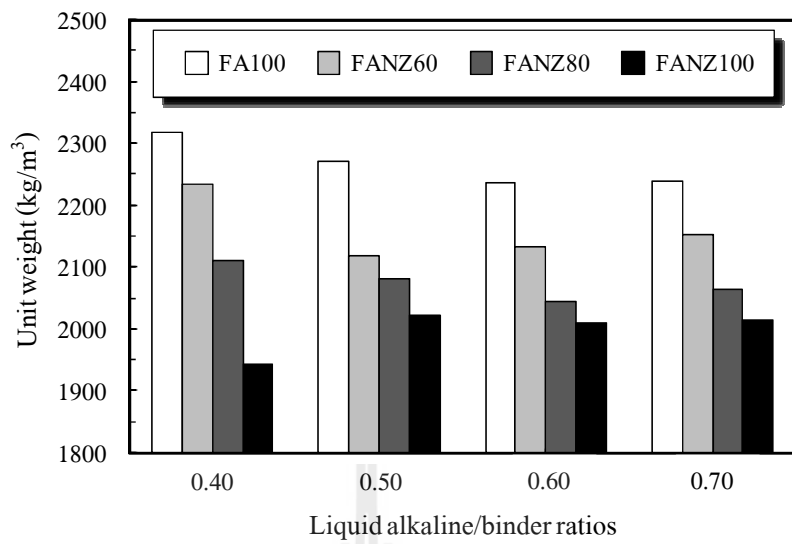
ค่าหน่วยน้ำหนักของจีโอโพลิเมอร์มอร์ต้าร์จากถ้วยผลสมชีโอໄไลต์ธรรมชาติที่แปรผันตามผลกระทบต่าง ๆ พนว่าค่าหน่วยน้ำหนักมีแนวโน้มลดลงเรื่อย ๆ เมื่อปริมาณการแทนที่ในส่วนผสมของจีโอโพลิเมอร์มอร์ต้าร์เปรียบเทียบกับการแทนที่ด้วยถ้วยถ้วยทั้งหมดเนื่องจากชีโอໄไลต์ธรรมชาติมีค่าความถ่วงจำเพาะต่ำกว่าถ้วยถ้วย ดังแสดงในรูปที่ 4.67 ถึง 4.70

เมื่อพิจารณาค่าหน่วยน้ำหนักของจีโอโพลิเมอร์มอร์ต้าร์จากถ้วยผลสมชีโอໄไลต์ธรรมชาติที่ความเข้มข้นโซเดียมไฮดรอกไซด์ 15 โมลาร์ อัตราส่วนโซเดียมซิลิกเกตต่อโซเดียมไฮดรอกไซด์เท่ากับ 1.5 อุณหภูมิการเร่งปฏิกิริยา 75°C ระยะเวลาการบ่ม 7 วัน พนว่าการแทนที่ชีโอໄไลต์ธรรมชาติในถ้วยร้อยละ 0, 60, 80 และ 100 มีค่าหน่วยน้ำหนักเท่ากับ 2,022, 2,081, 2,118 และ $2,270 \text{ kg/m}^3$ ตามลำดับ

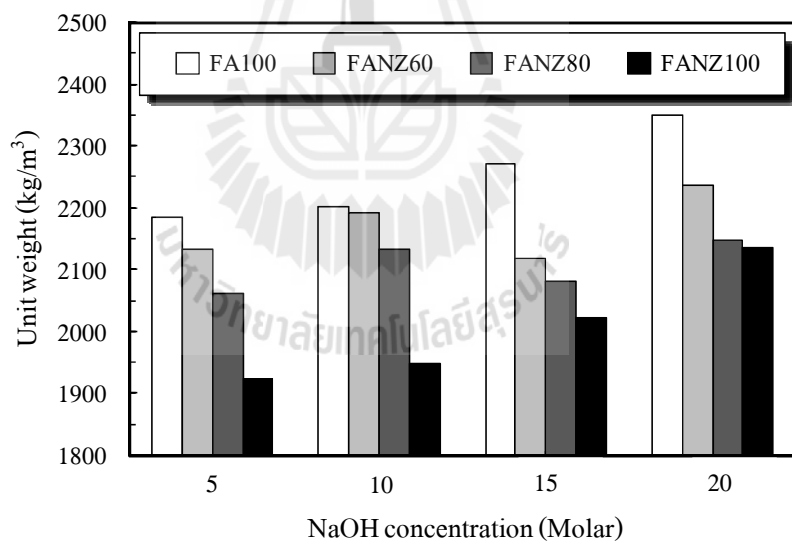
เมื่อพิจารณาเปรียบเทียบค่าหน่วยน้ำหนักของจีโอโพลิเมอร์มอร์ต้าร์ของการแทนที่ไดอะตومไมต์ เพอร์ໄไลต์ และชีโอໄไลต์ธรรมชาติในถ้วยร้อยละ 60 พนว่าการแทนที่ด้วยชีโอໄไลต์ธรรมชาติมีแนวโน้มมีค่าหน่วยน้ำหนักต่ำสุด ซึ่งการแทนที่ด้วยชีโอໄไลต์ธรรมชาติมีค่าหน่วยน้ำหนักต่ำกว่าการแทนที่ด้วยไดอะตومไมต์ และเพอร์ໄไลต์เท่ากับร้อยละ 5.48 และ 6.75 ตามลำดับ เนื่องจากชีโอໄไลต์ธรรมชาติมีค่าความถ่วงจำเพาะต่ำกว่าและมีความพรุนมากกว่าไดอะตومไมต์และเพอร์ໄไลต์ ดังแสดงในรูปที่ 4.71



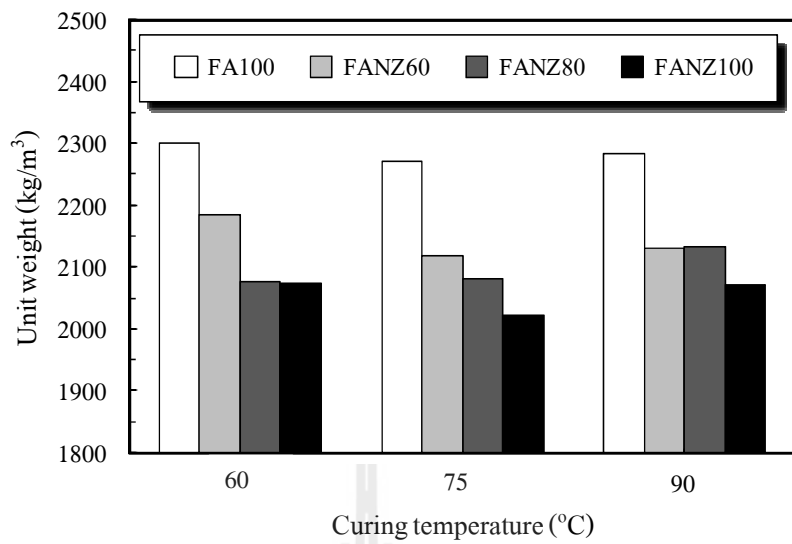
รูปที่ 4.67 หน่วยน้ำหนักของจีโอโพลิเมอร์มอร์ต้าร์จากถ้วยผลสมชีโอໄไลต์ธรรมชาติจากผลกระทบของอัตราส่วนโซเดียมซิลิกเกตต่อโซเดียมไฮดรอกไซด์



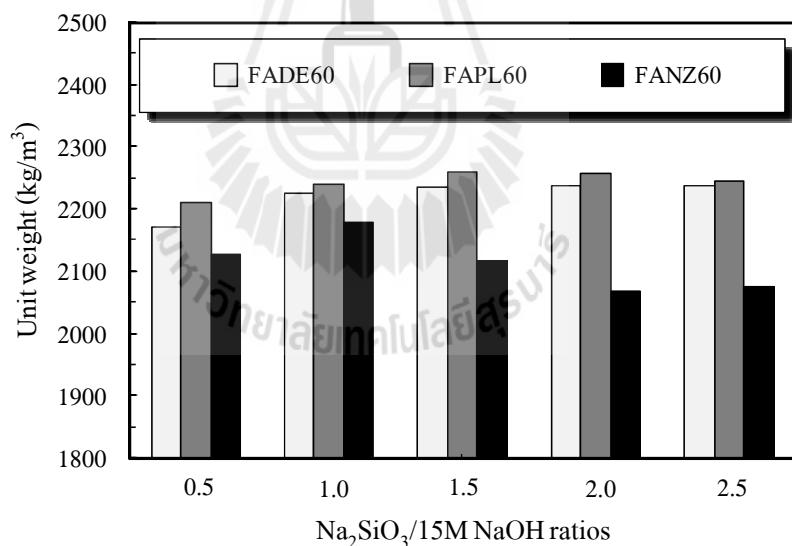
รูปที่ 4.68 หน่วยน้ำหนักของจีโอ โพลิเมอร์มอร์ต้าร์จากเกลอลอยพสมซีโอ ไอลต์ชาร์มชาติ
จากผลกระทบของอัตราส่วนของเหลวต่อวัสดุประสาน



รูปที่ 4.69 หน่วยน้ำหนักของจีโอ โพลิเมอร์มอร์ต้าร์จากเกลอลอยพสมซีโอ ไอลต์ชาร์มชาติ
จากผลกระทบของความเข้มข้นโซเดียมไฮดรอกไซด์



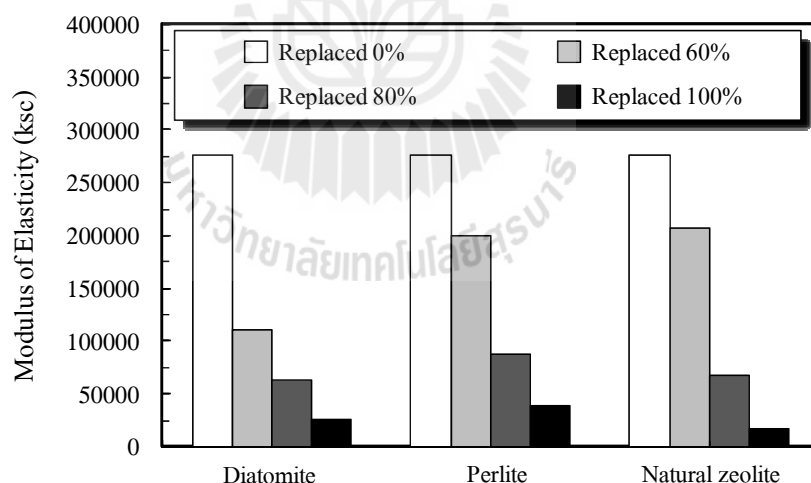
รูปที่ 4.70 หน่วยน้ำหนักของจีโอโพลิเมอร์มอร์ต้าร์จากถ่านหินอย่างสมบูรณ์แบบชั้นต่ำ
จากผลกระทบของอุณหภูมิในการเร่งปฏิกิริยา



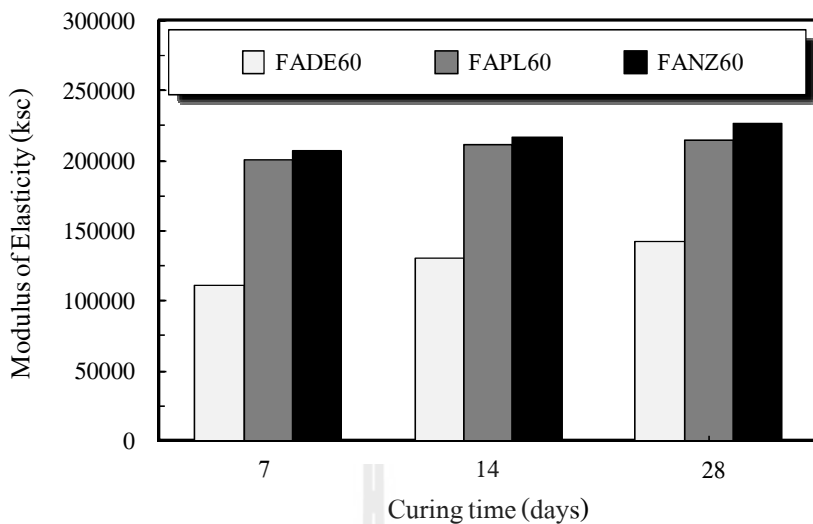
รูปที่ 4.71 เปรียบเทียบค่าหน่วยน้ำหนักของจีโอโพลิเมอร์มอร์ต้าร์ ของการแทนที่ไคลอตอมไม้ต์
เพอร์ไอล์ต์และจีโอไอล์ต์ชั้นต่ำในถ่านหินอย่างละ 60

4.9 โมดูลัสยึดหยุ่นของจีโอโพลิเมอร์ร์ต้าร์

ค่าโมดูลัสยึดหยุ่นของจีโอโพลิเมอร์ร์ต้าร์ ทดสอบโดยใช้ตัวอย่างทรงลูกบาศก์ขนาด 50x50x50 mm การวิเคราะห์ผลเพื่อหาค่าโมดูลัสยึดหยุ่นทำการคัดแปลงจากมาตรฐาน ASTM 469 (2002) ผลการทดสอบค่าโมดูลัสยึดหยุ่นของจีโอโพลิเมอร์ร์ต้าร์จากถ้วยเดล้อยพสม ไดอะตอมไนต์ เพอร์ไอลต์ และซีโอไอลต์ธรรมชาติ ที่แปรผันตามผลกระทบต่าง ๆ พนว่าค่าโมดูลัสยึดหยุ่นของ จีโอโพลิเมอร์ร์ต้าร์มีแนวโน้มลดลงเมื่อปริมาณการแทนที่ไดอะตอมไนต์ เพอร์ไอลต์ และ ซีโอไอลต์ธรรมชาติในส่วนผสมเพิ่มขึ้น เมื่อพิจารณาค่าโมดูลัสยึดหยุ่นที่ความเข้มข้นของ โซเดียมไฮดรอกไซด์เท่ากับ 15 โมลาร์ อัตราส่วนโซเดียมซิลิกเกตต่อโซเดียมไฮดรอกไซด์เท่ากับ 1.5 อุณหภูมิการเร่งปฏิกิริยาเท่ากับ 75°C ทดสอบกำลังอัดที่ระยะครบ 7 วัน พนว่าการแทนที่ ด้วยถ้วยเดล้อยทั้งหมดมีค่าโมดูลัสยึดหยุ่นเท่ากับ 276,000 ksc การแทนที่ไดอะตอมไนต์ในถ้วยเดล้อยร้อยละ 60 80 และ 100 มีค่าโมดูลัสยึดหยุ่นเท่ากับ 111,000 63,000 และ 26,00 ksc ตามลำดับ การแทนที่เพอร์ไอลต์ในถ้วยเดล้อยร้อยละ 60 80 และ 100 มีค่าโมดูลัสยึดหยุ่นเท่ากับ 200,000 87,500 และ 39,000 ksc ตามลำดับ การแทนที่ซีโอไอลต์ธรรมชาติในถ้วยเดล้อยร้อยละ 60 80 และ 100 มีค่าโมดูลัสยึดหยุ่นเท่ากับ 207,000 68,000 และ 17,000 ksc ตามลำดับ ดังแสดงในรูปที่ 4.72



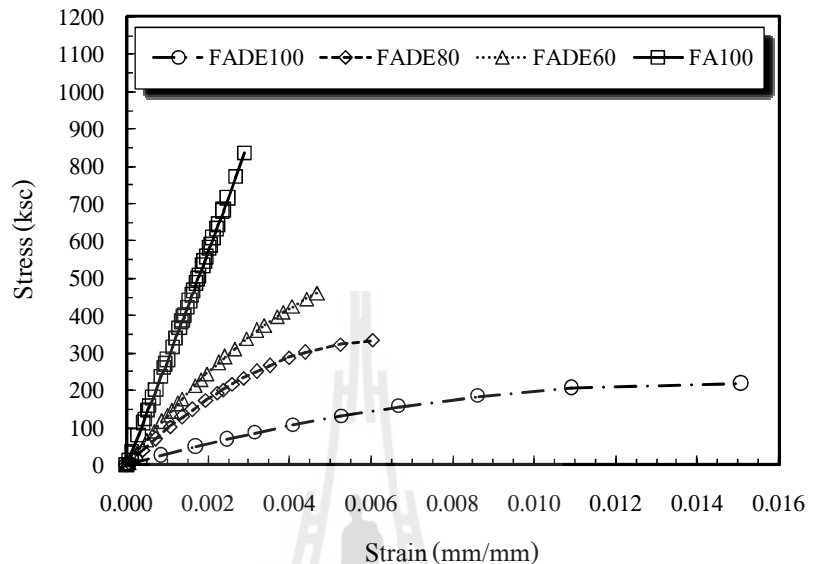
รูปที่ 4.72 เปรียบเทียบโมดูลัสยึดหยุ่นของจีโอโพลิเมอร์ร์ต้าร์จากถ้วยเดล้อยพสม ไดอะตอมไนต์ เพอร์ไอลต์ และซีโอไอลต์ธรรมชาติ ที่ความเข้มข้นโซเดียมไฮดรอกไซด์ 15 โมลาร์ อัตราส่วนโซเดียมซิลิกเกตต่อโซเดียมไฮดรอกไซด์เท่ากับ 1.5 และอุณหภูมิการเร่งปฏิกิริยาเท่ากับ 75°C



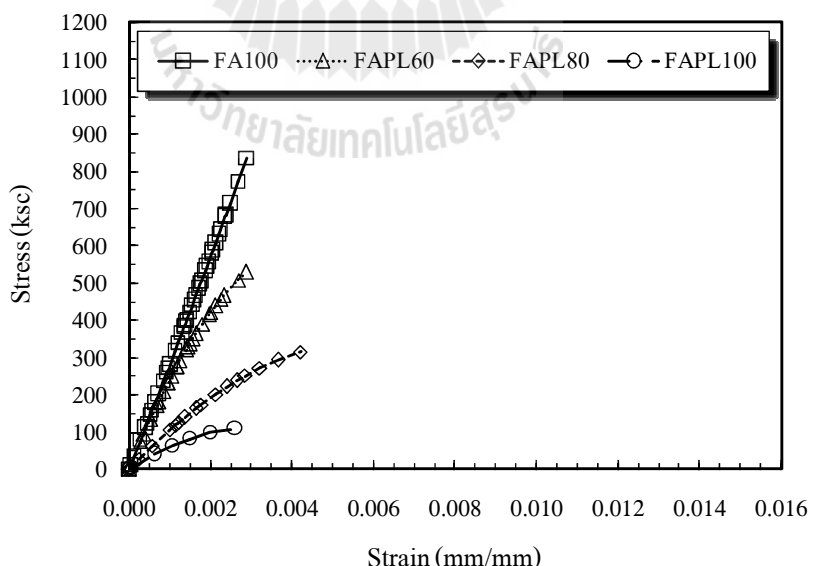
รูปที่ 4.73 เปรียบเทียบ โมดูลัสยืดหยุ่นของจีโอ โพลิเมอร์มอร์ต้าร์จากถ้วยพลาสติก ไดอะตอม ไนต์ เพอร์ไอล์ต และซีโอ ไอล์ตชาร์มชาติ ที่ความเข้มข้นโซเดียมไฮดรอกไซด์ 15 มอลาร์ อัตราส่วนโซเดียมซิลิกเกตต่อโซเดียมไฮดรอกไซด์เท่ากับ 1.5 และอุณหภูมิการเร่งปฏิกิริยาเท่ากับ 75°C ที่ระยะเวลาการบ่ม 7 14 และ 28 วัน

เมื่อพิจารณาเปรียบเทียบค่าโมดูลัสยืดหยุ่นของจีโอ โพลิเมอร์มอร์ต้าร์ ของการแทนที่ไดอะตอม ไนต์ เพอร์ไอล์ต และซีโอ ไอล์ตชาร์มชาติในถ้วยร้อยละ 100 พบร่วมกับเพอร์ไอล์ตมีค่าความแกร่งมากที่สุด และไดอะตอม ไนต์มีค่าความแกร่งมากกว่าซีโอ ไอล์ตชาร์มชาติ อาจเนื่องจากคุณสมบัติทางเคมีของเพอร์ไอล์ตที่มีลักษณะไม่เป็นผลึกหรือมีรูปร่างอสัมฐาน (Glassy phase or Amorphous) แสดงถึงความว่องไวในการทำปฏิกิริยามากกว่าไดอะตอม ไนต์และซีโอ ไอล์ตชาร์มชาติ ที่มีแนวโน้มเป็นลักษณะความเป็นผลึก (Crystallinity) ดังที่ได้สรุปไว้ว่าข้างต้น ซึ่งหากพิจารณาการแทนที่ด้วยไดอะตอม ไนต์มีกำลังอัดมากกว่าทั้งการแทนที่ด้วยเพอร์ไอล์ตและซีโอ ไอล์ตชาร์มชาติ ก็จริง แต่การแทนที่ด้วยไดอะตอม ไนต์มีการเสียรูปหรือการเปลี่ยนแปลงรูปร่างมากกว่าเพอร์ไอล์ตและซีโอ ไอล์ตชาร์มชาติ ทำให้กราฟมีความชันลดลงเมื่อเปรียบเทียบกับเพอร์ไอล์ตและซีโอ ไอล์ตชาร์มชาติ ส่วนการแทนที่ไดอะตอม ไนต์ เพอร์ไอล์ต และซีโอ ไอล์ตชาร์มชาติในถ้วยร้อยละ 80 พบร่วมกับเพอร์ไอล์ตมีค่าความแกร่งมากที่สุด ส่วนไดอะตอม ไนต์และซีโอ ไอล์ตชาร์มชาติมีความแกร่งใกล้เคียงกัน ส่วนการแทนที่ไดอะตอม ไนต์ เพอร์ไอล์ต และซีโอ ไอล์ตชาร์มชาติในถ้วยร้อยละ 60 พบร่วมกับเพอร์ไอล์ตมีค่าความแกร่งมากที่สุด และซีโอ ไอล์ตชาร์มชาติมีความแกร่งมากกว่าไดอะตอม ไนต์ จากวิจัย Castaldi et al. (2008) ได้ให้ข้อสรุปไว้ว่าซีโอ ไอล์ตชาร์มชาติ

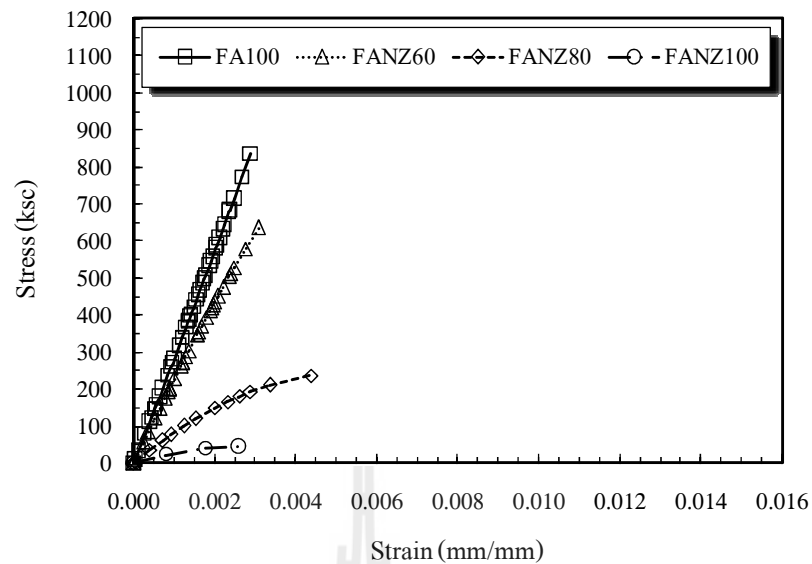
มีแนวโน้มของคุณสมบัติในการแตกเปลี่ยนอ่อนไหวต่ำสุดเมื่อเปรียบเทียบกับไ/doe том ไม้ต์และเพอร์ไ/doe สังผลให้มีกำลังอัดและความแกร่งเพิ่มขึ้น



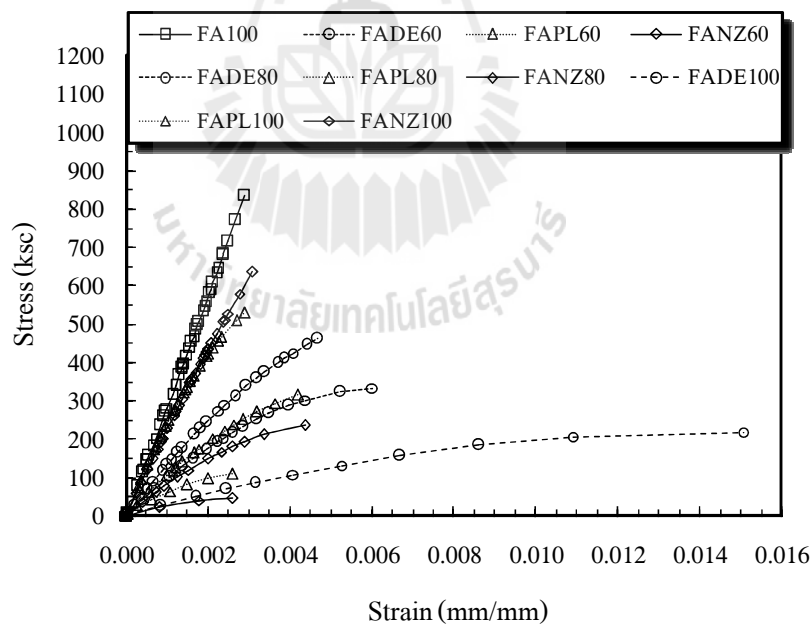
รูปที่ 4.74 ความสัมพันธ์ระหว่างความเก็บและความเครียดของจีโอโพลิเมอร์ตัวร์จากถ้าลองผสานไ/doe tom ไม้ต์



รูปที่ 4.75 ความสัมพันธ์ระหว่างความเก็บและความเครียดของจีโอโพลิเมอร์ตัวร์จากถ้าลองผสานเพอร์ไ/doe



รูปที่ 4.76 ความสัมพันธ์ระหว่างความเค้นและความเครียดของจีโอ โพลิเมอร์ตัวร์
จากถ้าลองผสานซีโอ ไอล์ต์ธรรมชาติ



รูปที่ 4.77 เปรียบเทียบความสัมพันธ์ระหว่างความเค้นและความเครียดของจีโอ โพลิเมอร์ตัวร์
จากถ้าลองผสานไมต์ เพอร์ไอล์ต และซีโอ ไอล์ต์ธรรมชาติ

จากรูปที่ 4.73 แสดงถึงค่าโมดูลัสยึดหยุ่นของจีโอโพลิเมอร์รัตเตอร์ เมื่อพิจารณาเปรียบเทียบระยะเวลาการบ่ม 7 14 และ 28 วัน การแทนที่ไโคอะตอนไมต์ เพอร์ไอลต์ และซีโอไอลต์ธรรมชาติในถ้วยร้อยละ 60 โดยใช้ความเข้มข้นของโซเดียมไฮดรอกไซด์เท่ากับ 15 โนมาร์ อัตราส่วนโซเดียมซิลิกेटต่อโซเดียมไฮดรอกไซด์เท่ากับ 1.5 อุณหภูมิการเร่งปฏิกริยาเท่ากับ 75°C พนว่าค่าโมดูลัสยึดหยุ่นมีแนวโน้มเพิ่มขึ้นเมื่อระยะเวลาการบ่มเพิ่มขึ้น เมื่อพิจารณาเปรียบเทียบระยะเวลาการบ่ม 7 และ 28 วัน พนว่าการแทนที่ด้วยไโคอะตอนไมต์มีค่าโมดูลัสยึดหยุ่นเพิ่มขึ้นเท่ากับร้อยละ 29.02 การแทนที่ด้วยเพอร์ไอลต์มีค่าโมดูลัสยึดหยุ่นเพิ่มขึ้นเท่ากับร้อยละ 7.14 และการแทนที่ด้วยซีโอไอลต์ธรรมชาติมีค่าโมดูลัสยึดหยุ่นเพิ่มขึ้นเท่ากับร้อยละ 9.59

เมื่อพิจารณาความสัมพันธ์ระหว่างความเค็นและความเครียดของจีโอโพลิเมอร์รัตเตอร์ ดังแสดงในรูปที่ 4.74 ถึง 4.77 พนว่าแนวโน้มของกราฟมีความชันลดลงและความเค็นมีลดลงแต่ความเครียดมีมากขึ้นเมื่อปริมาณการแทนที่ไโคอะตอนไมต์ เพอร์ไอลต์ และซีโอไอลต์ธรรมชาติในถ้วยร้อยละเพิ่มมากขึ้น โดยลักษณะเส้นกราฟคล้ายพาราโบลาค่าว่าคล้ายกับคอนกรีตทั่วไป และพฤติกรรมการรับกำลังอัดของจีโอโพลิเมอร์รัตเตอร์ในช่วงเริ่มต้นมีลักษณะเป็นแบบเชิงเส้น (Linear) จนถึงจุดที่จีโอโพลิเมอร์รัตเตอร์รับแรงกดอัดได้ประมาณร้อยละ 40 ถึง 70 ของกำลังอัดประดับ จากนั้นกราฟความสัมพันธ์ระหว่างความเค็นและความเครียดมีลักษณะที่โถงมากขึ้นและเกิดรอยแตกร้าวเล็ก ๆ (Microcrack) อย่างต่อเนื่อง แต่เมื่อแรงกระทำสูงขึ้นรอยแตกร้าวจะเกิดและขยายใหญ่มากขึ้นและพนว่าความสัมพันธ์ระหว่างความเค็นและความเครียดมีความโถงมากขึ้น จนกระทั่งตัวอย่างทดสอบเกิดการวินาศิษฐ์ นอกจากนั้นยังพบว่าจีโอโพลิเมอร์รัตเตอร์จากถ้วยร้อยละ 60 ทึ้งหมดที่มีกำลังอัดสูง เมื่อถึงจุดกำลังอัดประดับพนว่ากำลังอัดมีค่าลดลงอย่างรวดเร็วและเกิดการวินาศิษฐ์อย่างรุนแรงและทันทีทันใด ในทางตรงกันข้ามกับจีโอโพลิเมอร์รัตเตอร์ของการแทนที่ด้วยไโคอะตอนไมต์ เพอร์ไอลต์ และซีโอไอลต์ธรรมชาติในถ้วยร้อยละ 60 ที่มีกำลังอัดต่ำกว่าการใช้ถ้วยร้อยละ 60 ทึ้งหมดในส่วนผสมพนว่ากำลังอัดมีค่าลดลงอย่างช้า ๆ และมีค่าความเครียดสูง ซึ่งแสดงว่ามีความหนืด弹性ในแนวแกน (Axial ductility) ที่สูงขึ้น

เมื่อพิจารณาวิเคราะห์เปรียบเทียบความสัมพันธ์ระหว่างความเค็นและความเครียดของจีโอโพลิเมอร์รัตเตอร์กับซีเมนต์มอร์ต้าร์ พนว่าจีโอโพลิเมอร์รัตเตอร์มีการเปลี่ยนแปลงรูปร่าง (Deformation) ใกล้เคียงกับซีเมนต์มอร์ต้าร์ ซึ่งปกติแล้วซีเมนต์มอร์ต้าร์จะมีการเปลี่ยนแปลงรูปร่างประมาณ 0.003 mm/mm แต่ขณะที่การเปลี่ยนแปลงรูปร่างของจีโอโพลิเมอร์รัตเตอร์ที่การแทนที่ไโคอะตอนไมต์ เพอร์ไอลต์ และซีโอไอลต์ธรรมชาติในถ้วยร้อยละ 60 ซึ่งเป็นสัดส่วนของการแทนที่สามารถประยุกต์นำไปใช้งานได้ มีค่าการเปลี่ยนแปลงรูปร่างประมาณ $0.0047 - 0.0029$ และ 0.0031 mm/mm ตามลำดับ ส่วนการแทนที่ถ้วยร้อยในส่วนผสมทึ้งหมดมีการเปลี่ยนแปลงรูปร่าง

ประมาณ 0.0029 mm/mm จากเหตุผลข้างต้นสรุปได้ว่าการเปลี่ยนแปลงรูปร่างของงานวิจัยนี้ ไกล์เคียงกับซีเมนต์มอร์ต้าร์ เมื่อพิจารณาค่าการเปลี่ยนแปลงรูปร่างของการแทนที่ไโคะตอมไม่ต์ เพอร์ไอล์ต และซีไอโอลิตซ์ธรรมชาติในถ้วยอยร้อยละ 60 พบร่วมกับไโคะตอมไม่ต์มีการเปลี่ยนแปลงรูปร่างมากที่สุด อาจเนื่องจากไโคะตอมไม่ต์มีลักษณะของความพรุนและช่องว่างสูงกว่าเพอร์ไอล์ต และซีไอโอลิตซ์ธรรมชาติ ทำให้เมื่อได้รับแรงอัดแทนที่จะเกิดการแตกร้าวตามผิวสัมผัสเหมือนกับซีเมนต์มอร์ต้าร์ แต่มิผลทำให้โพรงและช่องว่างของวัสดุเกิดการเปลี่ยนแปลงในลักษณะยุบตัวลงโดยไม่เกิดการวินดิแบนทันทีทันใด ซึ่งสามารถสังเกตได้จากลักษณะการวินดิของตัวอย่างจีไอโพลิเมอร์มอร์ต้าร์ยังมีการยึดเกาะกันอยู่ คงแสดงในรูปที่ 4.78 ถึง 4.80 ส่วนการแทนที่ด้วยเพอร์ไอล์ตมีลักษณะของความพรุนและช่องว่างน้อยกว่า อีกทั้งลักษณะอนุภาคที่ค่อนข้างกลมสั่งผลให้มีการเปลี่ยนแปลงรูปร่างไกล์เคียงกับส่วนผสมของถ้วยอยล้วนและซีเมนต์มอร์ต้าร์



รูปที่ 4.78 ลักษณะการวินดิของจีไอโพลิเมอร์มอร์ต้าร์จากถ้วยอยผสมไโคะตอมไม่ต์



รูปที่ 4.79 ลักษณะการวินดิของจีไอโพลิเมอร์มอร์ต้าร์จากถ้วยอยผสมเพอร์ไอล์ต



รูปที่ 4.80 ลักษณะการวินาศีของจีโอ โพลิเมอร์มอร์ต้าร์จากถ้าลอยผสมซีโอไอล์ต์ธรรมชาติ



รูปที่ 4.81 ลักษณะการวินาศีของจีโอ โพลิเมอร์มอร์ต้าร์จากถ้าลอย

จากรูปที่ 4.78 ถึง 4.81 พบว่าลักษณะการวินาศีของจีโอ โพลิเมอร์มอร์ต้าร์มีการวินาศีเกิดขึ้น ได้ทั้งสามลักษณะคือ แบบเฉือนหรือรูปกรวย แบบผ่าซีกหรือแนวตรง และแบบระเบิด ซึ่งขึ้นอยู่กับค่ากำลังอัดของจีโอ โพลิเมอร์มอร์ต้าร์ และปริมาณการแทนที่ของไคลอตومไมต์ เพอร์ไอล์ต และซีโอไอล์ต์ธรรมชาติในถ้าลอย พบร่องรอยของจีโอ โพลิเมอร์มอร์ต้าร์ที่มีกำลังอัดอยู่ในช่วง 100 ถึง 700 ksc มีลักษณะการวินาศีแบบเฉือนหรือรูปกรวย และจีโอ โพลิเมอร์มอร์ต้าร์ที่มีกำลังอัดสูงที่อยู่ในช่วง 700 ถึง 950 ksc มีลักษณะการวินาศีแบบระเบิด ส่วนลักษณะการวินาศีแบบผ่าซีกหรือแนวตรงของจีโอ โพลิเมอร์มอร์ต้าร์นั้นถือเป็นส่วนน้อยของการทดสอบตัวอย่างห้องหมุด นอกจากนั้นยังพบว่าลักษณะการวินาศีของการแทนที่ด้วยไคลอตومไมต์ เพอร์ไอล์ต และซีโอไอล์ต์ธรรมชาติในถ้าลอย มีแนวโน้มที่มีการวินาศีแบบเฉือนหรือรูปกรวย เนื่องจากมีกำลังอัดที่ต่ำและมีความเนื้อยวในแนวแกนมากกว่าการใช้ถ้าลอยห้องหมุดในส่วนผสมดังแสดงในความสัมพันธ์ระหว่างความเค็นและ

ความเครียด เมื่อพิจารณาเปรียบเทียบกับชีเมนต์อร์ต้าร์ที่ใช้อัตราส่วนเทียบเท่าหรือจากงานวิจัยที่ผ่านมา พบว่าจะมีลักษณะการวินิจฉัยเกิดขึ้นแบบเดือนหรือรูปกรวย

ในกรณีที่วัสดุประดิษฐ์ด้านท่านต่อการเปลี่ยนแปลงรูปร่างและการวินิจฉัยโดยใช้แรงเสียดทานภายในและแรงยึดเหนี่ยว (Cohesion) ระหว่างอนุภาคในวัสดุนั้น มุมที่เกิดการวินิจฉัยจะไม่ทำมุม 45 องศา กับแนวราบตามที่สามารถพิสูจน์ได้โดยใช้ Mohr's circle แต่มุมดังกล่าวจะเป็น Function กับมุมของความเสียดทานภายในระหว่างอนุภาคในวัสดุด้วย โดยทั่วไปแล้วค่าของมุมที่เกิดการวินิจฉัยของคอนกรีตจะอยู่ในช่วง 50 ถึง 60 องศา แต่สำหรับงานวิจัยครั้งนี้เป็นจีโอโพลิเมอร์มอร์ต้าร์มีค่าของมุมที่เกิดการวินิจฉัยอยู่ในช่วง 30 ถึง 45 องศา อาจเนื่องจากงานวิจัยนี้เป็นมอร์ต้าร์และมีกำลังอัดที่สูงกว่าคอนกรีต อีกทั้งงานวิจัยครั้งนี้ใช้อัตราส่วนทรายต่อวัสดุประมาณเท่ากับ 1.50 ซึ่งตามมาตรฐาน ASTM C 109 (2002) ที่ให้ใช้อัตราส่วนทรายต่อวัสดุประมาณเท่ากับ 2.75 ส่งผลให้มีความเป็นเนื้อเดียวกันมากกว่ามอร์ต้าร์ที่ใช้ปูนซีเมนต์เป็นวัสดุประมาณ ทำให้รูปแบบของการวินิจฉัยและความเค้นที่เกิดขึ้นมีค่าต่างจากการวินิจฉัยทั่วไป อีกสาเหตุหนึ่งเนื่องจากงานวิจัยครั้งนี้ใช้ตัวอย่างทดสอบเป็นทรงลูกบาศก์ซึ่งมีแรงเสียดทานที่เกิดขึ้นที่ผิวสัมผัสระหว่างหัวกดกับตัวอย่างทดสอบ น้อยกว่าตัวอย่างทดสอบทรงกระบอกทำให้การขยายตัวทางด้านข้างน้อยกว่า จึงทำให้สภาวะของหน่วยแรงที่เกิดขึ้นในเนื้อวัสดุเปลี่ยนไป (ลิทธิชัย แสงอาทิตย์, 2000)

4.10 วิเคราะห์ราคาของวัสดุที่ใช้ในงานวิจัย

จากการสำรวจเพิ่มราคาวัสดุที่ใช้ในงานวิจัย ดังแสดงในตารางที่ 4.3 แสดงถึงเฉลี่ยมราคากล่องตันทุนถูกที่สุด โดยมีราคากล่องตันทุนถูกกว่าไ/do/atom/ไมต์ เพอร์ไอลต์ และซีโอไอลต์-ธรรมชาติประมาณ 3.5 2.0 และ 12 เท่าของราคากล่องตันทุนเฉลี่ย แต่แนวโน้มการใช้ไ/do/atom/ไมต์ และซีโอไอลต์ธรรมชาติในส่วนผสมของจีโอโพลิเมอร์มอร์ต้าร์สามารถลดหน่วยน้ำหนักลงได้ประมาณ 300 ถึง 500 kg/m³ ยกเว้นการใช้เพอร์ไอลต์ในส่วนผสมของจีโอโพลิเมอร์มอร์ต้าร์ที่มีแนวโน้มลดหน่วยน้ำหนักได้เพียงเล็กน้อยเท่านั้น

ในการนำไ/do/atom/ไมต์ เพอร์ไอลต์ และซีโอไอลต์ธรรมชาติมาใช้ในส่วนผสมของจีโอโพลิเมอร์มอร์ต้าร์ โดยการแทนที่ในเฉลี่ยมราคากล่องตันทุนถูกที่สุดและค่าหน่วยน้ำหนักต่ำที่สุด แต่มีพิจารณาค่าตันทุนต่อ 1 m³ จะมีราคากล่องตันทุนสูงการแทนที่ด้วยไ/do/atom/ไมต์และเพอร์ไอลต์เท่ากับ 1.60 และ 1.80 เท่าของราคาตันทุนการแทนที่ซีโอไอลต์ธรรมชาติในส่วนผสมจีโอโพลิเมอร์มอร์ต้าร์

ตารางที่ 4.3 การเปรียบเทียบราคาของวัสดุที่ใช้ในงานวิจัย

วัสดุ	ราคา/กก (บาท)	แหล่งที่มา ของวัสดุ	บริษัทจัดจำหน่าย
ไดอะตอมไม้ต์	3.5	ลำปาง	หจก. โกรวิทปูนขาว
เพอร์ไอล์ต์	2.0	ลพบุรี	บริษัท ทองมกรากษา เกษตร จำกัด
ซีโอไอค์ซ์รرمชาติ	12.0	รัสเซีย	บริษัท ซีโออิเก็ค อินเตอร์เนชั่นแนล จำกัด
เก้าลอก	1.0	ลำปาง	หจก.เจ เอ ไอ เอ็นจิเนียริ่ง

หมายเหตุ: หจก. โกรวิทปูนขาว 29 หมู่ 7 ตำบลหน้าพระลาน อำเภอเฉลิมพระเกียรติ

จังหวัดสระบุรี โทรศัพท์ 036-334-4444

บริษัท ทองมกรากษา เกษตร จำกัด 247 หมู่ 6 ตำบลลำนาภัย อำเภอชัยนาดา

จังหวัดลพบุรี โทรศัพท์ 036-630-8135

บริษัท ซีโออิเก็ค อินเตอร์เนชั่นแนล จำกัด 2922/146 ชั้น 4 ถนนเพชรบุรีตัดใหม่

แขวงบางกะปิ เขตห้วยขวาง กรุงเทพฯ โทรศัพท์ 02-716-5388

หจก.เจ เอ ไอ เอ็นจิเนียริ่ง 368/64 หมู่ 2 หมู่บ้านเพญพร ถนนพุทธบูชา 44

แขวงบางมด เขตทุ่งครุ กรุงเทพฯ โทรศัพท์ 02-869-3549

ตารางที่ 4.4 การเปรียบเทียบราคาต้นทุนของจีโอ โพลิเมอร์มอร์ตาร์ กับซีเมนต์มอร์ตาร์

รายการ	กำลังอัด (ksc)	หน่วยน้ำหนัก (kg/m ³)	ราคา (บาท/m ³)	ราคา/กำลังอัด (บาท/ksc)
FADE60*	474	2,180	6,715	14.17
FAPL60*	551	2,241	5,995	10.88
FANZ60*	604	2,095	10,795	17.87
Cement mortar**	321	2,335	1,953	6.08

หมายเหตุ: * จีโอ โพลิเมอร์มอร์ตาร์ โดยใช้ความเข้มข้น โซเดียมไฮดรอกไซด์เท่ากับ 15 โมลาร์

อัตราส่วนของเหลวต่อวัสดุประสานเท่ากับ 0.50

อัตราส่วนโซเดียมซิลิกเกตต่อโซเดียมไฮดรอกไซด์เท่ากับ 1.5

อัตราส่วนทรายต่อวัสดุประสานเท่ากับ 1.50

ทดสอบกำลังอัดที่ระยะเวลาการบ่ม 28 วัน

** ซีเมนต์มอร์ตาร์ โดยใช้อัตราส่วนน้ำต่อซีเมนต์เท่ากับ 0.50

อัตราส่วนทรายต่อซีเมนต์เท่ากับ 2.75 (ASTM C 109)

ทดสอบกำลังอัดที่ระยะเวลาการบ่ม 28 วัน

เมื่อพิจารณาเปรียบเทียบราคางานทุนระหว่างจีโอโอลิเมอร์มอร์ต้าร์กับซีเมนต์มอร์ต้าร์พบว่าราคางานทุนของจีโอโอลิเมอร์มอร์ต้าร์มีราคาต้นทุนที่สูงกว่าราคางานทุนของซีเมนต์มอร์ต้าร์ประมาณ 3 ถึง 5 เท่า แต่กำลังอัดของจีโอโอลิเมอร์มอร์ต้าร์มีค่าสูงกว่าซีเมนต์มอร์ต้าร์ประมาณ 2 เท่า ดังนั้นยังมีความเป็นไปได้ในการลดราคาต้นทุนในการผลิตจีโอโอลิเมอร์มอร์ต้าร์ เนื่องจากมีกำลังอัดที่สูงกว่า โดยการใช้น้ำและเลาโลยเพื่อลดปริมาณของเหลวในส่วนผสม เนื่องจากการเพิ่มปริมาณของเลาโลยมากขึ้นและการใช้น้ำแทนที่ของเหลวในส่วนผสมสามารถปรับอัตราส่วนทรายต่อวัสดุประสานให้มากขึ้นได้ เพราะทรายมีราคาต้นทุนที่ถูกกว่าวัสดุอื่น ๆ อีกทั้งยังสามารถปรับความเข้มข้นของโซเดียมไอกซ์โซร์ที่ลดลงได้ อย่างไรก็ตามการผลิตจีโอโอลิเมอร์มอร์ต้าร์ยังมีความเป็นได้โดยการปรับอัตราส่วนให้เหมาะสมมากยิ่งขึ้นทั้ง น้ำหนัก กำลังอัด และราคางานทุนเพื่อให้มีความเหมาะสมสมต่อการประยุกต์ใช้งานต่อไป



บทที่ 5

บทสรุป

งานวิจัยนี้ได้ศึกษากำลังอัดของจีโอ โพลิเมอร์ตัวร์จากถ้าloyผสมไโคะตومไม่ต์ เพอร์ไอล์ต์ และซีโอ ไอล์ต์ชรมชาติ จากผลดำเนินการสามารถสรุปผลการวิจัยได้ดังนี้

5.1 สรุปผลงานวิจัย

5.1.1 จีโอ โพลิเมอร์ตัวร์จากถ้าloyผสมไโคะตومไม่ต์

การใช้ไโคะตومไม่ต์ในส่วนผสมของจีโอ โพลิเมอร์ตัวร์ ส่งผลให้กำลังอัดลดลงเมื่อปริมาณการแทนที่เพิ่มขึ้น การพัฒนากำลังอัดมีค่าสูงขึ้นตามระยะอายุการบ่ม และจากคุณสมบัติที่มีน้ำหนักเบา มีรูพรุนสูง สามารถลดหน่วงน้ำหนักของจีโอ โพลิเมอร์ตัวร์ลง ได้

1. ความสามารถทำงานได้ขึ้นอยู่กับปริมาณการแทนที่ไโคะตومไม่ต์ในถ้าloy ปริมาณของโซเดียมซิลิกเกตในส่วนผสม อัตราส่วนของเหลวต่อวัสดุประสาน และความเข้มข้นของโซเดียมไฮดรอกไซด์

2. การแทนที่ไโคะตอมไม่ต์ในถ้าloyสามารถยึดระยะการก่อตัวเริ่มต้นและระยะก่อตัวสุดท้ายของจีโอ โพลิเมอร์ตัวร์ได้

3. การแทนที่ไโคะตอมไม่ต์ในถ้าloyร้อยละ 60 ถึง 100 กำลังอัดมีแนวโน้มต้องการปริมาณของโซเดียมซิลิกเกตมากกว่าโซเดียมไฮดรอกไซด์

4. การแทนที่ไโคะตอมไม่ต์ในถ้าloyร้อยละ 60 อัตราส่วนโซเดียมซิลิกเกตต่อโซเดียมไฮดรอกไซด์เท่ากับ 2.0 อัตราส่วนของเหลวต่อวัสดุประสานเท่ากับ 0.50 ความเข้มข้นโซเดียมไฮดรอกไซด์เท่ากับ 15 ไมลาร์ อุณหภูมิการเร่งปฏิกิริยาเท่ากับ 75°C เป็นภาวะที่ดีที่สุดทั้งความสามารถทำงานได้และกำลังอัด ซึ่งมีค่ากำลังอัดและการไฟลแฟ่�테ากับ 486 ksc และ 35% ตามลำดับ

5. การแทนที่ด้วยไโคะตอมไม่ต้มมีแนวโน้มที่ต้องการระยะเวลาการบ่มมากขึ้น เพื่อให้มีการทำปฏิกิริยาที่สมบูรณ์ยิ่งขึ้น และกำลังอัดมีแนวโน้มเพิ่มขึ้นเรื่อยๆ ตามระยะเวลาการบ่มที่มากขึ้น เช่นเดียวกันกับการแทนที่ด้วยเพอร์ไอล์ต์และซีโอ ไอล์ต์ชرمชาติ

6. อัตราส่วนซิลิกาต่ออัลูมินาที่สูงขึ้นช่วยเพิ่มความสามารถทำงานได้แต่กำลังอัดลดลง เช่นเดียวกันกับการแทนที่ด้วยเพอร์ไอล์ต์และซีโอ ไอล์ต์ชرمชาติ

7. ค่าโมดูลัสยึดหยุ่นมีแนวโน้มลดลงเมื่อปริมาณการแทนที่ไดอะตอมไนต์ในถ้าลอยมากขึ้น เช่นเดียวกันกับการแทนที่ด้วยเพอร์ไอล์ตและซีโอล์ดัตช์ธรรมชาติ

8. อัตราส่วนผสมที่มีความเหมาะสมที่สุดทั้งในเรื่องของความสามารถทำงานได้กำลังอัด หน่วยน้ำหนัก และราคาต้นทุนในการผลิตของจีโอล์โพลิเมอร์มอร์ต้าร์ คือการแทนที่ไดอะตอมไนต์ในถ้าลอยร้อยละ 60 อัตราส่วนโซเดียมซิลิกเกตต่อโซเดียมไฮดรอกไซด์เท่ากับ 2.0 อัตราส่วนของเหลวต่อวัสดุประสานเท่ากับ 0.50 ความเข้มข้นโซเดียมไฮดรอกไซด์เท่ากับ 15 ไมลาร์ อุณหภูมิการเร่งปฏิกริยาเท่ากับ 75°C

5.1.2 จีโอล์โพลิเมอร์มอร์ต้าร์จากถ้าลอยผสมเพอร์ไอล์ต

การใช้เพอร์ไอล์ต์ในส่วนผสมของจีโอล์โพลิเมอร์มอร์ต้าร์ ส่งผลให้กำลังอัดลดลง เมื่อปริมาณการแทนที่เพิ่มขึ้น การพัฒนากำลังอัดมีค่าสูงขึ้นตามระยะอายุการบ่ม และจากคุณสมบัติที่มีน้ำหนักและรูพรุนใกล้เคียงกับถ้าลอย ทำให้สามารถลดหน่วยน้ำหนักของจีโอล์โพลิเมอร์มอร์ต้าร์ลงได้ไม่นัก

1. ความสามารถทำงานได้ขึ้นอยู่กับปริมาณการแทนที่เพอร์ไอล์ต์ในถ้าลอย ปริมาณของโซเดียมซิลิกเกตในส่วนผสม อัตราส่วนของเหลวต่อวัสดุประสาน และความเข้มข้นของโซเดียมไฮดรอกไซด์

2. การแทนที่เพอร์ไอล์ต์ในถ้าลอยสามารถยึดระยะเวลาการก่อตัวเริ่มต้นและระยะเวลา ก่อตัวสุดท้ายของจีโอล์โพลิเมอร์มอร์ต้าร์ได้ แต่มีค่าใกล้เคียงกับถ้าลอย และเร็วกว่าการแทนที่ด้วยไดอะตอมไนต์และซีโอล์ดัตช์ธรรมชาติ เนื่องจากเพอร์ไอล์ตมีคุณสมบัติที่มีความไม่เป็นผลลัพธ์ เช่นเดียวกันกับถ้าลอย ส่งผลให้มีความว่องไวในการทำงานปฏิกริยาที่รวดเร็ว

3. การแทนที่เพอร์ไอล์ต์ในถ้าลอยร้อยละ 60 ถึง 100 กำลังอัดมีแนวโน้มต้องการปริมาณของโซเดียมซิลิกเกตมากกว่าโซเดียมไฮดรอกไซด์

4. การแทนที่เพอร์ไอล์ต์ในถ้าลอยร้อยละ 60 อัตราส่วนโซเดียมซิลิกเกตต่อโซเดียมไฮดรอกไซด์เท่ากับ 2.0 อัตราส่วนของเหลวต่อวัสดุประสานเท่ากับ 0.50 ความเข้มข้นโซเดียมไฮดรอกไซด์เท่ากับ 15 ไมลาร์ อุณหภูมิการเร่งปฏิกริยาเท่ากับ 75°C เป็นภาวะที่ดีที่สุดทั้งความสามารถทำงานได้และกำลังอัด ซึ่งมีค่ากำลังอัดและการไฟลแพทเท่ากับ 589 ksc และ 53% ตามลำดับ

5. การแทนที่ด้วยเพอร์ไอล์ตมีแนวโน้มที่ต้องการระยะเวลาการบ่มมากขึ้น เพื่อให้มีการทำปฏิกริยาที่สมบูรณ์ยิ่งขึ้น และกำลังอัดมีแนวโน้มเพิ่มขึ้นเรื่อยๆ ตามระยะเวลาการบ่มที่มากขึ้น เช่นเดียวกันกับการแทนที่ด้วยไดอะตอมไนต์และซีโอล์ดัตช์ธรรมชาติ

6. อัตราส่วนซิลิกาต่ออลูมินาที่สูงขึ้นช่วยเพิ่มความสามารถทำงานได้แต่กำลังอัดลดลง เช่นเดียวกันกับการแทนที่ด้วยไฮด्रอเจนไนต์และซีโอลิตชาร์มชาติ

7. ค่าโมดูลัสยืดหยุ่นเมื่อแนวโน้มลดลงเมื่อปริมาณการแทนที่เพอร์ไอลิตในถ้าโลยมากขึ้น เช่นเดียวกันกับการแทนที่ด้วยไฮด्रอเจนไนต์และซีโอลิตชาร์มชาติ

8. อัตราส่วนผสมที่มีความเหมาะสมที่สุดทั้งในเรื่องของความสามารถทำงานได้ กำลังอัด หน่วยวินาหนัก และราคาต้นทุนในการผลิตของจีโอลิเมอร์ตัวร์ คือการแทนที่ เพอร์ไอลิตในถ้าโลยร้อยละ 60 อัตราส่วนโซเดียมซิลิกเกตต่อโซเดียมไฮดรอกไซด์เท่ากับ 2.0 อัตราส่วนของเหลวต่อวัสดุประสานเท่ากับ 0.50 ความเข้มข้นโซเดียมไฮดรอกไซด์เท่ากับ 15 ไมลาร์ อุณหภูมิการเร่งปฏิกิริยาเท่ากับ 75°C

5.1.3 จีโอลิเมอร์ตัวร์จากถ้าโลยผสมซีโอลิตชาร์มชาติ

การใช้ซีโอลิตชาร์มชาติในส่วนผสมของจีโอลิเมอร์ตัวร์ ส่งผลให้กำลังอัดลดลงเมื่อปริมาณการแทนที่เพิ่มขึ้น การพัฒนากำลังอัดมีค่าสูงขึ้นตามระยะเวลาอายุการบ่ม และจากคุณสมบัติที่มีน้ำหนักเบา มีรูพรุนสูง สามารถลดหน่วยวินาหนักของจีโอลิเมอร์ตัวร์ลงได้

1. ความสามารถทำงานได้ขึ้นอยู่กับปริมาณการแทนที่ซีโอลิตชาร์มชาติในถ้าโลยปริมาณของโซเดียมซิลิกเกตในส่วนผสม อัตราส่วนของเหลวต่อวัสดุประสาน และความเข้มข้นของโซเดียมไฮดรอกไซด์

2. การแทนที่ซีโอลิตชาร์มชาติในถ้าโลยสามารถยึดระบบการก่อตัวเริ่มต้นและระยะก่อตัวสุดท้ายของจีโอลิเมอร์ตัวร์ได้

3. การแทนที่ซีโอลิตชาร์มชาติในถ้าโลยร้อยละ 60 ถึง 100 กำลังอัดมีแนวโน้มต้องการปริมาณของโซเดียมซิลิกเกตมากกว่าโซเดียมไฮดรอกไซด์

4. การแทนที่ซีโอลิตชาร์มชาติในถ้าโลยร้อยละ 60 อัตราส่วนโซเดียมซิลิกเกตต่อโซเดียมไฮดรอกไซด์เท่ากับ 2.0 อัตราส่วนของเหลวต่อวัสดุประสานเท่ากับ 0.50 ความเข้มข้นโซเดียมไฮดรอกไซด์เท่ากับ 15 ไมลาร์ อุณหภูมิการเร่งปฏิกิริยาเท่ากับ 75°C เป็นภาวะที่ดีที่สุดทั้งความสามารถทำงานได้และกำลังอัด ซึ่งมีกำลังอัดและการไฟลแฟ่�테่ากับ 632 ksc และ 52% ตามลำดับ

5. การแทนที่ด้วยซีโอลิตชาร์มชาติมีแนวโน้มที่ต้องการระยะเวลาการบ่มมากขึ้น เพื่อให้มีการทำปฏิกิริยาที่สมบูรณ์ยิ่งขึ้น และกำลังอัดมีแนวโน้มเพิ่มขึ้นเรื่อย ๆ ตามระยะการบ่มที่มากขึ้น เช่นเดียวกันกับการแทนที่ด้วยไฮด्रอเจนไนต์และเพอร์ไอลิต

6. อัตราส่วนซิลิกาต่ออลูมินาที่สูงขึ้นช่วยเพิ่มความสามารถทำงานได้แต่ กำลังอัดลดลง เช่นเดียวกันกับการแทนที่ด้วยไฮด्रอเจนไนต์และเพอร์ไอลิต

7. ค่าโน้มถ่วงของวัสดุคงเหลือที่ได้รับการทดสอบที่ชีโอลิตช์ธรรมชาติในถ้วยมากขึ้นเท่ากับการทดสอบที่ด้วยไนต์และเพอร์ไอล์

8. อัตราส่วนผสมที่มีความเหมาะสมที่สุดทั้งในเรื่องของความสามารถทำงานได้กำลังอัด หน่วยน้ำหนัก และราคาต้นทุนในการผลิตของชีโอลิเมอร์ตัวร์ คือการทดสอบที่ชีโอลิตช์ธรรมชาติในถ้วยร้อยละ 60 อัตราส่วนโซเดียมซิลิกेटต่อโซเดียมไฮดรอกไซด์เท่ากับ 2.0 อัตราส่วนของเหลวต่อวัสดุประสานเท่ากับ 0.50 ความเข้มข้นโซเดียมไฮดรอกไซด์เท่ากับ 15 ไมลาร์ อุณหภูมิการเร่งปฏิกิริยาเท่ากับ 75°C

เมื่อพิจารณาถึงอัตราส่วนผสมที่มีความเหมาะสมที่สุดของการใช้ไนต์และเพอร์ไอล์ และชีโอลิตช์ธรรมชาติในส่วนผสม พ布ว่าการใช้ไนต์ในส่วนผสมเป็นทางเลือกที่มีความเหมาะสมที่สุดในการนำไปใช้งาน ถึงแม้ว่าการใช้ชีโอลิตช์ธรรมชาติจะมีค่าหน่วยน้ำหนัก กำลังอัด และความสามารถทำงานได้ดีกว่าการใช้ไนต์ในส่วนผสมของชีโอลิเมอร์ตัวร์ แต่ด้วยราคาต้นทุนของชีโอลิตช์ธรรมชาติมีราคาที่สูงกว่าไนต์ประมาณ 4 เท่าของราคาต้นทุนไนต์ อีกทั้งค่าหน่วยน้ำหนักมีค่าที่ใกล้เคียงกันมาก ส่วนการใช้เพอร์ไอล์ในส่วนผสมถึงแม้ว่าจะมีราคาต้นทุนถูกกว่าการใช้ไนต์ แต่เมื่อพิจารณาถึงกำลังอัดและความสามารถทำงานได้มีค่าที่ใกล้เคียงกัน นอกจากนั้นเพอร์ไอล์ยังมีค่าหน่วยน้ำหนักที่มากกว่าไนต์ประมาณ 200 ถึง 300 kg/m^3

5.2 ข้อเสนอแนะ

งานวิจัยครั้งนี้เป็นการศึกษากำลังอัดของชีโอลิเมอร์ตัวร์ ที่ระยะเวลาบ่ม 7-14 และ 28 วัน ดังนั้นควรศึกษาเพิ่มเติมที่ระยะเวลาการบ่ม 60 และ 90 วัน เพื่อศึกษาถึงแนวโน้มกำลังอัดของชีโอลิเมอร์ตัวร์ที่ระยะเวลาบ่มมากขึ้น อีกทั้งศึกษาถึงโครงสร้างระดับจุลภาคของชีโอลิเมอร์ตัวร์จากถ้วยทดสอบไนต์ เพอร์ไอล์ และชีโอลิตช์ธรรมชาติ เพื่อเป็นการยืนยันผลการทดสอบทางด้านกายภาพของชีโอลิเมอร์ตัวร์

รายการอ้างอิง

- เกียรติศักดิ์ ศรีตุ้ยเลิง และปริญญา จินดาประเสริฐ. (2550). การศึกษาคุณสมบัติของจีโอโพลิเมอร์จากถ่านอย่างแกลบ, การประชุมวิชาการคونกรีตประจำปี ครั้งที่ 3, หน้า 41- 47.
- คม บัวคลี และรังสรรค์ รังสิตามวงศ์. (2540). การพัฒนามอร์ตาร์มวลเบาโดยการใช้เพอร์ไอล์, เอกสารงานวิจัย ภาควิชาวิศวกรรมโยธา จุฬาลงกรณ์มหาวิทยาลัย. กรุงเทพฯ.
- จิตรงค์ ตั้งอนุสรณ์สุข และคณะ. (2548). ผลกระทบของเพอร์ไอล์ต่อการซึมผ่านอากาศ และปริมาณช่องว่างอากาศภายในชิ้นเม็นต์มอร์ตาร์, ปริญญานิพนธ์ สาขาวิชาวิศวกรรมโยธา มหาวิทยาลัยเทคโนโลยีสุรนารี.
- เจริญชัย ฤทธิรุษ และปริญญา จินดาประเสริฐ. (2550). การศึกษาสารละลายที่แตกต่างกันในการผลิตจีโอโพลีเมอร์มอร์ตาร์จากดินขาวเผา, การประชุมวิชาการคุนกรีตประจำปี ครั้งที่ 3, หน้า 150-153.
- ณรงค์ศักดิ์ นันทคำภิรา และคณะ. (2547). หินอ่อนนี.[ออนไลน์], <http://www.soil.civil.rmut.ac.th/rock/index1.html>.
- ธีรวัฒน์ สินศรี. ชัย ชาตรพิทักษ์กุล. และปริญญา จินดาประเสริฐ. (2548). ผลกระทบของขนาดอนุภาคและรูปร่างถ่านถ่านหินต่อความพรุนและการซึมผ่านอากาศของเพสต์, การประชุมวิชาการคุนกรีตประจำปี ครั้งที่ 1, หน้า 22-29.
- เนื้ยรศักดิ์ กลับประสิทธิ์ และคณะ. (2550). ผลกระทบของสัดส่วนซิลิก้าต่ออุณหภูมิร้าวต่อกำลังอัดของจีโอโพลิเมอร์เพสต์ที่ทำจากถ่านอย่างแกลบ-เบล็อกไม้ฟูมถ่านถ่านหิน, การประชุมวิชาการคุนกรีตประจำปี ครั้งที่ 3, หน้า 30-36.
- ประมวล โอมละคร และคณะ. (2550). การศึกษาคุณสมบัติของจีโอโพลิเมอร์จากถ่านอย่างแกลบ แร่ดินเน่า, การประชุมวิชาการคุนกรีตประจำปี ครั้งที่ 3, หน้า 37-40.
- ปริญญา จินดาประเสริฐ และชัยชาตรพิทักษ์กุล. (2547). ปูนซีเมนต์ ปอชโซลานและคุนกรีต. กรุงเทพฯ : สมาคมคุนกรีตไทย.
- ปริญญา จินดาประเสริฐ และอินทรชัย หอวิจิตร. (2548). ปูนซีเมนต์ปอร์ตแลนด์ฟลูมบี้ถ่านอย่างแกลบ, สำนักงานเทคโนโลยีเพื่อชนบท คณะวิศวกรรมศาสตร์ มหาวิทยาลัยขอนแก่น.
- ปริญญา จินดาประเสริฐ และอาภา สอนเสาวภาคย์. (2550). การศึกษาการกระตุ้นถ่านหันกด้วยสารละลายโซเดียมไฮดรอกไซด์และโซเดียมซิลิกา เพื่อพัฒนาเป็นวัสดุจีโอโพลิเมอร์, การประชุมวิชาการคุนกรีตประจำปี ครั้งที่ 3, หน้า 48-52 .

ภากร ไตรศิริวัฒนชัย และบริญญา จินดาประเสริฐ. (2550). การศึกษาจีโอโพลิเมอร์จากถ่านหัก, การประชุมวิชาการตอนกรีตประจำปี ครั้งที่ 3, หน้า 37–40.

มหาวิทยาลัยเทคโนโลยีราชมงคล. (2543). พลิกส์รำงมงคล ศัพท์ชีวะ, [ออนไลน์], <http://www.electron.rmutphysics.com/bio-glossary>.

วัฒนชัย อัญวันวงศ์. (2546). การใช้ชีโอไฮด์รัต์กำจัดแอดเมียม ตะกั่ว protox และสังกะสีในน้ำเสีย สังเคราะห์, คณะวิศวกรรมศาสตร์ มหาวิทยาลัยขอนแก่น.

สถาบันส่งเสริมการสอนวิทยาศาสตร์และเทคโนโลยี [สวท.]. (2550). หากดีกดับรรพ., [ออนไลน์], <http://www.ipst.ac.th/science/index.shtml>.

สิทธิชัย แสงอาทิตย์. (2000). เอกสารประกอบการสอนวิชา 410 214 Material Testing, สาขาวิชา วิศวกรรมโยธา มหาวิทยาลัยเทคโนโลยีสุรนารี.

คำนักเหมืองแร่และสัมปทาน กลุ่มวิศวกรรมและความปลอดภัย. (2546). เพอร์ไลท์,[ออนไลน์], <http://www.dpim.go.th/ppr/title.php?tid=000001074149948>.

อนันท์ ป้อมประสิทธิ์. (2545). ปอซโซลัน.[ออนไลน์], กรมวิทยาศาสตร์บริการ ศูนย์ความรู้ วิทยาศาสตร์และเทคโนโลยี, http://www.dss.go.th/dssweb/starticles/files/pep_11_2545_pozzalan.pdf.

อนุชาติ ลี่อนันต์ศักดิ์ศิริ. (2549). การศึกษาสารจีโอโพลิเมอร์จากถ่านหัก และดินขาวเผา, วิทยานิพนธ์ศึกษาวิศวกรรมศาสตร์มหาบัณฑิต สาขาวิชาวิศวกรรมโยธา มหาวิทยาลัยขอนแก่น.

อุมา อันทอง และคณะ. (2549). การศึกษาการใช้ประโยชน์ของชีโอไฮด์ตในการลดของเสียในฟาร์ม เลี้ยงสัตว์ และการนำชีโอไฮด์ที่ผ่านการใช้ในการลดของเสียไปใช้เป็นปุ๋ยในการปลูกพืช, มหาวิทยาลัยทักษิณ.

American Society for Testing and Materials (2007). ASTM C 29/C 29M:Standard Test Method for Unit Weight of Aggregate. Annual Book of ASTM Standard Vol.04.01.

American Society for Testing and Materials (2008). ASTM C 33:Standard Test Method for Specification for Concrete Aggregate. Annual Book of ASTM Standard Vol.04.01.

American Society for Testing and Materials (2002). ASTM C 109/C 109M-02:Standard Test Method for Compressive Strength of Hydraulic Cement Mortar. Annual Book of ASTM Standard Vol.04.02.

American Society for Testing and Materials (2007). ASTM C 128:**Standard Test Method for Specific Gravity and Absorption of Fine Aggregate.** Annual Book of ASTM Standard Vol.04.01.

American Society for Testing and Materials (2006). ASTM C 136-06:**Standard Test Method for Sieve Analysis of fine and coarse Aggregate.** Annual Book of ASTM Standard Vol.04.06.

American Society for Testing and Materials (2009). ASTM C 138/C 138M:**Standard Test Method for Unit Weight of Mortars.** Annual Book of ASTM Standard Vol.04.01.

American Society for Testing and Materials (2008). ASTM C 191-08:**Standard Test Method for Time of Setting of Hydraulic Cement by Vicate Needle.** Annual Book of ASTM Standard Vol.04.08.

American Society for Testing and Materials (2007). ASTM C 204-07:**Standard Test Method for Fineness of Hydraulic Cement by Air-Permeability Apparatus.** Annual Book of ASTM Standard Vol.04.01.

American Society for Testing and Materials (2008). ASTM C 618-08a:**Standard Test Method for Coal fly ash and raw or Calcined Natural Pozzolan for use in Concrete.** Annual Book of ASTM Standard Vol.04.08a.

American Society for Testing and Materials (2007). ASTM C 1437-07:**Standard Test Method for Flow of Hydraulice Cement Mortar.** Annual Book of ASTM Standard Vol.04.08a.

Aydin, A.C., and Gul, R. (2006). **Influence of Volcanic Originated Natural Materials as Additives on The Setting Time and Some Mechanical Properties of Concrete.** Construction and Building Materials. Vol.21. pp.1277-1281.

Bakharev, T. (2006). **Thermal behavior of geopolymers prepared using class F fly ash and elevated temperature curing.** Cement and Concrete Research. Vol.36(6). pp.1134-1147.

Castaldi, P., Santona, L., Enzo, S., and Melis, P. (2008). **Sorption processes and XRD analysis of a natural zeolite exchanged with Pb²⁺, Cd²⁺ and Zn²⁺ cations.** Journal of Hazardous Materials. Vol.156. pp.428-434.

Chaipanich, A., and Nochaiya, T. (2010). **Thermal analysis and microstructure of Portland cement-fly ash-silica fume pastes.** J Therm Anal Calorim. Vol.99. pp.487-493.

- Chaisena, A. et al. (2004). **Effect of thermal and acid treatments on some physic-chemical properties of Lampang diatomite.** Journal Science Technology. Vol.11. pp.289-299.
- Chindaprasirt, P., Jaturapitakkul, C., and Sinsiri T. (2005). **Effect of fly ash finness on compressive strength and pore size of blened cement paste.** Cement&Concrete Composites. Vol.27. pp.425-428
- Chindaprasirt, P., Chareerat, T., and Sirivivatnanon, V. (2007). **Workability and strength of coarse fly ash geopolymers.** Cement&Concrete Composites. Vol.29. pp.224-229.
- Davidovits, J. (1999). **Chemistry of Geopolymer Systems Terminology in Geopolymer'99.** International Conference, france. pp.9-40.
- Demirboga, R., and Gul, R. (2003). **Thermal conductivity and compressive strength of expanded perlite aggregate concrete with mineral admixtures.** Energy and Buildings. Vol.35. pp.1155-1159.
- Hardjito, D., Wallah, S.E., Sumajouw, D.M.J., and Rangan, B.V. (2004). **On the development of fly ash based geopolymers concrete.** ACI Master J. Vol.101(6). pp.467-472
- Hardjito, D., and Rangan, B.V. (2005). **Development and Properties of Low-Calcium Fly Ash-Based Geopolymer Concrete.** Research Report GC 1, Faculty of Engineering, Curtin University of Technology, Perth, Australia.
- Hardjito, D., Chua Chung Cheak., and Carrie Ho Lee Ing. (2008). **Strength and setting times of low calcium fly ash based geopolymers mortar.** Modern Applied Science. Vol.2(4). pp.3-11.
- Hu Mingyu et al. (2007). **Alkali-activated fly ash based geopolymers with zeolite or bentonite as additive.** Cement & concrete composites. Vol.31. pp.762-768.
- Jaarsveld, J.G.S.van., Deventer, J.S.J.van., and Lukey G.C. (2002). **The effect of composition and temperature on the properties of fly ash and kaolinite based geopolymers.** Chemical Engineering Journal. Vol.89. pp.63-73.
- Lertkhositpong, T., Pimraksa, K., and Chindaprasirt, P. (2009). **Synthesis of lightweight geopolymers materials from diatomaceous earth.** Annual Concrete Conference 5, Nakhonratchasima. pp.96-101 (In Thai).
- McCaffrey, R. (2002). **Global Cement and Lime Magazine.** Environmental Special Issue. pp.15-19.

- Nguyen Van Chanh et al. (2008). **Geopolymer concrete**. The 3rd ACF International Conference –ACF/VCA 2008. pp.235-241.
- Pekmezci, B.Y., and Akyz, S. (2004). **Optimum Usage of A Natural Pozzolan for The Maximum Compressive Strength of Concrete**. Cement and Concrete Research. Vol.34. pp.2175-2179.
- Rattanasak, U., and Chindaprasirt, P. (2009). **Influence of NaOH solution on the synthesis of fly ash geopolymer**. Minerals Engineering. Vol.22. pp.1073-1078.
- Sarker, P.K. (2009). **Analysis of geopolymer concrete column**. Materials and Structures. Vol.42. pp.715-724.
- Sathonsaowaphak, A., Chindaprasirt, P., and Primraksa, K. (2009). **Workability and strength of lignite bottom ash geopolymer mortar**. Journal of Hazardous Materials. Vol.168(1). pp.44-50.
- Songpiriyakij, S., Kubprasit, T., Jaturapitakkul, C., and Chindaprasirt, P. (2010). **Compressive strength and degree of reaction of bio-mass and fly ash based geopolymer**. Construction and Building Materials. Vol.24. pp.236-240.
- Swanepoel, J.C., and Strydom, C.A. (2002). **Utilisation of fly ash in a geopolymeric material**. Department of Chemistry, University of Pretoria, Pretoria, South Africa Applied Geochemistry 17. pp.1143-1148.
- Temuujin, J., Van Riessen, A., Williams, R. (2009). **Influence of calcium compounds on the mechanical properties of fly ash geopolymer pastes**. Construction and Building Materials. Vol.24. pp.2084-2090.
- Villa, C., Pecina, E.T., Torres, R., and Gomez, L. (2010). **Geopolymer synthesis using alkaline activation of natural zeolite**. Journal of Hazardous Materials. Vol.167. pp.82-88.
- Wongkeo, W., and Chaipanich, A. (2010). **Compressive strength, microstructure and analysis of autoclaved and air cured structural lightweight concrete made with coal bottom ash and silica fume**. Materials Science and Engineering A. Vol.527. pp.3676-3684.

ภาคผนวก ก

ผลการทดสอบคุณสมบัติพื้นฐานของวัสดุที่ใช้ในงานวิจัย

มหาวิทยาลัยเทคโนโลยีสุรนารี

ตารางที่ ก.1 ผลการทดสอบค่าความถ่วงจำเพาะของไกอะตอนไม้ต์

Description	Results		
	Test No.1	Test No.2	Test No.3
Initial flask reading, ml	0.80	1.00	0.80
Initial kerosene temperature, °C	28.00	28.00	28.00
Initial weight of sample & pan, g	147.13	145.21	147.00
Final flask reading, ml	21.30	22.20	22.20
Final kerosene temperature, °C	28.00	28.00	28.00
Final weight of sample & pan, g	98.84	96.23	97.73
Weight of sample used, (W_c) g	48.29	48.98	49.27
Volume displaced, (V_c) ml	20.50	21.20	21.40
Density of water at temperature, (R) g/cm ³	0.9963	0.9963	0.9963
Specific gravity, $S_G = W_c / (V_c * R)$	2.364	2.319	2.311
Average specific gravity	2.33		

ตารางที่ ก.2 ผลการทดสอบค่าความถ่วงจำเพาะของเพอร์ไอล์ต์

Description	Results		
	Test No.1	Test No.2	Test No.3
Initial flask reading, ml	0.40	0.80	0.60
Initial kerosene temperature, °C	22.00	22.00	22.00
Initial weight of sample & pan, g	140.00	140.00	140.00
Final flask reading, ml	23.00	23.10	23.30
Final kerosene temperature, °C	22.00	22.00	22.00
Final weight of sample & pan, g	86.45	86.13	86.16
Weight of sample used, (W_c) g	53.55	53.87	53.84
Volume displaced, (V_c) ml	22.60	22.30	22.70
Density of water at temperature, (R) g/cm ³	0.9978	0.9978	0.9978
Specific gravity, $S_G = W_c / (V_c * R)$	2.375	2.421	2.377
Average specific gravity	2.39		

ตารางที่ ก.3 ผลการทดสอบค่าความถ่วงจำเพาะของเชื้อไฮด์รอนชาติ

Description	Results		
	Test No.1	Test No.2	Test No.3
Initial flask reading, ml	0.70	0.35	0.50
Initial kerosene temperature, °C	25.00	25.00	25.00
Initial weight of sample & pan, g	200.00	200.00	200.00
Final flask reading, ml	22.20	22.30	22.10
Final kerosene temperature, °C	25.00	25.00	25.00
Final weight of sample & pan, g	150.40	150.50	151.50
Weight of sample used, (W_c) g	49.60	49.50	48.50
Volume displaced, (V_c) ml	21.50	21.95	21.60
Density of water at temperature, (R) g/cm ³	0.9965	0.9965	0.9965
Specific gravity, $S_G = W_c / (V_c * R)$	2.315	2.263	2.253
Average specific gravity	2.28		

ตารางที่ ก.4 ผลการทดสอบค่าความถ่วงจำเพาะของถ้าลอย

Description	Results		
	Test No.1	Test No.2	Test No.3
Initial flask reading, ml	0.50	0.50	0.40
Initial kerosene temperature, °C	25.00	25.00	25.00
Initial weight of sample & pan, g	200.00	200.00	200.00
Final flask reading, ml	21.20	21.00	22.30
Final kerosene temperature, °C	25.00	25.00	25.00
Final weight of sample & pan, g	150.20	150.60	147.50
Weight of sample used, (W_c) g	49.80	49.40	52.50
Volume displaced, (V_c) ml	20.70	20.50	21.90
Density of water at temperature, (R) g/cm ³	0.9965	0.9965	0.9965
Specific gravity, $S_G = W_c / (V_c * R)$	2.414	2.418	2.406
Average specific gravity	2.41		

ตารางที่ ก.5 ผลการทดสอบค่าความถ่วงจำเพาะและการดูดซึมของทราย

Description	Results		
	Test No.1	Test No.2	Test No.3
Weight of sand (saturat) (B), g	502.50	500.00	501.15
Weight of flask + sand + water (C), g	973.19	971.43	970.95
Weight of bowl, g	337.19	337.19	337.20
Weight of bowl + dry sand, g	829.59	827.23	828.32
weight of dry sand (A), g	492.40	490.04	491.12
Weight of flask + water (D), g	663.25	663.44	662.68
Bulk specific gravity, A/(B+D-C)	2.557	2.552	2.546
Bulk specific gravity (SSD), B/(B+D-C)	2.610	2.604	2.598
Apparent specific gravity, A/(D+A-C)	2.699	2.692	2.686
Percent absorption (%), (B-A)*100/A	2.051	2.032	2.042
Average bulk specific gravity	2.55		
Average bulk specific gravity (SSD)	2.60		
Average apparent specific gravity	2.69		
Average absorption (%)	2.04		

ตารางที่ ก.6 ผลการทดสอบค่าหน่วงน้ำหนักของไกอะตอม ไม้ต์

Description	Results		
	Test No.1	Test No.2	Test No.3
Weight of measuring cylinder, T (kg)	2.78	2.78	2.78
Weight of cylinder and water, (kg)	5.48	5.49	5.48
Weight of water, (kg)	2.70	2.72	2.70
High of measuring cylinder, (m)	0.15	0.15	0.15
Diameter of measuring cylinder, (m)	0.15	0.15	0.15
Volume of measuring cylinder, V (m^3)	0.00265	0.00265	0.00265
Volume of water, W (m^3)	1,018.59	1,025.38	1,018.59
Weight of cylinder + sample, G (kg)	4.12	4.06	4.06
Weight of sample alone, (kg)	1.34	1.28	1.28
Unit weight of sample, M=(G-T)/V (kg/ m^3)	505.52	482.89	482.89
Average unit weight of sample, (kg/ m^3)	490.43		

ตารางที่ ก.7 ผลการทดสอบค่าหน่วงน้ำหนักของเพอร์ไคล์ต์

Description	Results		
	Test No.1	Test No.2	Test No.3
Weight of measuring cylinder, T (kg)	2.78	2.78	2.78
Weight of cylinder and water, (kg)	5.48	5.49	5.48
Weight of water, (kg)	2.70	2.72	2.70
High of measuring cylinder, (m)	0.15	0.15	0.15
Diameter of measuring cylinder, (m)	0.15	0.15	0.15
Volume of measuring cylinder, V (m^3)	0.00265	0.00265	0.00265
Volume of water, W (m^3)	1,018.59	1,025.38	1,018.59
Weight of cylinder + sample, G (kg)	4.95	4.97	4.94
Weight of sample alone, (kg)	2.17	2.19	2.16
Unit weight of sample, M=(G-T)/V (kg/ m^3)	818.65	826.19	814.87
Average unit weight of sample, (kg/ m^3)	819.90		

ตารางที่ ก.8 ผลการทดสอบค่าหน่วงน้ำหนักของซีโอลิต์ธรรมชาติ

Description	Results		
	Test No.1	Test No.2	Test No.3
Weight of measuring cylinder, T (kg)	2.78	2.78	2.78
Weight of cylinder and water, (kg)	5.48	5.49	5.48
Weight of water, (kg)	2.70	2.72	2.70
High of measuring cylinder, (m)	0.15	0.15	0.15
Diameter of measuring cylinder, (m)	0.15	0.15	0.15
Volume of measuring cylinder, V (m^3)	0.00265	0.00265	0.00265
Volume of water, W (m^3)	1,018.59	1,025.38	1,018.59
Weight of cylinder + sample, G (kg)	3.95	3.94	3.95
Weight of sample alone, (kg)	1.17	1.16	1.17
Unit weight of sample, M=(G-T)/V (kg/ m^3)	441.39	437.62	441.39
Average unit weight of sample, (kg/ m^3)	440.13		

ตารางที่ ก.9 ผลการทดสอบค่าหน่วงน้ำหนักของถ้าลอย

Description	Results		
	Test No.1	Test No.2	Test No.3
Weight of measuring cylinder, T (kg)	2.78	2.78	2.78
Weight of cylinder and water, (kg)	5.48	5.49	5.48
Weight of water, (kg)	2.70	2.70	2.70
High of measuring cylinder, (m)	0.15	0.15	0.15
Diameter of measuring cylinder, (m)	0.15	0.15	0.15
Volume of measuring cylinder, V (m^3)	0.00265	0.00265	0.00265
Volume of water, W (m^3)	1,018.59	1,018.59	1,018.59
Weight of cylinder + sample, G (kg)	5.36	5.35	5.37
Weight of sample alone, (kg)	2.58	2.57	2.59
Unit weight of sample, M=(G-T)/V (kg/ m^3)	973.32	969.55	977.09
Average unit weight of sample, (kg/ m^3)	973.32		

ตารางที่ ก.10 ผลการทดสอบค่าหน่วงน้ำหนักของทราย

Description	Results		
	Test No.1	Test No.2	Test No.3
Weight of measuring cylinder, T (kg)	2.78	2.78	2.78
Weight of cylinder and water, (kg)	5.48	5.48	5.48
Weight of water, (kg)	2.70	2.70	2.70
High of measuring cylinder, (m)	0.15	0.15	0.15
Diameter of measuring cylinder, (m)	0.15	0.15	0.15
Volume of measuring cylinder, V (m^3)	0.00265	0.00265	0.00265
Volume of water, W (m^3)	1,018.59	1,018.59	1,018.59
Weight of cylinder + sample, G (kg)	7.10	7.06	7.10
Weight of sample alone, (kg)	4.32	4.28	4.32
Unit weight of sample, M=(G-T)/V (kg/ m^3)	1,629.75	1,614.66	1,629.75
Average unit weight of sample, (kg/ m^3)	1,624.72		

ภาคผนวก ข

ผลการทดสอบคุณสมบัติคุณสมบัติของจีโอโพลิเมอร์มอร์ทาร์

มหาวิทยาลัยเทคโนโลยีสุรนารี

ตารางที่ ข.1 ผลการทดสอบระบบการก่อตัวของจีโอโพลิเมอร์มอร์ต้าร์

Symbol	Setting times (min)	
	Initial	Final
FA100	25	47
FADE60	115	132
FADE80	183	217
FADE100	270	349
FAPL60	55	93
FAPL80	65	112
FAPL100	105	158
FANZ60	142	169
FANZ80	178	213
FANZ100	357	449

ตารางที่ ข.2 ผลการทดสอบค่าการไหลแผ่นของจีโอโพลิเมอร์มอร์ต้าร์ จากการแปรผันตาม อัตราส่วนโซเดียมซิลิกเกตต่อโซเดียมไฮดรอกไซด์

Symbol	Flow (%)				
	Na ₂ SiO ₃ /NaOH ratios				
	0.5	1.0	1.5	2.0	2.5
FA100	0	5	35	60	67
FADE60	28	51	61	35	29
FADE80	98	94	86	71	65
FADE100	83	75	72	62	59
FAPL60	5	8	42	53	51
FAPL80	29	42	57	58	56
FAPL100	41	47	59	70	65
FANZ60	21	43	46	52	38
FANZ80	28	47	46	60	47
FANZ100	86	80	69	64	60

ตารางที่ ข.3 ผลการทดสอบค่าการไหลแพ่งของจีโจ โพลิเมอร์มอร์ต้าร์ จากการแปรงพันตาม
อัตราส่วนของเหลวต่อวัสดุประสาน

Symbol	Flow (%)			
	Liquid alkaline/binder ratios			
	0.40	0.50	0.60	0.70
FA100	2	35	53	85
FADE60	4	61	82	109
FADE80	9	86	108	117
FADE100	16	72	96	126
FAPL60	18	42	80	99
FAPL80	34	57	89	101
FAPL100	48	59	81	108
FANZ60	8	46	73	97
FANZ80	9	58	84	105
FANZ100	22	83	96	113

ตารางที่ ข.4 ผลการทดสอบค่าการไหลแผ่นของจีโจ โพลิเมอร์มอร์ต้าร์ จากการแปรผันตามอัตราส่วนความเข้มข้นของโซเดียมไฮดรอกไซด์

Symbol	Flow (%)			
	NaOH concentration (Molar)			
	5	10	15	20
FA100	84	48	35	0
FADE60	89	76	61	13
FADE80	126	105	86	25
FADE100	115	89	72	36
FAPL60	104	81	42	12
FAPL80	110	87	51	20
FAPL100	125	92	57	22
FANZ60	87	59	46	27
FANZ80	95	79	58	33
FANZ100	114	90	86	38

ตารางที่ ข.5 ผลการทดสอบค่าการไหลแผ่นของจีโอโพลิเมอร์ร์ต้าร์ จากการแปรงพันตาม
อัตราส่วนการเพิ่มปริมาณน้ำต่อวัสดุประสาน

Symbol	Flow (%)					
	Addition water/binder ratios					
	0	0.03	0.06	0.09	0.12	0.15
FA100	35	45	43	35	22	10
FADE60	61	62	72	97	112	128
FADE80	86	94	110	117	123	135
FADE100	72	80	96	111	114	134
FAPL60	42	71	97	105	120	128
FAPL80	57	78	107	112	125	136
FAPL100	59	84	112	133	141	148
FANZ60	46	67	85	126	142	146
FANZ80	58	70	86	107	129	135
FANZ100	86	91	102	104	117	131

ตารางที่ ข.6 ผลการทดสอบค่าหน่วงน้ำหนักของจีโอลิเมอร์มอร์ตาร์ จากการแบร์เพรессันตาม
อัตราส่วนโซเดียมซิลิกเกตต่อโซเดียมไฮดรอกไซด์

Symbol	Unit weight (kg/m^3)				
	$\text{Na}_2\text{SiO}_3/\text{NaOH}$ ratios				
	0.5	1.0	1.5	2.0	2.5
FA100	2,232	2,244	2,270	2,264	2,256
FADE60	2,173	2,227	2,234	2,238	2,237
FADE80	2,088	2,198	2,163	2,172	2,172
FADE100	2,108	2,105	2,115	2,120	2,127
FAPL60	2,210	2,241	2,261	2,258	2,245
FAPL80	2,171	2,225	2,243	2,202	2,209
FAPL100	2,152	2,167	2,195	2,179	2,177
FANZ60	2,128	2,178	2,118	2,067	2,076
FANZ80	2,070	2,074	2,081	2,056	2,013
FANZ100	2,030	2,059	2,022	2,003	1,963

ตารางที่ ข.7 ผลการทดสอบค่าหน่วงน้ำหนักของจีโอโพลิเมอร์มอร์ต้าร์ จากการแบร์เพร์ฟันตาม
อัตราส่วนของเหลวต่อวัสดุประสาน

Symbol	Unit weight (kg/m^3)			
	Liquid alkaline/binder ratios			
	0.40	0.50	0.60	0.70
FA100	2,283	2,270	2,267	2,175
FADE60	2,269	2,234	2,150	2,144
FADE80	2,183	2,163	2,104	2,038
FADE100	2,107	2,115	2,015	1,994
FAPL60	2,291	2,261	2,228	2,194
FAPL80	2,269	2,243	2,200	2,178
FAPL100	2,211	2,195	2,201	2,171
FANZ60	2,235	2,118	2,134	2,153
FANZ80	2,112	2,081	2,044	2,065
FANZ100	1,945	2,022	2,011	2,015

ตารางที่ ข.8 ผลการทดสอบค่าหน่วงน้ำหนักของจีโอลิเมอร์มอร์ตาร์ จากการแปรผันตาม
อุณหภูมิการเร่งปฏิกิริยา

Symbol	Unit weight (kg/m^3)		
	Curing temperature ($^{\circ}\text{C}$)		
	60	75	90
FA100	2,300	2,270	2,266
FADE60	2,239	2,234	2,232
FADE80	2,237	2,163	2,099
FADE100	2,126	2,115	2,097
FAPL60	2,268	2,261	2,247
FAPL80	2,261	2,243	2,240
FAPL100	2,222	2,195	2,192
FANZ60	2,186	2,118	2,131
FANZ80	2,077	2,081	2,133
FANZ100	2,073	2,022	2,071

ตารางที่ ข.9 ผลการทดสอบค่าหน่วงน้ำหนักของจีโอลิเมอร์มอร์ต้าร์ จากการแบร์เพร์ฟันตาม
ความเข้มข้นของโซเดียมไฮดรอกไซด์

Symbol	Unit weight (kg/m ³)			
	NaOH concentration (Molar)			
	5	10	15	20
FA100	2,186	2,202	2,270	2,351
FADE60	2,098	2,127	2,234	2,265
FADE80	2,020	2,107	2,163	2,239
FADE100	1,934	2,099	2,115	2,166
FAPL60	2,191	2,193	2,261	2,290
FAPL80	2,163	2,185	2,243	2,290
FAPL100	2,158	2,176	2,195	2,236
FANZ60	2,134	2,192	2,118	2,238
FANZ80	2,061	2,134	2,081	2,149
FANZ100	1,924	1,949	2,022	2,137

ตารางที่ ข.10 ผลการทดสอบค่าหน่วงน้ำหนักของจีโอลิเมอร์มอร์ตาร์ จากการแปรผันตามอัตราส่วนการเพิ่มปริมาณน้ำต่อวัสดุประสาน

Symbol	Unit weight (kg/m^3)					
	Addition water/binder ratios					
	0	0.03	0.06	0.09	0.12	0.15
FA100	2,270	2,246	2,236	2,205	2,196	2,130
FADE60	2,234	2,161	2,177	2,146	2,083	2,043
FADE80	2,163	2,097	2,095	2,085	2,050	2,019
FADE100	2,115	2,080	2,062	2,052	2,036	2,036
FAPL60	2,261	2,251	2,233	2,181	2,160	2,117
FAPL80	2,243	2,239	2,230	2,182	2,167	2,102
FAPL100	2,195	2,231	2,184	2,180	2,154	2,095
FANZ60	2,118	2,231	2,134	2,058	2,096	2,099
FANZ80	2,081	2,124	2,032	1,987	2,020	1,996
FANZ100	2,022	1,991	1,946	1,915	1,978	1,941

ตารางที่ ข.11 ผลการทดสอบค่าหน่วงน้ำหนักของจีโอลิเมอร์มอร์ตาร์ จากการแบร์เพร์ฟันตาม
ระยะเวลาการบ่ม

Symbol	Unit weight (kg/m^3)		
	Curing time (days)		
	7	14	28
FA100	2,270	2,243	2,238
FADE60	2,234	2,174	2,180
FADE80	2,163	2,141	2,139
FADE100	2,115	2,104	2,098
FAPL60	2,261	2,245	2,241
FAPL80	2,243	2,239	2,251
FAPL100	2,195	2,222	2,233
FANZ60	2,118	2,098	2,095
FANZ80	2,081	2,034	1,999
FANZ100	2,022	1,995	1,978

ตารางที่ ข.12 ผลการทดสอบค่ากำลังอัดของจีโอ โพลิเมอร์ตัวร์ จากการแปรผันตาม อัตราส่วนโซเดียมซิลิกเกตต่อโซเดียมไฮดรอกไซด์

Symbol	Compressive strength (ksc)				
	$\text{Na}_2\text{SiO}_3/\text{NaOH}$ ratios				
	0.5	1.0	1.5	2.0	2.5
FA100	522	768	810	939	755
FADE60	252	265	424	468	474
FADE80	102	180	299	353	358
FADE100	15	92	223	240	281
FAPL60	194	295	513	589	605
FAPL80	185	232	325	362	404
FAPL100	64	92	108	98	113
FANZ60	254	440	577	632	456
FANZ80	145	246	240	343	282
FANZ100	61	48	45	97	86

ตารางที่ ข.13 ผลการทดสอบค่ากำลังอัดของจีโอโพลิเมอร์ตัวร์ จากการแปรผันตาม
อัตราส่วนของเหลวต่อวัสดุประสาน

Symbol	Compressive strength (ksc)			
	Liquid alkaline/binder ratios			
	0.40	0.50	0.60	0.70
FA100	801	810	655	435
FADE60	419	424	284	220
FADE80	243	299	166	109
FADE100	235	223	84	22
FAPL60	524	513	353	262
FAPL80	327	325	281	206
FAPL100	103	108	95	103
FANZ60	414	577	520	408
FANZ80	285	240	245	229
FANZ100	47	45	34	23

ตารางที่ ข.14 ผลการทดสอบค่ากำลังอัดของจีโอโพลิเมอร์ตัวร์ จากการแปรผันตาม
อุณหภูมิการเร่งปฏิกิริยา

Symbol	Compressive strength (ksc)		
	Curing temperature (°C)		
	60	75	90
FA100	705	810	841
FADE60	301	424	357
FADE80	269	299	283
FADE100	199	223	215
FAPL60	326	513	430
FAPL80	233	325	258
FAPL100	80	108	219
FANZ60	349	577	417
FANZ80	200	240	234
FANZ100	23	45	67

ตารางที่ ข.15 ผลการทดสอบค่ากำลังอัดของจีโอโพลิเมอร์ตัวร์ จากการแปรผันตาม
ความเข้มข้นของโซเดียมไฮดรอกไซด์

Symbol	Compressive strength (ksc)			
	NaOH concentration (Molar)			
	5	10	15	20
FA100	515	677	810	709
FADE60	267	342	424	340
FADE80	232	244	299	263
FADE100	145	198	223	222
FAPL60	396	432	513	430
FAPL80	227	286	325	200
FAPL100	47	85	108	99
FANZ60	292	504	577	643
FANZ80	168	222	240	331
FANZ100	43	47	45	51

ตารางที่ ข.16 ผลการทดสอบค่ากำลังอัดของจีโอ โพลิเมอร์ตัวร์ จากการแปรผันตาม
อัตราส่วนการเพิ่มปริมาณน้ำต่อวัสดุประสาน

Symbol	Compressive strength (ksc)					
	Addition water/binder ratios					
	0	0.03	0.06	0.09	0.12	0.15
FA100	810	742	664	555	419	339
FADE60	424	294	337	296	215	202
FADE80	299	240	198	188	171	146
FADE100	223	184	154	131	129	94
FAPL60	513	403	420	360	306	287
FAPL80	325	253	227	224	219	181
FAPL100	108	102	77	72	71	69
FANZ60	577	445	396	391	349	261
FANZ80	240	213	195	142	135	122
FANZ100	45	26	36	27	15	19

ตารางที่ ข.17 ผลการทดสอบค่ากำลังอัดของจีโอโพลิเมอร์ตัวร์ จากการแปรผันตาม
ระยะเวลาการบ่ม

Symbol	Compressive strength (ksc)		
	Curing time (days)		
	7	14	28
FA100	810	834	811
FADE60	424	427	474
FADE80	299	322	404
FADE100	223	236	289
FAPL60	513	534	551
FAPL80	325	340	352
FAPL100	108	114	140
FANZ60	577	588	604
FANZ80	240	233	264
FANZ100	45	61	92

ตารางที่ ข.18 ค่าโมดูลัสยืดหยุ่นของจีโอลิเมอร์มอร์ต้าร์ จากการแปรผันตามระยะเวลาการบ่มที่อัตราส่วนโซเดียมซิลิกเกตต่อโซเดียมไฮดรอกไซด์เท่ากับ 1.5 ความเข้มข้นโซเดียมไฮดรอกไซด์เท่ากับ 15 มิลลาร์ และอุณหภูมิการเร่งปฏิกิริยาเท่ากับ 75°C

Symbol	Modulus of Elasticity (ksc)		
	Curing time (days)		
	7	14	28
FA100	276,000	290,000	304,000
FADE60	111,000	131,000	143,000
FADE80	63,000	67,000	79,000
FADE100	26,000	32,000	33,000
FAPL60	200,000	211,000	214,000
FAPL80	88,000	93,000	108,000
FAPL100	39,000	52,000	56,000
FANZ60	207,000	217,000	227,000
FANZ80	68,000	69,000	74,000
FANZ100	17,000	17,000	19,000



บทความวิชาการที่ได้รับการตีพิมพ์เผยแพร่

รายชื่อบทความที่ได้รับการตีพิมพ์ในระหว่างศึกษา

ธนากร ภูเงินข้า, ชีรวัฒน์ สินศิริ, และศักดิ์สิทธิ์ พันทว. (2553). การศึกษากำลังอัดของจีโอโพลิเมอร์รั่มอร์ต้าร์จากชีโอลิทั่ชธรรมชาติ. การประชุมวิชาการกองกรีตประจำปีครั้งที่ 6, MAT.119-124.

ธนากร ภูเงินข้า, และชีรวัฒน์ สินศิริ. (2554). ความสามารถทำงานได้และกำลังอัดของจีโอโพลิเมอร์รั่มอร์ต้าร์จากถ่านหินเคลือบสีขาว. วิศวกรรมสาร มหา. (มหาวิทยาลัยขอนแก่น), ฉบับที่ 38(1), หน้า 11-26.

ธนากร ภูเงินข้า, และชีรวัฒน์ สินศิริ. (2554). การศึกษาคุณสมบัติของจีโอโพลิเมอร์รั่มอร์ต้าร์จากถ่านหินเคลือบสีขาว. วารสารวิจัยและพัฒนา มจช. (มหาวิทยาลัยเทคโนโลยีพระจอมเกล้าธนบุรี), ฉบับที่ 34(1). (ตอบรับแล้ว ตีพิมพ์ ฉบับที่ 1 มกราคม-มีนาคม 2554)



การศึกษากำลังอัดของจีโอโพลีเมอร์ร์ท้าร์จากซีโอลิท์ธรรมชาติ

A study of compressive strength of geopolymers mortar from natural zeolite

ธนกร ภูเงินคำ (Tanakorn Phoo-ngernkham)¹

ธีรวัฒน์ สินศิริ (Theerawat Sinsiri)²

ศักดิสิทธิ์ พันทวี (Saksith Pantawee)³

¹นักศึกษาปริญญาโท สาขาวิชาศึกกรรมโยธา มหาวิทยาลัยเทคโนโลยีสุรนารี (*tp_civil@hotmail.com*)

²ผู้ช่วยศาสตราจารย์ สาขาวิชาศึกกรรมโยธา มหาวิทยาลัยเทคโนโลยีสุรนารี (*sinsiri@g.sut.ac.th*)

³อาจารย์ สาขาวิชาศึกกรรมโยธา มหาวิทยาลัยเทคโนโลยีราชมงคลล้านนา (*sacred13@hotmail.com*)

บทคัดย่อ : งานวิจัยนี้เป็นการศึกษากำลังอัดของจีโอโพลีเมอร์ร์ท้าร์จากซีโอลิท์ธรรมชาติ โดยใช้การแทนที่ซีโอลิท์ธรรมชาติในเกลือร้อยละ 0, 60, 80 และ 100 โดยน้ำหนัก โดยการศึกษาใช้สารละลายน้ำเดี่ยมซิลิกเกตและสารละลายน้ำเดี่ยมไฮดรอกไซด์เป็นตัวทำปฏิกิริยา ทำการประเมินอัตราส่วนโดยน้ำหนักของสารละลายน้ำเดี่ยมซิลิกเกตต่อสารละลายน้ำเดี่ยมไฮดรอกไซด์ เท่ากับ 0.50, 1.0, 1.5, 2.0 และ 2.5 อัตราส่วนโดยน้ำหนักของสารละลายน้ำเดี่ยมซิลิกเกตต่อสารละลายน้ำเดี่ยมไฮดรอกไซด์ เท่ากับ 0.40, 0.50, 0.60 และ 0.70 อุณหภูมิในการเร่งปฏิกิริยาของตัวอย่าง เท่ากับ 60, 75 และ 90 องศาเซลเซียส เวลาในการเร่งปฏิกิริยาของตัวอย่าง เท่ากับ 24 ชั่วโมง ความเข้มข้นของไฮเดรตไฮดรอกไซด์ 5, 10, 15 และ 20 มิลลิลิตร ทดสอบการไหลผ่านของร์ท้าร์ และทดสอบค่ากำลังรับแรงอัดของร์ท้าร์ที่อายุ 7 วัน

ผลการทดสอบกำลังรับแรงอัดของจีโอโพลีเมอร์ร์ท้าร์ พบว่าที่อัตราส่วนโดยน้ำหนักของสารละลายน้ำเดี่ยมซิลิกเกตต่อสารละลายน้ำเดี่ยมไฮดรอกไซด์ เท่ากับ 1.50 ความเข้มข้นสารละลายน้ำเดี่ยมไฮดรอกไซด์ เท่ากับ 15 มิลลิลิตร อุณหภูมิในการเร่งปฏิกิริยาของตัวอย่าง 90 องศาเซลเซียส เป็นเวลา 24 ชั่วโมง ให้ค่ากำลังอัดสูงสุด และผลการทดสอบขั้นตอนวิธี ว่าการแทนที่ซีโอลิท์ธรรมชาติในเกลือร้อยละ 60 มีความเหมาะสมทึ้งการให้ค่ากำลังรับแรงอัดและการไหลผ่านของร์ท้าร์ และทดสอบน้ำไปใช้งาน

ABSTRACT : In this research, a study of compressive strength of geopolymers mortar used the natural zeolite to replaced fly ash at 0, 60, 80 and 100% by weight. Sodium silicate and sodium hydroxide were used as liquid alkaline for the mixture and heat curing was used to activate the geopolymersation. This study was the concentration of sodium hydroxide as 5, 10, 15 and 20 molar and various factors which influence to 7 day compressive strength. Veried the sodium silicate to sodium hydroxide ratio, the liquid alkaline to binder and the curing temperature in oven.

The results revealed at the sodium silicate to sodium hydroxide ratio of 1.5 with the concentration of sodium hydroxide solution at 15 molar, curing temperature in oven at 90°C for 24 hours provided the highest compressive strength. The results also showed that the replaced at 60% by weight provided the good trend in compressive strength and flow of geopolymers mortar suitable for imprementation.

KEYWORDS : Geopolymer, Geopolymerization, Natural zeolite, Fly ash, Compressive strength

การประชุมวิชาการคอนกรีตประจำปี ครั้งที่ 6

Annual Concrete Conference 6

1. บทนำ

ซีโอโพลีเมอร์ (geopolymer) [1] เป็นวัสดุเชื่อมประสานที่ได้รับความสนใจในการพัฒนาขึ้นมาเพื่อเป็นทางเลือกใหม่สำหรับทดแทนการใช้ปูนซีเมนต์ [2] อาจเนื่องจากในสภาวะปัจจุบันวัสดุเดิมที่ใช้อุ่นหือถักด้วยด้านวัสดุเดิมที่ใช้ผลิตอีกทั้งส่วนผลกระทบต่อสิ่งแวดล้อมในระหว่างกระบวนการผลิต ตลอดจนโครงสร้างที่ต้องการให้มีลักษณะพิเศษ อาจมีความจำเป็นที่ต้องใช้วัสดุที่มีคุณสมบัติพิเศษมากขึ้น โดยการใช้วัสดุที่เหลือใช้หรือวัสดุตามธรรมชาติมาใช้ทดแทนปูนซีเมนต์ปอร์ตแลนด์ซีเมนต์

สารเจี้ยวน้ำโพลีเมอร์ (geopolymer) เป็นวัสดุใหม่ที่ได้มีความพยายามที่จะพัฒนาสารซีเมนต์ชนิดใหม่ที่ไม่ใช้ปูนซีเมนต์เป็นตัวประสาน ซึ่งสามารถสังเคราะห์ได้จากวัสดุเดิมที่มีส่วนประกอบของซิลิกา (silica, SiO_2) และสารออกูนิน่า ($\text{alumina, Al}_2\text{O}_3$) เป็นองค์ประกอบ สารเจี้ยวน้ำโพลีเมอร์จะใช้หลักการของการทำปฏิกิริยาของซิลิกา และออกูนิน่าให้เป็นไมเลกุลูกุกใช้ในลักษณะของโพลีเมอร์ โดยการกระตุ้นด้วยสารละลายน้ำที่มีความเป็นด่างสูง แล้วใช้ความร้อนเป็นตัวเร่งปฏิกิริยา จะได้สารซีเมนต์ที่มีคุณสมบัติในการรับแรงได้ ดังนั้นสารเจี้ยวน้ำโพลีเมอร์จึงสามารถใช้เป็นวัสดุเชื่อมประสานขั้นเดียวกับซีเมนต์เพสต์ สำหรับสารปูซิโอลานที่นิยมใช้กันอย่างแพร่หลายได้แก่ เถ้าโลหะ (fly ash) แต่ [3,4] ขณะเดียวกันยังมีวัสดุปูซิโอลานอีกหลายชนิดที่มีคุณสมบัติเช่นเดียวกับกันกับเถ้าโลหะ (fly ash) อาทิ เช่นวัสดุปูซิโอลานธรรมชาติ เช่น ซีโอไลท์ ไคลอโซม ไมท์ เทอร์ไลท์ เป็นต้น

ซีโอไลท์ (zeolite) จัดเป็นสารประกอบออกูนินไซเด็กต์หรือสารออกูนินไฟ索เฟต์ต่อ กันเป็นโครงข่าย 3 มิติ แบบรูปทรง 4 หน้า ซีโอไลท์ท่องจะเกิดขึ้นอาจตามธรรมชาติหรือเกิดจากการสังเคราะห์ทางเคมี นอกจากนี้ยังมีความพรุนสูง (micro porous molecules) มีโพรงภายในโครงสร้างที่มีรูปแบบแน่นอน ขนาดประมาณ 3-30 Å ภายในโพรงจะเต็มไปด้วยไอออนบวกและไมเลกุลของน้ำ ซึ่งไมเลกุลทั้งสองชนิดสามารถเคลื่อนข่ายได้ทำให้เกิดการแลกเปลี่ยนไอออนบวกได้ ดังนั้นจึงอาจจะถือได้ว่าซีโอไลท์มีคุณสมบัติคล้าย

วัสดุปูซิโอลาน มีอนุภาคขนาดที่เล็กและมีรูพรุนสูงจึงน่าจะทำให้เกิดปฏิกิริยาได้ดี

2. วัสดุประสงค์ของงานวิจัย

เพื่อศึกษาถึงความสามารถของการรับกำลังอัดและการไหลของเจี้ยวน้ำโพลีเมอร์ตัวร์ เมื่อใช้ซีโอไลท์ธรรมชาติเป็นวัสดุตั้งต้น

3. การเตรียมวัสดุและการทดลอง

3.1 วัสดุที่ใช้ในงานวิจัย

ซีโอไลท์ธรรมชาติ (NZ) โดยนำมาดูน้ำได้ความละเอียดที่มีอนุภาคของวัสดุถ่วงน้ำหนักตั้งแต่ 0.05-0.325 น้ำหนักกว่า 35%

เถ้าโลหะ (FA) จากโรงไฟฟ้าแม่มา จังหวัดลำปาง

สารเคมีที่ใช้ในการทำปฏิกิริยาโพลีเมอร์ประกอบด้วยสารละลายน้ำซิเดียมซิลิกา (Na_2SiO_3) ซึ่งประกอบด้วย $\text{Na}_2\text{O} = 15.32\%$, $\text{SiO}_2 = 32.87\%$ และน้ำ = 51.81% โดยน้ำหนักสารละลายน้ำซิเดียมไฮดรอกไซด์ (NaOH) โดยใช้น้ำถั่นเป็นตัวทำละลาย

3.2 สัดส่วนผสมของเจี้ยวน้ำโพลีเมอร์ตัวร์

ส่วนผสมเจี้ยวน้ำโพลีเมอร์ตัวร์ที่ใช้ในงานวิจัยครั้งนี้ใช้ซีโอไลท์ธรรมชาติแทนที่ถ้าโลหะ ร้อยละ 0, 60, 80 และ 100 โดยน้ำหนัก

อัตราส่วนแรงอัดวัสดุประสาน เท่ากับ 1.50

อัตราส่วนໄโคบัน้ำหนักของสารละลายน้ำซิเดียมซิลิกาต่อสารละลายน้ำซิเดียมไฮดรอกไซด์ เท่ากับ 0.50, 1.0, 1.5, 2.0 และ 2.5

อัตราส่วนໄโคบัน้ำหนักของสารละลายน้ำซิลิกาต่อวัสดุเชื่อม

ประสาน เท่ากับ 0.40, 0.50, 0.60 และ 0.70

อุณหภูมิในการเร่งปฏิกิริยาของตัวอย่าง เท่ากับ 60, 75 และ 90 องศาเซลเซียส

เวลาในการเร่งปฏิกิริยาของตัวอย่าง เท่ากับ 24 ชั่วโมง

ความเข้มข้นของสารละลายน้ำซิเดียมไฮดรอกไซด์ เท่ากับ 5, 10, 15 และ 20 โมลาร์

ทดสอบค่าการไหลแผ่นของเจี้ยวน้ำโพลีเมอร์ตัวร์ (ASTM C230)

การประชุมวิชาการคอนกรีตประจำปี ครั้งที่ 6

Annual Concrete Conference 6

ทดสอบค่ากำลังรับแรงอัดของจีโอ โพลีเมอร์ตัวร์ที่อยู่ 7 วัน (ASTM C109)

ตารางที่ 3.1 อัตราส่วนผสมของจีโอ โพลีเมอร์ตัวร์

Mix ID.*	Mix Proportion (g.)		
	Binder	Na ₂ SiO ₃	NaOH
M-NZ-0.5	400	66.67	133.33
M-NZ-1.0	400	100.00	100.00
M-NZ-1.5	400	120.00	80.00
M-NZ-2.0	400	133.33	66.67
M-NZ-2.5	400	142.86	57.14

*หมายเหตุ M คือค่าความเข้มข้นของโซเดียมไฮดรอกไซด์ และ 0.5, 1.0, 1.5, 2.0, 2.5 คืออัตราส่วนระหว่างสารละลายน้ำดีบุนชิลิกเกต์กับสารละลายน้ำดีบุนไฮดรอกไซด์

4. ผลการทดสอบและวิเคราะห์ผล

4.1 ผลการทดสอบคุณสมบัติพื้นฐานของวัสดุ

ตารางที่ 4.1 องค์ประกอบหลักทางเคมีของวัสดุตั้งต้น

Chemicals	NZ (%)	FA (%)
SiO ₂	75.32	34.10
Al ₂ O ₃	10.28	20.56
Fe ₂ O ₃	2.66	15.34
CaO	3.95	17.08
MgO	1.20	2.77
LOI	1.41	0.32

จากตารางที่ 4.1 พบว่าซีโอ ไอท์ธรรมชาติมีองค์ประกอบทางเคมี SiO₂+ Al₂O₃+ Fe₂O₃= 88.26% จัดเป็นปูชโซลาน Class N ตามมาตรฐาน ASTM C618 (2001) ซึ่งกำหนดให้สารประกอบหลักต้องมีค่ามากกว่า 70% และเท่านี้ก็ยังคงกับเดิมอยู่ที่มีองค์ประกอบทางเคมี SiO₂+Al₂O₃+ Fe₂O₃=70%

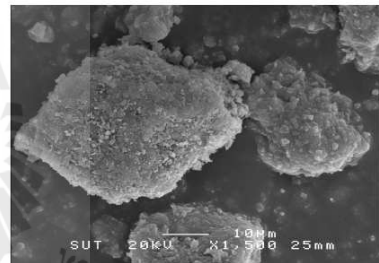
สัดส่วนของชิลิกาต่ออัลูมิเนียมของจีโอ ไอท์ธรรมชาติเท่ากับ 7.33 และสัดส่วนของชิลิกาต่ออัลูมิเนียมของเดือยเท่ากับ 1.66 จากงานวิจัยผลก่อสร้างของสัดส่วนชิลิกาต่ออัลูมิเนียมต่อกำลังอัดของจีโอ โพลีเมอร์เพสต์ที่ทำจากเดือย

แกคน-เปลือกไม้ผสมเดือยเท่านหิน [5] พบว่าสัดส่วนของชิลิกาต่ออัลูมิเนียมผลต่อค่ากำลังรับแรงอัดของวัสดุ ซึ่งสัดส่วนชิลิกาต่ออัลูมิเนียมที่สูงจะส่งผลต่อค่ากำลังรับแรงอัด

ตารางที่ 4.2 คุณสมบัติพื้นฐานของวัสดุที่ใช้ในงานวิจัย

Physical properties	NZ	FA	Sand
Specific gravity	2.28	2.41	2.69
Bulk density (kg/m ³)	440	973	1,625
Median Particle Size (μm)	5.50	17.60	-

จากตารางที่ 4.2 พบว่าค่าความถ่วงจำเพาะและค่าความหนาแน่นของซีโอ ไอท์ธรรมชาติ มีค่าเท่ากับ 2.28 และ 440 kg/m³ ตามลำดับ ซึ่งเมื่อเปรียบเทียบกับเดือยและทรายแม่จะมีค่าความถ่วงจำเพาะลดลงประมาณ 5% และ 20% ตามลำดับ และมีค่าความหนาแน่นลดลงประมาณ 27% และ 73% ตามลำดับ

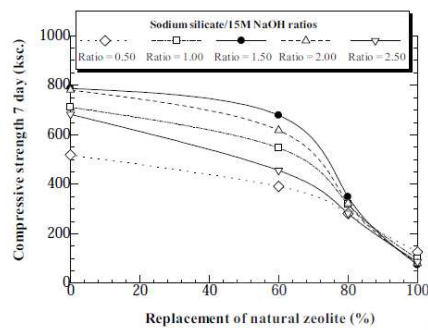


รูปที่ 4.1 ภาพถ่าย SEM ของซีโอ ไอท์ธรรมชาติ

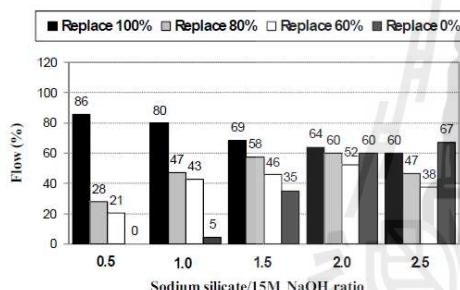


รูปที่ 4.2 ภาพถ่าย SEM ของเดือย

4.2 ผลกระทบของอัตราส่วนของสารละลายโซเดียมชีลิกเกตต่อสารละลายโซเดียมไฮดรอกไซด์



รูปที่ 4.3 กำลังอัดของจีโอโพลิเมอร์ตัวร์เน็อกจากผลของอัตราส่วน $\text{Na}_2\text{SiO}_3/\text{NaOH}$ ที่เปลี่ยนแปลง

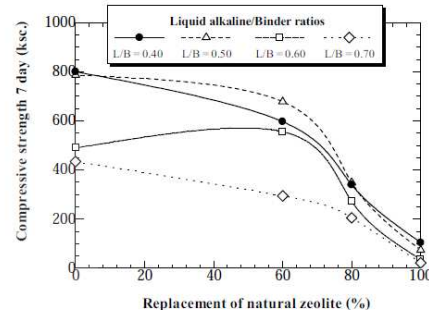


รูปที่ 4.4 ค่าการไหลผ่านของไฮโพลีเมอร์น้ำตัวเรื่องจากผลของอัตราส่วน $\text{Na}_2\text{SiO}_3/\text{NaOH}$ ที่เปลี่ยนแปลง

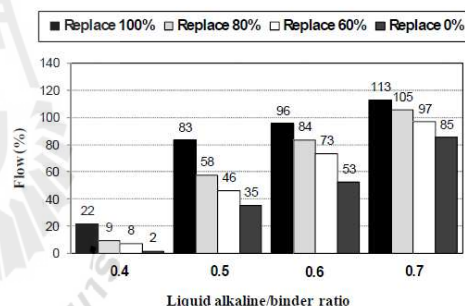
จากการทดลองที่แบ่งผู้คนตามอัตราส่วน $\text{Na}_2\text{SiO}_3/\text{NaOH}$ ใช้ความความเข้มข้นของโซเดียมไฮดรอกไซด์ เริ่ ไปมาเรื่องผลการทดลองตั้งแต่สูงในรูปที่ 4.3 และ 4.4 พบว่าค่ากำลังอัดและความสามารถในการทำงานนั้นขึ้นอยู่กับปริมาณของโซเดียมซิลิกาตและปริมาณการแทนที่ซีโอไอที่ธรรมชาติ เมื่อพิจารณาถึงค่ากำลังอัดและการไฟล์แพทที่เหมาะสมจะได้รับที่อัตราส่วน $\text{Na}_2\text{SiO}_3/\text{NaOH}$ เท่ากับ 1.0-2.0 ปริมาณการแทนที่อยู่ระหว่าง 80, 60 มีค่ากำลังอัดเท่ากับ 319-678 ksc. และค่าการไฟล์แพทเท่ากับ 43-64% แต่ภาวะที่ดีที่สุดคืออัตราส่วน $\text{Na}_2\text{SiO}_3/\text{NaOH}$ เท่ากับ 1.5 ปริมาณการแทนที่อยู่ระหว่าง 60 มีค่ากำลังอัดเท่ากับ 678 ksc. และค่าการไฟล์แพทเท่ากับ 46%

ที่อัตราส่วน $\text{Na}_2\text{SiO}_3/\text{NaOH}$ เท่ากัน 0.5 การผสมค่อนข้างจะสมบากส่งผลให้ได้ถ้าการไห้เหลวที่น้อย อีกทั้งการอัดดมอิฐตัวร้อนแบบนี้หากาส่งผลให้ได้ถ้าลักษณะของเมื่อเทียบกับอัตราส่วนอื่นๆ

4.3 ผลกระทบของอัตราส่วนของเหลวต่อวัสดุประสาน



รูปที่ 4.5 กำลังอัดของจีโอโพลีเมอร์มอร์ตาร์ที่ร้าวเนื่องจากผลของ อัตราส่วน Liquid alkaline/binder ที่เปลี่ยนแปลง



群ที่ 4.6 ค่าการไหล่ของโซลูโพลีเมอร์มอร์ฟาร์เนื่องจากผลของตัวร้าส่วน Liquid alkaline/binder ที่เปลี่ยนแปลง

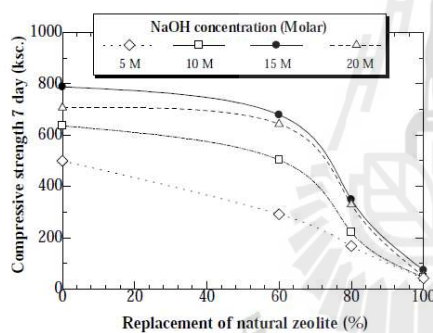
จากการทดลองที่แบ่งผู้คนอัตราส่วนของเหลวต่อวัสดุประสาน ผลการทดลองดังแสดงในรูปที่ 4.5 และ 4.6 พบว่า อัตราส่วนของเหลวต่อวัสดุประสานและปริมาณแทนน์ที่ของ ชีโอลิโคท์ธรรมชาติจะส่งผลต่อค่ากำลังอัดและความสามารถในการทำงาน กล่าวคือความสามารถในการทำงานเพิ่มขึ้น เมื่ออัตราส่วนของเหลวต่อวัสดุประสานเพิ่มขึ้น แต่จะได้ค่า กำลังรับแรงอัดที่น้อยลง เมื่อพิจารณาแล้วค่ากำลังรับแรงอัด และการไหลเหลวที่เหมาะสมจะได้ว่าที่อัตราส่วนของเหลวต่อวัสดุประสาน เท่ากัน 0.50-0.60 ปริมาณการแทนน์ที่รือขยะ

80, 60 มีค่ากำลังอัด เท่ากับ 272-678 ksc. และค่าการไหลดเพร 46-84% แต่ภาวะที่ดีที่สุดคืออัตราส่วนของเหลวต่อวัสดุประสานเท่ากับ 0.50 ปริมาณการแทนที่ร้อยละ 60 มีค่ากำลังอัด เท่ากับ 678 ksc. และค่าการไหลดเพร เท่ากับ 46%

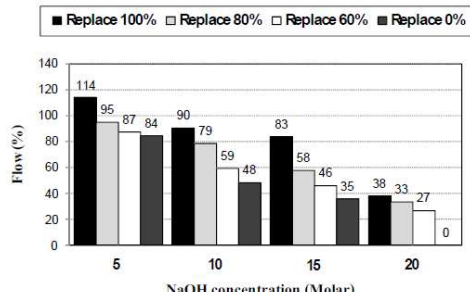
ที่อัตราส่วนของเหลวต่อวัสดุประสาน เท่ากับ 0.40 ส่วนผสมมีความแข็งมาก ส่งผลให้ค่าการไหลดเพร มีค่าน้อยมาก อิกหั้งส่วนผสมไม่มีเป็นเนื้อเดียวกันและยากต่อการหล่อตัวอย่าง

ที่อัตราส่วนของเหลวต่อวัสดุประสาน เท่ากับ 0.70 ส่วนผสมมีความเหลวมาก ส่งผลให้ได้ค่าการไหลดเพรที่สูงแต่มีพิจารณาถึงกำลังอัดและงบประมาณ อัตราส่วนนี้จะไม่เหมาะสมสำหรับการนำไปใช้งาน

4.4 ผลกระทบของความเข้มข้นของสารละลายโซเดียมไฮดรอกไซด์



รูปที่ 4.7 กำลังอัดของจีโอโพลีเมอร์มอร์ตาร์ที่รีบบ์เนื่องจากผลของการเข้มข้นโซเดียมไฮดรอกไซด์ที่เปลี่ยนแปลง



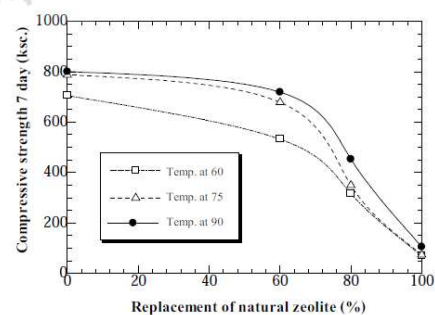
รูปที่ 4.8 ค่าการไหลดเพรของจีโอโพลีเมอร์มอร์ตาร์ที่รีบบ์เนื่องจากผลของการเข้มข้นโซเดียมไฮดรอกไซด์ที่เปลี่ยนแปลง

จากการทดลองที่เบรพันดามความเข้มข้นของสารละลายโซเดียมไฮดรอกไซด์ ผลกระทบดังแสดงในรูปที่ 4.7 และ 4.8 พบว่าความเข้มข้นของโซเดียมไฮดรอกไซด์และปริมาณแทนที่ของโซเดียมไฮดรอกไซด์ส่งผลต่อค่ากำลังอัด และความสามารถในการทำงาน กล่าวคือค่ากำลังอัดมีแนวโน้มสูงขึ้นตามความเข้มข้นของโซเดียมไฮดรอกไซด์ที่สูงขึ้นแต่ความสามารถในการทำงานจะลดลง เมื่อพิจารณาคิงค่ากำลังอัดและการไหลดเพรที่เหมาะสมจะได้ว่าที่ความที่เข้มข้นของโซเดียมไฮดรอกไซด์ เท่ากับ 10-15 โมลาร์ ปริมาณการแทนที่ร้อยละ 80, 60 มีค่ากำลังอัด เท่ากับ 222-678 ksc. และค่าการไหลดเพร 46-79% แต่ภาวะที่ดีที่สุดคือความเข้มข้นของโซเดียมไฮดรอกไซด์ เท่ากับ 15 โมลาร์ ปริมาณการแทนที่ร้อยละ 60 มีค่ากำลังอัดเท่ากับ 678 ksc. และค่าการไหลดเพรเท่ากับ 46%

ที่ความเข้มข้นของโซเดียมไฮดรอกไซด์ เท่ากับ 5 โมลาร์ มีค่าการไหลดเพรสูงแต่ให้ค่ากำลังอัดที่น้อยเมื่อเทียบกับความเข้มข้นของโซเดียมไฮดรอกไซด์อื่นๆ

ที่ความเข้มข้นของโซเดียมไฮดรอกไซด์เท่ากับ 20 โมลาร์ ค่าการไหลดเพรพอทำงานได้ แต่นี้จะมาจากความเข้มข้นของโซเดียมไฮดรอกไซด์ที่สูงส่งผลให้ระยะเวลาการก่อตัวที่เร็วส่งผลให้ค่าการไหลดเพรค่าน้อยเมื่อเทียบกับความเข้มข้นของโซเดียมไฮดรอกไซด์อื่นๆ อิกหั้งส่วนผสมไม่มีเป็นเนื้อเดียวกันและยากต่อการหล่อตัวอย่าง

4.5 ผลกระทบของอุณหภูมิในการเร่งปฏิกิริยา



รูปที่ 4.9 กำลังอัดของจีโอโพลีเมอร์มอร์ตาร์ที่รีบบ์เนื่องจากผลของการเข้มข้นของอุณหภูมิในการเร่งปฏิกิริยาที่เปลี่ยนแปลง

จากการทดลองที่แบร์เพนอุณหภูมิในการเร่งปฏิกิริยาผลการทดลองดังแสดงในรูปที่ 4.9 พนว่าค่ากำลังอัดมีแนวโน้มสูงขึ้นตามอุณหภูมิในการเร่งปฏิกิริยาที่สูงขึ้น แต่เมื่อพิจารณาถึงค่ากำลังอัดที่แบร์เพนตามอุณหภูมิในการเร่งปฏิกิริยา และค่าการไอลอฟเพร์ที่เท่ากันจะพบว่าค่ากำลังอัดที่ได้จากการแบร์เพนที่ร้อยละ 80, 60 มีความหมายสมช่วงกันที่ค่ากำลังอัดเท่ากับ 316-718 ksc. ซึ่งภาวะที่ดีที่สุดของอุณหภูมิในการเร่งปฏิกิริยาคือ 90 องศาเซลเซียส บริเวณการแบนที่ร้อยละ 60 ให้ค่ากำลังอัดเท่ากับ 718 ksc.

เมื่อพิจารณาถึงภาพรวมพบว่าอุณหภูมิในการเร่งปฏิกิริยาที่ 75 และ 90 องศาเซลเซียส มีค่ากำลังอัดที่ใกล้เคียงกันมาก ดังนั้นอุณหภูมิในการเร่งปฏิกิริยาที่เหมาะสมคือ 75 ถึง 90 องศาเซลเซียส

5. สรุปผลการทดลอง

อัตราส่วนโดยน้ำหนักของสารละลายน้ำดีเจมิลิกอเกตต่อสารละลายน้ำดีเจมิลิโอลิโคไซด์ เท่ากับ 1.5 อัตราส่วนโดยน้ำหนักของเทเลาต่อวัสดุประสานเท่ากับ 0.50 ความเข้มข้นสารละลายน้ำดีเจมิลิโอลิโคไซด์ เท่ากับ 15 ไมลาร์ อุณหภูมิในการเร่งปฏิกิริยาของตัวอย่างเท่ากับ 90 องศาเซลเซียส เป็นเวลา 24 ชั่วโมง มีค่ากำลังอัดสูงสุด เท่ากับ 800.82 ksc. ที่บริเวณการแบนที่ร้อยละ 0

แต่เมื่อพิจารณาถึงความเป็นไปได้ในการนำไปใช้งานจะเห็นว่าที่บริเวณการแบนที่ร้อยละ 0 (ใช้ถ้าอยู่ 100 %) มีค่าการไอลอฟที่น้อยและระยะเวลาที่ต้องใช้สำหรับการทำให้การนำไปใช้งานก่อนข้างมาก ดังนั้นบริเวณการแบนที่ร้อยละ 60 มีความหมายสมที่สุดทั้งด้านค่ากำลังอัดและค่าการไอลอฟเพิ่งเหมาะสมแก่การนำไปใช้งาน

6. ข้อเสนอแนะ

การใช้ชีโอลิโคที่ธรรมชาติเป็นวัสดุดังด้านในส่วนผสมของจีโอโพลีเมอร์มอร์ต้าร์นั้น นอกจากจะช่วยเพิ่มความสามารถการทำงานของจีโอโพลีเมอร์มอร์ต้าร์ให้ดีขึ้นแล้ว อีกปัจจัยหนึ่งที่สำคัญคือระยะเวลาการก่อตัวของจีโอโพลีเมอร์มอร์ต้าร์ เมื่อจะทำการใช้ถ้าอยู่ในส่วนผสมเพียง

อย่างเดียวนั้นมีระยะเวลาการก่อตัวที่เร็ว (พิจารณาจากผลกระทบของวัสดุ)

ดังนั้นเมื่อพิจารณาถึงการนำไปใช้งานควรศึกษาดีเสิร์ฟของระยะเวลาการก่อตัวของจีโอโพลีเมอร์มอร์ต้าร์จากชีโอลิโคที่ธรรมชาติเพิ่มเติม อีกทั้งผลจากการเพิ่มน้ำหนารือสารคลน้ำเพื่อเพิ่มความสามารถในการทำงานให้ดีขึ้น เพื่อเป็นการพัฒนาทั้งด้านกำลังอัดและความสามารถในการทำงานทำให้เกิดความซื่อสัม更有ในการนำไปใช้งานต่อไปในอนาคต

7. กิตติกรรมประกาศ

ขอขอบคุณสาขาวิชาชีวกรรมโยธา สำนักวิศวกรรมศาสตร์ มหาวิทยาลัยเทคโนโลยีสุรนารี ที่ให้ความสำคัญด้านอุปกรณ์ เครื่องมือและอุปกรณ์ในการวิจัย และผู้เกี่ยวข้องในการวิจัยครั้งนี้ทุกท่าน

8. เอกสารอ้างอิง

- [1] Davidovits, J., 1982. Mineral polymers and methods of making them. United states Patent no.4349386. page.6
- [2] Davidovits, J., 1994. Properties of geopolymers cements. Proceedings of the first international conference on alkaline cements and concrete., Kiev state Technical University., Vol 1 : page.131-149
- [3] Hardjito D, Wallah SE, Sumajouw DMJ, Rangan BV., 2004. On the development of fly ash based geopolymers concrete. ACI Master J; 101(6) : page.467-472
- [4] บริษัทฯ จินดาประเสริฐ, 2549. สารจีโอโพลีเมอร์ วัสดุเชื่อมประสานที่ไม่ใช้ปูนซีเมนต์. การประชุมวิชาการเทคโนโลยีและนวัตกรรมสำหรับการพัฒนาอย่างยั่งยืน คณะวิศวกรรมศาสตร์ มหาวิทยาลัยขอนแก่น. ประเทศไทย
- [5] เอชรัศก์ กลับປะสิทธิ์ และคณะ, 2550. ผลกระทบของสัดส่วนชิลิกาต่ออุณหภูมิต่อกำลังอัดของจีโอโพลีเมอร์เพสท์ที่ทำจากถ้าเกลอบ-เปลือกไม้ผสมถ้ากันทิน. การประชุมวิชาการคอนกรีตประจำปี 2550 ครั้งที่ 3 ณ โรงแรมล่องบีชแกรนด์ไฮแอท ถนนสปริง สปาร์ ห้วยใหญ่ จังหวัดชลบุรี : หน้า MAT 24-29

12

ธนากร ภูเง็งคำ และ ธีรวัฒน์ สินศิริ

Workability and Compressive Strength of Geopolymer Mortar
from Fly Ash Containing Diatomite

Tanakorn Phoo-ngernkham ¹⁾ and Theerawat Sinsiri ²⁾

Abstract

This article presented workability and compressive strength of fly ash based of geopolymer mortar containing diatomite as binder replacement at the rates of 0, 60, 80, and 100% by weight. Sodium silicate (Na_2SiO_3) and sodium hydroxide (NaOH) solutions were mixed together and then used as a liquid portion in the mixture in order to activate the geopolymers. The ratios between Na_2SiO_3 and NaOH were varied, namely, 0.5, 1.0, 1.5, 2.0, and 2.5 by weight whereas the ratios between liquid binder of 0.40, 0.50, 0.60, and 0.70 by weight were varied. The additional water was added to improve the workability of fresh geopolymer mortar. The ratios between additional water and binder were varied, that is to say, 0, 3, 6, 9, 12, and 15% by weight. In addition, the NaOH concentration of 5M, 10M, 15M, and 20M were also used as variables. Each mixture was separated and cured in the oven at the temperature of 60°C, 75°C, and 90°C for 24 h. Flowability of all fresh geopolymer mortars were investigated and the compressive strength test was applied at the ages of 7, 14, and 28 days.

The results revealed that the mixture having $\text{Na}_2\text{SiO}_3/\text{NaOH}$ of 1.5-2.5, 15M of NaOH concentration, and 75°C of curing temperature showed compressive strength between 223-939 ksc which high enough for using as normal strength concrete. Moreover, additional water could improve the workability of fresh geopolymer mortar, however, the compressive strength reduction could be observed. Additionally, the compressive strength of geopolymer mortar increased obviously at early age, however, at the later age it was slightly increased for some mixtures. Furthermore, the replacement of diatomite at the rate of 60 and 80% by weight were well suited for both compressive strength and workability.

KEYWORDS : Geopolymer, Workability, Flow test, Compressive strength, Diatomite

¹⁾Graduate student, School of Civil engineering, Institute of Engineering, Suranaree University of Technology, Nakhonratchasima 30000. Email : tp_civil@hotmail.com

²⁾Assistant Professor, School of Civil engineering, Institute of Engineering, Suranaree University of Technology, Nakhonratchasima 30000. Email : sinsiri@g.sut.ac.th

* Corresponding Author

ความสามารถทำงานได้และกำลังอัดของจีโอลิเมอร์มอร์ต้าร์จากเก้าออยผสมไดอะตอนไม่มี

13

1. บทนำ

จีโอลิเมอร์ (Davidovits J., 1982) เป็นวัสดุเชื่อมประสานที่ได้รับความสนใจในการพัฒนาขึ้นมาเพื่อเป็นทางเลือกใหม่สำหรับทดสอบการใช้ปูนซีเมนต์ (Davidovits J., 1994) อาจเนื่องจากในสภาวะปัจจุบัน วัสดุเดิมที่ใช้อยู่มีข้อจำกัดทางด้านวัตถุดิบที่ใช้ผลิต อีกทั้ง ส่งผลกระทบต่อสิ่งแวดล้อมในระหว่างกระบวนการผลิต ตลอดจนโครงสร้างที่ต้องการให้มีลักษณะพิเศษ อาจมีความจำเป็นที่ต้องใช้วัสดุที่มีคุณสมบัติพิเศษมากขึ้น โดยการใช้วัสดุที่เหลือใช้หรือวัสดุตามธรรมชาติมาใช้ทดแทน ปูนซีเมนต์ปอร์ตแลนด์

จีโอลิเมอร์ (geopolymer) เป็นการพัฒนาสารซีเมนต์ชนิดใหม่ที่ไม่ใช้ปูนซีเมนต์เป็นตัวประสาน ซึ่งสามารถสังเคราะห์ได้จากวัตถุดิบที่มีส่วนประกอบชิลิกา (silica, SiO_2) และอัลูมิն่า (alumina, Al_2O_3) เป็นองค์ประกอบ จีโอลิเมอร์ใช้หลักการของการทำปฏิกิริยา ของชิลิกา และอัลูมิն่าให้เป็นโมเลกุลลูกโซ่ในลักษณะของโพลิเมอร์ โดยการกระดูนด้วยสารละลายที่มีความเป็นด่างสูง แล้วใช้ความร้อนเป็นตัวเร่งปฏิกิริยา ให้สารซีเมนต์ที่มีคุณสมบัติในการรับแรงได้ ดังนั้นจีโอลิเมอร์จึงสามารถใช้เป็นวัสดุเชื่อมประสาน เช่นเดียวกับซีเมนต์เพสต์ สำหรับวัสดุปูนซีเมนต์ที่นิยมใช้กันอย่างแพร่หลายได้แก่ เก้าออย (fly ash) (Hardjito D., 2004, Bakharev T., 2006 และปริญญา, 2004) แต่ขณะเดียวกันยังมีวัสดุปูนซีเมนต์ที่มีคุณสมบัติเช่นเดียวกับเก้าออย (fly ash) เช่น ซีโอลายท์ (zeolite) ไดอะตอนไม่มี (diatomite) เพอร์ลิต (perlite) เป็นต้น ซึ่งเป็นวัสดุปูนซีเมนต์ที่มีคุณสมบัติเช่นเดียวกับเก้าออย (fly ash)

ไดอะตอน (diatom) เป็นพืชเซลล์เดียวขนาดเล็กมาก มีผิวหนังเป็นฝารชิลิกาประกอบกับ บางชนิดสามารถว่ายน้ำได้ บางชนิดอาศัยกระแสน้ำพัดพาไป มีขนาดตั้งแต่ 2 ถึง 2,000 micron พับในแหล่งน้ำทั่วโลกทั้งในน้ำจืดและน้ำเค็ม เมื่อไดอะตอนตายลงเปลือกที่เป็นชิลิกาจะตกเป็นตะกอนสะสมกันจำนวนมหาศาลบนพื้นทะเลหรือพื้นทรายลึก แล้วในที่สุดกล้ายเป็นไดอะตอนไม่มี หรือเรียกอีกอย่างหนึ่งว่า ดินเบ้า (diatomaceous earth) เพราะมี

ลักษณะเป็นดินที่เกิดจากหากำลังอัดของในแหล่งของตะกอนเป็นดินซุย เบ้า เนื้อพูน มีลักษณะคล้ายชอล์ก มีปฏิกิริยา เชื่อมตัว ไดอะตอนไม่มีที่จะมีลักษณะต่างๆ กัน ตามแต่ชนิดของไดอะตอน แร่ดินเบาร์หรือไดอะตอนไม่มี (diatomite) เป็นหินตะกอนชนิดหนึ่งที่มีคุณสมบัติเชิงโครงสร้างที่มีน้ำหนักเบา มีความประมากกว่าหินทั่วไป (Chaisena A., 2004 และบุรุษัตร, 2004) แหล่งดินเบ้าในประเทศไทยพบอยู่ในจังหวัดลำปาง โดยจะพบเป็นแหล่งเล็กใหญ่ กระจายตัวอยู่เป็นบริเวณกว้างในแขวงลำปาง และแขวงเล็กๆ ใกล้เคียง (กรมทรัพยากรธรรมชาติ, 2003)

ซึ่งจากการวิจัยที่ผ่านมาพบว่าการใช้เก้าออยเป็นวัสดุตั้งต้นในงานจีโอลิเมอร์นั้นมีระยะเวลา ก่อตัวที่รวดเร็ว สงผลให้ความสามารถทำงานได้น้อย ดังนั้นงานนี้จึงมุ่งประเด็นที่การปรับปรุงคุณสมบัติของความสามารถทำงานได้ของจีโอลิเมอร์ อีกทั้งกำลังอัดพอเหมาะสมกับการนำไปใช้งานได้ โดยจากลักษณะของไดอะตอนไม่มีที่มีน้ำหนักเบา ความพูนสูง มีอัตราการทำปฏิกิริยาที่ช้า จึงน่าที่จะปรับปรุงคุณสมบัติตรงประเด็นนี้ได้ อีกทั้งสามารถซ่วยลดหน่วยน้ำหนักลงได้

2. วัตถุประสงค์

เพื่อศึกษาถึงความสามารถทำงานได้และการรับกำลังอัดของจีโอลิเมอร์มอร์ต้าร์ เมื่อใช้ไดอะตอนไม่มีเป็นวัสดุตั้งต้น โดยวิเคราะห์ในเชิงกายภาพของจีโอลิเมอร์มอร์ต้าร์

3. การเตรียมวัสดุและการทดสอบ

3.1 วัสดุที่ใช้ในการทดสอบ

3.1.1 ไดอะตอนไม่มี (DE) จากคำกล่าวเฉลิมพระเกียรติ จังหวัดพะบุรี โดยนำมาเผาที่อุณหภูมิ 800 องศาเซลเซียส เป็นเวลา 6 ชั่วโมง เพื่อให้ธาตุหลักของไดอะตอนไม่มีมีการแตกตัวที่ดีขึ้น (Lertkhotippong T. et al, 2009)

3.1.2 เก้าออย (FA) จากโรงไฟฟ้าแม่มา จังหวัดลำปาง

3.1.3 สารละลายโซเดียมซิลิกเกต (Na_2SiO_3) ซึ่งประกอบด้วย $Na_2O = 15.32\%$, $SiO_2 = 32.87\%$ และ $Na = 51.81\%$ โดยน้ำหนัก และมี $pH = 9.05$ ตรวจสอบโดยเครื่องฟีเอชเมเตอร์

3.1.4 สารละลายโซเดียมไฮดรอกไซด์ ($NaOH$) ใช้น้ำก้นเป็นตัวทำละลายให้ได้ความเข้มข้นที่ต้องการ

3.2 สัดส่วนผสมของเจือโพลิเมอร์ตัวร์

สัดส่วนผสมของเจือโพลิเมอร์ตัวร์ใช้โดยตอนไม่เท่นที่ในแล็คอยร้อยละ 0, 60, 80 และ 100 โดยน้ำหนัก ใช้อัตราส่วนต่อวัสดุประสานเท่ากับ 1.50 ระยะเวลาที่ใช้ตัวอย่างก่อนการเร่งปฏิกิริยา ตัวอย่างเท่ากับ 1 ชั่วโมง และเวลาการเร่งปฏิกิริยาของตัวอย่างเท่ากับ 24 ชั่วโมง ทุกอัตราส่วนผสม โดยทำการแปรผันตามผลกระทบต่างๆ ที่มีผลต่อความสามารถทำงานได้และกำลังอัดของเจือโพลิเมอร์ตัวร์ดังนี้

3.2.1 Series A : แปรผันตามอัตราส่วนโดยน้ำหนักของ $Na_2SiO_3/NaOH$ เท่ากับ 0.5, 1.0, 1.5, 2.0 และ 2.5 โดยใช้ความเข้มข้นของโซเดียมไฮดรอกไซด์เท่ากับ 15 มิลาร์ อุณหภูมิการเร่งปฏิกิริยาของตัวอย่างเท่ากับ 75 องศาเซลเซียส และทดสอบกำลังอัดที่ระยะเวลาบ่มเท่ากับ 7 วัน

3.2.2 Series B : แปรผันตามอัตราส่วนโดยน้ำหนักของ Liquid alkaline/binder เท่ากับ 0.40, 0.50, 0.60 และ 0.70 โดยใช้ความเข้มข้นของโซเดียมไฮดรอกไซด์เท่ากับ 15 มิลาร์ อัตราส่วนโดยน้ำหนักของ $Na_2SiO_3/NaOH$ เท่ากับ 1.5 อุณหภูมิการเร่งปฏิกิริยาของตัวอย่างเท่ากับ 75 องศาเซลเซียส และทดสอบกำลังอัดที่ระยะเวลาบ่มเท่ากับ 7 วัน

3.2.3 Series C : แปรผันตามความเข้มข้นของสารละลายโซเดียมไฮดรอกไซด์ ($NaOH$) เท่ากับ 5, 10, 15 และ 20 มิลาร์ โดยใช้อัตราส่วนโดยน้ำหนักของ $Na_2SiO_3/NaOH$ เท่ากับ 1.5 อุณหภูมิการเร่งปฏิกิริยาของตัวอย่างเท่ากับ 75 องศาเซลเซียส และทดสอบกำลังอัดที่ระยะเวลาบ่มเท่ากับ 7 วัน

3.2.4 Series D : แปรผันตามอัตราส่วนการเพิ่มปริมาณน้ำต่อวัสดุประสานเท่ากับร้อยละ 0, 3, 6, 9, 12 และ 15 โดยใช้ความเข้มข้นของโซเดียมไฮดรอกไซด์เท่ากับ 15 มิลาร์ อัตราส่วนโดยน้ำหนักของ $Na_2SiO_3/NaOH$ เท่ากับ 1.5 อุณหภูมิการเร่งปฏิกิริยาของตัวอย่างเท่ากับ 75 องศาเซลเซียส และทดสอบกำลังอัดที่ระยะเวลาบ่มเท่ากับ 7 วัน

3.2.5 Series E : แปรผันตามอุณหภูมิการเร่งปฏิกิริยาของตัวอย่าง เท่ากับ 60, 75 และ 90 องศาเซลเซียส โดยใช้ความเข้มข้นของโซเดียมไฮดรอกไซด์เท่ากับ 15 มิลาร์ อัตราส่วนโดยน้ำหนักของ $Na_2SiO_3/NaOH$ เท่ากับ 1.5 และทดสอบกำลังอัดที่ระยะเวลาบ่มเท่ากับ 7 วัน

3.2.6 Series F : แปรผันตามระยะเวลาบ่มตัวอย่างเจือโพลิเมอร์ตัวร์เท่ากับ 7, 14 และ 28 วัน

3.2.7 Series G : แปรผันตามอัตราส่วนของ Si/AI (S/A) เท่ากับ 1.67, 3.21, 4.24 และ 5.93 ตามลำดับ โดยใช้ความเข้มข้นของโซเดียมไฮดรอกไซด์เท่ากับ 15 มิลาร์ อัตราส่วนโดยน้ำหนักของ $Na_2SiO_3/NaOH$ เท่ากับ 1.5 และทดสอบกำลังอัดที่ระยะเวลาบ่มเท่ากับ 7 วัน

3.3 วิธีสมและทดสอบตัวอย่างเจือโพลิเมอร์ตัวร์

3.3.1 การผสมทำในอุณหภูมิห้องมีค่าระหว่าง 25 ถึง 45 องศาเซลเซียส เพื่อให้สอดคล้องกับอากาศประเทศไทย

3.3.2 ขั้นตอนการผสมเริ่มต้นด้วยคุกคุกเคล้าระหว่างวัสดุประสานกับทรยาให้เข้ากันดี ประมาณ 1 นาที หลังจากนั้นเติมสารละลายโซเดียมซิลิกเกตและโซเดียมไฮดรอกไซด์ เสร็จแล้วผสมอีกประมาณ 10 นาที

3.3.3 ทดสอบค่าการไหลแผ่นของเจือโพลิเมอร์ตัวร์ตามมาตรฐาน ASTM C1437

3.3.4 ทดสอบค่ากำลังรับแรงอัดของเจือโพลิเมอร์ตัวร์ตามมาตรฐาน ASTM C109 ที่อายุการบ่มเท่ากับ 7, 14 และ 28 วัน โดยใช้แบบอาคริลิคขนาด 50x50x50 mm. หล่อตัวอย่างเจือโพลิเมอร์ตัวร์

ความสามารถทำงานได้และกำลังอัดของจีโอโพลิเมอร์ตัวร์จากเก้าออยฟลูมีดีอะตอมไม่เต็ม					15			
ตารางที่ 1 อัตราส่วนผสมของจีโอโพลิเมอร์ตัวร์					ตารางที่ 3 คุณสมบัติทางกายภาพของวัสดุปะสำน			
Mix ID.*	Mix Proportion (g.)				Physical properties	DE	FA	Sand
	Binder	Sand	Na ₂ SiO ₃	NaOH				
M-DE-0.5	400	600	66.67	133.33	Specific gravity	2.33	2.41	2.69
M-DE-1.0	400	600	100.00	100.00	Bulk density (kg/m ³)	490	973	1,625
M-DE-1.5	400	600	120.00	80.00	Median Particle Size (μm)	18.29	17.60	-
M-DE-2.0	400	600	133.33	66.67				
M-DE-2.5	400	600	142.86	57.14				

*หมายเหตุ M คือค่าความเข้มข้นของโซเดียมไฮดรอกไซด์ และ 0.5, 1.0, 1.5, 2.0, 2.5 คืออัตราส่วนระหว่างสารละลายโซเดียมไฮดรอกไซด์ต่อสารละลายโซเดียมไฮดรอกไซด์

4. ผลการทดสอบและวิเคราะห์ผล

4.1 ผลการทดสอบคุณสมบัติพื้นฐานของวัสดุ

ตารางที่ 2 องค์ประกอบหลักทางเคมีของวัสดุปะสำน

Chemicals	DE (%)	FA (%)
SiO ₂	59.30	43.87
Al ₂ O ₃	10.00	26.33
Fe ₂ O ₃	18.50	10.81
CaO	1.20	12.69
SO ₃	0.02	2.74
LOI	8.10	1.23

จากตารางที่ 2 พบร่วมกันว่า SiO₂+Al₂O₃+Fe₂O₃=87.80% จัดเป็นปอชโซลัน Class N ตามมาตรฐาน ASTM C618 (2001) ซึ่งกำหนดให้สารประกอบหลักต้องมีค่ามากกว่า 70% และ เช่นเดียวกับเก้าออยที่มีองค์ประกอบทางเคมี SiO₂+Al₂O₃+Fe₂O₃=81.01% เป็นปอชโซลัน Class F ตามมาตรฐาน ASTM C618 (2001)

สัดส่วนของชิลิกาต่ออัลูมิเนียมในดีอะตอมไม่เต็มกับ 5.93 และสัดส่วนของชิลิกาต่ออัลูมิเนียมในเก้าออยเท็มกับ 1.67 จากงานวิจัยผลกระทบของสัดส่วนชิลิกาต่ออัลูมิเนียมต่อกำลังอัดของวัสดุ ดังนั้นโดยสมมุติฐานเบื้องต้นของงานวิจัยนี้สัดส่วนชิลิกาต่ออัลูมิเนียมในดีอะตอมไม่เต็มที่สูงอาจจะส่งผลต่อค่ากำลังอัด

จากการทดสอบคุณสมบัติทางกายภาพของวัสดุปะสำน พบว่าสัดส่วนของชิลิกาต่ออัลูมิเนียมมีผลต่อค่ากำลังอัดของวัสดุ ดังนั้นโดยสมมุติฐานเบื้องต้นของงานวิจัยนี้สัดส่วนชิลิกาต่ออัลูมิเนียมในดีอะตอมไม่เต็มที่สูงอาจจะส่งผลต่อค่ากำลังอัด

จากตารางที่ 3 พบร่วมกันว่า Specific gravity มีค่าเท่ากับ 2.33 และ Bulk density 490 kg/m³ ตามลำดับ เมื่อเปรียบเทียบกับเก้าออยและทราย ซึ่งมีค่าความถ่วงจำเพาะต่ำกว่าประมาณ 3.32% และ 13.38% ตามลำดับ และมีค่าความหนาแน่นต่ำกว่าประมาณ 49.64% และ 69.85% ตามลำดับ

ภาพที่ 1 ภาพถ่าย SEM ของดีอะตอมไม่เต็ม

ภาพที่ 2 ภาพถ่าย SEM ของเก้าออย

16	ชนิด ภูมิภาค และ ชีวัฒน์ สินค้า																																																																																																				
ตารางที่ 4 ผลทดสอบเมื่อแบร์ผันอายุการบ่ม																																																																																																					
<table border="1" style="width: 100%; border-collapse: collapse;"> <thead> <tr> <th rowspan="2">Symbol</th> <th colspan="3">Compressive strength (ksc)</th> </tr> <tr> <th>7 days</th> <th>14 days</th> <th>28 days</th> </tr> </thead> <tbody> <tr> <td>15M-DE100-1.5</td><td>222.9</td><td>236.4</td><td>289.2</td></tr> <tr> <td>15M-DE80-1.5</td><td>299.3</td><td>321.7</td><td>404.4</td></tr> <tr> <td>15M-DE60-1.5</td><td>423.7</td><td>427.0</td><td>474.2</td></tr> <tr> <td>15M-DE0-1.5</td><td>809.7</td><td>834.4</td><td>810.8</td></tr> </tbody> </table>		Symbol	Compressive strength (ksc)			7 days	14 days	28 days	15M-DE100-1.5	222.9	236.4	289.2	15M-DE80-1.5	299.3	321.7	404.4	15M-DE60-1.5	423.7	427.0	474.2	15M-DE0-1.5	809.7	834.4	810.8																																																																													
Symbol	Compressive strength (ksc)																																																																																																				
	7 days	14 days	28 days																																																																																																		
15M-DE100-1.5	222.9	236.4	289.2																																																																																																		
15M-DE80-1.5	299.3	321.7	404.4																																																																																																		
15M-DE60-1.5	423.7	427.0	474.2																																																																																																		
15M-DE0-1.5	809.7	834.4	810.8																																																																																																		
ตารางที่ 5 ผลทดสอบเมื่อแบร์ผันอัตราส่วน																																																																																																					
<table border="1" style="width: 100%; border-collapse: collapse;"> <thead> <tr> <th colspan="4">Addition water/binder</th> </tr> <tr> <th>Symbol</th> <th>Unit weight (kg/m³)</th> <th>Flow (%)</th> <th>Compressive strength 7 days (ksc)</th> </tr> </thead> <tbody> <tr> <td>15M-DE100-1.5(0%*)</td><td>2115</td><td>75</td><td>222.9</td></tr> <tr> <td>15M-DE80-1.5(0%)</td><td>2163</td><td>86</td><td>299.3</td></tr> <tr> <td>15M-DE60-1.5(0%)</td><td>2234</td><td>61</td><td>423.7</td></tr> <tr> <td>15M-DE0-1.5(0%)</td><td>2270</td><td>35</td><td>809.7</td></tr> <tr> <td>15M-DE100-1.5(3%)</td><td>2080</td><td>80</td><td>184.0</td></tr> <tr> <td>15M-DE80-1.5(3%)</td><td>2097</td><td>94</td><td>240.1</td></tr> <tr> <td>15M-DE60-1.5(3%)</td><td>2204</td><td>62</td><td>279.7</td></tr> <tr> <td>15M-DE0-1.5(3%)</td><td>2246</td><td>45</td><td>741.9</td></tr> <tr> <td>15M-DE100-1.5(6%)</td><td>2062</td><td>96</td><td>153.6</td></tr> <tr> <td>15M-DE80-1.5(6%)</td><td>2095</td><td>110</td><td>197.5</td></tr> <tr> <td>15M-DE60-1.5(6%)</td><td>2177</td><td>72</td><td>337.2</td></tr> <tr> <td>15M-DE0-1.5(6%)</td><td>2236</td><td>43</td><td>664.5</td></tr> <tr> <td>15M-DE100-1.5(9%)</td><td>2052</td><td>111</td><td>130.8</td></tr> <tr> <td>15M-DE80-1.5(9%)</td><td>2085</td><td>117</td><td>188.0</td></tr> <tr> <td>15M-DE60-1.5(9%)</td><td>2146</td><td>97</td><td>296.5</td></tr> <tr> <td>15M-DE0-1.5(9%)</td><td>2205</td><td>35</td><td>554.7</td></tr> <tr> <td>15M-DE100-1.5(12%)</td><td>2036</td><td>114</td><td>129.4</td></tr> <tr> <td>15M-DE80-1.5(12%)</td><td>2050</td><td>123</td><td>171.4</td></tr> <tr> <td>15M-DE60-1.5(12%)</td><td>2083</td><td>112</td><td>215.3</td></tr> <tr> <td>15M-DE0-1.5(12%)</td><td>2196</td><td>22</td><td>419.1</td></tr> <tr> <td>15M-DE100-1.5(15%)</td><td>2036</td><td>134</td><td>94.0</td></tr> <tr> <td>15M-DE80-1.5(15%)</td><td>2019</td><td>135</td><td>146.2</td></tr> <tr> <td>15M-DE0-1.5(15%)</td><td>2130</td><td>10</td><td>338.8</td></tr> </tbody> </table>		Addition water/binder				Symbol	Unit weight (kg/m³)	Flow (%)	Compressive strength 7 days (ksc)	15M-DE100-1.5(0%*)	2115	75	222.9	15M-DE80-1.5(0%)	2163	86	299.3	15M-DE60-1.5(0%)	2234	61	423.7	15M-DE0-1.5(0%)	2270	35	809.7	15M-DE100-1.5(3%)	2080	80	184.0	15M-DE80-1.5(3%)	2097	94	240.1	15M-DE60-1.5(3%)	2204	62	279.7	15M-DE0-1.5(3%)	2246	45	741.9	15M-DE100-1.5(6%)	2062	96	153.6	15M-DE80-1.5(6%)	2095	110	197.5	15M-DE60-1.5(6%)	2177	72	337.2	15M-DE0-1.5(6%)	2236	43	664.5	15M-DE100-1.5(9%)	2052	111	130.8	15M-DE80-1.5(9%)	2085	117	188.0	15M-DE60-1.5(9%)	2146	97	296.5	15M-DE0-1.5(9%)	2205	35	554.7	15M-DE100-1.5(12%)	2036	114	129.4	15M-DE80-1.5(12%)	2050	123	171.4	15M-DE60-1.5(12%)	2083	112	215.3	15M-DE0-1.5(12%)	2196	22	419.1	15M-DE100-1.5(15%)	2036	134	94.0	15M-DE80-1.5(15%)	2019	135	146.2	15M-DE0-1.5(15%)	2130	10	338.8
Addition water/binder																																																																																																					
Symbol	Unit weight (kg/m³)	Flow (%)	Compressive strength 7 days (ksc)																																																																																																		
15M-DE100-1.5(0%*)	2115	75	222.9																																																																																																		
15M-DE80-1.5(0%)	2163	86	299.3																																																																																																		
15M-DE60-1.5(0%)	2234	61	423.7																																																																																																		
15M-DE0-1.5(0%)	2270	35	809.7																																																																																																		
15M-DE100-1.5(3%)	2080	80	184.0																																																																																																		
15M-DE80-1.5(3%)	2097	94	240.1																																																																																																		
15M-DE60-1.5(3%)	2204	62	279.7																																																																																																		
15M-DE0-1.5(3%)	2246	45	741.9																																																																																																		
15M-DE100-1.5(6%)	2062	96	153.6																																																																																																		
15M-DE80-1.5(6%)	2095	110	197.5																																																																																																		
15M-DE60-1.5(6%)	2177	72	337.2																																																																																																		
15M-DE0-1.5(6%)	2236	43	664.5																																																																																																		
15M-DE100-1.5(9%)	2052	111	130.8																																																																																																		
15M-DE80-1.5(9%)	2085	117	188.0																																																																																																		
15M-DE60-1.5(9%)	2146	97	296.5																																																																																																		
15M-DE0-1.5(9%)	2205	35	554.7																																																																																																		
15M-DE100-1.5(12%)	2036	114	129.4																																																																																																		
15M-DE80-1.5(12%)	2050	123	171.4																																																																																																		
15M-DE60-1.5(12%)	2083	112	215.3																																																																																																		
15M-DE0-1.5(12%)	2196	22	419.1																																																																																																		
15M-DE100-1.5(15%)	2036	134	94.0																																																																																																		
15M-DE80-1.5(15%)	2019	135	146.2																																																																																																		
15M-DE0-1.5(15%)	2130	10	338.8																																																																																																		
ตารางที่ 6 ผลทดสอบเมื่อแบร์ผันอุณหภูมิการเร่ง																																																																																																					
<table border="1" style="width: 100%; border-collapse: collapse;"> <thead> <tr> <th colspan="4">ปฏิริยา</th> </tr> <tr> <th>Symbol</th> <th>Curing temp. (°C)</th> <th>Unit weight (kg/m³)</th> <th>Compressive strength 7 days (ksc)</th> </tr> </thead> <tbody> <tr> <td>15M-DE100-1.5</td><td>60</td><td>2126</td><td>199.3</td></tr> <tr> <td>15M-DE80-1.5</td><td>60</td><td>2237</td><td>269.2</td></tr> <tr> <td>15M-DE60-1.5</td><td>60</td><td>2239</td><td>300.8</td></tr> <tr> <td>15M-DE0-1.5</td><td>60</td><td>2300</td><td>705.2</td></tr> <tr> <td>15M-DE100-1.5</td><td>75</td><td>2115</td><td>222.9</td></tr> <tr> <td>15M-DE80-1.5</td><td>75</td><td>2163</td><td>299.3</td></tr> <tr> <td>15M-DE60-1.5</td><td>75</td><td>2234</td><td>423.7</td></tr> <tr> <td>15M-DE0-1.5</td><td>75</td><td>2270</td><td>809.7</td></tr> <tr> <td>15M-DE100-1.5</td><td>90</td><td>2097</td><td>215.0</td></tr> <tr> <td>15M-DE80-1.5</td><td>90</td><td>2099</td><td>283.2</td></tr> <tr> <td>15M-DE60-1.5</td><td>90</td><td>2232</td><td>356.9</td></tr> <tr> <td>15M-DE0-1.5</td><td>90</td><td>2266</td><td>841.3</td></tr> </tbody> </table>		ปฏิริยา				Symbol	Curing temp. (°C)	Unit weight (kg/m³)	Compressive strength 7 days (ksc)	15M-DE100-1.5	60	2126	199.3	15M-DE80-1.5	60	2237	269.2	15M-DE60-1.5	60	2239	300.8	15M-DE0-1.5	60	2300	705.2	15M-DE100-1.5	75	2115	222.9	15M-DE80-1.5	75	2163	299.3	15M-DE60-1.5	75	2234	423.7	15M-DE0-1.5	75	2270	809.7	15M-DE100-1.5	90	2097	215.0	15M-DE80-1.5	90	2099	283.2	15M-DE60-1.5	90	2232	356.9	15M-DE0-1.5	90	2266	841.3																																												
ปฏิริยา																																																																																																					
Symbol	Curing temp. (°C)	Unit weight (kg/m³)	Compressive strength 7 days (ksc)																																																																																																		
15M-DE100-1.5	60	2126	199.3																																																																																																		
15M-DE80-1.5	60	2237	269.2																																																																																																		
15M-DE60-1.5	60	2239	300.8																																																																																																		
15M-DE0-1.5	60	2300	705.2																																																																																																		
15M-DE100-1.5	75	2115	222.9																																																																																																		
15M-DE80-1.5	75	2163	299.3																																																																																																		
15M-DE60-1.5	75	2234	423.7																																																																																																		
15M-DE0-1.5	75	2270	809.7																																																																																																		
15M-DE100-1.5	90	2097	215.0																																																																																																		
15M-DE80-1.5	90	2099	283.2																																																																																																		
15M-DE60-1.5	90	2232	356.9																																																																																																		
15M-DE0-1.5	90	2266	841.3																																																																																																		
ตารางที่ 7 ผลทดสอบเมื่อแบร์ผันความเข้มข้น NaOH																																																																																																					
<table border="1" style="width: 100%; border-collapse: collapse;"> <thead> <tr> <th colspan="4">Symbol</th> </tr> <tr> <th>Symbol</th> <th>Unit weight (kg/m³)</th> <th>Flow (%)</th> <th>Compressive strength 7 days (ksc)</th> </tr> </thead> <tbody> <tr> <td>5M-DE100-1.5</td><td>1934</td><td>115</td><td>145.5</td></tr> <tr> <td>5M-DE80-1.5</td><td>2020</td><td>126</td><td>232.4</td></tr> <tr> <td>5M-DE60-1.5</td><td>2098</td><td>89</td><td>267.3</td></tr> <tr> <td>5M-DE0-1.5</td><td>2120</td><td>84</td><td>574.6</td></tr> <tr> <td>10M-DE100-1.5</td><td>2099</td><td>89</td><td>198.2</td></tr> <tr> <td>10M-DE80-1.5</td><td>2107</td><td>105</td><td>243.6</td></tr> <tr> <td>10M-DE60-1.5</td><td>2127</td><td>51</td><td>341.7</td></tr> <tr> <td>10M-DE0-1.5</td><td>2218</td><td>48</td><td>677.0</td></tr> <tr> <td>15M-DE100-1.5</td><td>2115</td><td>75</td><td>222.9</td></tr> <tr> <td>15M-DE80-1.5</td><td>2163</td><td>86</td><td>299.3</td></tr> <tr> <td>15M-DE60-1.5</td><td>2234</td><td>61</td><td>423.7</td></tr> <tr> <td>15M-DE0-1.5</td><td>2270</td><td>35</td><td>809.7</td></tr> <tr> <td>20M-DE100-1.5</td><td>2166</td><td>36</td><td>221.7</td></tr> <tr> <td>20M-DE80-1.5</td><td>2239</td><td>25</td><td>262.7</td></tr> <tr> <td>20M-DE60-1.5</td><td>2265</td><td>13</td><td>340.1</td></tr> <tr> <td>20M-DE0-1.5</td><td>2349</td><td>0</td><td>706.7</td></tr> </tbody> </table>		Symbol				Symbol	Unit weight (kg/m³)	Flow (%)	Compressive strength 7 days (ksc)	5M-DE100-1.5	1934	115	145.5	5M-DE80-1.5	2020	126	232.4	5M-DE60-1.5	2098	89	267.3	5M-DE0-1.5	2120	84	574.6	10M-DE100-1.5	2099	89	198.2	10M-DE80-1.5	2107	105	243.6	10M-DE60-1.5	2127	51	341.7	10M-DE0-1.5	2218	48	677.0	15M-DE100-1.5	2115	75	222.9	15M-DE80-1.5	2163	86	299.3	15M-DE60-1.5	2234	61	423.7	15M-DE0-1.5	2270	35	809.7	20M-DE100-1.5	2166	36	221.7	20M-DE80-1.5	2239	25	262.7	20M-DE60-1.5	2265	13	340.1	20M-DE0-1.5	2349	0	706.7																												
Symbol																																																																																																					
Symbol	Unit weight (kg/m³)	Flow (%)	Compressive strength 7 days (ksc)																																																																																																		
5M-DE100-1.5	1934	115	145.5																																																																																																		
5M-DE80-1.5	2020	126	232.4																																																																																																		
5M-DE60-1.5	2098	89	267.3																																																																																																		
5M-DE0-1.5	2120	84	574.6																																																																																																		
10M-DE100-1.5	2099	89	198.2																																																																																																		
10M-DE80-1.5	2107	105	243.6																																																																																																		
10M-DE60-1.5	2127	51	341.7																																																																																																		
10M-DE0-1.5	2218	48	677.0																																																																																																		
15M-DE100-1.5	2115	75	222.9																																																																																																		
15M-DE80-1.5	2163	86	299.3																																																																																																		
15M-DE60-1.5	2234	61	423.7																																																																																																		
15M-DE0-1.5	2270	35	809.7																																																																																																		
20M-DE100-1.5	2166	36	221.7																																																																																																		
20M-DE80-1.5	2239	25	262.7																																																																																																		
20M-DE60-1.5	2265	13	340.1																																																																																																		
20M-DE0-1.5	2349	0	706.7																																																																																																		

ความสามารถทำงานได้และกำลังอัดของจีโอพลิเมอร์ตัวร้ายจากเกลือยหอมไดอะตومไม้ท์

17

ตารางที่ 8 ผลทดสอบเมื่อเปลี่ยนอัตราส่วน $\text{Na}_2\text{SiO}_3/\text{NaOH}$

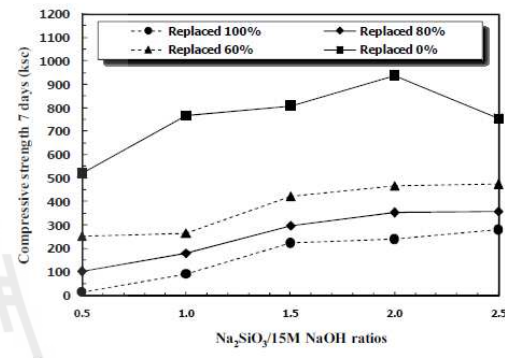
Symbol	Unit weight (kg/m ³)	Flow (%)	Compressive strength 7 days (ksc)
15M-DE100-0.5	2108	83	14.6
15M-DE80-0.5	2088	94	101.6
15M-DE60-0.5	2173	28	252.3
15M-DE0-0.5	2226	0	522.2
15M-DE100-1.0	2105	72	91.8
15M-DE80-1.0	2198	98	179.7
15M-DE60-1.0	2227	51	264.9
15M-DE0-1.0	2287	5	767.7
15M-DE100-1.5	2115	75	222.9
15M-DE80-1.5	2163	86	299.3
15M-DE60-1.5	2234	61	423.7
15M-DE0-1.5	2270	35	809.7
15M-DE100-2.0	2120	59	240.0
15M-DE80-2.0	2178	65	352.6
15M-DE60-2.0	2238	35	468.2
15M-DE0-2.0	2264	60	939.1
15M-DE100-2.5	2127	62	280.6
15M-DE80-2.5	2172	65	358.1
15M-DE60-2.5	2263	29	474.4
15M-DE0-2.5	2324	67	755.3

ตารางที่ 9 ผลทดสอบเมื่อเปลี่ยนอัตราส่วน $\text{Na}_2\text{SiO}_3/\text{NaOH}$

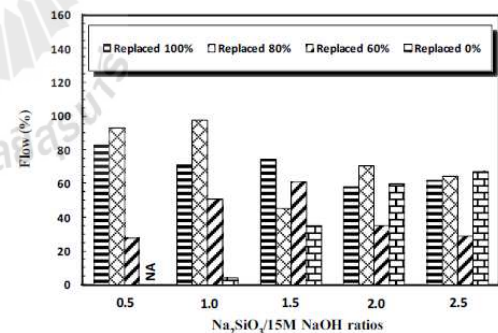
Symbol	Unit weight (kg/m ³)	Flow (%)	Compressive strength 7 days (ksc)
15M-DE100-1.5(0.4)	2107	16	235.0
15M-DE80-1.5(0.4*)	2183	9	243.1
15M-DE60-1.5(0.4)	2269	4	419.4
15M-DE0-1.5(0.4)	2283	2	800.8
15M-DE100-1.5(0.5)	2115	75	222.9
15M-DE80-1.5(0.5)	2163	86	299.3
15M-DE60-1.5(0.5)	2234	61	423.7
15M-DE0-1.5(0.5)	2270	35	809.7
15M-DE100-1.5(0.6)	2015	96	84.1
15M-DE80-1.5(0.6)	2104	108	166.0
15M-DE60-1.5(0.6)	2150	82	284.3
15M-DE0-1.5(0.6)	2267	53	655.0
15M-DE100-1.5(0.7)	1994	126	22.5
15M-DE80-1.5(0.7)	2038	117	109.5
15M-DE60-1.5(0.7)	2144	109	219.5
15M-DE0-1.5(0.7)	2175	85	435.0

4.2 ผลกระทบของอัตราส่วน $\text{Na}_2\text{SiO}_3/\text{NaOH}$

การทดสอบที่เปลี่ยนตามอัตราส่วน $\text{Na}_2\text{SiO}_3/\text{NaOH}$ ใช้ความความเข้มข้นของโซเดียมไฮดรอกไซด์ 15 มิลิกรัม/ลิตร ผลการทดสอบดังแสดงในรูปที่ 3 และ 4 พบว่าค่ากำลังอัด และความสามารถทำงานได้ขึ้นอยู่กับปริมาณของโซเดียมไฮดรอกไซด์และปริมาณการแทนที่ไดอะตอมไม้ท์ สอดคล้องกับงานวิจัย (Sathonsaowaphak A. et al, 2009 และ ภินนากร และคณะ, 2010)



รูปที่ 3 ผลกระทบของอัตราส่วน $\text{Na}_2\text{SiO}_3/\text{NaOH}$ ต่อกำลังอัด



รูปที่ 4 ผลกระทบของอัตราส่วน $\text{Na}_2\text{SiO}_3/\text{NaOH}$ ต่อการไหลแผ่น

เมื่อพิจารณาถึงค่ากำลังอัดและการไหลแผ่นที่เหมาสมพบร์ว่าที่อัตราส่วน $\text{Na}_2\text{SiO}_3/\text{NaOH}$ เท่ากับ 1.5-2.5 ปริมาณการแทนที่ร้อยละ 80 และ 60 มีค่ากำลังอัดเท่ากับ 299-474 กก/ซม² และค่าการไหลแผ่นเท่ากับ 29-65% แต่ภาวะที่ดีที่สุดคืออัตราส่วน $\text{Na}_2\text{SiO}_3/\text{NaOH}$ เท่ากับ 2.0 ปริมาณการแทนที่ร้อยละ 60 มีค่ากำลังอัดเท่ากับ 468 กก/ซม² และค่าการไหลแผ่นเท่ากับ 35%

ที่อัตราส่วน $\text{Na}_2\text{SiO}_3/\text{NaOH}$ เท่ากับ 0.5 และ 1.0 การแทนที่ด้วยไฮโดรเจตตอนไม่ทั้งหมดมีค่าการไอลแฟที่ดี แต่ค่ากำลังอัดน้อยเมื่อเทียบกับอัตราส่วนอื่นๆ ส่วนการแทนที่ด้วยถ้าลดอัตราส่วนของไฮโดรเจตตอนให้มีส่วนผสมให้ได้กำลังน้อยเมื่อเทียบกับอัตราส่วนอื่นๆ

ที่อัตราส่วน $\text{Na}_2\text{SiO}_3/\text{NaOH}$ เท่ากับ 2.5 การแทนที่ด้วยไฮโดรเจตตอนไม่ทั้งหมดมีค่าการไอลแฟพอทำงานได้เนื่องจากปริมาณของ Na_2SiO_3 ที่มากขึ้นทำให้ส่วนผสมมีความหนืดมากขึ้น แต่ค่ากำลังอัดดีขึ้นเมื่อเทียบกับอัตราส่วนอื่นๆ และมีแนวโน้มสูงขึ้นตามปริมาณของ Na_2SiO_3 ที่มากขึ้นด้วย ส่วนการแทนที่ด้วยถ้าลดอัตราส่วนของไฮโดรเจตตอนให้ดี แต่กำลังอัดลดลงเมื่อเทียบกับอัตราส่วน $\text{Na}_2\text{SiO}_3/\text{NaOH}$ เท่ากับ 1.5 อย่างไรก็ตามการแทนที่ด้วยถ้าลดอัตราส่วนของไฮโดรเจตตอนมีการแข็งตัวที่เร็ว เมื่อพิจารณาจากกระบวนการผลิต

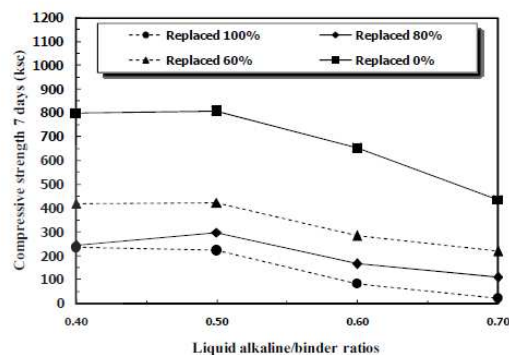
4.3 ผลกระทบของอัตราส่วน Liquid alkaline/binder

การทดสอบที่ประเมินตามอัตราส่วน Liquid alkaline/binder ผลการทดสอบดังแสดงในรูปที่ 5 และ 6 พบว่า อัตราส่วนของเหลวต่อวัสดุประสานและปริมาณการแทนที่ของไฮโดรเจตตอนที่ส่งผลต่อค่ากำลังอัดและความสามารถทำงานได้ กล่าวคือความสามารถทำงานได้เพิ่มขึ้นเมื่ออัตราส่วนของเหลวต่อวัสดุประสานเพิ่มขึ้น แต่ค่ากำลังอัดที่ลดลง สอดคล้องกับงานวิจัย (Hardjito D. et al., 2008, Sathonsaowaphak A. et al., 2009 และธนากร และคณะ, 2010)

เมื่อพิจารณาถึงค่ากำลังอัดและการไอลแฟที่เหมาะสมพบว่าที่อัตราส่วนของเหลวต่อวัสดุประสานเท่ากับ 0.50 ปริมาณการแทนที่ร้อยละ 80 และ 60 เป็นภาวะที่ดีที่สุด มีค่ากำลังอัดเท่ากับ 299-423 กก./ซม.² และค่าการไอลแฟที่ 61-86%

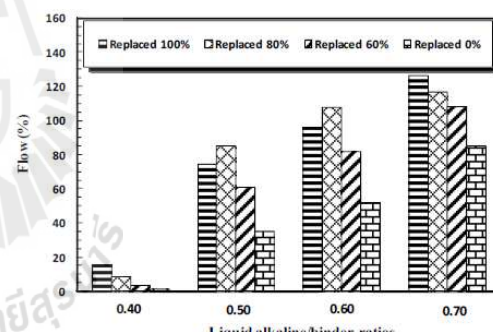
ที่อัตราส่วนของเหลวต่อวัสดุประสานเท่ากับ 0.40 สำหรับส่วนผสมค่อนข้างแห้งมากส่งผลให้ค่าการไอลแฟมีค่าน้อยมาก อีกทั้งส่วนผสมไม่เป็นเนื้อเดียวกันและยากต่อการหล่อตัวอย่าง

ที่อัตราส่วนของเหลวต่อวัสดุประสานเท่ากับ 0.70 สำหรับส่วนผสมมีความเหลวมากส่งผลให้ค่าการไอลแฟที่สูง แต่เมื่อพิจารณาถึงกำลังอัดและงบประมาณ อัตราส่วนนี้ไม่เหมาะสมสำหรับการนำไปใช้งาน



รูปที่ 5 ผลกระทบของอัตราส่วน

Liquid alkaline/binder ต่อกำลังอัด



รูปที่ 6 ผลกระทบของอัตราส่วน Liquid alkaline/binder ต่อการไอลแฟ

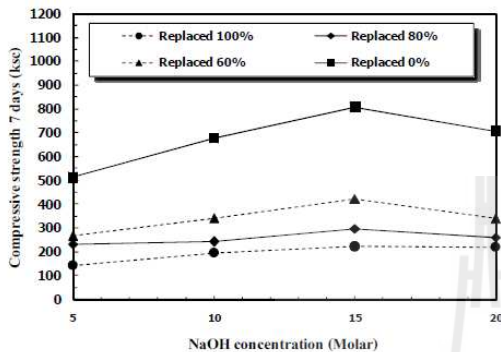
4.4 ผลกระทบของความเข้มข้น NaOH

การทดสอบที่ประเมินตามความเข้มข้นของสารละลายน้ำได้โดยไฮดรอกไซด์ ผลการทดสอบดังแสดงในรูปที่ 7 และ 8 พบว่าความเข้มข้นของโซเดียมไฮดรอกไซด์และปริมาณการแทนที่ของไฮโดรเจตตอนที่ส่งผลต่อค่ากำลังอัดและความสามารถทำงานได้ สอดคล้องกับงานวิจัย (Chindaprasirt P. et al., 2007, Hardjito D. et al., 2008, Sathonsaowaphak A. et al., 2009, และธนากร และคณะ, 2010) กล่าวคือกำลังอัดมีแนวโน้มสูงขึ้นตามความเข้มข้นของโซเดียมไฮดรอกไซด์ที่สูงขึ้นแต่ความสามารถในการทำงานลดลง เป็นผลเนื่องจากความ

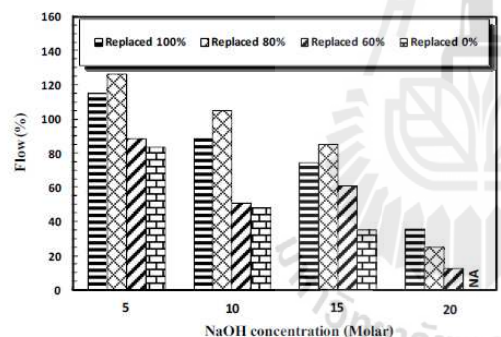
ความสามารถทำงานได้และกำลังอัดของจีโอโพลิเมอร์ด้วยการเก็บอย่างต่อเนื่อง

19

เข้มข้นที่สูงมีความสามารถในการซึมอยู่ในหินหินที่มีคุณภาพดีมาก ซึ่งมีข้อดีคือการเกิดปฏิกิริยาที่รวดเร็ว (Rattanasak U. et al., 2009)



รูปที่ 7 ผลกระทบของความเข้มข้น NaOH ต่อกำลังอัด



รูปที่ 8 ผลกระทบของความเข้มข้น NaOH ต่อการไหล

เมื่อพิจารณาถึงค่ากำลังอัดและการไหลแล้วที่เหมาะสมพบว่าที่ความเข้มข้นของโซเดียมไฮดรอกไซด์เท่ากับ 10-15 มิลลิตร ปริมาณการแทนที่ร้อยละ 80 และ 60 มีค่ากำลังอัดเท่ากับ 243-423 กก./ซม.² และค่าการไหลแล้ว 51-105% แต่ภาวะที่ดีที่สุดคือความเข้มข้นของโซเดียมไฮดรอกไซด์เท่ากับ 15 มิลลิตร ปริมาณการแทนที่ร้อยละ 60 มีค่ากำลังอัดเท่ากับ 423 กก./ซม.² และค่าการไหลแล้วเท่ากับ 61%

ที่ความเข้มข้นของโซเดียมไฮดรอกไซด์เท่ากับ 5 มิลลิตร มีค่าการไหลแล้วสูงแต่ค่ากำลังอัดน้อยเมื่อเทียบกับความเข้มข้นของโซเดียมไฮดรอกไซด์อื่นๆ อาจเนื่องจาก

ความเข้มข้นของโซเดียมไฮดรอกไซด์ที่น้อยทำให้ความสามารถในการซึมอยู่ในหินหินที่มีคุณภาพดีมาก ซึ่งมีข้อดีคือการเกิดปฏิกิริยาที่รวดเร็ว (Rattanasak U. et al., 2009) ซึ่งมีผลให้ความสามารถทำงานได้เพิ่มขึ้นแต่กำลังอัดลดลง ในทำนองเดียวกับอัตราส่วนน้ำต่อชีเมนต์ (W/C) ที่สูงในงานคอนกรีตทั่วไป

ที่ความเข้มข้นของโซเดียมไฮดรอกไซด์เท่ากับ 20 มิลลิตร การแทนที่ด้วยไฮดรอกไซด์ทั้งหมดจะมีค่าการไหลแล้วพอทำงานได้ แต่ค่ากำลังอัดลดลงเมื่อเทียบกับความเข้มข้นของโซเดียมไฮดรอกไซด์เท่ากับ 15 มิลลิตร ส่วนการแทนที่ด้วยเก็บอย่างหนึ่งของการผสมค่อนข้างยากเนื่องจากความเข้มข้นของโซเดียมไฮดรอกไซด์ที่สูงส่งผลให้มีระยะเวลาการก่อตัวที่เร็วส่งผลให้ค่าการไหลแล้วอยู่เมื่อเทียบกับความเข้มข้นของโซเดียมไฮดรอกไซด์อื่นๆ ซึ่งมีผลให้ความสามารถทำงานได้เพิ่มขึ้นแต่กำลังอัดลดลง เมื่อเทียบกับความเข้มข้นของโซเดียมไฮดรอกไซด์ที่สูงส่งผลให้ค่าการไหลแล้วอยู่เมื่อเทียบกับความเข้มข้นของโซเดียมไฮดรอกไซด์อื่นๆ ซึ่งมีผลให้ความสามารถทำงานได้เพิ่มขึ�

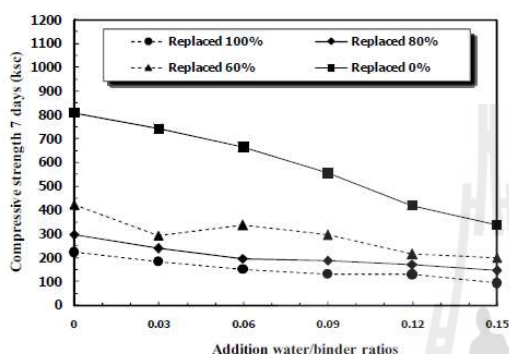
4.5 ผลกระทบของอัตราส่วน addition water/binder

ผลการทดสอบที่แบ่งผันตามอัตราส่วนการเพิ่มปริมาณน้ำต่อวัสดุประสาน ดังแสดงในรูปที่ 9 และ 10 พบว่าการเพิ่มปริมาณน้ำในส่วนผสมและปริมาณการแทนที่ของไฮดรอกไซด์ทั้งหมดส่งผลต่อกำลังอัดและความสามารถทำงานได้เพิ่มขึ้นเมื่ออัตราส่วนของการเพิ่มปริมาณน้ำต่อวัสดุประสานเพิ่มขึ้น แต่กำลังอัดลดลง ลดลงลักษณะวิจัย (Chindaprasirt P. et al., 2007 และ Sathon Saowaphak A. et al., 2009)

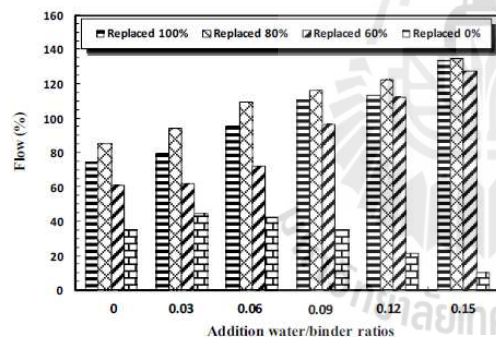
เมื่อพิจารณาถึงค่ากำลังอัดและการไหลแล้วที่เหมาะสมพบว่าที่อัตราส่วนของการเพิ่มปริมาณน้ำต่อวัสดุประสานเท่ากับ 3-6% ปริมาณการแทนที่ร้อยละ 80 และ 60 มีค่ากำลังอัดเท่ากับ 197-337 กก./ซม.² และค่าการไหลแล้ว 62-110%

ที่อัตราส่วนของการเพิ่มปริมาณน้ำต่อวัสดุประสานเท่ากับ 9-15% การแทนที่ด้วยไฮดรอกไซด์ทั้งหมดจะมีค่าการไหลที่สูง แต่ค่ากำลังอัดลดลง แต่ยังลดลงในสัดส่วนที่น้อย เมื่อพิจารณาถึงการเพิ่มน้ำในส่วนผสมของการ

แทนที่ได้จะต่ำไม่เท่ากับห้องทดลองเมื่อไม่ค่อยจำเป็นมาก เนื่องจากการแทนที่ได้จะต่ำไม่เท่ากับห้องทดลองเพิ่มประสิทธิภาพการทำงานอยู่แล้ว นอกจากว่าจะเป็นอัตราส่วนของเหลวต่อวัสดุประมาณที่น้อยๆ อาจจะส่งผลดีต่อห้องค่าการไหลแต่จะทำลักษณะ



รูปที่ 9 ผลกระทบของการเพิ่มปริมาณน้ำต่อกำลังอัด

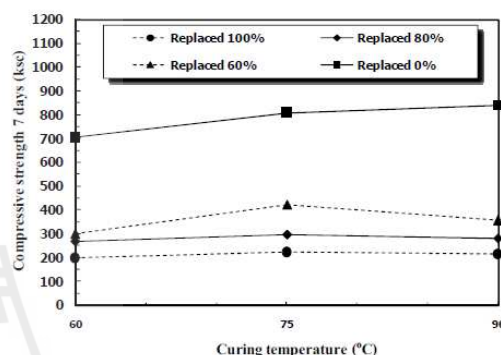


รูปที่ 10 ผลกระทบของการเพิ่มปริมาณน้ำต่อการไหลแต่

สวนการแทนที่ด้วยเก้าออยทั้งหมดมีค่าการไหลแต่เพิ่มขึ้นที่การเพิ่มปริมาณน้ำเท่ากับ 3% แต่หลังจากนั้นค่าการไหลลดลงเรื่อยๆ อีกทั้งค่ากำลังอัดลดลงด้วย อาจเนื่องมาจากว่าการเพิ่มปริมาณน้ำในสวนผสมทำให้เกิดการทำปฏิกิริยาอีกครั้งหนึ่งระหว่างน้ำกับโซเดียมไฮดรอกไซด์ทำให้สวนผสมมีการแข็งตัวที่เร็วขึ้น แต่ค่ากำลังอัดลดลงเนื่องจากการเพิ่มปริมาณน้ำในสวนผสมเหมือนกับการปรับความเข้มข้นของโซเดียมไฮดรอกไซด์ให้น้อยลง ซึ่งแสดงถึงปริมาณน้ำที่มากขึ้นในสวนผสม

4.6 ผลกระทบของอุณหภูมิการเร่งปฏิกิริยา

การทดสอบที่แบ่งผันอุณหภูมิในการเร่งปฏิกิริยาผลการทดสอบดังแสดงในรูปที่ 11 พบว่าค่ากำลังอัดมีแนวโน้มสูงขึ้นตามอุณหภูมิการเร่งปฏิกิริยาที่สูงขึ้น (สอดคล้องกับงานวิจัย (Chindaprasirt P. et al., 2007, Hardjito D. et al., 2004, Hardjito D. et al., 2008, Bakharev T., 2006, Nguyen Van Chan et al., 2008, ธนากร, 2010 และประมวล, 2007))



รูปที่ 11 ผลกระทบของอุณหภูมิการเร่งปฏิกิริยาต่อกำลังอัด

เมื่อพิจารณาถึงค่ากำลังอัดที่แบ่งผันตามอุณหภูมิการเร่งปฏิกิริยา และค่าการไหลแต่เพิ่มสมของอัตราส่วนที่ใช้ พบว่าที่ปริมาณการแทนที่ร้อยละ 80 และ 60 มีความเหมาะสมซึ่งมีค่ากำลังอัดเท่ากับ 269-423 กก/ซม² และภาวะที่ดีที่สุดของอุณหภูมิการเร่งปฏิกิริยาคือ 75 องศาเซลเซียส ปริมาณการแทนที่ร้อยละ 60 ให้ค่ากำลังอัดเท่ากับ 423 กก/ซม²

ที่อุณหภูมิการเร่งปฏิกิริยาเท่ากับ 60 องศาเซลเซียส มีค่ากำลังอัดน้อยเมื่อเทียบกับอุณหภูมิการเร่งปฏิกิริยาอื่นๆ

ที่อุณหภูมิการเร่งปฏิกิริยาเท่ากับ 90 องศาเซลเซียส มีค่ากำลังอัดลดลงเมื่อเทียบกับอุณหภูมิการเร่งปฏิกิริยาเท่ากับ 75 องศาเซลเซียส การแทนที่ได้จะต่ำไม่เท่ากับห้องทดลองที่ตัวอย่างเกิดขึ้นอย่างชัดเจน เนื่องจากการแทนที่ได้จะต่ำไม่มีความเร็วของ การแข็งตัวที่ช้า ประกอบกับอุณหภูมิการเร่งปฏิกิริยาที่สูงทำให้สูญเสียความชื้นอย่างรวดเร็วจึงเกิดการบวมตัวของสวนการแทนที่เก้าออยทั้งหมดไม่เกิดการบวมตัวของ

ความสามารถทำงานได้และกำลังอัดของจีโอโพลิเมอร์ตัวร์จากเก้าอี้โดยผสมปูดอะตอนไม้ท์

21

ตัวอย่างตั้งแสดงในรูปที่ 12 เมื่อจากการแทนที่เก้าอี้หันหัวมีระยะเวลาเชิงตัวที่เร็ว ตัวยานพาหนะน้ำด้วยตัวก่อนที่นำเข้าไปร่วงปฏิกิริยาในตู้อบ ส่งผลให้เกิดการสูญเสียความชื้นน้อยกว่าการแทนที่ด้วยปูดอะตอนไม้ท์หันหัว



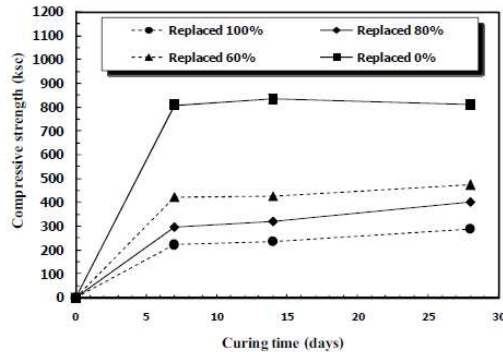
รูปที่ 12 ผลกระทบของอุณหภูมิการร่วงปฏิกิริยาต่อจีโอโพลิเมอร์ตัวร์

อย่างไรก็ดีอุณหภูมิการร่วงปฏิกิริยาควรคำนึงถึงการถ่ายตัวของบริมาณสารประกอบของวัสดุปูดอะลอนซึ่งจากการวิจัยที่ผ่านมาสารประกอบของวัสดุปูดอะลอนมีการถ่ายตัวอุณหภูมิประมาณ 110 องศาเซลเซียส ตั้งนั้นควรใช้อุณหภูมิการร่วงปฏิกิริยาที่ประมาณ 60-80% ของอุณหภูมิที่ทำให้เกิดการถ่ายตัวของสารประกอบหลัก (Chaipanich A. and Nochaiya T., 2010 และ Wongkeo W. and Chaipanich A., 2010)

อีกตัวการร่วงปฏิกิริยาที่อุณหภูมิสูงจะทำให้น้ำในตัวอย่างจีโอโพลิเมอร์ระเหยอย่างรวดเร็ว ส่งผลให้กำลังอัดลดลงได้(Chindaprasirt P. et al., 2007) และการร่วงปฏิกิริยาที่อุณหภูมิสูงทำให้เกิดการแตกหักของผลเดียวกับโครงสร้างและคุณสมบัติภายในภาพของจีโอโพลิเมอร์ (Jaarsveld J.G.S.Van. et al., 2002)

4.7 ผลกระทบของเวลาการบ่มตัวอย่าง

การทดสอบที่แบร์นาร์ดเพนน์ระบุว่าตัวอย่างตั้งแสดงในรูปที่ 13 ผลกระทบของเวลาการบ่มตัวอย่างมีแนวโน้มสูงขึ้นอย่างรวดเร็วในช่วงแรกจนถึงระยะเวลาการบ่มที่อายุ 7 วัน หลังจากนั้นมีการเปลี่ยนแปลงที่น้อยมากหรือไม่มีเลย ซึ่งทดสอบด้วยภาระน้ำหนัก (Hardjito D. et al., 2004, Wongpa J. et al., 2010 และ จักรพันธุ์ และคณะ, 2010)

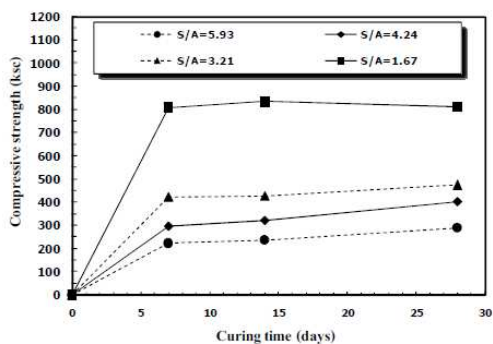


รูปที่ 13 ผลกระทบของระยะเวลาการบ่มต่อกำลังอัด

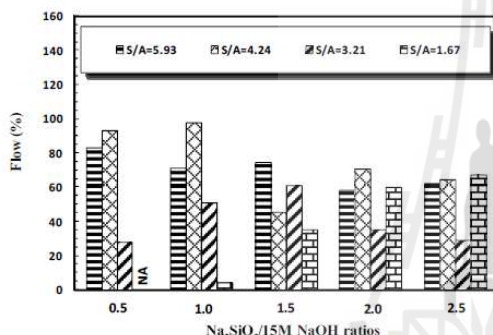
โดยสมมติฐานเบื้องต้นอาจเนื่องจากการใช้ความเข้มข้นของโซเดียมไฮดรอกไซด์ที่สูงทำให้มีการทำปฏิกิริยาที่รวดเร็ว แต่อาจมีสารละลายบางส่วนที่ทำปฏิกิริยามีนempt ทำให้ลักษณะโครงสร้างมีความพรุน อีกทั้งความหนาแน่นของโครงสร้างไม่ได้แตกต่างจากที่อายุการบ่ม 7 วัน ส่งผลให้ค่ากำลังอัดไม่มีการเปลี่ยนแปลงมากนักเนื่องจากกระบวนการร่วงปฏิกิริยาที่บุบซึ่งเปลี่ยนตัวร่างกายภาพของจีโอโพลิเมอร์ไม่สักเท่าไร แต่เมื่อเวลาผ่านไป 7 วัน โครงสร้างจะมีลักษณะของขนาดโพรงขนาดเล็กลง ส่งผลให้มีความหนาแน่นเพิ่มขึ้นทำให้มีค่ากำลังที่เพิ่มขึ้น (Chindaprasirt P. et al., 2005)

4.8 ผลกระทบของอัตราส่วน $\text{SiO}_2/\text{Al}_2\text{O}_3$

การพัฒนากำลังอัดของจีโอโพลิเมอร์ตัวร์ที่มีส่วนผสมของอัตราส่วน $\text{SiO}_2/\text{Al}_2\text{O}_3$ ที่แตกต่างกันตั้งแสดงในรูปที่ 14 พบว่ากำลังอัดของทุกส่วนผสมมีการพัฒนาอย่างรวดเร็วในช่วงแรกและมีการเปลี่ยนแปลงเพียงเล็กน้อยหรือไม่มีการเลยในช่วงอายุปลาย (จักรพันธุ์ และคณะ, 2010) และทุกส่วนผสมของอัตราส่วน $\text{SiO}_2/\text{Al}_2\text{O}_3$ ที่แตกต่างกันมีกำลังอัดที่แตกต่างกันอย่างชัดเจน แสดงถึงอัตราส่วน $\text{SiO}_2/\text{Al}_2\text{O}_3$ ที่แตกต่างกันส่งผลผลกระทบต่อกำลังอัดอย่างมาก



รูปที่ 14 ผลกราฟทดสอบของอัตราส่วน $\text{SiO}_2/\text{Al}_2\text{O}_3$ ต่อกำลังอัด



รูปที่ 15 ผลกราฟทดสอบของอัตราส่วน $\text{SiO}_2/\text{Al}_2\text{O}_3$ ต่อการไหลแพร

อย่างไรก็ตามสาเหตุที่ทำให้ผลออก�性แตกต่างกันเป็น เพราะว่าค่าอัตราส่วน $\text{SiO}_2/\text{Al}_2\text{O}_3$ ของงานวิจัยส่วนมากมีค่าไม่เกิน 5.0 ในขณะที่งานวิจัยนี้มีค่าสูงถึง 5.93 ซึ่งผลลัพธ์ที่แตกต่างกันอาจมาจากตัวที่มีความต้องการปริมาณสารละลายน้ำเพื่อให้เกิดค่าการไหลแพรที่สามารถทำงานได้ง่าย ซึ่งสารละลายน้ำกินที่ทำปฏิกิริยาไม่หมดเมื่อทิ้งไว้เป็นเวลานานขึ้นเมื่อกำหนดเวลาที่ทำปฏิกิริยา จึงส่งผลให้เกิดการร้าว และหลุดตัว ผลลัพธ์ที่ได้จากการทดสอบของห้องทดลองที่จีไอโพลิเมอร์มอร์ตาร์ที่จะสูงขึ้นเมื่อมีน้ำกับการแทนที่ในปูนซีเมนต์ (Zuhua Z. et al., 2009)

นอกจากนั้นมีงานวิจัยที่ศึกษาถึงผลกราฟทดสอบของอัตราส่วน $\text{SiO}_2/\text{Al}_2\text{O}_3$ ที่สูงเทียบเท่ากับงานวิจัยนี้ และได้ให้ข้อสรุปไว้ว่าอัตราส่วน $\text{SiO}_2/\text{Al}_2\text{O}_3$ มีผลต่อกำลังอัดของจีไอโพลิเมอร์เพสต์ และงานวิจัยของ Bakharev

T.(2006) และ Songpiriyakij S.(2010) ได้กล่าวไว้ว่า อุณหภูมิในการเร่งปฏิกิริยาเป็นอีกปัจจัยหนึ่งที่ทำให้อัตราส่วน $\text{SiO}_2/\text{Al}_2\text{O}_3$ ลดลงในอุณหภูมิในชิลิกेटเจล ส่วนการบ่มที่อุณหภูมิห้องทำให้อัตราส่วน $\text{SiO}_2/\text{Al}_2\text{O}_3$ ในอลูมิโนชิลิกेटเจลมีการกระจายตัวที่ดีแต่ขึ้นอยู่กับสัดส่วนที่ใช้เป็นวัสดุตั้งต้น ซึ่งสอดคล้องกับงานวิจัยนี้ที่พบว่า อัตราส่วน $\text{SiO}_2/\text{Al}_2\text{O}_3$ ยังคงต่อค่ากำลังอัด

อีกทั้งยังพบว่าอัตราส่วน $\text{SiO}_2/\text{Al}_2\text{O}_3$ ที่ต่ำกว่าจะมีค่ากำลังอัดสูงกว่า ซึ่งสอดคล้องกับงานวิจัย (Bakharev T., 2006 and Sathonsaowaphak A., 2009) ซึ่งได้มีการให้ข้อสรุปไว้ว่าการเพิ่มขึ้นของสารละลายน้ำส่วนผสมทำให้เกิดโพรงที่มีขนาดใหญ่ขึ้น และมีจำนวนโพรงที่มากขึ้น จึงส่งผลให้กำลังอัดน้อยลง ในทำนองเดียวกับอัตราส่วนน้ำต่อซีเมนต์ (W/C) ของคอนกรีตทั่วไป

นอกจากนี้จากการวิจัยของจักรพันธุ์ และคณะ (2010) ได้ให้ข้อสรุปไว้ว่าอัตราส่วน Liquid alkaline /binder ยังคงต่อการเปลี่ยนแปลงทางเคมีไม่มากนัก แต่จะมีการเปลี่ยนแปลงด้านกำลังอัด ขณะที่อัตราส่วน $\text{SiO}_2/\text{Al}_2\text{O}_3$ ไม่ได้ส่งผลให้เห็นอย่างชัดเจนด้านกำลังอัด แต่เมื่อส่วนผสมของอัตราส่วน $\text{SiO}_2/\text{Al}_2\text{O}_3$ ที่สูงขึ้นมีแนวโน้มที่ซ้ายเพิ่ม ความสามารถทำงานได้ดีขึ้น แต่กำลังอัดลดลง ดังนั้น การนำไปใช้งานต้องเลือกอัตราส่วนที่เหมาะสมที่สุด

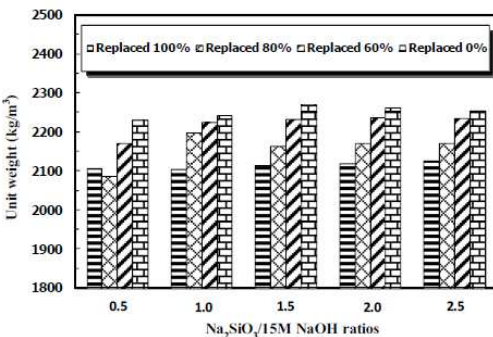
รูปที่ 15 แสดงถึงค่าการไหลแพรของจีไอโพลิเมอร์มอร์ตาร์ที่มีส่วนผสมของอัตราส่วน $\text{SiO}_2/\text{Al}_2\text{O}_3$ ที่แตกต่างกัน พบว่าอัตราส่วน $\text{SiO}_2/\text{Al}_2\text{O}_3$ ที่สูงขึ้นมีแนวโน้มที่ซ้ายเพิ่ม ความสามารถทำงานได้ดีขึ้น แต่กำลังอัดลดลง ดังนั้น การนำไปใช้งานต้องเลือกอัตราส่วนที่เหมาะสมที่สุด

4.9 หน่วยน้ำหนักของจีไอโพลิเมอร์มอร์ตาร์

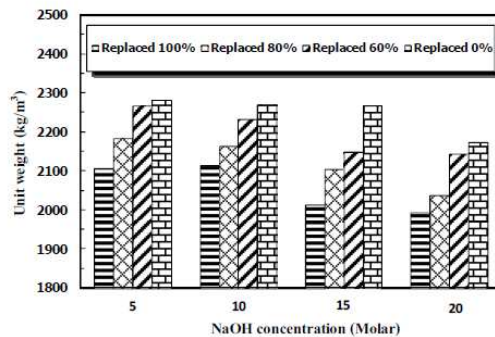
ค่าหน่วยน้ำหนักของจีไอโพลิเมอร์มอร์ตาร์ที่แบ่งเป็นตามผลกราฟทดสอบต่างๆ ดังแสดงในรูปที่ 16-20 พบร่วมกับค่าหน่วยน้ำหนักมีแนวโน้มลดลงเรื่อยๆ เมื่อแทนที่โดยคอมไนท์ในส่วนผสมของจีไอโพลิเมอร์มอร์ตาร์ เทียบกับการแทนที่ด้วยเต้าloyหั้งหมด นอกจากนั้นยังพบว่าอัตราส่วนของเหลวที่มากขึ้นในส่วนผสมทำให้ค่าหน่วยน้ำหนักลดลงได้ อีกทั้งเป็นอีกหนึ่งทางเลือกที่น่าสนใจสำหรับการพัฒนาจีไอโพลิเมอร์มวลเบา

ความสามารถทำงานได้และกำลังอัดของจีโอโพลิเมอร์ที่ร้าวจากถ่านอยผสม./โดยตอมไม่ร์

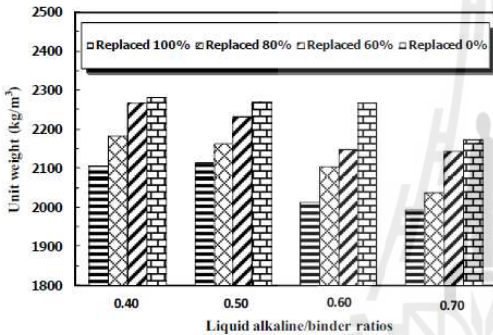
23



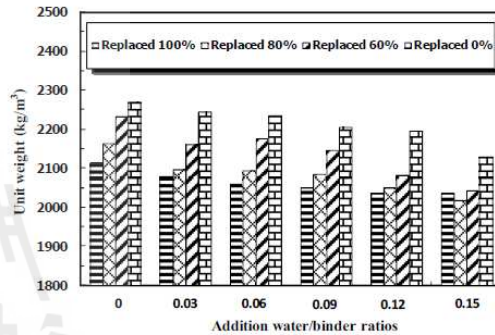
รูปที่ 16 หน่วยน้ำหนักของจีโอโพลิเมอร์ที่ร้าวจากผลกราฟบทของอัตราส่วน $\text{Na}_2\text{SiO}_3/\text{NaOH}$



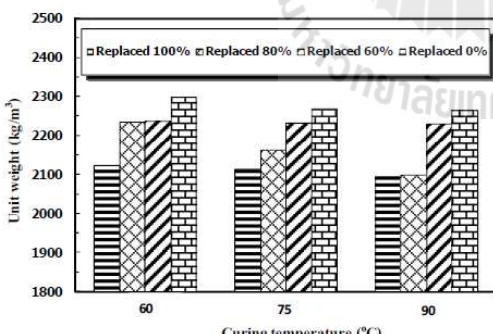
รูปที่ 19 หน่วยน้ำหนักของจีโอโพลิเมอร์ที่ร้าวจากผลกราฟบทของความเข้มข้น NaOH



รูปที่ 17 หน่วยน้ำหนักของจีโอโพลิเมอร์ที่ร้าวจากผลกราฟบทของอัตราส่วน Liquid alkaline/binder



รูปที่ 20 หน่วยน้ำหนักของจีโอโพลิเมอร์ที่ร้าวจากผลกราฟบทของอัตราส่วน Addition water/binder



รูปที่ 18 หน่วยน้ำหนักของจีโอโพลิเมอร์ที่ร้าวจากผลกราฟบทของอุณหภูมิการเร่งปฏิกิริยา

5 สรุปผลการทดสอบ

5.1 กำลังอัดของจีโอโพลิเมอร์ที่ร้าวที่มีการแทนที่ถ่านอยโดยด้วยไนโตรเจนทั้งหมดมีแนวโน้มต้องการปริมาณสารละลายน้ำเดียบยี่สิลิกอนมากกว่าสารละลายน้ำเดียบยี่สิลิกอนไฮดรอกไซด์

5.2 การแทนที่ไนโตรเจนที่โดยตอมไม่ร้าวถ่านอยร้อยละ 60 และ 80 อัตราส่วน $\text{Na}_2\text{SiO}_3/\text{NaOH}$ เพื่อกับ 1.5-2.5 Liquid alkaline/binder เพื่อกับ 0.50 ความเข้มข้นไฮเดรียมไฮดรอกไซด์ระหว่าง 10-15 มล/ลتر ให้ค่ากำลังอัดและการแหลกแพร่เพิ่มมากขึ้นไปใช้งาน ซึ่งมีค่ากำลังอัดและการแหลกแพร่เพิ่มกับ 243-474 กก/ซม² และ 29-105% ตามลำดับ

5.3 อุณหภูมิการเร่งปฏิกิริยาที่เหมาะสมที่สุดคือ 75 องศาเซลเซียส

5.4 อัตราส่วน Liquid alkaline/binder ที่มากขึ้นช่วยเพิ่มความสามารถทำงานได้แต่กำลังลดลง และอัตราส่วน Liquid alkaline/binder เท่ากับ 0.50-0.60 มีความเหมาะสมที่สุดทั้งค่ากำลังอัดและการไหลแผ่ของจีโอลิเมอร์มอร์ต้าร์ โดยมีค่ากำลังอัดและการไหลแผ่ระหว่าง 284-423 กก./ซม.² และ 61-108% ตามลำดับ สำหรับอัตราส่วนทรายต่อวัสดุประสานเท่ากับ 1.50

5.5 การแทนที่ด้วยไนโตรมีโน้มที่ต้องการระยะเวลาการบ่มมากขึ้น เพื่อให้มีการทำปฏิกิริยาที่สมบูรณ์ยิ่งขึ้นเนื่องจากมีอัตราการทำงานทำปฏิกิริยาที่ช้ากว่าถ้าโดย แลกเปลี่ยน และการไหลแผ่เพิ่มขึ้นเรื่อยๆ ตามระยะเวลาการบ่มมากขึ้น

5.6 อัตราส่วน $\text{SiO}_2/\text{Al}_2\text{O}_3$ ที่สูงขึ้นช่วยเพิ่มความสามารถการทำงานให้ดีขึ้น แต่ค่ากำลังอัดมีแนวโน้มเพิ่มขึ้นเรื่อยๆ ลดลง

6 กิตติกรรมประกาศ

ขอขอบคุณมหาวิทยาลัยเทคโนโลยีสุรนารีที่สนับสนุนทุนงานวิจัยครั้งนี้ และสาขาวิชาวิศวกรรมโยธา สำนักวิชาวิศวกรรมศาสตร์ มหาวิทยาลัยเทคโนโลยีสุรนารี ที่ให้ความสำคัญด้านอุปกรณ์ เครื่องมือและอุปกรณ์ใน การวิจัย และผู้เกี่ยวข้องในการวิจัยครั้งนี้ทุกท่าน

7 เอกสารอ้างอิง

กรมทรัพยากรธรรม (2005). ไนโตรม [ออนไลน์].

<http://www.dmr.go.th/Interest/Data/TI2dataD.htm>

จักรพันธุ์ วงศ์ษา ไกรฤทธิ์ เกียรติโภมล และชัย ชาตรพิทักษ์กุล (2010). ผลกระทบระหว่างสัดส่วน $\text{SiO}_2/\text{Al}_2\text{O}_3$ และ S/A ต่อรูปแบบ Spectum และ กำลังอัดของจีโอลิเมอร์. การประชุมวิชาการ คونกรีตประจำปี ครั้งที่ 6. อำเภอชะอำ จังหวัดเพชรบุรี. MAT 111-118

ธนากร ภูเงินคำ ชีรัวฒน์ สินศรี และศักดิ์สิทธิ์ พันธ์วี (2010). การศึกษากำลังของจีโอลิเมอร์มอร์ต้าร์จาก ชีโอลิท์ธรรมชาติ. การประชุมวิชาการคุณภาพ ประจำปี ครั้งที่ 6. อำเภอชะอำ จังหวัดเพชรบุรี.

MAT 119-124

เฉียรศักดิ์ กลับປะสิทธิ์ ชัย ชาตรพิทักษ์กุล ปริญญา จินดาประเสริฐ และสมิตร สงพิริยะกิจ (2008). ผลกระทบของสัดส่วนวิสิเกตต์ต่ออัลูมิնัต่อกำลังอัดของ จีโอลิเมอร์เพสต์ที่ทำจากถ้าแกลน-เปลือกไม้ผสม เถ้าถ่านหิน. การประชุมวิชาการคุณค่าต่อ ประจำปี ครั้งที่ 3. โรงเรียนลองบีชการเด็นไฮท์ แอนด์ สปาร์ อำเภอพัทฯ จังหวัดชลบุรี. MAT 24-29

บุญชัต ฉัตรรัช และวนรศักดิ์ มาภูล (2004). สมรรถนะ ของแร่ดินเบ้าในปูนดานบนกับความร้อนมวลเบา. การประชุมวิชาการคุณค่าต่อประจำปี ครั้งที่ 2. จังหวัดอุตรธานี. MAT 23-32.

ปริญญา จินดาประเสริฐ (2004). สารจีโอลิเมอร์ วัสดุ เชื่อมประสานที่ไม่ใช่ปูนซีเมนต์. การประชุมวิชาการ เทคโนโลยีและวัสดุกรรมสำหรับการพัฒนาอย่างยั่งยืน คณะวิศวกรรมศาสตร์ มหาวิทยาลัยขอนแก่น. ประเทศไทย

ประมวล ใจมະคร และปริญญา จินดาประเสริฐ. (2007). การศึกษาคุณสมบัติของจีโอลิเมอร์จากถ้า ลายผสมแร่ดินเบ้า. การประชุมวิชาการคุณค่าต่อ ประจำปี ครั้งที่ 3. จังหวัดอุบลราชธานี. MAT 37-40.

American Society for Testing and Materials, ASTM C 109/C 109M-02, Standard Test Method for Compressive Strength of Hydraulic Cement Mortar, Annual Book of ASTM Standard, Philadelphia, Vol. 04.02.

American Society for Testing and Materials, ASTM C 618-08a, Standard Test Method for Coal fly ash and raw or Calcined Natural Pozzolan for use in Concrete, Annual Book of ASTM Standard, Philadelphia, Vol. 04.08a.

American Society for Testing and Materials, ASTM C 1437-07, Standard Test Method for Flow of Hydraulic Cement Mortar, Annual Book of ASTM Standard, Philadelphia, Vol. 04.08a.

ความสามารถทำงานได้และกำลังอัดของจีวิโพลิเมอร์ตัวร้าจากเกลือยมสมไดอะตอมไม๊	25
Bakharev T., (2006). Thermal behavior of geopolymers prepared using class F fly ash and elevated temperature curing. <i>Cement and Concrete Research</i> ., 36(6) : 1134-1147	Hardjito D., Chua Chung Cheak., Carrie Ho Lee Ing., (2008). Strength and setting times of low calcium fly ash based geopolymer mortar. <i>Modern Applied Science.</i> , 2(4) : 3-11
Chaipanich A., Nochaiya T., (2010). Thermal analysis and microstructure of Portland cement-fly ash-silica fume pastes. <i>J Therm Anal Calorim.</i> , 99 : 487-493.	Jaarsveld J.G.S.van., Deventer J.S.J.van., Lukey G.C., (2002). The effect of composition and temperature on the properties of fly ash and kaolinite based geopolymer. <i>Chemical Engineering Journal.</i> , 89 : 63-73.
Chaisena A. et al., (2004). Effect of thermal and acid treatments on some physic-chemical properties of Lampang diatomite. <i>Journal Science Technology.</i> , 11 : 289-299.	Lertkhotisitpong T., Pimraksa K., Chindaprasirt P., (2009). Synthesis of lightweight geopolymer materials from diatomaceous earth. <i>Annual Concrete Conference 5</i> , Nakhonratchasima ., MAT 96-101 (In Thai)
Chindaprasirt P., Jaturapitakkul C., Sinsiri T., (2005). Effect of fly ash finness on compressive strength and pore size of blened cement paste. <i>Cement&Concrete Coposites.</i> , 27: 425-428	Nguyen Van Chanh et al., (2008). Geopolymer concrete. <i>The 3rd ACF International Conference ACF/VCA 2008</i> : 235-241
Chindaprasirt P., Chareerat T., Sirivivatnanon V., (2007). Workability and strength of coarse fly ash geopolymer. <i>Cement&Concrete Coposites.</i> , 29 : 224-229	Rattanasak U., Chindaprasirt P., (2009). Influence of NaOH solution on the synthesis of fly ash geopolymer. <i>Minerals Engineering.</i> , 22 : 1073-1078.
Davidovits, J., (1982). Mineral polymers and methods of making them. United states Patent no.4349386.	Sathonsaowaphak A., Chindaprasirt P., Primraksa K., (2009). Workability and strength of lignite bottom ash geopolymer mortar. <i>Journal of Hazardous Materials.</i> , 168(1) : 44-50
Davidovits, J., (1994). Properties of geopolymer cements. Proceedings of the first international conference on alkaline cements and concrete., Kiev state Technical University., 1 : 131-149	Songpiriyakij S., Kubprasit T., Jaturapitakkul C., Chindaprasirt P., (2010). Compressive strength and degree of reaction of bio-mass and fly ash based geopolymer. <i>Construction and Building Materials.</i> , 24 : 236-240
Davidovits J., (1999). Chemistry of geopolymetric systems, Terminology. Proceedingd : 2 nd International Conference on Geopolymer. France:Paris : 9-40.	Wongkeo W., Chaipanich A., (2010). Compressive strength, microstructure and analysis of autoclaved and air cured structural lightweight concrete made with coal bottom ash and silica fume. <i>Materials Science and Engineering A.</i> , 527 : 3676-3684.
Hardjito D., Wallah SE, Sumajouw DMJ, Rangan BV., (2004). On the development of fly ash based geopolymer concrete. <i>ACI Master J.</i> , 101(6) : 467-472	

26

ธนกร ภูเงินคำ และ มีรัตน์ สินศิริ

- Wongpa J., Kiattikomol K., Jaturapitakkul C., Chindaprasirt P. (2010). Compressive strength and , modulus of elastic and water permeability of inorganic polymer concrete. Materials and Design., 24 :236-240
- Zuhua Z., Xiao Y., Huajun Z., Yue C. (2009). Role of water in the synthesis of calcined kaolin-based geopolymer. Applied Clay Science., 43(2) : 218-223

การศึกษาคุณสมบัติของจีโอพอลิเมอร์มอร์ต้าร์จากถ้าloy ผสมซีโอลิตธรรมชาติ

ธนกร ภูเงินขำ^{1*} และ ธีรวัฒน์ สินศิริ²

มหาวิทยาลัยเทคโนโลยีสุรนารี ต.สุรนารี อ.เมือง จ.นครราชสีมา 30000

บทคัดย่อ

บทความนี้เป็นการศึกษาถึงคุณสมบัติของจีโอพอลิเมอร์มอร์ต้าร์จากถ้าloyผสมซีโอลิตธรรมชาติ โดยการแทนที่ซีโอลิตธรรมชาติในถ้าloyร้อยละ 0, 60, 80 และ 100 โดยน้ำหนัก การศึกษาใช้สารละลายโซเดียมชีลิเกตและสารละลายโซเดียมไอกಡอกใช้ดีเป็นตัวทำปฏิกิริยา อุณหภูมิในการเร่งปฏิกิริยาของตัวอย่างเท่ากับ 75 องศาเซลเซียส เวลาในการเร่งปฏิกิริยาของตัวอย่างเท่ากับ 24 ชั่วโมง ทำการแปรผันอัตราส่วนโดยน้ำหนักของสารละลายโซเดียมชีลิเกตต่อสารละลายโซเดียมไอกಡอกใช้ดีเท่ากับ 0.5, 1.0, 1.5, 2.0 และ 2.5 อัตราส่วนโดยน้ำหนักของสารละลายโซเดียมชีลิเกตเชื่อมประสานเท่ากับ 0.40, 0.50, 0.60 และ 0.70 ความเข้มข้นของโซเดียมไอกಡอกใช้ดีเท่ากับ 5, 10, 15 และ 20 มอลาร์ทดสอบการไหลแพ่ ระยะเวลาการก่อตัวและกำลังอัดของจีโอพอลิเมอร์มอร์ต้าร์ที่อายุ 7, 14, 28 และ 60 วัน

ผลการทดสอบพบว่าที่อัตราส่วนโดยน้ำหนักของสารละลายโซเดียมชีลิเกตต่อสารละลายโซเดียมไอกಡอกใช้ดีเท่ากับ 1.5-2.0 ความเข้มข้นสารละลายโซเดียมไอกಡอกใช้ดีเท่ากับ 15 มอลาร์ อุณหภูมิในการเร่งปฏิกิริยาของตัวอย่าง 75 องศาเซลเซียส เมื่อเวลา 24 ชั่วโมง ให้ค่ากำลังอัดที่สูง ซึ่งมีค่ากำลังอัดระหว่าง 240-940 กก./ซม.² และค่ากำลังอัดมีแนวโน้มที่จะพัฒนาเร็วในช่วงแรกของอายุการบ่ม แต่ช่วงปลายจะไม่มีการเปลี่ยนแปลงมากนักหรือไม่มีเลย อีกทั้งผลการทดสอบยังพบอีกว่าการแทนที่ซีโอลิตธรรมชาติในถ้าloyร้อยละ 60 มีความเหมาะสมทั้งการให้ค่ากำลังอัดและการไหลแพ่ เหมาะแก่การนำไปใช้งาน

คำสำคัญ : จีโอพอลิเมอร์ / การไหลแพ่ / ระยะเวลาการก่อตัว / กำลังอัด / ซีโอลิตธรรมชาติ

* Corresponding author. E-mail: tpcivil2526@gmail.com

1 นักศึกษาบริษัทญาโต สาขาวิชาศิวกรรมโยธา สำนักวิชาศิวกรรมศาสตร์

2 ผู้ช่วยศาสตราจารย์ สาขาวิชาศิวกรรมโยธา สำนักวิชาศิวกรรมศาสตร์

A Study on Properties of Geopolymer Mortar Made from Fly Ash Incorporated Natural Zeolite

Tanakorn Phoo-ngernkham^{1*} and Theerawat Sinsiri²

Suranaree University of Technology, Maung, Nakhonratchasima, Thailand 30000

Abstract

This article presented properties of geopolymer mortar using fly ash and natural zeolite as a binder. The fly ash was replaced by natural zeolite at the rate 0, 60, 80, and 100% by weight. Sodium silicate (Na_2SiO_3) and sodium hydroxide (NaOH) solutions were mixed together and then used as a liquid portion in the mixture in order to activate the geopolymers. The ratios between Na_2SiO_3 and NaOH were varied, namely, 0.5, 1.0, 1.5, 2.0, and 2.5 by weight whereas the liquid/binder ratios of 0.40, 0.50, 0.60, and 0.70 by weight were used. In addition, the NaOH concentrations of 5M, 10M, 15M, and 20M were also used as variables. Each mixture was separated and cured in the oven at the temperature of 75°C for 24 h. Flowability and setting times of all fresh geopolymer mortars were investigated. Additional, the compressive strength was tested at the ages of 7, 14, 28, and 60 days.

The results revealed that the mixture having $\text{Na}_2\text{SiO}_3/\text{NaOH}$ of 1.5-2.0, 15M of NaOH concentration and 75°C of curing temperature, showed a compressive strength ranged between 240-940 ksc which high enough for using as normal and high strength concretes. Additionally, the compressive strength of geopolymer mortar obviously increased at early age. However, at the later age, it slightly increased or did not increase at all for some mixtures. Furthermore, the replacement of natural zeolite at the rate of 60% by weight were well-suited for both compressive strength and workability.

Keywords : Geopolymer / Flow test / Setting times / Compressive strength / Natural zeolite

* Corresponding author. E-mail: tpcivil2526@gmail.com

¹ Graduate Student, School of Civil Engineering, Institute of Engineering.

² Assistant Professor, School of Civil Engineering, Institute of Engineering.

1. บทนำ

จีโอโพลิเมอร์ [1] เป็นวัสดุเชื่อมประสานที่ได้รับความสนใจในการพัฒนาขึ้นมาเพื่อเป็นทางเลือกใหม่สำหรับหดแทนการใช้ปูนซีเมนต์ [2] อาจเนื่องจากในสภาวะปัจจุบันวัสดุเดิมที่ใช้อยู่มีข้อจำกัดทางด้านคุณภาพดูบิที่ใช้ผลิตอีกทั้งส่งผลกระทบต่อสิ่งแวดล้อมในระหว่างกระบวนการผลิต ตลอดจนโครงสร้างที่ต้องการให้มีลักษณะพิเศษ อาจมีความจำเป็นที่ต้องใช้วัสดุที่มีคุณสมบัติพิเศษมากขึ้น โดยการใช้วัสดุที่เหลือใช้หรือวัสดุตามธรรมชาติตามมาใช้ทดแทนปูนซีเมนต์ปอร์ตแลนด์

จีโอโพลิเมอร์ (geopolymer) เป็นการพัฒนาสารซีเมนต์ชนิดใหม่ที่ไม่ใช้ปูนซีเมนต์เป็นตัวประสาน ซึ่งสามารถล้างเคราะห์ได้จากวัสดุดูบิทที่มีส่วนประกอบชิลิกา (silica, SiO_2) และอะลูมิโน (alumina, Al_2O_3) เป็นองค์ประกอบ [3] จีโอโพลิเมอร์ใช้หลักการของการทำปฏิกิริยาของชิลิกาและอะลูมิโนให้เป็นโมเลกุลลูกโซ่ในลักษณะของโพลิเมอร์ กระดุนด้วยสารละลายที่มีความเป็นด่างลุյงแล้วใช้ความร้อนเป็นตัวเร่งปฏิกิริยา ได้สารซีเมนต์ที่มีคุณสมบัติในการรับแรงได้ ดังนั้นจีโอโพลิเมอร์จึงสามารถใช้เป็นวัสดุเชื่อมประสานเดียวกับซีเมนต์เพลต์ สำหรับวัสดุปูชิชลานที่นิยมใช้เป็นวัสดุตั้งต้นได้แก่ เถ้าโลย [4-5] แต่ขณะเดียวกันนอกเหนือจากถ้าโลยยังมีวัสดุปูชิชลานอีกหลายชนิด ได้แก่ ซีโอลิเต้ ไดอะตومไมต์ เพอร์ไอล์ฟ เป็นต้น ซึ่งจัดอยู่ในกลุ่มวัสดุปูชิชลานธรรมชาติที่ประกอบด้วยชิลิกาและอะลูมิโนเป็นหลัก เช่นเดียวกัน

ซีโอลิเต้ซึ่งจัดเป็นสารประกอบอะลูมิโนชิลิกาและสารอะลูมิโนฟอสฟे�ตต์อ กันเป็นโครงข่าย 3 มิติ แบบรูปทรง 4 หน้า ซีโอลิเต้อาจะจะเกิดขึ้นเองตามธรรมชาติหรือเกิดจากการล้างเคราะห์ทางเคมีนอกจากนั้นยังมีความพรุนสูง (micro porous molecules) มีโครงภายในโครงสร้างที่มีรูปแบบแน่นอน ขนาดประมาณ 3-30 อั้งสตรอม ($1 \text{ อั้งสตรอม} \approx 1 \times 10^{-10} \text{ ม.}$) ภายในโครงจะเต็มไปด้วยไอออนบวกและโมเลกุลของน้ำ ซึ่งโมเลกุลทั้งสองชนิดสามารถเคลื่อนย้ายได้ทำให้เกิดการแลกเปลี่ยนไอออน

baughได้ดี [6-7]

ซึ่งจากการวิจัยที่ผ่านมาพบว่าการใช้ถ้าโลยเป็นวัสดุตั้งต้นในงานจีโอโพลิเมอร์มีระยะเวลา ก่อตัวที่รวดเร็ว ล่งผลให้ความสามารถทำงานได้น้อย ดังนั้นงานวิจัยนี้จึงมุ่งประเด็นศึกษาถึงคุณสมบัติความสามารถทำงานได้ของจีโอโพลิเมอร์ อีกทั้งกำลังอัดพอเทมาะแก่การนำไปใช้งานได้ โดยจากลักษณะของซีโอลิเต้ธรรมชาติที่มีน้ำหนักเบา ความพรุนสูง มีอัตราการทำปฏิกิริยาที่ช้าจึงน่าที่จะปรับปรุงคุณสมบัติตรงประเด็นนี้ได้ อีกทั้งสามารถช่วยลดหน่วยน้ำหนักลงได้

2. วัตถุประสงค์

เพื่อศึกษาถึงความสามารถทำงานได้ ระยะเวลาการก่อตัวและการรับกำลังอัดของจีโอโพลิเมอร์ตัวร์ เมื่อใช้ซีโอลิเต้ธรรมชาติเป็นวัสดุตั้งต้น โดยวิเคราะห์ในเชิงกายภาพของจีโอโพลิเมอร์ตัวร์

3. การเตรียมวัสดุและการทดสอบ

3.1 วัสดุที่ใช้ในการทดสอบ

วัสดุประสานที่ใช้ในงานวิจัยครั้นนี้ประกอบด้วยถ้าโลย Class F (FA) จากโรงไฟฟ้าแม่มาะ จังหวัดลำปาง และซีโอลิเต้ธรรมชาติ (NZ) ประเภท Clipnoptilolite ($(\text{Na},\text{K},\text{Ca})_6(\text{Si},\text{Al})_{36}\text{O}_{72}2(\text{OH}_2\text{O})$) จากบริษัทเอกชนในจังหวัดกรุงเทพมหานคร

มวลรวมจะเอิดใช้รายเม่น้ำที่มีค่าความถ่วงจำเพาะเท่ากับ 2.69

สารละลายที่ใช้ในการผสมจีโอโพลิเมอร์ตัวร์ ประกอบด้วยสารละลายโซเดียมชิลิกา (Na_2SiO_3) ซึ่งประกอบด้วย Na_2O ร้อยละ 15.32 SiO_2 ร้อยละ 32.87 และ น้ำร้อยละ 51.81 โดยน้ำหนัก และมี pH 9.05 ตรวจสอบโดยเครื่องพีเอชมิเตอร์ สารละลายโซเดียมไฮดรอกไซด์ (NaOH) ใช้น้ำกัลลันเป็นตัวทำละลายให้ได้ความเข้มข้นที่ต้องการ

ตารางที่ 1 องค์ประกอบหลักทางเคมีของวัสดุประสาน

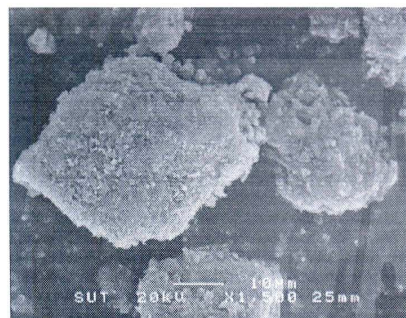
Materials	SiO_2	Al_2O_3	Fe_2O_3	CaO	SO_3	LOI
FA	43.87	26.33	10.81	12.69	2.74	1.23
NZ	75.32	10.28	2.66	3.95	1.20	1.41

34

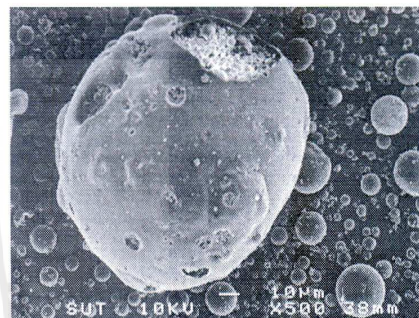
วารสารวิจัยและพัฒนา มจธ. ปีที่ 34 ฉบับที่ 1 มกราคม - มีนาคม 2554

ตารางที่ 2 คุณสมบัติทางกายภาพของวัสดุประสาน

Physical properties	NZ	FA	Sand
Specific gravity	2.28	2.41	2.69
Bulk density (kg/m^3)	440	973	1,625
Median particle size (μm)	16.17	17.60	-



(ก) ชีโอลิเตอร์รมชาติ

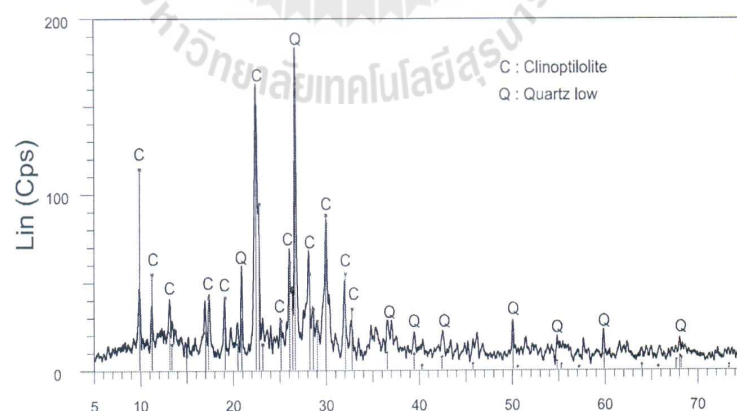


(ข) เถ้าลอย

รูปที่ 1 SEM ของชีโอลิเตอร์รมชาติและเถ้าลอย

จากตารางที่ 2 ค่าความถ่วงจำเพาะและค่าความหนาแน่นของชีโอลิเตอร์รมชาติ มีค่าเท่ากับ 2.28 และ 440 กก./ม.^3 ตามลำดับ ซึ่งเมื่อเปรียบเทียบกับเถ้าลอยและ

ทรายแล้วมีค่าความถ่วงจำเพาะลดลงประมาณร้อยละ 5 และร้อยละ 20 ตามลำดับ และมีค่าความหนาแน่นลดลงประมาณร้อยละ 27 และร้อยละ 73 ตามลำดับ



รูปที่ 2 XRD ของชีโอลิเตอร์รมชาติ ประเภท Clinoplitolite

3.2 สัดส่วนผสมของจีโอลิเมอร์ตัวร์

สัดส่วนผสมของจีโอลิเมอร์ตัวร์ใช้ชีโอลิเตอร์รมชาติแทนที่ในเถ้าลอยร้อยละ 0, 60, 80 และ 100 โดยน้ำหนัก ใช้อัตราส่วนทรายต่อวัสดุประสานเท่ากับ 1.50 ระยะเวลาทั้งให้ตัวอย่างก่อตัวก่อนการเร่งปฏิกิริยาตัวอย่างเท่ากับ 1 ชั่วโมง และเวลาการเร่งปฏิกิริยาของตัวอย่างเท่ากับ 24 ชั่วโมง ทุกอัตราส่วน โดยทำการแปรผันตามอิทธิพลต่างๆ ที่มีผลต่อความสามารถทำงานได้และกำลังอัดของจีโอลิเมอร์ตัวร์ดังนี้

1) Series A : แปรผันตามอัตราส่วนโดยน้ำหนักของ $\text{Na}_2\text{SiO}_3/\text{NaOH}$ เท่ากับ 0.5, 1.0, 1.5, 2.0 และ 2.5 โดยใช้ความเข้มข้นของโซเดียมไฮดรอกไซด์เท่ากับ 15 โมลาร์ อุณหภูมิการเร่งปฏิกิริยาของตัวอย่างเท่ากับ 75 องศาเซลเซียส และทดสอบกำลังอัดที่ระยะเวลาการบ่มเท่ากับ 7 วัน

2) Series B : แปรผันตามอัตราส่วนโดยน้ำหนักของ Liquid alkaline/binder เท่ากับ 0.40, 0.50, 0.60 และ 0.70 โดยใช้ความเข้มข้นของโซเดียมไฮดรอกไซด์เท่ากับ 15 โมลาร์ อัตราส่วนโดยน้ำหนักของ $\text{Na}_2\text{SiO}_3/\text{NaOH}$ เท่ากับ 1.5 อุณหภูมิการเร่งปฏิกิริยาของตัวอย่างเท่ากับ 75 องศาเซลเซียส และทดสอบกำลังอัดที่ระยะเวลาการบ่มเท่ากับ 7 วัน

3) Series C : แปรผันตามความเข้มข้นของสารละลายโซเดียมไฮดรอกไซด์ (NaOH) เท่ากับ 5, 10, 15 และ 20 โมลาร์ โดยใช้อัตราส่วนโดยน้ำหนักของ $\text{Na}_2\text{SiO}_3/\text{NaOH}$ เท่ากับ 1.5 อุณหภูมิการเร่งปฏิกิริยาของตัวอย่างเท่ากับ 75 องศาเซลเซียส และทดสอบกำลังอัดที่ระยะเวลาการบ่มเท่ากับ 7 วัน

4) Series D : แปรผันตามระยะเวลาการบ่มตัวอย่างจีโอโพลิเมอร์มอร์ต้าร์เท่ากับ 7, 14, 28 และ 60 วัน

5) Series F : แปรผันตามอัตราส่วนของ Si/AI (S/A) เท่ากับ 1.67, 3.75, 5.12 และ 7.33 ตามลำดับ โดยใช้ความเข้มข้นของโซเดียมไฮดรอกไซด์เท่ากับ 15 โมลาร์ อัตราส่วนโดยน้ำหนักของ $\text{Na}_2\text{SiO}_3/\text{NaOH}$ เท่ากับ 1.5 และทดสอบกำลังอัดที่ระยะเวลาการบ่มเท่ากับ 7 วัน

ตารางที่ 3 อัตราส่วนผสมของจีโอโพลิเมอร์มอร์ต้าร์ที่แปรผันตามการแทนที่ในถ้วยอลูมิเนียม

Mix ID.	Mix Proportion (g)				
	FA	NZ	Sand	Na_2SiO_3	NaOH
15M-FA100-1.5	400	-	600	120	80
15M-FANZ60-1.5	160	240	600	120	80
15M-FANZ80-1.5	80	320	600	120	80
15M-FANZ100-1.5	-	400	600	120	80

หมายเหตุ * คืออัตราส่วน Si/AI ของวัสดุประสาน

ลัญลักษณ์ที่ใช้ในงานวิจัยมีความหมายดังนี้ 15M คือความเข้มข้นของโซเดียมไฮดรอกไซด์ FA100 คือ ส่วนผสมควบคุมที่ใช้ถ้วยอลูมิเนียม FANZ60, FANZ80,

FANZ100 คือการแทนที่ของซีโอไลต์ธรรมชาติในถ้วยอลูมิเนียม 60, 80, 100 ตามลำดับ และ S/A คืออัตราส่วนของ Si/AI ของวัสดุประสาน

ตารางที่ 4 อัตราส่วนผสมของจีโอโพลิเมอร์มอร์ต้าร์ที่แปรผันตามอัตราส่วน $\text{Na}_2\text{SiO}_3/\text{NaOH}$

$\text{Na}_2\text{SiO}_3/\text{NaOH}$ ratios	Mix Proportion (g)			
	Binder	Sand	Na_2SiO_3	NaOH
0.5	400	600	66.7	133.3
1.0	400	600	100.0	100.0
1.5	400	600	120.0	80.0
2.0	400	600	133.3	66.7
2.5	400	600	142.9	57.1

3.3 วิธีผสมและการทดสอบตัวอย่าง

การผสมทำในอุณหภูมิห้องมีค่าระหว่าง 25-45 องศาเซลเซียส เพื่อให้สอดคล้องกับสภาพอากาศประเทศไทย และการผสมเริ่มต้นด้วยคลุกเคล้าระหว่างวัสดุประสาน

กับทรายให้เข้ากันดี ประมาณ 1 นาที หลังจากนั้นเติมสารละลายโซเดียมซิลิเกตและโซเดียมไฮดรอกไซด์ เสร็จแล้วผสมอีกประมาณ 10 นาที

การทดสอบค่าการไหลดแห่งของจีโอเพอลิเมอร์มอร์ต้าร์ตามมาตรฐาน ASTM C1437 [8]

การทดสอบหาค่าร้อยละการก่อตัวของจีโอเพอลิเมอร์มอร์ต้าร์ โดยทำการตัดแปลงวิธีการทดสอบตามมาตรฐาน ASTM C191 [9]

การทดสอบกำลังอัดของจีโอเพอลิเมอร์มอร์ต้าร์ ตาม มาตรฐาน ASTM C109 [10] ที่อายุการบ่ม เท่ากับ 7, 14, 28 และ 60 วัน โดยใช้แบบภาครวบลักษณะ $50 \times 50 \times 50$ มม. หล่อตัวอย่างจีโอเพอลิเมอร์มอร์ต้าร์

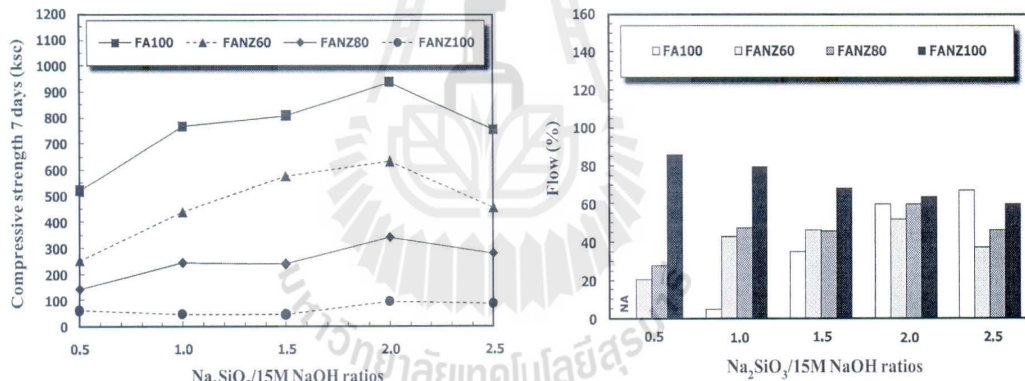
4. ผลการทดสอบและวิเคราะห์ผล

4.1 อิทธิพลของอัตราส่วน $\text{Na}_2\text{SiO}_3/\text{NaOH}$

การทดสอบแบบผันตามอัตราส่วน $\text{Na}_2\text{SiO}_3/\text{NaOH}$

และใช้ความความเข้มข้นของโซเดียมไฮดรอกไซด์ 15 มोลาร์ ผลการทดสอบดังแสดงในรูปที่ 3 พบว่าค่ากำลังอัดและ ความสามารถทำงานได้ดีขึ้นอยู่กับปริมาณของโซเดียมชิลิกาต และปริมาณการแทนที่ซีโอลิเต็ดหรือมชาติ กล่าวคือแนวโน้ม ของปริมาณโซเดียมไฮดรอกไซด์ที่มากขึ้นช่วยเพิ่มความสามารถทำงานได้ลดลง สอดคล้องกับงานวิจัย [4,11-18]

เมื่อพิจารณาถึงค่ากำลังอัดและการไหลดแห่งที่เหมาะสม พบว่าที่อัตราส่วน $\text{Na}_2\text{SiO}_3/\text{NaOH}$ เท่ากับ 1.0-2.0 ปริมาณการแทนที่ร้อยละ 60, 80 มีค่ากำลังอัดเท่ากับ 240-630 กก./ซม.² และค่าการไหลดแห่ง เท่ากับร้อยละ 43-60 แต่ภาวะที่ดีที่สุดคืออัตราส่วน $\text{Na}_2\text{SiO}_3/\text{NaOH}$ เท่ากับ 2.0 ปริมาณการแทนที่ร้อยละ 60 มีค่ากำลังอัด เท่ากับ 630 กก./ซม.² และค่าการไหลดแห่งเท่ากับร้อยละ 52



รูปที่ 3 อิทธิพลของอัตราส่วน $\text{Na}_2\text{SiO}_3/\text{NaOH}$ ต่อกำลังอัดและการไหลดแห่ง

ที่อัตราส่วน $\text{Na}_2\text{SiO}_3/\text{NaOH}$ เท่ากับ 0.5 การแทนที่ด้วยซีโอลิเต็ดหรือมชาติทั้งหมดมีค่าการไหลดแห่งที่ดี แต่ค่ากำลังอัดน้อย ส่วนการแทนที่ด้วยเกลอลอยทั้งหมดพบว่า การผสมค่อนข้างยากกลงผลให้มีค่าการไหลดแห่งที่น้อย อีกทั้งการหล่อมอร์ต้าร์ลงแบบยกกลงผลให้ได้กำลังน้อย เมื่อเทียบกับอัตราส่วนอื่นๆ

ที่อัตราส่วน $\text{Na}_2\text{SiO}_3/\text{NaOH}$ เท่ากับ 2.5 การแทนที่ด้วยซีโอลิเต็ดหรือมชาติทั้งหมดมีค่าการไหลดแห่งทำงานได้เนื่องจากปริมาณของ Na_2SiO_3 ที่มากขึ้นทำให้ส่วนผสม มีความหนืดมากขึ้น อีกทั้งค่ากำลังอัดลดลงเมื่อเทียบ อัตราส่วนเท่ากับ 2.0 แต่การแทนที่ด้วยซีโอลิเต็ดหรือมชาติ ทั้งหมดมีแนวโน้มที่จะสูงขึ้นตามปริมาณของ Na_2SiO_3

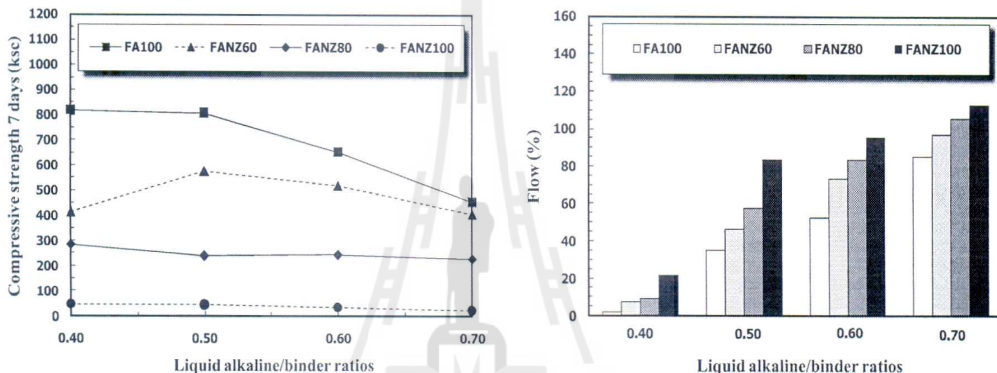
ที่มากขึ้น [19] ส่วนการแทนที่ด้วยเกลอลอยทั้งหมดมีค่าการไหลดแห่งที่ดี แต่กำลังอัดลดลงเมื่อเทียบกับอัตราส่วน $\text{Na}_2\text{SiO}_3/\text{NaOH}$ เท่ากับ 2.0 อย่างไรก็ตาม การแทนที่ด้วยเกลอลอยทั้งหมดมีการแข็งตัวที่เร็ว เมื่อพิจารณาจากกระบวนการผสม

จากเหตุผลข้างต้นพอสรุปได้ว่าอิทธิพลของปริมาณสารละลายน้ำโซเดียมชิลิกาตต่อโซเดียมไฮดรอกไซด์เป็นอีกปัจจัยหนึ่งที่มีผลต่อค่ากำลังอัด เนื่องจากสารละลายน้ำโซเดียมชิลิกาตเป็นตัวเพิ่มปริมาณชิลิกอนไดออกไซด์ (SiO_2) แก่ส่วนผสม ส่วนสารละลายน้ำโซเดียมไฮดรอกไซด์ทำหน้าที่ช่วยเชิงลึกและอะลูมินาจากสารตั้งต้น เพื่อทำให้ก่อตัวเป็นสารประกอบจีโอเพอลิเมอร์ ดังนั้น โดยแนวโน้ม

บริมาณของสารละลายน้ำซึ่งเดิมชิลิกเกตที่น้อยทำให้ค่ากำลังอัดของจีโอโพลิเมอร์ลดลง ในทำงานเดียวกัน การเพิ่มปริมาณโซเดียมชิลิกเกตในส่วนผสมมากขึ้นส่งผลให้ค่ากำลังอัดสูงขึ้น

4.2 อิทธิพลของอัตราส่วน Liquid alkaline/binder การทดสอบที่แบร์ผันตามอัตราส่วน Liquid

alkaline/binder ผลการทดสอบดังแสดงในรูปที่ 4 พบว่า อัตราส่วนของเหลวต่อวัสดุประสานและปริมาณการแทนที่ของโซโนไลต์ธรรมชาติส่งผลต่อค่ากำลังอัดและความสามารถทำงานได้ กล่าวคือความสามารถทำงานได้เพิ่มขึ้นเมื่ออัตราส่วนของเหลวต่อวัสดุประสานเพิ่มขึ้นแต่ค่ากำลังอัดลดลง สอดคล้องกับงานวิจัย [4,11-13,15,17]



รูปที่ 4 อิทธิพลของอัตราส่วน Liquid alkaline/binder ต่อกำลังอัดและการไหลแพ่

เมื่อพิจารณาถึงค่ากำลังอัดและการไหลแพ่ที่เท่ากัน 0.50-0.60 บริมาณการแทนที่ร้อยละ 60, 80 มีค่ากำลังอัดเท่ากับ 240-580 กก./ซม.² และค่าการไหลแพ่ร้อยละ 46-84 แต่ภาวะที่ดีที่สุดคืออัตราส่วนของเหลวต่อวัสดุประสานเท่ากับ 0.50 บริมาณการแทนที่ร้อยละ 60 มีค่ากำลังอัดเท่ากับ 580 กก./ซม.² และค่าการไหลแพ่เท่ากับร้อยละ 46

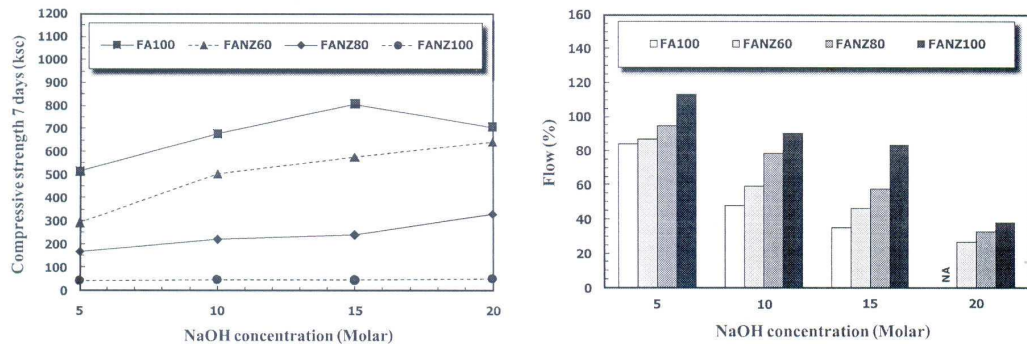
ที่อัตราส่วนของเหลวต่อวัสดุประสานเท่ากับ 0.40 การแทนที่ด้วยโซโนไลต์ธรรมชาติทั้งหมดปริมาณของเหลวไม่เพียงพอต่อความต้องการของส่วนผสมส่งผลให้ส่วนผสมไม่เป็นเนื้อเดียวกันและยากต่อการหล่อตัวอย่างส่วนการแทนที่ด้วยเต้าโลยหั้งหมดส่วนผสมค่อนข้างแห้งมากส่งผลให้ค่าการไหลแพ่มีค่าน้อยมาก อีกทั้งส่วนผสมไม่เป็นเนื้อเดียวกันและยากต่อการหล่อตัวอย่างส่วนที่อัตราส่วนของเหลวต่อวัสดุประสานเท่ากับ 0.70 ส่วนผสมมีความเหลวมากส่งผลให้ค่าการไหลแพ่ที่สูง

แต่เมื่อพิจารณาถึงค่ากำลังอัดและงบประมาณ อัตราส่วนนี้ไม่เหมาะสมสำหรับการนำไปใช้งาน

นอกจากนี้ จากการวิจัย [5,17] ได้มีการให้ข้อสรุปไว้ว่าการเพิ่มขึ้นของสารละลายน้ำในส่วนผสมทำให้เกิดโครงสร้างขนาดใหญ่ขึ้น และมีจำนวนโพรงที่มากขึ้น จึงส่งผลให้กำลังอัดน้อยลง ในทำงานเดียวกัน W/C ของคอนกรีตทั่วไป

4.3 อิทธิพลของความเข้มข้น NaOH

การทดสอบที่แบร์ผันตามความเข้มข้นของสารละลายน้ำซึ่งเดิมโซเดียมไฮดรอกไซด์ ผลการทดสอบดังแสดงในรูปที่ 5 พบว่าความเข้มข้นของโซเดียมไฮดรอกไซด์และปริมาณการแทนที่ของโซโนไลต์ธรรมชาติส่งผลต่อค่ากำลังอัดและความสามารถทำงานได้ สอดคล้องกับงานวิจัย [4,11-15,17-18] กล่าวคือกำลังอัดมีแนวโน้มสูงขึ้นตามความเข้มข้นของโซเดียมไฮดรอกไซด์ที่สูงขึ้น แต่ความสามารถทำงานได้ลดลง



รูปที่ 5 อิทธิพลของความเข้มข้น NaOH ต่อกำลังอัดและการไหลแพร

เมื่อพิจารณาถึงค่ากำลังอัดและการไหลแพรที่เหมาะสมพบว่าที่ความที่เข้มข้นของโซเดียมไฮดรอกไซด์เท่ากับ 10-15 มอลาร์ บริมานการแทนที่ร้อยละ 60, 80 มีค่ากำลังอัดเท่ากับ 220-580 กก./ซม.² และค่าการไหลแพรร้อยละ 46-79 แต่ภาวะที่ดีที่สุดคือความเข้มข้นของโซเดียมไฮดรอกไซด์เท่ากับ 15 มอลาร์ บริมานการแทนที่ร้อยละ 60 มีค่ากำลังอัดเท่ากับ 580 กก./ซม.² และค่าการไหลแพรเท่ากับร้อยละ 46

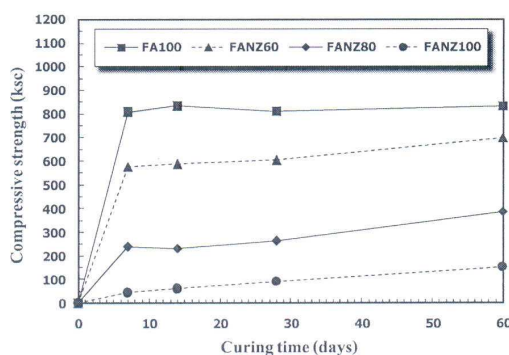
4.4 อิทธิพลของระยะเวลาการบ่มตัวอย่าง

การทดสอบที่แบ่งผนน้ำที่ต้องการจะได้รับความชื้นอย่างตั้งแต่ในรูปที่ 6 ผลการทดสอบพบว่า กำลังอัดมีแนวโน้มสูงขึ้นอย่างรวดเร็วในช่วงแรกจนถึงระยะเวลาการบ่มที่อายุ 7 วัน หลังจากนั้นการเปลี่ยนแปลงที่น้อยมากหรือไม่มีเลยซึ่งแสดงถึงความสามารถในการรับน้ำที่ดี [4-5,13-14,17-20]

โดยสมมติฐานเบื้องต้นอาจเนื่องจากการใช้ความเข้มข้น

ของโซเดียมไฮดรอกไซด์ที่สูงทำให้การทำปฏิกิริยาที่รวดเร็วแต่อาจมีสารละลายบางส่วนที่ทำปฏิกิริยาไม่หมด และด้วยลักษณะของสารละลายที่มีความหนืดทำให้ลักษณะโครงสร้างมีความพรุน ถูกหักความหนาแน่นของโครงสร้างไม่ได้แตกต่างจากที่อายุการบ่ม 7 วัน ส่งผลให้กำลังอัดไม่มีการเปลี่ยนแปลงมากนักเมื่อเทียบกับการแทนที่ปูนซีเมนต์ด้วยวัสดุปูชิลอนที่ทำให้ขนาดโพรงเล็กลง ส่งผลให้มีความหนาแน่นเพิ่มขึ้นทำให้มีค่ากำลังอัดเพิ่มขึ้น [22]

สำหรับการแทนที่ด้วยซีซีโอลิตธรรมชาติ พบว่าซีซีโอลิตธรรมชาติมีอัตราการทำปฏิกิริยาที่ช้า [7] ช่วงแรกของระยะเวลาการบ่มอาจไม่มีการเปลี่ยนแปลงของกำลังอัดที่มากนัก โดยสมมติฐานที่ซีซีโอลิตธรรมชาติมีอัตราการทำปฏิกิริยาที่ช้าจำเป็นต้องการระยะเวลาการบ่มที่มากขึ้น เพื่อให้มีการการทำปฏิกิริยาที่สมบูรณ์ขึ้น [19] ซึ่งงานวิจัยนี้ทำกำไรทดสอบถึงระยะเวลาการบ่มที่ 60 วัน ดังนั้นจะเป็นต้องศึกษาเพิ่มเติมเพื่อยืนยันผลการทดสอบต่อไป

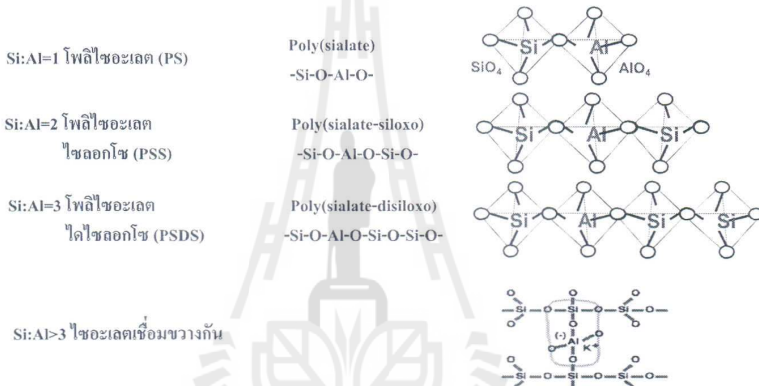


รูปที่ 6 อิทธิพลของระยะเวลาการบ่มต่อกำลังอัด

4.5 อิทธิพลของอัตราส่วน $\text{SiO}_2/\text{Al}_2\text{O}_3$

การพัฒนากำลังอัดของจีโอโพลิเมอร์มอร์ต้าร์ที่มีส่วนผสมของอัตราส่วน $\text{SiO}_2/\text{Al}_2\text{O}_3$ ที่แตกต่างกัน พนวณว่า กำลังอัดของทุกส่วนผสมมีการพัฒนาอย่างรวดเร็วในช่วงแรกและมีการเปลี่ยนแปลงเพียงเล็กน้อยหรือไม่มีการเปลี่ยนแปลงอย่างรวดเร็ว [23] นอกจากนั้นยังพบว่าทุกส่วนผสมของอัตราส่วน $\text{SiO}_2/\text{Al}_2\text{O}_3$ ที่แตกต่างกันมีกำลังอัดที่แตกต่างกันอย่างชัดเจน ซึ่งแสดงว่าอัตราส่วน $\text{SiO}_2/\text{Al}_2\text{O}_3$ ที่แตกต่างกันส่งผลกระทบต่อกำลังอัดอย่างมาก สอดคล้องกับงานวิจัย [18, 23]

อีกทั้งจากการวิจัย [18] ยังได้กล่าวเพิ่มเติมว่าโครงสร้างแบบโพลิไซอะเลตไซโลกโซ (Polyalate-Siloxo; PSS) มีอัตราการเกิดปฏิกิริยาที่เร็วกว่าโครงสร้างแบบโพลิไซอะเลตที่เป็นแบบ 2 มิติ และไซอะเลตเชื่อมขวางกันดังแสดงในรูปที่ 7 ซึ่งโครงสร้างแบบโพลิไซอะเลตที่เป็นแบบ 2 มิติ และไซอะเลตเชื่อมขวางกันจะเกิดปฏิกิริยาที่ช้ากว่า ซึ่งสอดคล้องกับงานวิจัยนี้ที่มีการแทนที่จีโอໄอล์ด์รرمชาติในถ้วยเดียวยร้อยละ 0, 60, 80 และ 100 มีอัตราส่วน $\text{SiO}_2/\text{Al}_2\text{O}_3$ เท่ากับ 1.67, 3.75, 5.12 และ 7.33 ตามลำดับ



รูปที่ 7 โครงสร้างการเชื่อมพันธะของโพลิไซอะเลต [3]

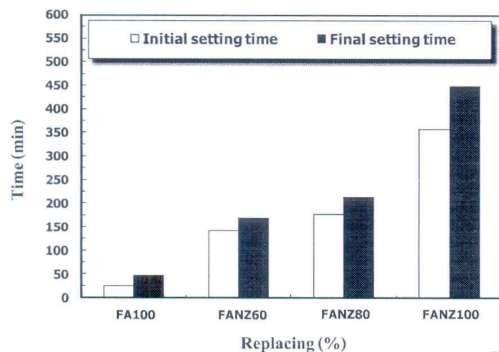
เมื่อพิจารณาจากกระบวนการผลิตและทดสอบการใช้โพลิเมอร์มอร์ต้าร์ในเบื้องต้นพบว่าอัตราส่วน $\text{SiO}_2/\text{Al}_2\text{O}_3$ ที่สูงมีอัตราการเกิดปฏิกิริยาที่ช้ากว่าอัตราส่วน $\text{SiO}_2/\text{Al}_2\text{O}_3$ ที่ต่ำกว่า ซึ่งแสดงถึงการแทนที่ด้วยจีโอໄอล์ด์รرمชาติในส่วนผสมช่วยเพิ่มความสามารถทำงานได้ดีขึ้น เนื่องจากมีอัตราการเกิดปฏิกิริยาที่ช้ากว่าการแทนที่ด้วยถ้วยเดียวยร้อยหundt แต่มีกำลังอัดน้อยกว่า ดังนั้นการนำไปใช้งานจำเป็นต้องเลือกอัตราส่วนที่เหมาะสมที่สุด

4.6 ระยะเวลา ก่อตัวของจีโอโพลิเมอร์มอร์ต้าร์

การทดสอบหาค่าระยะเวลา ก่อตัวเริ่มต้นและระยะเวลา ก่อตัวสุดท้ายมีความสำคัญอย่างมาก เพื่อบนบกอกถึงความสามารถทำงานได้ของจีโอโพลิเมอร์ นอกจากการทดสอบการใช้โพลิเมอร์มอร์ต้าร์ โดยการทดสอบครั้งนี้ได้ทำการตัดแปลงจากมาตรฐาน ASTM C191 [9]

ตารางที่ 5 ระยะเวลา ก่อตัวของจีโอโพลิเมอร์มอร์ต้าร์

สัญลักษณ์	ระยะเวลา ก่อตัว (นาที)	
	เริ่มต้น	สุดท้าย
FA100	25	47
FANZ60	142	169
FANZ80	178	213
FANZ100	357	449



รูปที่ 8 ระยะเวลา ก่อตัวเริ่มต้นและระยะเวลา ก่อตัวสุดท้าย

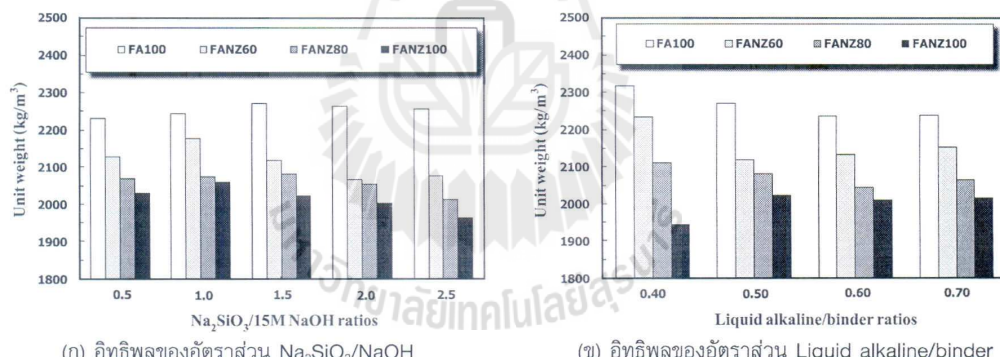
ผลการทดสอบพบว่า การแทนที่ด้วย เถ้าอลอยทั้งหมด มี การระยะเวลา ก่อตัวที่รวดเร็ว ดังแสดงในตารางที่ 5 และรูปที่ 8 ซึ่งมีระยะเวลา ก่อตัวเริ่มต้นและระยะเวลา ก่อตัวสุดท้ายเท่ากัน 25 และ 47 นาที เมื่อแทนที่ด้วย ชีโอลิเตอร์รرمชาติ ในส่วนผสมพบว่า สามารถลดระยะเวลา ก่อตัวเริ่มต้นและระยะเวลา ก่อตัวสุดท้ายมากขึ้น ซึ่งมีค่า ระยะเวลา ก่อตัวเริ่มต้นของการแทนที่ชีโอลิเตอร์รرمชาติ

ในถ้าอลอยร้อยละ 60, 80 และ 100 เท่ากับ 142, 178 และ 357 นาที ส่วนระยะเวลา ก่อตัวสุดท้ายของการแทนที่ ชีโอลิเตอร์รرمชาติ ในถ้าอลอยร้อยละ 60, 80 และ 100 เท่ากับ 169, 213 และ 449 นาที

จากการวิจัยของ [19] ได้ทำการศึกษา Strength and setting time of low calcium fly ash based geopolymer mortar มีระยะเวลา ก่อตัวเริ่มต้นและระยะเวลา ก่อตัว สุดท้ายเท่ากับ 129 และ 270 นาที ซึ่งงานวิจัยนี้มีระยะเวลา ก่อตัวเริ่มต้นและระยะเวลา ก่อตัวสุดท้ายเร็วกว่ามาก ซึ่งอาจเป็นผลเนื่องจากการใช้แหล่งที่มาของวัสดุที่แตกต่างกัน [24]

4.7 หน่วยน้ำหนักของจีโอลิเมอร์ตัวร์

ค่าหน่วยน้ำหนักของจีโอลิเมอร์ตัวร์ตัวร์ที่ เปรียบเทียบกับ จีโอลิเมอร์ตัวร์ที่ แกะผ่านตามผลกระทบต่างๆ พบว่าค่าหน่วยน้ำหนักมี แนวโน้มลดลงเรื่อยๆ เมื่อแทนที่ชีโอลิเตอร์รرمชาติ ใน ส่วนผสมของจีโอลิเมอร์ตัวร์ตัวร์ เพื่อบรรบกับการแทนที่ ด้วย เถ้าอลอยทั้งหมด ดังแสดงในรูปที่ 9



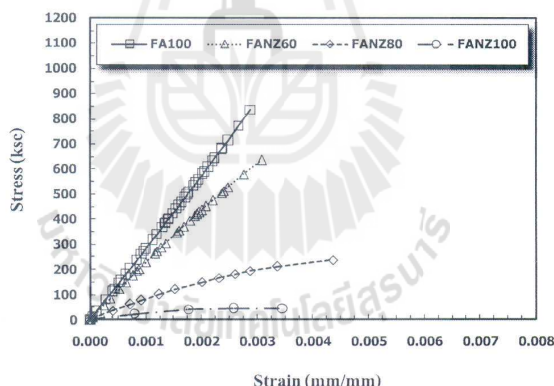
รูปที่ 9 หน่วยน้ำหนักของจีโอลิเมอร์ตัวร์จากผลกระทบต่างๆ

เมื่อพิจารณาจากผลการทดสอบสูบได้รู้ว่าการแทนที่ชีโอล็อกต์ธรรมชาติในส่วนผสมค่าห่วงน้ำหนักมีแนวโน้มลดลง และที่การแทนที่ชีโอล็อกต์ธรรมชาติในเก้าโลยร้อยละ 60 และ 80 มีกำลังอัดเท่ามาระสมแก่การนำไปใช้งาน อีกทั้งเป็นอีกหนึ่งทางเลือกที่น่าสนใจสำหรับการพัฒนาชีโอล็อกต์เมอร์วามเวลา

4.8 ความสัมพันธ์ระหว่างความเด่นและความเครียดของชีโอล็อกต์เมอร์ตัวร้าย

เมื่อพิจารณาความสัมพันธ์ระหว่างความเด่นและความเครียดของชีโอล็อกต์เมอร์ตัวร้าย ดังแสดงในรูปที่ 10 พบว่าแนวโน้มของกราฟมีความชันลดลงและความเด่นมีค่าลดลงแต่ความเครียดมีค่ามากขึ้นเมื่อปริมาณการแทนที่ชีโอล็อกต์ธรรมชาติในเก้าโลยเพิ่มมากขึ้น โดยลักษณะเส้นกราฟลักษณะราบในภาคว้าคัลลีย์กับคุณค่าตัวที่ท้าวไป และพฤติกรรมการรับกำลังอัดของชีโอล็อกต์เมอร์ตัวร้ายในช่วงเริ่มต้นมีลักษณะเป็นแบบเชิงเส้น (linear) จนถึงจุดที่

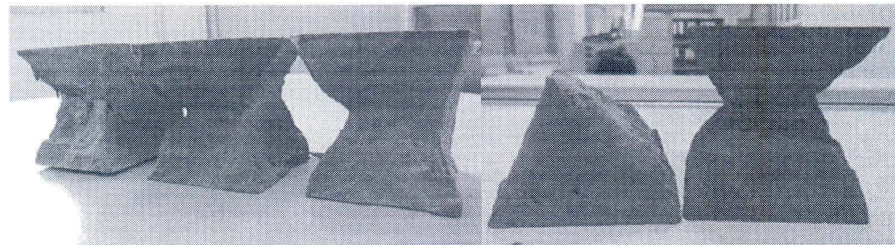
ชีโอล็อกต์เมอร์ตัวร้ายรับแรงกดอัดได้ประมาณร้อยละ 40-70 ของกำลังอัดประดับ จากนั้นกราฟความสัมพันธ์ระหว่างความเด่นและความเครียดมีลักษณะที่โค้งมากขึ้น และเกิดรอยแตกร้าวเล็กๆ (microcrack) อย่างต่อเนื่อง แต่เมื่อแรงกระทำสูงขึ้นอย่างเดกร้าวจะเกิดและขยายใหญ่มากขึ้นและพบว่าความสัมพันธ์ระหว่างความเด่นและความเครียดมีความโถงมากขึ้น จนกระทั่งตัวอย่างทดสอบเกิดการวินาศัย นอกจากนั้นยังพบว่า ชีโอล็อกต์เมอร์ตัวร้ายจากเก้าโลยทั้งหมดในส่วนผสมซึ่งมีกำลังอัดสูง พบว่า เมื่อถึงจุดกำลังอัดประดับอย่างเดียวกับชีโอล็อกต์เมอร์ตัวร้ายของกราฟแล้ว ความเด่นจะลดลงอย่างรวดเร็วและเกิดการวินาศัยอย่างรุนแรงและทันทีทันใด ในทางตรงกันข้ามกับชีโอล็อกต์เมอร์ตัวร้ายของการแทนที่ด้วยชีโอล็อกต์ธรรมชาติในเก้าโลยซึ่งมีกำลังอัดต่ำกว่าการใช้เก้าโลยทั้งหมดในส่วนผสมพบว่ากำลังอัดมีแนวโน้มลดลงอย่างช้าๆ และมีค่าความเครียดสูง ซึ่งแสดงว่ามีความเหนียวนในแนวแกน (axial ductility) ที่สูงขึ้น



รูปที่ 10 ความสัมพันธ์ระหว่างความเด่นและความเครียดของชีโอล็อกต์เมอร์ตัวร้าย

จากรูปที่ 11 พบว่าลักษณะการวินาศัยชีโอล็อกต์เมอร์ตัวร้ายมีการวินาศัยเกิดขึ้นได้ทั้งสามลักษณะคือแบบเฉือนหรือรูปกรวย แบบผ่าซีกหรือแนวตรงของชีโอล็อกต์เมอร์ตัวร้ายนั้น คือเป็นส่วนน้อยของการทดสอบตัวอย่างทั้งหมด นอกจากนั้นยังพบว่าลักษณะการวินาศัยของชีโอล็อกต์ธรรมชาติในเก้าโลยมีแนวโน้มที่มีการวินาศัยแบบเฉือนหรือรูปกรวย เนื่องจากมีกำลังอัดที่ต่ำและมีความเหนียวนในแนวแกนมากกว่าการใช้เก้าโลยทั้งหมดในส่วนผสม ดังแสดงในความสัมพันธ์ระหว่างความเด่นและความเครียด

กก./ซม.² มีลักษณะการวินาศัยแบบระเบิด ส่วนลักษณะการวินาศัยแบบผ่าซีกหรือแนวตรงของชีโอล็อกต์เมอร์ตัวร้ายนั้น คือเป็นส่วนน้อยของการทดสอบตัวอย่างทั้งหมด นอกจากนั้นยังพบว่าลักษณะการวินาศัยของชีโอล็อกต์ธรรมชาติในเก้าโลยมีแนวโน้มที่มีการวินาศัยแบบเฉือนหรือรูปกรวย เนื่องจากมีกำลังอัดที่ต่ำและมีความเหนียวนในแนวแกนมากกว่าการใช้เก้าโลยทั้งหมดในส่วนผสม ดังแสดงในความสัมพันธ์ระหว่างความเด่นและความเครียด



รูปที่ 11 ลักษณะการวินิจฉัยของจีโอโพลิเมอร์ตัวร์

ในกรณีที่วัสดุประทุมต้านทานต่อการเปลี่ยนแปลงรูปร่างและการวินิจฉัยใช้แรงเสียดทานภายในและแรงยึดเหนี่ยว (cohesion) ระหว่างอนุภาคในวัสดุนั้น มุมที่เกิดการวินิจฉัยไม่เท่ากัน 45 องศา กับแนวราบตามที่สามารถพิสูจน์ได้โดยใช้ Mohr's circle เพื่อมุมดังกล่าวจะเป็น function กับมุมของความเสียดทานภายในระหว่างอนุภาคในวัสดุด้วย โดยทั่วไปแล้วค่าของมุมที่เกิดการวินิจฉัยของคอนกรีตหรือมอร์ต้าร์ที่ใช้ปูนซีเมนต์เป็นวัสดุประสานจะอยู่ในช่วง 50 ถึง 60 องศา แต่สำหรับงานวิจัยครั้งนี้เป็นจีโอโพลิเมอร์ตัวร์มีค่าของมุมที่เกิดการวินิจฉัยอยู่ในช่วง 30 ถึง 45 องศา อาจเนื่องจากงานวิจัยนี้เป็นมอร์ต้าร์และมีกำลังอัดที่สูงกว่าคอนกรีต อีกทั้งงานวิจัยครั้งนี้ใช้อัตราส่วนทรายต่อวัสดุประสานเท่ากัน 1.50 ซึ่งตามมาตรฐาน ASTM C 109 [10] ที่ให้ใช้อัตราส่วนทรายต่อวัสดุประสานเท่ากัน 2.75 ส่งผลให้มีความเป็นเนื้อเดียวกันมากกว่ามอร์ต้าร์ที่ใช้ปูนซีเมนต์เป็นวัสดุประสาน (ASTM C 109) ทำให้รูปแบบของการวินิจฉัยและความเด่นที่เกิดขึ้นมีค่าต่างจากการวินิจฉัยทั่วไปอีกสาเหตุหนึ่งเนื่องจากงานวิจัยครั้งนี้ใช้ตัวอย่างทดสอบเป็นทรงลูกบาศก์ซึ่งมีแรงเสียดทานที่เกิดขึ้นที่ผิวลักษณะระหว่างหัวกดกับด้าวย่างทดสอบน้อยกว่าตัวอย่างทดสอบทรงกระบอกทำให้การขยายตัวทางด้านข้างน้อยกว่า จึงทำให้ลักษณะของหน่วยแรงที่เกิดขึ้นในเนื้อวัสดุเปลี่ยนไป

5. สรุปผลการทดสอบ

1) การแทนที่โดยตอไม่มีในถ้วยอย่างละ 60 และ 80 อัตราส่วน $\text{Na}_2\text{SiO}_3/\text{NaOH}$ เท่ากัน 1.5-2.0 อัตราส่วน Liquid alkaline/binder เท่ากัน 0.50 ความเข้มข้นโซเดียมไอกซ์โซเดียมออกไซด์เท่ากัน 10-15 โมลาร์ ให้ค่ากำลังอัดและการไฟล์แพท์ที่เหมาะสมแก่การนำไปใช้งาน ซึ่งมีค่า

กำลังอัดและการไฟล์แพท์เท่ากัน 220-630 กก./ซม.² และร้อยละ 46-79 ตามลำดับ

2) อัตราส่วน Liquid alkaline/binder ที่มากขึ้นช่วยเพิ่มความสามารถทำงานได้แต่กำลังลดลง และอัตราส่วน Liquid alkaline/binder เท่ากัน 0.50-0.60 มีความเหมาะสมที่สุดทั้งค่ากำลังอัดและการไฟล์แพท์ของจีโอโพลิเมอร์ตัวร์โดยมีค่ากำลังอัดและการไฟล์แพท์เท่ากัน 240-580 กก./ซม.² และร้อยละ 46-84 ตามลำดับ สำหรับอัตราส่วนทรายต่อวัสดุประสานเท่ากัน 1.50

3) การแทนที่ถ้วยโดยตัวร์มีค่ากำลังอัดและการไฟล์แพท์เท่ากัน 1.50 ซึ่งมีค่าต่ำกว่าอัตราส่วนทรายต่อวัสดุประสานเท่ากัน 1.50

6. กิตติกรรมประกาศ

ขอขอบคุณมหาวิทยาลัยเทคโนโลยีสุรนารีที่สนับสนุนทุนงานวิจัย และสาขาวิชาศึกษากรรมโภชนา สำนักวิชาศึกษากรรมศาสตร์ มหาวิทยาลัยเทคโนโลยีสุรนารี ที่ให้ความสำคัญด้านอุปกรณ์ เครื่องมือและอุปกรณ์ในการวิจัยตลอดจนผู้เกี่ยวข้องในการวิจัยครั้งนี้ทุกท่าน

7. เอกสารอ้างอิง

- Davidovits, J., 1982, "Mineral Polymers and Methods of Making Them", *United States Patent no. 4349386*.
- Davidovits, J., 1994, "Properties of Geopolymer Cements", *Proceedings of the First International Conference on Alkaline Cements and Concrete*, Kiev State Technical University, Vol. 1, pp. 131-149.
- Davidovits, J., 1999, "Chemistry of Geopolymetric Systems", *Terminology Proceeding*:

- 2nd International Conference on Geopolymer*, Paris, France, pp. 9-40.
4. Hardjito, D., Wallah, S.E, Sumajouw, D.M.J., and Rangan, B.V., 2004, "On the Development of Fly Ash Based Geopolymer Concrete", *ACI Mater Journal*, Vol. 101, No. 6, pp. 467-472.
5. Bakharev, T., 2006, "Thermal Behavior of Geopolymers Prepared using Class F Fly Ash and Elevated Temperature Curing", *Cement and Concrete Research*, Vol. 36, No. 6, pp. 1134-1147.
6. Sprynskyy, M., Buszewski, B., Terzyk, A.P., and Namiesnik, J., 2007, "Study of the Selection Mechanism of Heavy Metal Adsorption on Clipnotiolite", *Journal of Colloid and Interface Science*, Vol. 304, pp. 21-28.
7. Castaldi, P., Santona, L., Enzo, S., and Melis, P., 2008, "Sorption Processes and XRD Analysis of a Natural Zeolite Exchanged with Pb²⁺, Cd²⁺ and Zn²⁺ Cations", *Journal of Hazardous Materials*, Vol. 156, pp. 428-434.
8. American Society for Testing and Materials., 2007, "Standard Test Method for Flow of Hydraulic Cement Mortar", *Annual Book of ASTM Standard, Philadelphia*, Vol. 04.08a, ASTM C 1437-07.
9. American Society for Testing and Materials., 2008, "Standard Test Method for Time of Setting of Hydraulic Cement by Vicate Needle", *Annual Book of ASTM Standard, Philadelphia*, Vol. 04.08, ASTM C 191-08.
10. American Society for Testing and Materials., 2002, "Standard Test Method for Compressive Strength of Hydraulic Cement Mortar", *Annual Book of ASTM Standard, Philadelphia*, Vol. 04.02, ASTM C 109/C 109M-02.
11. ชนากร ภูเงินข้า, ปริญญา ลินคิริ และศักดิ์ลิทธิ์ พันที, 2553, "การศึกษาทำลังอัดของจีโอพอลิเมอร์ มอร์ตาร์ต้าร์จากซีโอลิตธรรมชาติ", การประชุมวิชาการ คونกรีตประจำปี ครั้งที่ 6, สำนักงานวิจัย จังหวัดเพชรบุรี, MAT. 119-124.
12. Hardjito, D., Wallah, S.E, Sumajouw, D.M.J., and Rangan, B.V., 2004, "Factors Influencing the Compressive Strength of Fly Ash Based Geopolymer Concrete", *Civil Engineering Dimension*, Vol. 6, No. 2, pp. 88-93.
13. Chindaprasirt, P., Chareerat, T., and Sirivivatnanon, V., 2007, "Workability and Strength of Coarse Fly Ash Geopolymer", *Cement & Concrete Composites*, Vol. 29, pp. 224-229.
14. Nguyen Van Chanh, Bui Dang Trung, and Dang Van Tuan, 2008, "Geopolymer Concrete", *The 3rd ACF International Conference ACF/VCA 2008*, pp. 235-241.
15. Daniel, L.Y.Kong, and Jay, G. Sanjayan, 2008, "Damage Behavior of Geopolymer Composites Exposed to Elevated Temperatures", *Cement & Concrete Composites*, Vol. 30, pp. 986-991.
16. Detphan, S. and Chindaprasirt, P., 2009, "Preparation of Fly Ash and Rice Husk Ash Geopolymer", *International Journal of Minerals, Metallurgy and Materials*, Vol. 16, No. 6, pp. 720-726.
17. Sathonsaowaphak, A., Chindaprasirt, P., and Primraksa, K., 2009, "Workability and Strength of Lignite Bottom Ash Geopolymer Mortar", *Journal of Hazardous Materials*, Vol. 168, No. 1, pp. 44-50.
18. Songpiriyakij, S., Kubprasit, T., Jaturapitakkul, C., and Chindaprasirt, P., 2010, "Compressive Strength and Degree of Reaction of Bio-mass and Fly Ash Based Geopolymer", *Construction and Building Materials*, Vol. 24, pp. 236-240.
19. Villa, C., Pecina, E.T., Torres, R., and Gomez, L., 2010, "Geopolymer Synthesis Using Alkaline Activation of Natural Zeolite", *Construction and Building Materials*, Vol. 24, pp. 2084-2090.
20. Hardjito, D., Chua Chung Cheak., and Carrie Ho Lee Ing., 2008, "Strength and Setting Times of Low Calcium Fly Ash Based Geopolymer Mortar", *Modern Applied Science*, Vol. 2, No. 4, pp. 3-11.

21. Ravindra, N. and Somnath, G., 2009, "Effect of Mix Composition on Compressive Strength and Microstructure of Fly Ash Based Geopolymer Composites", *ARPN Journal of Engineering and Applied Sciences*, Vol. 4, No. 4, pp. 68-74.
22. Chindaprasirt, P., Jaturapitakkul, C., and Sinsiri, T., 2005, "Effect of Fly Ash Fineness on Compressive Strength and Pore Size of Blended Cement Paste", *Cement & Concrete Composites*, Vol. 27, pp. 425-428.
23. Wongpa, J., Kiattikomol, K., Jaturapitakkul, C., and Chindaprasirt, P., 2010, "Compressive Strength and Modulus of Elastic and Water Permeability of Inorganic Polymer Concrete", *Materials and Design*, Vol. 24, pp. 236-240.
24. Jaarsveld, J.G.S.van., Deventer, J.S.J.van., and Lukey, G.C., 2002, "The Effect of Composition and Temperature on the Properties of Fly ash and Kaolinite Based Geopolymer", *Chemical Engineering Journal*, Vol. 89, pp. 63-73.

ประวัติผู้วิจัย

Name-Surname (in Thai) : ธีระวัฒน์ สินศรี **(in English)** : Theerawat Sinsiri
Gender : Male **Marital status** : Married
Dated of Birth : 18 November 1969
Current Position : Assistant Professor
Office address : School of Civil Engineering, Suranaree University of Technology
Nakhon Ratchasima 30000, Thailand
Tel : (044) 224-420-1 **Fax :** (044) 224-607 **E-mail address :** sinsiri@sut.ac.th

Education background

Bachelor's degree : Civil Engineering
Institute : Khon Kaen University
Year of graduation : 1992
Master's degree : Civil Engineering (Structure)
Institute : Khon Kaen University
Year of graduation : 1995
Doctor's degree : Ph.D. (Civil Engineering)
Institute : King Mongkut's University of Technology Thonburi
Year of graduation : 2005

Publications in International Journals

1. Chindaprasirt, P., Jaturapitakkul, C., **Sinsiri, T.**, 2005, Effect of fly ash fineness on compressive strength and pore size of blended cement paste, Cement and Concrete Composites, 27(4), 425-428.
2. **Sinsiri, T.**, Teeramit, P., Jaturapitakkul, C., Kiattikomon, K., 2006, Effect of fineness of fly ash on express of fly ash on expansion of mortars in magnesium sulfate, ScienceAsia Journal, 32(1), 63-69.

3. Chindaprasirt, P., Jaturapitakkul, C., **Sinsiri, T.**, 2007, Effect of fly ash fineness on microstructure of blended cement paste, Construction and Building Materials 21(7), 1534-1541.
4. **Sinsiri, T.**, Chindaprasirt, P., Jaturapitakkul, C., 2010, Influence of Fly ash Fineness and Shape on the Porosity and Permeability of Blended Cement Pastes, International Journal of Minerals, Metallurgy and Materials, 17(6), 683-690.
5. Kroehong, W., **Sinsiri, T.**, Jaturapitakkul, C., Chindaprasirt, P., 2011, Effect of palm oil fuel ash fineness on the microstructure of blended cement paste, Construction and Building Materials, 25(11), 4095-4104.
6. Phoo-ngernkham, T., **Sinsiri, T.**, Sata V., Chindaprasirt, P., The effect of replacement fly ash with diatomite in geopolymer mortar, Computer and Concretes, Accepted for publication

Publications in International conference proceedings

1. **Sinsiri, T.**, Jaturapitakkul, C., Chindaprasirt, P., 2004, Effect of fly ash on pore size and microstructure of hardened blended cement paste, The First Asian Concrete Federation (ACF) Conference, Chiang Mai, Thailand, October 18-19, 626-632.
2. **Sinsiri, T.**, Jaturapitakkul, C., Chindaprasirt, P., 2006, Packing effect and pozzolanic reaction of fly ash and ground river sand on porosity and permeability of blended cement paste, Proceeding of International Conference on Pozzolan, Concrete and Geopolymer, Khon Kaen, Thailand, May 24-25, 305-315.
3. **Sinsiri, T.**, Jaturapitakkul, C., Chindaprasirt, P., 2006, Influence of fly ash fineness on calcium hydroxide in blended cement paste, Technology and Innovation for Sustainable Development Conference (TISD2006), Khon Kaen, Thailand, January 25-27, (In CD Rom).
4. Napia, C., **Sinsiri, T.**, Chindaprasert, P., 2008, The Effect of zeolite on microstructure of blended cement paste, Proceedings of Eleventh East Asia-Pacific Conference on Structural Engineering and Construction (EASEC-11), Thipei, TAIWAN, November 19-21, 1-7.
5. Pantawee, S., **Sinsiri, T.**, 2008, The Use of natural pozzolans in lightweight concrete, Proceedings of the 3rd ACF International Conference ACF/VCA-2008 on Sustainable Concrete Technology and Structure in Local Climate and Environment Conditions, Ho Chi Minh City, Vietnam, November 11-13, 224-230.

6. Kroehong, W., **Sinsiri, T.**, Jaturapitakkul, C., 2011, Effect of Palm Oil Fuel Ash Fineness and Pozzolanic Reaction on Microstructure of Blended Cement Paste, The Twelfth East Asia-Pacific Conference on Structural Engineering and Construction (EASEC-12), Hong Kong Special Administrative Region, China, 24-26 January 2011 (In CD Rom).
7. Jitchaiyaphum, K., **Sinsiri, T.**, Chindaprasirt, P., 2011, Cellular Lightweight Concrete Contain with Pozzolan Materials, The Twelfth East Asia-Pacific Conference on Structural Engineering and Construction (EASEC-12), Hong Kong Special Administrative Region, China, 24-26 January 2011 (In CD Rom).

ผลงานตีพิมพ์ในวารสารระดับชาติ

1. Sinsiri, T., Jaturapitakkul, C. and Chindaprasert, P., 2006, “Packing Effect and Pozzolanic Reaction of Fly Ash and Ground River Sand on Porosity and Permeability of Blended Cement Paste” Journal of Research in Engineering and Technology, Vol. 3, No. 2, April-June , Kasetsart University, pp. 107-119.
2. Sinsiri, T., Jaturapitakkul, C. and Chindaprasert, P., 2004, “Effect of Fly Ash on Pore Size and Microstructure of Hardened Blended Cement Paste” The First Asian Concrete Federation (ACF) Conference, October 18-19, Chiang-Mai, pp. 626-632.
3. ชีรัตน์ สินศิริ, ษบ ชาตรพิทักษ์กุล และ ปริญญา จินดาประเสริฐ, 2547, “ผลกระทบของความละเอียดถ้าถ่านหินต่อปฏิกิริยาปูซ่าโซลานในเพสต์”, วิศวกรรมสารสนับสนุนวิจัยและพัฒนา, ปีที่ 15, ฉบับที่ 4, หน้า 1-8.
4. ชีรัตน์ สินศิริ, ษบ ชาตรพิทักษ์กุล และ ปริญญา จินดาประเสริฐ, 2548, “ผลกระทบของความละเอียดถ้าถ่านหินต่อกำลังอัด ปริมาตรโพรงห้องหมุดและขนาดโพรงในซีเมนต์เพสต์”, วารสารวิจัยและพัฒนา มจธ., ปีที่ 28, ฉบับที่ 1, มกราคม-มีนาคม, หน้า 17-28.
5. ธนากร ภูเงินคำ และชีรัตน์ สินศิริ. (2554). ความสามารถทำงานได้และกำลังอัดของจีโอโพลิเมอร์มอร์ต้าร์จากถ้าถ่านอยผสมไคลอฟลูมไมท์. วิศวกรรมสาร มจธ. (มหาวิทยาลัยขอนแก่น), ฉบับที่ 38(1), หน้า 11-26.
6. ธนากร ภูเงินคำ และชีรัตน์ สินศิริ. (2554). การศึกษาคุณสมบัติของจีโอโพลิเมอร์มอร์ต้าร์จากถ้าถ่านอยผสมซีโอໄไลท์ชาร์มชาติ. วารสารวิจัยและพัฒนา มจธ. (มหาวิทยาลัยเทคโนโลยีพระจอมเกล้าธนบุรี), ฉบับที่ 34(1), มกราคม-มีนาคม 2554, หน้า 31-44.

ผลงานตีพิมพ์ในการประชุมวิชาการระดับชาติ

1. ชีรัวตน์ สินศิริ, วิเชียร ชาลี, ชัย จัตุรพิทักษ์กุล และปริญญา jinca ประเสริฐ, 2546, “ผลกระทบของความละเอียดถ้าลอยต่อกำลังอัดและโครงสร้างโพรงในเพชร”, การประชุมวิชาการคونกริตแห่งชาติ ครั้งที่ 1, 14-16 พฤษภาคม, กาญจนบุรี, หน้า 225-232.
 2. ชีรัวตน์ สินศิริ, ชัย จัตุรพิทักษ์กุล และปริญญา jinca ประเสริฐ, 2547, “ผลกระทบของถ้าถ่านหินต่อปริมาตรโพรงและปฏิกิริยาปอชโซลานในเพชร”, การประชุมวิชาการวิศวกรรมโยธาแห่งชาติ ครั้งที่ 9, 19-21 พฤษภาคม, เพชรบุรี, หน้า MAT149-MAT 154.
 3. ชีรัวตน์ สินศิริ, ชัย จัตุรพิทักษ์กุล และปริญญา jinca ประเสริฐ, 2547, “โครงสร้างขนาดเล็กของปูนซีเมนต์ผสมถ้าถ่านหิน”, การนำถ้าถ่านหินในประเทศไทยมาใช้ในงานคุนกริต ครั้งที่ 1, 26 เมษายน, มหาวิทยาลัยเทคโนโลยีพระจอมเกล้าชานบุรี, หน้า 71-78.
 4. ชีรัวตน์ สินศิริ, ชัย จัตุรพิทักษ์กุล และปริญญา jinca ประเสริฐ, 2547, “ผลกระทบของถ้าถ่านหินต่อโครงสร้างระดับจุลภาคของเพชร”, การนำถ้าถ่านหินในประเทศไทยมาใช้ในงานคุนกริต ครั้งที่ 2, 28 เมษายน, มหาวิทยาลัยเทคโนโลยีพระจอมเกล้าชานบุรี, หน้า 64-82.
 5. ชีรัวตน์ สินศิริ, ชัย จัตุรพิทักษ์กุล และปริญญา jinca ประเสริฐ, 2548, “ผลกระทบของขนาดอนุภาคและรูปร่างถ้าถ่านหินต่อกำลังอัดและความพรุนและการซึมผ่านอากาศของเพชร”, การประชุมวิชาการคุนกริตประจำปีครั้งที่ 1, 25-27 ตุลาคม, ราชบุรี, หน้า CON22-CON29.
 6. ปริญญา jinca ประเสริฐ, สมศักดิ์ เมตชนันท์, สุรเชษฐ์ มั่งมีศรี และ ชีรัวตน์ สินศิริ, 2543, “คุณสมบัติของคุนกริตบดอัดผสมถ้าถ่านหินและถ้าแกลบคำ”, การประชุมวิชาการวิศวกรรมโยธาแห่งชาติ ครั้งที่ 6, 10-12 พฤษภาคม, เพชรบุรี, หน้า MAT47-MAT57.
 7. ชีรัวตน์ สินศิริ, 2549, “ผลกระทบของซีโลไอลท์ต่อกุณสมบัติของเพชรและมอร์ตาร์”, การประชุมวิชาการคุนกริตประจำปีครั้งที่ 2, 25-27 ตุลาคม, อุดรธานี, หน้า MAT12-MAT17.
 8. ชีรัวตน์ สินศิริ, 2549, “การวัดปริมาณแคลเซียมไอก្រอกไชค์และแคลเซียมซิลิกेटไอก្រดโดย TGA และ XRD ของเพชรที่แข็งตัวแล้ว”, การประชุมวิชาการคุนกริตประจำปีครั้งที่ 2, 25-27 ตุลาคม, อุดรธานี, หน้า MAT64-MAT72.
 9. สุขสันต์ หอพินุสสุข, รุ่งลาวัลย์ ราษัน, ศิวฤทธิ์ หิรัญเรือง และ ชีรัวตน์ สินศิริ, 2549, “โครงสร้างจุลภาคของดินเหนียวซีเมนต์ถ้าถอน”, การประชุมวิชาการวิศวกรรมโยธาแห่งชาติ ครั้งที่ 11, 20-22 เมษายน, ภูเก็ต, In CD-ROM.
 10. ชีรัวตน์ สินศิริ, ชูวิทย์ นาเพียง, ศักดิ์สิทธิ์ พันทวี, 2550, “ผลกระทบของซีโลไอลท์ต่อกองสร้างขนาดเล็กของซีเมนต์เพชร”, การประชุมวิชาการวิศวกรรมโยธาแห่งชาติ ครั้งที่ 12, 2-4 พฤษภาคม, พิษณุโลก, In CD-ROM.

11. ยุทธนา รักษาชุมม์, สุขสันต์ หอพิบูลสุข, นิรภัตน์ สินศิริ, 2550, “อิทธิพลของปริมาณซีเมนต์ต่อกำลังอัดของดินเหนียวซีเมนต์บดอัด”, การประชุมวิชาการวิศวกรรมโยธาแห่งชาติครั้งที่ 12, 2-4 พฤษภาคม, พิษณุโลก, In CD-ROM.
12. นิรภัตน์ สินศิริ, ศักดิ์สิทธิ์ พันทวี, 2550, “การใช้เพอร์ไอลิต์ในงานคอนกรีตมวลเบา”, การประชุมวิชาการคอนกรีตประจำปีครั้งที่ 3, 25-27 ตุลาคม, ชลบุรี, หน้า 225-229.
13. นิรภัตน์ สินศิริ, ศักดิ์สิทธิ์ พันทวี, 2550, “การใช้ซีไอโอลิตชาร์มชาติในงานคอนกรีต”, การประชุมวิชาการคอนกรีตประจำปีครั้งที่ 3, 25-27 ตุลาคม, ชลบุรี, หน้า 230-235 .
14. ชูวิทย์ นาเพียง, นิรภัตน์ สินศิริ และปริญญา จินดาประเสริฐ. (2552). การจะละลายโลหะหนักจากก้อนหล่อแข็งจากการตะกอนที่ใช้ปูนซีเมนต์ปอร์ตแลนด์และซีไอโอลิตที่เป็นวัสดุประสาน. การประชุมวิชาการคอนกรีตประจำปี ครั้งที่ 5, หน้า MAT-206-MAT-213.
15. วันโชค เครื่องหงษ์, เพดมิชัย ชื่นตา, นิรภัตน์ สินศิริ และชัย ชาตรพิทักษ์กุล. ปฏิกริยาปอชโซลานของถ่านแกลบและถ่านปาร์มน้ำมันต่อโครงสร้างขนาดเล็กของซีเมนต์เพสต์สม. การประชุมวิชาการคอนกรีตประจำปี ครั้งที่ 5, หน้า MAT-136-MAT-143.
16. ธนากร ภูเงินคำ, นิรภัตน์ สินศิริ และศักดิ์สิทธิ์ พันทวี. (2553). การศึกษากำลังอัดของเจื้อยอฟลิเมอร์มอร์ตาร์จากซีไอโอลิตชาร์มชาติ. การประชุมวิชาการคอนกรีตประจำปี ครั้งที่ 6, หน้า 119-124.

Patent/Petty Parten

1. **Sinsiri, T., Jitchaiyaphum, K., Chindaprasirt, P.,** 2009, Compressed air foam producing tank, Petty patent application no. 1003001033.

Research Interest

Microstructure of cement based materials, Lightweight concrete, Pozzolan in Concrete

Research Honors and Awards

1. Thailand Research Fund (TRF) who sponsored the research under the Royal Golden Jubilee Ph.D. program.
2. The Ministry of Education of Thailand under the Ministry Staff Development Project.
3. Thailand Research Fund (TRF) under grant No. RDG525008, the Siam City Cement Public Company Limited.
4. Thailand Research Fund (TRF) New Researcher Scholar, grant No. MRG5280178.